

คุณสมบัติเชิงหน้าที่ของสารทดแทนไขมันจากแป้งดัดแปรใน
มายองเนสสูตรไขมันต่ำ

นางสาวกัลยา ขันธรัตน์

วิทยานิพนธ์นี้เป็นส่วนหนึ่งของการศึกษาตามหลักสูตรปริญญาวิทยาศาสตรมหาบัณฑิต
สาขาวิชาเทคโนโลยีอาหาร
มหาวิทยาลัยเทคโนโลยีสุรนารี
ปีการศึกษา 2553

**THE FUNCTIONAL PROPERTIES OF MODIFIED
STARCH-BASED FAT REPLACERS IN
REDUCED FAT MAYONNAISES**

Kallaya Khantarat

**A Thesis Submitted in Partial Fulfillment of the Requirements for the
Degree of Master of Science in Food Technology
Suranaree University of Technology
Academic Year 2010**

คุณสมบัติเชิงหน้าที่ของสารทดแทนไขมันจากแป้งดัดแปลงใน
มายองเนสสูตรไขมันต้ม

มหาวิทยาลัยเทคโนโลยีสینารี อนุมัติให้นับวิทยานิพนธ์ฉบับนี้เป็นส่วนหนึ่งของ
การศึกษาตามหลักสูตรปริญญามหาบัณฑิต

คณะกรรมการสอบบัณฑิตวิทยานิพนธ์

(ผู้ช่วยศาสตราจารย์ ดร. ปิยะวรรณ กาลลักษณ์)
ประธานกรรมการ

(ผู้ช่วยศาสตราจารย์ ดร. ศิริวัฒน์ ไทยคุณ)
กรรมการ (อาจารย์ที่ปรึกษาวิทยานิพนธ์)

(อาจารย์ ดร. รัชฎาพร อุ่นศิริไไลย์)
กรรมการ

(รองศาสตราจารย์ ดร. อาทิตย์ วิทยาคุณ)
กรรมการ

(ศาสตราจารย์ ดร. ฉุภกิจ ลิมปีจำรงค์)
รองอธิการบดีฝ่ายวิชาการ

(ผู้ช่วยศาสตราจารย์ ดร. สุเวทย์ นิงสาสน์)
คณบดีสำนักวิชาเทคโนโลยีการเกษตร

กัลยา ขันธรัตน์ : คุณสมบัติเชิงหน้าที่ของสารทดแทนไขมันจากแป้งดัดแปรในมายองเนสสูตรไขมันต่ำ (THE FUNCTIONAL PROPERTIES OF MODIFIED STARCH-BASED FAT REPLACERS IN REDUCED FAT MAYONNAISES) อาจารย์ที่ปรึกษา :
ผู้ช่วยศาสตราจารย์ ดร. ศิริวัฒ ไทยอุดม, 128 หน้า.

วัตถุประสงค์ของงานวิจัยในครั้งนี้คือ 1) เพื่อศึกษาคุณสมบัติเชิงหน้าที่ของแป้งดัดแปรได้แก่ ไฮดรอกซิโพรพิลไดสตาแรชฟอสฟेट (Hydroxypropyl distarch phosphate : HDP) молตโಡексตرين (Maltodextrin: MD) และโซเดียมօโคเทนีลซัคซิเนต (Starch sodium octenyl succinate: SSO) เป็นสารทดแทนไขมัน ต่อคุณสมบัติทางเคมีภysis ในมายองเนสสูตรไขมันต่ำเปรียบเทียบกับมายองเนสสูตรไขมันเต็ม (FF) และหาความสัมพันธ์ระหว่างคุณสมบัติทางเคมีภysis ของมายองเนสสูตรไขมันต่ำกับระดับการแทนที่ไขมัน (ร้อยละ 25, 50 และ 75 ของไขมันที่มีในสูตร FF) ด้วยแป้งดัดแปร 2) เพื่อศึกษาผลของระดับความเข้มข้นของแป้งดัดแปร (HDP ร้อยละ 8 และ 10, MD ร้อยละ 28 และ 30 และ SSO ร้อยละ 10 และ 15) ต่อคุณสมบัติทางเคมีภysis ของมายองเนสสูตรไขมันต่ำ และ 3) เพื่อศึกษาการเปลี่ยนแปลงคุณสมบัติทางเคมีภysis ของมายองเนสสูตรไขมันต่ำที่ระยะเวลาการเก็บต่าง ๆ ทั้งนี้คุณสมบัติทางเคมีภysis ที่ใช้ทดสอบประกอบไปด้วย ขนาดอนุภาคเม็ดไขมัน (ค่าเฉลี่ยเส้นผ่านศูนย์กลางและการกระจายของอนุภาคเม็ดไขมัน) โครงสร้างระดับจุลภาค สี (L^* , a^* และ b^*) ค่าความเป็นกรด-ด่าง เนื้อสัมผัส (ค่าความแน่นเนื้อและค่าการยึดเกาะ) คุณสมบัติวิทยากระแทก (ค่าดัชนีความคงตัว ค่าความหนืด Thixotropic ค่ามอคูลลัสสะสม และค่ามอคูลลัสสูญเสีย) การแยกชั้นไขมัน การเกิดปฏิกิริยาออกซิเดชันของน้ำมัน (TBA reactivity) และการทดสอบทางประสาทสัมผัส

เมื่อใช้ HDP ที่ความเข้มข้นร้อยละ 8 เป็นสารทดแทนไขมันส่งผลให้ค่าเฉลี่ยอนุภาคเม็ดไขมันมีแนวโน้มสูงขึ้นตามระดับการแทนที่ไขมัน โดยตัวอย่างมายองเนสทุกตัวอย่างที่เตรียมจาก HDP มีค่าเฉลี่ยขนาดอนุภาคเม็ดไขมันสูงกว่า FF ตัวอย่างที่มีระดับการแทนที่ไขมันด้วยแป้ง HDP ร้อยละ 25 มีค่าความแน่นเนื้อ ค่าดัชนีความคงตัว ค่าความหนืด และค่ามอคูลลัสสะสมสูงกว่า FF แต่ตัวอย่างมายองเนสสูตรไขมันต่ำทุกตัวอย่างที่เตรียมจาก MD ที่ความเข้มข้นร้อยละ 28 มีค่าเฉลี่ยอนุภาคเม็ดไขมัน ค่าความแน่นเนื้อ ค่าการยึดเกาะ และค่ามอคูลลัสสะสมต่ำกว่าตัวอย่าง FF ส่วนตัวอย่างมายองเนสที่เตรียมจากแป้ง SSO ที่ความเข้มข้นร้อยละ 10 และมีระดับการแทนที่ไขมันร้อยละ 25 มีค่าความแน่นเนื้อ ค่าการยึดเกาะ ค่าดัชนีความคงตัว ค่าความหนืด และค่ามอคูลลัสสะสมสูงกว่า FF มายองเนสสูตรไขมันต่ำทุกตัวอย่างที่เตรียมจากแป้งดัดแปรทั้งสามชนิด ยกเว้นตัวอย่างที่เตรียมจาก MD ที่มีระดับการแทนที่ไขมันร้อยละ 75 มีค่าความสว่างมากกว่า FF โดยตัวอย่างมายองเนสทุกตัวอย่างที่เตรียมจาก HDP และ SSO ไม่พบการแยกชั้นไขมันที่ทดสอบด้วยการ

ปั่นเหวี่ยง ซึ่งจะแตกต่างจากตัวอย่างที่เตรียมจาก MD โดยปริมาณการแยกชั้นของไขมันมีแนวโน้มลดลงเมื่อเพิ่มระดับการแทนที่ไขมัน ค่าความหนืด ค่ามอคูลัสสะสม ค่าความแน่นเนื้อ และค่าการยึดเกาะของตัวอย่างมากองเนสสูตร ไขมันต่ำที่เตรียมจากแป้งดัดแปรทั้ง 3 ชนิด มีแนวโน้มลดลงเมื่อเพิ่มระดับการแทนที่ไขมันสูงขึ้น ในขณะที่การเพิ่มความเข้มข้นของแป้งดัดแปรทั้ง 3 ชนิดส่งผลให้ค่าดัชนีความคงตัว ค่ามอคูลัสสะสม ค่าความหนืด ค่าความแน่นเนื้อและการยึดเกาะมีแนวโน้มสูงขึ้น

ผลของระยะเวลาการเก็บตัวอย่างเป็นเวลา 12 สัปดาห์ ต่อคุณสมบัติทางเคมีกายภาพของนายองเนสพบว่า นายองเนสทุกตัวอย่างที่ใช้แป้งดัดแปรเป็นสารทดแทน ไขมันยกเว้นในตัวอย่างที่มีการใช้ MD เป็นสารทดแทน ไขมันร้อยละ 50 และ 75 มีค่าเฉลี่ยขนาดอนุภาคเม็ด ไขมัน ค่ามอคูลัสสะสม ค่าความแน่นเนื้อและค่าการยึดเกาะเปลี่ยนแปลงเพียงเล็กน้อย นายองเนสสูตร ไขมันต่ำทุกตัวอย่างมีค่าความเป็นกรด-ด่างค่อนข้างคงที่ แต่ค่า ΔE มีแนวโน้มสูงขึ้นตามระยะเวลาการเก็บ ในขณะเดียวกันค่า TBA reactivity ของตัวอย่าง FF และนายองเนสสูตร ไขมันต่ำที่เตรียมจาก HDP และ MD มีแนวโน้มสูงขึ้นตามระยะเวลาการเก็บ ยกเว้นตัวอย่างที่เตรียมจาก SSO

เมื่อพิจารณาความเสถียรทางด้านกายภาพของนายองเนสสูตร ไขมันต่ำ พบว่าตัวอย่างที่เตรียมจาก HDP และ SSO มีความเสถียรคลอดการศึกษา แต่ทั้งนี้สามารถใช้ SSO เป็นสารทดแทน ไขมันได้สูงสุดเพียงร้อยละ 50 ของ ไขมันใน FF และมีต้นทุนที่สูงกว่า HDP ดังนั้นจึงสรุปได้ว่า HDP สามารถใช้เป็นสารทดแทน ไขมันได้กว่าแป้งดัดแปรตัวอื่น โดยตัวอย่างนายองเนสสูตร ไขมันต่ำทุกตัวอย่างที่เตรียมจาก HDP ความเข้มข้นร้อยละ 8 ให้ผลการทดสอบทางประสานสัมผัสเรื่องความชอบโดยรวมของผลิตภัณฑ์ไม่ต่างจากตัวอย่าง FF

KALLAYA KHANTARAT : THE FUNCTIONAL PROPERTIES OF
MODIFIED STARCH-BASED FAT REPLACERS IN REDUCED FAT
MAYONNAISES. THESIS ADVISOR : ASST. PROF. SIWATT
THAIUDOM, Ph.D., 128 PP.

MODIFIED STARCH/REDUCED FAT MAYONNAISE/FAT REPLACERS/
RHEOLOGY

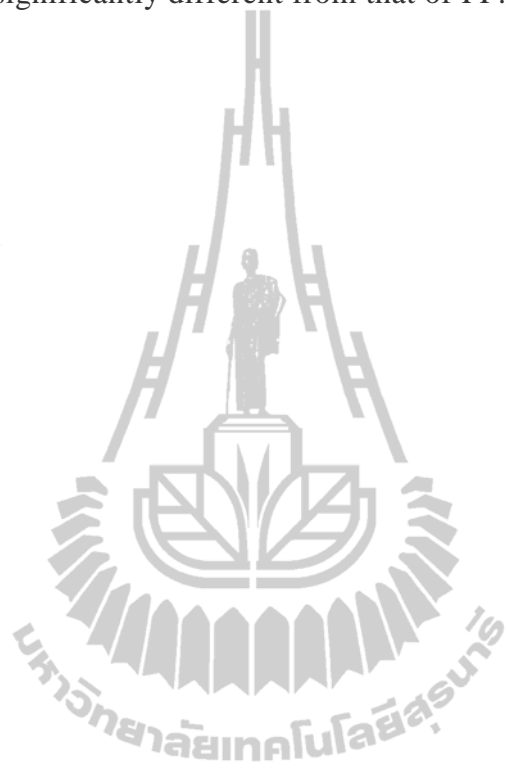
The objectives of this study were to 1) study the functional properties of modified starches (i.e. hydroxypropyl distarch phosphate or HDP, maltodextrin or MD, and starch sodium octenyl succinate or SSO) as fat replacers on physicochemical properties of reduced fat mayonnaises compared with the full fat mayonnaise (FF), and observe the correlation between physical properties and substitution levels (i.e. 25, 50 and 75 % of fat in FF recipe) of these modified starches, 2) find out the effect of starch concentrations (i.e. HDP 8 and 10, MD 28 and 30 and SSO 10 and 15%) on physical properties of reduced fat mayonnaises, and 3) study their stability and physicochemical properties as a function of storage time. The physicochemical properties of reduced fat mayonnaises, i.e. particle size of emulsion (mean droplet diameter: D_{43} and distribution of particle size), microstructure, color (L^* a^* and b^*), pH, texture (firmness and adhesiveness), rheological properties (consistency index: K, viscosity, thixotropic, storage modulus: G' and loss modulus: G''), phase separation under centrifugal technique, lipid oxidation (TBA reactivity), and sensory evaluation were evaluated. D_{43} of reduced fat mayonnaises prepared with 8% HDP tended to increase when fat

substitution levels were increased. All mayonnaises prepared with HDP showed higher D_{43} than FF. Firmness, K, viscosity and G' of 25% reduced fat mayonnaises prepared from HDP were higher than those of FF. However, D_{43} , firmness, adhesiveness and G' of all reduced fat mayonnaises substituted with 28% MD were lower than those of FF. Mayonnaise substituted fat at 25% with 10% SSO had higher firmness, adhesiveness, K, viscosity and G' than FF. All reduced fat samples except 75% reduced fat mayonnaise prepared from MD were brighter than FF. Mayonnaises which were substituted fat with HDP and SSO did not show phase separation while those with MD did. However, increasing fat substitution levels with all modified starches could decrease the phase separation. The decrease in viscosity, G', firmness, and adhesiveness of all reduced fat mayonnaises attributed to an increase in fat substitution while increasing modified starch concentration could cause K, G', viscosity, firmness, and adhesiveness to increase.

The effect of 12-week storage time on the physicochemical properties of mayonnaises showed that D_{43} , G', firmness, and adhesiveness of all reduced fat mayonnaises except mayonnaises prepared with MD were quite constant. The pH values of all mayonnaises were constant throughout storage time while the ΔE tended to increase as storage time increased. Increasing storage time caused TBA reactivity of all reduced fat mayonnaises to increase except the ones prepared with SSO.

All samples prepared from HDP and SSO were stable throughout storage time. However, SSO could be used as a fat replacer at only 50% fat substitution. Moreover, SSO costs more than HDP. Thus, the overall conclusion showed that

HDP could be used as a fat replacer, best among the others. Moreover, the sensory preference score of all reduced fat mayonnaises which were substituted fat with 8% HDP was not significantly different from that of FF.



School of Food Technology

Student's Signature _____

Academic Year 2010

Advisor's Signature _____

กิตติกรรมประกาศ

วิทยานิพนธ์นี้สำเร็จลุล่วงด้วยดี ผู้วิจัยขอรบกวนผู้ช่วยศาสตราจารย์ ดร. ศิริวัฒ ไทยอุดม อาจารย์ที่ปรึกษาวิทยานิพนธ์ ที่ให้โอกาสทางการศึกษา ให้คำปรึกษา ชี้แนะ ให้ความช่วยเหลือ ตรวจทาน และแก้ไขวิทยานิพนธ์เล่มนี้ให้สำเร็จลุล่วงด้วยดี ขอขอบพระคุณผู้ช่วยศาสตราจารย์ ดร. ปียะวรรณ กาลลักษณ์ ประธานกรรมการสอบป้องกันวิทยานิพนธ์ รองศาสตราจารย์ ดร. จตุพร วิทยาคุณ และอาจารย์ ดร. รัชฎาพร อุ่นศิวิไลย์ กรรมการสอบป้องกันวิทยานิพนธ์ที่ให้ข้อเสนอแนะที่เป็นประโยชน์ในการเขียนวิทยานิพนธ์เล่มนี้ให้มีความสมบูรณ์ยิ่งขึ้น

ขอขอบพระคุณทุนวิจัยมหาบัณฑิต สกว. สาขาวิชาศาสตร์และเทคโนโลยี ภายใต้โครงการเชื่อมโยงภาคการผลิตกับงานวิจัย ทุน สกว.- อุตสาหกรรมร่วมกับบริษัทอินโนเฟรช จำกัด ที่ให้ทุนสนับสนุนงานวิจัย ขอขอบพระคุณมหาวิทยาลัยเทคโนโลยีสุรนารีที่ให้โอกาสทางการศึกษาและสนับสนุนทุนการศึกษา ซึ่งทำให้ผู้วิจัยได้มีโอกาสศึกษาต่อในระดับปริญญาโท และกราบขอบพระคุณอาจารย์สาขาวิชาเทคโนโลยีอาหาร สำนักวิชาเทคโนโลยีการเกษตร ศูนย์วิทยาศาสตร์และเทคโนโลยีอาหาร เครื่องมือวิทยาศาสตร์และเทคโนโลยีอาหาร เครื่องมือ 1 และ 3 มหาวิทยาลัยเทคโนโลยีสุรนารี ทุกท่าน ที่สละเวลาให้ความช่วยเหลือและอำนวยความสะดวกให้ผู้วิจัยด้วยดีตลอดมา

ท้ายนี้ขอขอบพระคุณ บิดา มารดา พี่ และน้อง ที่เคยให้กำลังใจ ดูแลเอาใจใส่และส่งเสริม ให้มีโอกาสได้ศึกษาเล่าเรียน ขอบคุณ พี่ เพื่อน และน้อง ๆ สาขาวิชาเทคโนโลยีอาหารทุก ๆ คน ที่ให้คำปรึกษาด้านวิชาการ ประสบการณ์ และให้กำลังใจมาโดยตลอด

กัลยา ขันธรัตน์

สารบัญ

หน้า

บทคัดย่อ (ภาษาไทย).....	ก
บทคัดย่อ (ภาษาอังกฤษ).....	ก
กิตติกรรมประกาศ.....	ก
สารบัญ.....	ข
สารบัญตาราง.....	ภ
สารบัญภาพ.....	ภ
คำอธิบายสัญลักษณ์และคำย่อ.....	ต
บทที่	
1 บทนำ.....	1
1.1 ความเป็นมาและความสำคัญของปัญหา.....	1
1.2 วัตถุประสงค์ของการวิจัย.....	3
1.3 สมมติฐานของการวิจัย.....	4
1.4 ข้อตกลงเบื้องต้น.....	4
1.5 ขอบเขตการวิจัย.....	4
1.6 ประโยชน์ที่คาดว่าจะได้รับ.....	5
2 ปริทศน์วรรณกรรมและงานวิจัยที่เกี่ยวข้อง.....	6
2.1 นายองเนส.....	6
2.1.1 ส่วนประกอบของนายองเนส.....	6
2.1.2 การผลิตนายองเนส	10
2.2 เครื่องไฮโดรเจอร์.....	10
2.2.1 High speed blender.....	11
2.2.2 Colloid mills.....	11
2.2.3 High pressure valve homogenizer.....	12
2.3 สารทดแทนไขมัน.....	14
2.3.1 ประเภทของสารทดแทนไขมัน.....	14

สารบัญ (ต่อ)

หน้า

2.3.2	แหล่งที่มาของสารทดสอบไขมัน.....	15
2.4	คุณภาพของมายองเนส	19
2.4.1	คุณภาพด้านกายภาพ.....	19
2.4.2	คุณภาพด้านเคมี.....	23
2.4.2	คุณภาพด้านจุลินทรีย์.....	25
2.5	การตรวจสอบคุณภาพของมายองเนส.....	25
2.5.1	คุณภาพด้านกายภาพ.....	25
2.5.2	คุณภาพด้านเคมี.....	35
2.6	คุณสมบัติของมายองเนนสูตรลดไขมัน.....	36
2.6.1	คุณสมบัติทางกายภาพ.....	36
2.6.2	คุณสมบัติทางเคมี.....	37
2.6.3	คุณสมบัติทางจุลินทรีย์.....	38
2.6.4	คุณสมบัติด้านประสิทธิภาพสัมผัส.....	38
3	วัสดุและวิธีการทดลอง.....	40
3.1	วัตถุคิด.....	40
3.2	อุปกรณ์และเครื่องมือ.....	40
3.3	วิธีดำเนินการวิจัย.....	41
3.3.1	การวัดคุณสมบัติเบื้องต้นของมายองเนนสูตรการค้า.....	43
3.3.2	การวัดคุณสมบัติเบื้องต้นของแป้งคัดแปร.....	43
3.3.3	การเตรียมตัวอย่างแป้งคัดแปรเพื่อวิเคราะห์หาความหนืดที่เหมาะสม ในการเป็นสารทดสอบไขมัน.....	43
3.3.4	การเตรียมตัวอย่างมายองเนส.....	44
3.3.5	การตรวจสอบคุณภาพมายองเนส.....	45
3.3.6	การทดสอบทางประสิทธิภาพสัมผัส.....	48
3.4	การวิเคราะห์ทางสถิติ.....	48

สารบัญ (ต่อ)

หน้า

3.5	สถานที่ทำการทดลองและเก็บข้อมูล.....	49
4	ผลการทดลองและการวิจารณ์.....	50
4.1	คุณสมบัติทางเคมีกายภาพของมายองเนสสูตรการค้า.....	50
4.2	คุณสมบัติทางกายภาพของแป้งดัดแปร.....	51
4.3	อิทธิพลของชนิดแป้งดัดแปรและระดับการแทนที่ไขมันต่อคุณสมบัติทางเคมีกายภาพของมายองเนส.....	56
4.3.1	อิทธิพลของแป้งดัดแปรต่อค่าก้าลลี่อนุภาคเม็ดไขมัน.....	56
4.3.2	อิทธิพลของแป้งดัดแปรและระดับการแทนที่ไขมันต่อการกระจายตัวอนุภาคของเม็ดไขมัน.....	59
4.3.3	อิทธิพลของแป้งดัดแปรและระดับการแทนที่ไขมันต่อสีของมายองเนส.....	62
4.3.4	อิทธิพลของแป้งดัดแปรและระดับการแทนที่ไขมันต่อคุณสมบัติค้านเนื้อสัมผัส.....	63
4.3.5	อิทธิพลของแป้งดัดแปรและระดับการแทนที่ไขมันต่อคุณสมบัติค้านวิทยากระถาง.....	64
4.3.6	ความสัมพันธ์ของระดับการแทนที่ไขมันจากแป้งดัดแปรแต่ละชนิดต่อคุณสมบัติทางกายภาพของมายองเนส.....	70
4.4	อิทธิพลความเข้มข้นของแป้งดัดแปรในมายองเนสสูตรไขมันต้าต่อคุณสมบัติทางกายภาพ.....	74
4.4.1	ผลของความเข้มข้นของแป้งดัดแปรต่อขนาดอนุภาคและการกระจายตัวของอนุภาคเม็ดไขมัน.....	74
4.4.2	ผลของความเข้มข้นของแป้งดัดแปรต่อเนื้อสัมผัส.....	76
4.4.3	ผลของความเข้มข้นของแป้งดัดแปรต่อคุณสมบัติค้านวิทยากระถาง.....	78
4.4.4	ผลของความเข้มข้นของแป้งดัดแปรต่อความเสถียร.....	79
4.5	อิทธิพลของระยะเวลาการเก็บต่อคุณสมบัติทางเคมีกายภาพของมายองเนส.....	85
4.5.1	ผลของระยะเวลาการเก็บต่อขนาดอนุภาคเม็ดไขมัน.....	85

สารบัญ (ต่อ)

หน้า

4.5.2	ผลของระยะเวลาการเก็บต่อคุณสมบัติวีสโโคอีล่าสติก.....	84
4.5.3	ผลของระยะเวลาการเก็บต่อเนื้อสัมผัส.....	86
4.5.4	ผลของระยะเวลาการเก็บต่อสี.....	90
4.5.5	ผลของระยะเวลาการเก็บต่อค่าความเป็นกรด-ด่าง.....	95
4.5.6	ผลของระยะเวลาการเก็บต่อการเกิดปฏิกิริยาออกซิเดชันของน้ำมัน.....	96
4.6	ผลการวิเคราะห์เชื้อจุลินทรีย์.....	98
4.7	การทดสอบการยอมรับทางประสาทสัมผัส.....	102
5	สรุปและข้อเสนอแนะ.....	104
5.1	บทสรุป.....	104
5.2	ข้อเสนอแนะ.....	105
เอกสารอ้างอิง.....		106
ภาคผนวก ก (วิธีการทดลอง).....		116
ภาคผนวก ข (ผลการทดลอง).....		119
ประวัติผู้เขียน.....		128

สารบัญตาราง

ตารางที่	หน้า
3.1 แสดงส่วนผสมmanyongเนส.....	47
4.1 ส่วนประกอบของmanyongเนสสูตรการค้าที่ระบุในคลาส.....	50
4.2 คุณสมบัติทางเคมีกายภาพของmanyongเนสสูตรการค้า.....	52
4.3 คุณสมบัติทางกายภาพของแป้งดัดแปรทั้ง 3 ชนิด.....	54
4.4 คุณสมบัติทางเคมีกายภาพของmanyongเนสที่ใช้แป้งดัดแปรแตกต่างกันเป็นสารทดแทน ไขมันที่มีระดับการแทนที่ไขมันแตกต่างกัน.....	58
4.5 คุณสมบัติค่านวิทยากระแสดงของmanyongเนส.....	68
4.6 Pearson's correlation coefficients ของmanyongเนสที่ใช้แป้ง HDP เป็นสารทดแทน ไขมันกับคุณสมบัติทางกายภาพ.....	71
4.7 Pearson's correlation coefficients ของmanyongเนสที่ใช้แป้ง MD เป็นสารทดแทน ไขมันกับคุณสมบัติทางกายภาพ.....	72
4.8 Pearson's correlation coefficients ของmanyongเนสที่ใช้แป้ง SSO เป็นสารทดแทน ไขมันกับคุณสมบัติทางกายภาพ.....	73
4.9 เปรียบเทียบคุณสมบัติทางกายภาพของmanyongเนสที่ใช้แป้งดัดแปรที่มีความเข้มข้น และมีระดับการแทนที่ไขมันแตกต่างกัน.....	77
4.10 Rank sum ของการทดสอบทางประสาทสัมผัสของmanyongเนส.....	102
ข.1 การกระจายตัวของอนุภาคเม็ดแป้ง HDP ที่วิเคราะห์ด้วยโปรแกรมจากเครื่อง Laser particle size analyzer.....	121
ข.2 การกระจายตัวของอนุภาคเม็ดไขมันที่วิเคราะห์ด้วยโปรแกรมจากเครื่อง Laser particle size analyzer ของตัวอย่าง 25H08.....	123

สารบัญภาพ

ภาพที่	หน้า
2.1 โครงสร้างของเลชิตินในไบ์เดง.....	8
2.2 องค์ประกอบที่มีในไบ์เดงที่ดูดซับที่ผิวของอนุภาคไบมันในสภาวะที่มี และไม่มีเกลือ	10
2.3 โซโนจีไนเซอร์แบบต่าง ๆ.....	12
2.4 แสดงขนาดโมเลกุลของโพลีแซคคาไรด์หลังจากการโซโนจีไนซ์.....	13
2.5 โครงสร้างแกรนูลของแป้งดัดแปรรูปแบบเชื่อมข้าม (Cross linkage)	18
2.6 โครงสร้างของแป้ง SSO.....	19
2.7 กระบวนการเกิดความไม่เสถียรของอิมัลชัน.....	20
2.8 ภาพถ่ายด้วยเครื่อง Scanning electron microscope ดูการกระจายตัวของ อนุภาคเม็ดไบมันในマイองเนส และน้ำสลัด	23
2.9 ลักษณะของพฤติกรรมการไหล.....	28
2.10 Rheogram ของการไหลแบบ Thixotropic.....	29
2.11 การเสียรูปของอิมัลชันเมื่อเพิ่มอัตราเฉือนให้กับตัวอย่าง	31
2.12 ความสัมพันธ์ระหว่างการเปลี่ยนแปลงความเครียด หรือความเค้น กับเวลาเมื่อให้ ความเค้นหรือความเครียดคงที่แก้วสุดที่เป็นของแข็งในอุดมคติ หรือวัสดุอิเล็กทริก วัสดุวิสโคลอิเล็กทริก และวัสดุที่เป็นของไหลในอุดมคติ.....	32
2.13 ความเค้นที่สูงของตอบความเครียดของวัสดุที่แตกต่างกัน.....	32
2.14 กราฟที่ได้จากการวัดเนื้อสัมผัสตัวอย่างวัดเนื้อสัมผัส.....	34
2.15 ภาพโครงสร้างระดับจุลภาคของマイองเนสค์วายเทคนิค SEM.....	37
4.1 ความหนืดของแป้งดัดแปรที่เตรียมจากความเข้มข้นแตกต่างกัน.....	55
4.2 ความหนืดของマイองเนสสูตรไบมันต่ำที่เตรียมจากแป้ง SSO ที่มีระดับ การแทนที่ไบมันร้อยละ 50 ของマイองเนสสูตรไบมันเต็ม.....	56
4.3 การกระจายตัวของอนุภาคเม็ดไบมันของマイองเนส.....	60
4.4 ภาพการกระจายตัวของอนุภาคเม็ดไบมันของマイองเนสจากกล้องจุลทรรศน์ กำลังขยาย 1000 เท่า.....	61
4.5 พฤติกรรมการไหลของマイองเนส.....	65

สารบัญภาพ (ต่อ)

ภาพที่	หน้า
4.6 คุณสมบัติวีสโโคอีลาสติกของมายองเนส.....	69
4.7 การกระจายตัวของอนุภาคเม็ดไนมันในตัวอย่างมายองเนสสูตรไนมันต่ำที่เตรียมจากแป้ง HDP.....	76
4.8 พฤติกรรมการไหลของมายองเนสที่เตรียมจากแป้ง HDP ที่มีความเข้มข้นร้อยละ 8 (ก) และ 10 (ข)	79
4.9 การเปลี่ยนแปลงขนาดอนุภาคเม็ดไนมันที่ระยะเวลาการเก็บต่าง ๆ ของตัวอย่างมายองเนสที่เตรียมจากแป้ง HDP (ก), MD (ข), และ SSO (ค) เปรียบเทียบกับตัวอย่างมายองเนสสูตรไนมันเต็มและสูตรการค้า.....	82
4.10 การกระจายตัวของอนุภาคเม็ดไนมันของมายองเนสสูตรไนมันต่ำที่เตรียมจากแป้ง HDP เป็นสารทดแทนไนมันที่ระยะเวลา 0 และ 12 สัปดาห์.....	83
4.11 การเปลี่ยนแปลงค่าความดัดลักษณะของมายองเนสสูตรไนมันต่ำที่ระยะเวลาการเก็บต่าง ๆ ที่เตรียมจากแป้ง HDP (ก), MD (ข) และ SSO (ค) เปรียบเทียบกับ FF และมายองเนสสูตรการค้า ที่ความถี่ 1 เฮิร์ต และค่า Strain ร้อยละ 0.5.....	85
4.12 การเปลี่ยนแปลงค่าความแน่นเนื้อและค่าการขีดเคาะของตัวอย่างมายองเนสที่เตรียมจาก HDP ที่ระยะเวลาการเก็บต่าง ๆ	87
4.13 การเปลี่ยนแปลงค่าความแน่นเนื้อและค่าการขีดเคาะของตัวอย่างมายองเนสที่เตรียมจาก MD ที่ระยะเวลาการเก็บต่าง ๆ	88
4.14 การเปลี่ยนแปลงค่าความแน่นเนื้อและค่าการขีดเคาะของตัวอย่างมายองเนสที่เตรียมจาก SSO ที่ระยะเวลาการเก็บต่าง ๆ	89
4.15 การเปลี่ยนแปลงค่า L^* ของตัวอย่างมายองเนสที่ระยะเวลาการเก็บต่าง ๆ	91
4.16 การเปลี่ยนแปลงค่า a^* ของตัวอย่างมายองเนสที่ระยะเวลาการเก็บต่าง ๆ	92
4.17 การเปลี่ยนแปลงค่า b^* ของตัวอย่างมายองเนสที่ระยะเวลาการเก็บต่าง ๆ	93
4.18 การเปลี่ยนแปลงค่า ΔE ของตัวอย่างมายองเนสที่ระยะเวลาการเก็บต่าง ๆ	94
4.19 การเปลี่ยนแปลงของค่าความเป็นกรด-ด่างที่ระยะเวลาการเก็บต่าง ๆ ที่เตรียมจากแป้ง HDP(ก), MD (ข) และ SSO (ค).....	95
4.20 ค่าการดูดซับแสงที่ 532 นาโนเมตร ของมายองเนสสูตรไนมันต่ำที่เตรียมจากแป้ง HDP ที่มีความเข้มข้นร้อยละ 8 (ก) และ 10 (ข) ที่ระยะเวลาการเก็บต่าง ๆ	99

สารบัญภาพ (ต่อ)

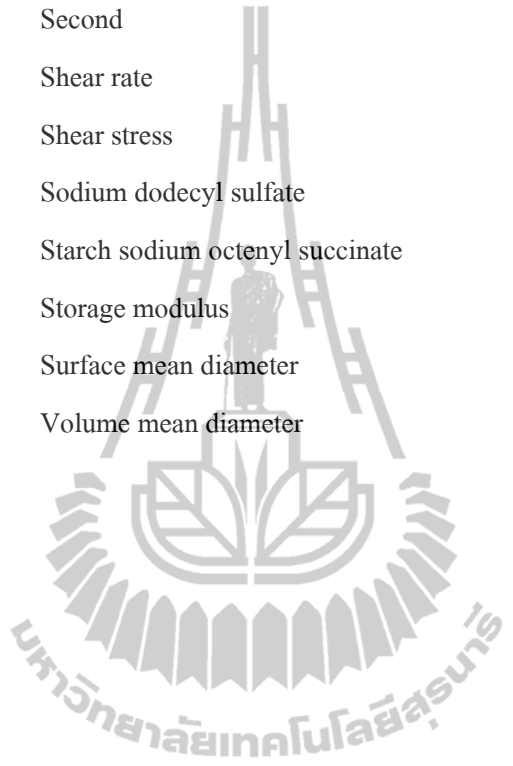
ภาพที่	หน้า
4.21 ค่าการดูดซับแสงที่ 532 นาโนเมตร ของมายองเนสสูตรไขมันต่ำของมายองเนสสูตรไขมันต่ำที่เตรียมจากแป้ง MD ที่มีความเข้มข้นร้อยละ 28 (ก) และ 30 (ข) ที่ระยะเวลาจัดเก็บต่าง ๆ	100
4.22 ค่าการดูดซับแสงที่ 532 นาโนเมตร ของมายองเนสสูตรไขมันต่ำของมายองเนสสูตรไขมันต่ำที่เตรียมจากแป้ง SSO ที่มีความเข้มข้นร้อยละ 10 (ก) และ 15 (ข) ที่ระยะเวลาจัดเก็บต่าง ๆ	101
ข.1 กราฟแสดงการกระจายตัวของเม็ดแป้ง HDP.....	120
ข.2 กราฟการกระจายตัวของอนุภาคในตัวอย่าง 25H08 ที่วัดด้วยเครื่อง Laser particle size analyser.....	122
ข.3 Linear viscoelastic regoin ของตัวอย่างมายองเนสที่เตรียมจากแป้ง HDP.....	124
ข.4 Linear viscoelastic regoin ของตัวอย่างมายองเนสที่เตรียมจากแป้ง MD.....	124
ข.5 Linear viscoelastic regoin ของตัวอย่างมายองเนสที่เตรียมจากแป้ง SSO.....	125
ข.6 เชือจุลินทรีย์ที่เจริญบนแผ่นอาหารเลี้ยงสำเร็จรูป 3M petrifilm TM	126

ការបិយត្យុតកម្មនៃគោលកម្លែង

\mathbf{v}	=	Accerelate velocity
ω	=	Angular freequency
K	=	Consistency index
$^{\circ}\text{C}$	=	Degree Celsius
Δ, δ	=	Delta
ρ	=	Density
n	=	Flow behavior index
FF	=	Full fat mayonnaise
g	=	Gram
xg	=	Gravitational acceleration
Hz	=	Hertz
h	=	Hour
HDP	=	Hydroxypropyl distarch phosphate
in	=	Inch
kg	=	Kilogram
G"	=	Loss modulus
MD	=	Maltodextrin
μm	=	Micrometer
m	=	Milli
mL	=	Milliliter
min	=	Minute
M	=	Molar
nm	=	nanometer
Pa	=	Pascal
p	=	Probability
r	=	Pearson's correlation coefficient
TBA	=	Thiobarbituric acid

คำอธิบายสัญลักษณ์และคำย่อ (ต่อ)

s	=	Second
γ	=	Shear rate
σ	=	Shear stress
SDS	=	Sodium dodecyl sulfate
SSO	=	Starch sodium octenyl succinate
G'	=	Storage modulus
D32	=	Surface mean diameter
D43	=	Volume mean diameter



บทที่ 1

บทนำ

1.1 ความสำคัญและที่มาของปัญหาที่ทำงานวิจัย

ปัจจุบันคนไทยใส่ใจในสุขภาพดูแลกันมากขึ้นทำให้ผลิตภัณฑ์อาหารเพื่อสุขภาพได้รับความนิยมสูงขึ้น โดยเฉพาะผู้ที่มีปัญหารื่องน้ำหนักตัวเกินมาตรฐานจะเพิ่มความระมัดระวังในการรับประทานอาหารมากขึ้น เนื่องจากโรคอ้วนเป็นสาเหตุที่ทำให้เกิดโรคอื่น ๆ ตามมา เช่น โรคหลอดเลือดหัวใจดีบ โรคเบาหวาน โรคนิ่วในถุงน้ำดี มะเร็งบางชนิด และโรคความดันโลหิตสูง เป็นต้น นอกจากนั้นยังมีผลต่อปัญหาทางเพศสัมพันธ์ ด้านจิตใจและมีผลโดยตรงต่อนุคลิกภาพ (แสงโสม สีนะวัฒน์, นิรมล ดาวาพงษ์ และ นันทจิต บุญมงคล, 2541; วิชาล เยาวพงศ์ศิริ, 2551) การบริโภคอาหารที่มีปริมาณไขมันสูงเป็นสาเหตุหนึ่งของการมีน้ำหนักตัวที่เกินมาตรฐาน ด้วยเหตุนี้才ที่ใส่ใจในสุขภาพและบุคลิกภาพจึงนิยมบริโภคอาหารที่มีปริมาณไขมันต่ำมากขึ้น ทำให้การพัฒนาผลิตภัณฑ์อาหารเพื่อควบคุมน้ำหนัก และลดส่วนผสมที่เป็นสารให้พลังงานมีแนวโน้มมากขึ้นในธุรกิจอุตสาหกรรมอาหาร ที่มีการแข่งขันทางด้านการผลิตและพัฒนาสูตรเพื่อให้ตรงต่อความต้องการของผู้บริโภค ทั้งในแง่การส่งเสริมสุขภาพและสชาติ และในแง่ของการลดต้นทุนการผลิต รายงานเหลือเชื่อได้ว่าเป็นหนึ่งในผลิตภัณฑ์อาหารที่มีการพัฒนาสูตรการผลิตโดยการลดปริมาณไขมัน เพื่อตอบสนองต่อกระแสการตื่นตัวของผู้บริโภคทางด้านสุขภาพ เนื่องจากส่วนผสมหลักของรายงานเหลือเชื่อมีปริมาณไขมันสูงถึงร้อยละ 70 ถึง 80 โดยน้ำหนัก (Depree and Savge, 2001; Ford, Borwankar, Pechak and Schwimmer, 2004) ดังนั้นที่ผ่านมาจึงมีงานวิจัยที่เกี่ยวข้องกับการใช้สารทดแทนไขมันที่มาจากแหล่งต่าง ๆ แต่ยังคงไว้ซึ่งคุณสมบัติดั้งเดิมของรายงานจะทำให้เกิดการยอมรับในผลิตภัณฑ์ของผู้บริโภค สารที่ใช้ทดแทนไขมันที่มีการศึกษาค้นคว้ามาแล้วโดยส่วนใหญ่มักมาจากการแข่งที่ผ่านกระบวนการการดัดแปลงเพื่อให้มีคุณสมบัติที่เหมาะสมสำหรับใช้เป็นสารทดแทนไขมัน (Akoh, 1998; Cheung, Gomes ,Ramsden and Roberts, 2002; Murphy, 1999) หรือสารจำพวกไฮโดรคออลอยด์ต่าง ๆ เช่น เพคติน (Cheung, Gomes, Ramsden and Roberts, 2002; Pedersen and Cristain, 1997 ;) เบต้า-กลูแคน (Santipanichwong and Suphantarika, 2007; Worrasinchai, Suphantarika, Pinjai and Jamnong, 2006) และสารเจลแทน เป็นต้น รายงานเหลือเชื่อมีระบบอิมัลชันแบบน้ำมันในน้ำ (Oil-in-water) อยู่ในสภาพกึ่งของแข็ง (Semi-solid) โดยน้ำมันซึ่งเป็นองค์ประกอบหลักมีความสำคัญในการกำหนดลักษณะที่เป็นเอกลักษณ์ของรายงาน เนื่องจากน้ำมันเป็นตัวทำละลายสารให้สี กลิ่น รส และวิตามินที่ไม่ละลายน้ำ น้ำมันจะกระจายตัว

เป็นอนุภาคขนาดเล็กอยู่ในระบบอิมัลชัน ระบบจะมีความเสถียรเนื่องจากอนุภาคไขมันอยู่กันอย่างหนาแน่น ทำให้อนุภาคเม็ดไขมันจึงเคลื่อนที่ได้ยาก หน้าที่ของน้ำมันในมายองเนสคือให้ลักษณะปราศจากน้ำที่เป็นมันเงาวา (Sheen) ช่วยกลบรสเปรี้ยวจากกรดน้ำส้มหรือน้ำมะนาวที่เป็นส่วนผสมหลักของมายองเนส โดยน้ำมันจะช่วยเคลื่อนที่ปากและลิ้นจึงทำให้รสเปรี้ยวได้น้อยลง น้ำมันมีผลต่อคลิน์-รสของมายองเนส ซึ่งผู้บริโภคจะได้รับรสชาติของความมัน (Fattiness) นอกจากนี้น้ำมันและขนาดอนุภาคเม็ดไขมันยังมีผลต่อสมบัติวิทยากระแส (Rheological properties) ของมายองเนสซึ่งจะเกี่ยวข้องกับเนื้อสัมผัส ความรู้สึกเมื่อออยู่ในปาก (Mouthfeel) ความสามารถในการไหล การตัก ความคงรูป รวมถึงความสามารถในการแผ่กระจาย (Spread) ของมายองเนส โดยทั่วไปมายองเนสจะแสดงคุณสมบัติแบบวีสโคอีลาสติก (Viscoelastic Properties) โดยจะแสดงพฤติกรรมด้านวิทยากระแสออยู่ระหว่างของแข็งและของเหลว (Peressini, Sensidoni, and Cindio, 1998; Worrasinchai et al., 2006) โดยปริมาณไขมันและขนาดอนุภาคของเม็ดไขมันมีส่วนในการกำหนดคุณสมบัติวิทยากระแสของมายองเนส น้ำมันที่ใช้ในการผลิตมายองเนสส่วนใหญ่จะใช้น้ำมันพืช เช่นน้ำมันถั่วเหลือง น้ำมันดอกฟานตะวัน และน้ำมันข้าวโพด เป็นต้น

แม้ว่าการใช้สารทดแทนไขมันในมายองเนสจะมีการศึกษากันอย่างแพร่หลาย แต่การใช้แป้งดัดแปรน้ำยังมีการศึกษาในวงจำกัด ดังนั้นการวิจัยนี้จึงศึกษาคุณลักษณะของมายองเนสสูตรไขมันต่ำที่มีการใช้แป้งดัดแปรเป็นสารทดแทนไขมัน 3 ชนิดประกอบด้วยมอลโตเดกซ์ตرين (Maltodextrin; MD) แป้งโซเดียมօคเทนิกซัคซิเนต (Starch sodium octenyl succinate ; SSO) และไฮดรอกซิโพร์พิลไดสตาร์ฟอฟเฟต (Hydroxypropyl distarch phosphate; HDP) เนื่องจากแป้งดัดแปรจะให้คุณสมบัติที่ไม่มีสี กลิ่น และรส แป้งจึงถูกนำมาใช้ในอุตสาหกรรมอาหารอย่างแพร่หลายแตกต่างกันไปขึ้นกับอาหารแต่ละชนิด

1) MD เป็นแป้งดัดแปรที่ผ่านกระบวนการใช้กรด หรือ เอ็นไซม์ตัดพันธะเพื่อให้ได้สายโพลีเมอร์ของแป้งมีขนาดสั้นลง โดยน้ำหนักโมเลกุลของ MD จะอยู่ระหว่างโพลีแซคคาไรด์และไฮดรอเจนโซเดียมอลโตเดกซ์ตرين (Dextrose equivalent DE) ซึ่งจะมีค่าระหว่าง 5 ถึง 20 และเมื่อเทียบกับสารไฮดรอกออลอยด์ชนิดอื่น MD มีราคาถูกกว่า โครงสร้างของเจลของ MD จะมีลักษณะอ่อนลักษณะคล้ายครีมที่ไม่มีรสชาติ จึงทำให้อาหารมีคุณสมบัติด้านคุณลักษณะเชิงประสานสัมผัส (Organoleptic) เช่น ลักษณะเนื้อสัมผัส และความรู้สึกเมื่อออยู่ในปาก เป็นต้น

2) SSO เป็นแป้งดัดแปรที่มีการแทนที่หมู่ไฮดรอกซิล (-OH) ในโมเลกุลกลูโคสด้วยหมู่ออกเทนิกซัคซิเนต (Octenyl succinate) ทำให้แป้งมีคุณสมบัติทึ่งชอบและไม่ชอบน้ำ油ในโมเลกุลเดียวกัน ดังนั้นแป้ง SSO สามารถทำหน้าที่ได้ทั้งอิมัลซิไฟเออร์และสารเพิ่มความคงตัว โดยแป้ง

SSO จะไปดูดซับที่บริเวณผิวสัมผัสของน้ำและนำมันก่อให้เกิดเป็นชั้นฟิล์มล้อมรอบอนุภาค เม็ดไข่มัน จึงส่งผลให้ระบบอิมัลชันมีความเสถียร (Tesch, Gerhards and Schubert, 2002) นอกจากนั้นแป้ง SSO ยังใช้เป็นสารเพิ่มความชื้นหนึ่งในอาหาร ได้โดยการสร้างพันธะไฮโดรโฟบิก ระหว่างโมเลกุลของสายอะไมโลส และอะไมโลเพคติน ทำให้เกิดโครงสร้าง 3 มิติ เกิดเป็นเจลที่ช่วยให้ระบบอิมัลชันมีความหนืดเพิ่มขึ้นแล้วส่งผลให้ระบบมีความเสถียรมากขึ้น (Ortega-Ojeda, Larsson and Eliasson, 2005)

3) HDP เป็นแป้งดัดแปรที่ผ่านกระบวนการดัดแปรแบบผสมกันระหว่างการเชื่อมข้าม (Crosslink) และแทนที่หมู่ไฮดรอกซิลด้วยหมู่ไฮดรอกซิโพรพิล (Hydroxypropyl) ในสายโมเลกุลของแป้ง ทำให้แป้งมีความสามารถในการอุ้มน้ำ (Water holding capacity) สูงขึ้น เจลของแป้ง HDP จะมีลักษณะอ่อน (Hoover, Hannouz and Sosulski, 1988; Liu, Ramsden and Corke 1999; Yeh and Yeh, 1993) แป้ง HDP จะมีความแข็งแรงทนต่อการแรงเฉือน ทนต่อความเป็นกรด-ด่าง และทนต่อการย่อยของเอนไซม์อะไมโลส เมื่อนำแป้ง HDP มาใช้เป็นสารทดแทนไข่มันในน้ำสลัดหรือโยเกิร์ตจะช่วยให้ปรับปรุงคุณลักษณะของความรู้สึกเมื่อออยู่ในปากคือเพิ่มลักษณะเป็นเนื้อครีม ได้ (Murphy, 2000)

จากข้อมูลเบื้องต้นกล่าวได้ว่าแป้งดัดแปรนอกจากนำมาใช้เป็นสารทดแทนไข่มันในโยเกิร์ตแล้วยังสามารถใช้เป็นสารเพิ่มความชื้นหนึ่งและอาจสามารถช่วยในการป้องกันการเกิดปฏิกิริยาออกซิเดชันของน้ำมันได้เนื่องจากช่วยลดความสามารถในการเคลื่อนที่ของออกซิเจนในระบบ แต่ทั้งนี้ยังไม่มีข้อมูลการวิจัยทางด้านวิทยาศาสตร์ในด้านความสามารถในเชิงหน้าที่และคุณสมบัติด้านเคมีกายภาพของแป้งดัดแปรทั้ง 3 ชนิดในการใช้เป็นสารทดแทนน้ำมันในโยเกิร์ต ดังนั้นจึงเป็นที่มาของการศึกษาการใช้แป้งดัดแปรทั้ง 3 ชนิด มาใช้เป็นสารทดแทนไข่มันในโยเกิร์ต ไข่มันต้มในงานวิจัยนี้

1.2 วัตถุประสงค์ของโครงการวิจัย

1.2.1 เพื่อศึกษาคุณสมบัติทางกายภาพของแป้งดัดแปรแต่ละชนิด ได้แก่แป้ง HDP, MD และ SSO ในด้านความสามารถเป็นสารทดแทนไข่มันและความสัมพันธ์ระหว่างคุณสมบัติทางกายภาพของโยเกิร์ต ไข่มันต้มที่มาจากการใช้แป้งดัดแปรและระดับการแทนที่ไข่มัน (ร้อยละ 25, 50 และ 75 ของโยเกิร์ต ไข่มันเต็ม) ที่แตกต่างกัน

1.2.2 เพื่อศึกษาผลของระดับความเข้มข้นของแป้งดัดแปร (HDP ร้อยละ 8 และ 10 MD ร้อยละ 28 และ 30 และ SSO ร้อยละ 10 และ 15) ต่อคุณสมบัติทางกายภาพของโยเกิร์ต ไข่มันต้มที่มีแป้งดัดแปรเป็นสารทดแทนไข่มัน

1.2.3 เพื่อศึกษาการเปลี่ยนแปลงคุณสมบัติทางเคมีกายภาพของมายองเนสสูตร ไขมันต้ม เมื่อเพิ่มระยะเวลาการเก็บตลอด 12 สัปดาห์

1.2.4 เพื่อศึกษารายละเอียดของผลิตภัณฑ์มายองเนสสูตร ไขมันต้มจากผู้บริโภคที่ผลิตจาก แป้งคัดแปรที่มีศักยภาพในการเป็นสารทดแทน ไขมันสูงที่สุด

1.3 สมมุติฐานของงานวิจัย

1.3.1 ชนิดและระดับการแทนที่ไขมันจากแป้งคัดแปรมีผลต่อคุณสมบัติทางเคมีกายภาพ ของมายองเนสสูตร ไขมันต้ม

1.3.2 ความเข้มข้นของแป้งคัดแปรแต่ละชนิดที่มีระดับการแทนที่ไขมันเท่ากันมีผลต่อ คุณสมบัติทางเคมีกายภาพของมายองเนสสูตร ไขมันต้ม

1.3.3 ระยะเวลาการเก็บมีผลต่อคุณสมบัติทางเคมีกายภาพของมายองเนสสูตร ไขมันต้ม

1.3.4 แป้งคัดแปรอย่างน้อย 1 ชนิดสามารถใช้เป็นสารทดแทน ไขมันในมายองเนสสูตร ไขมันต้มที่ผู้บริโภคสามารถยอมรับได้

1.4 ข้อตกลงเบื้องต้น

แป้งคัดแปร HDP MD ที่มีค่า DE 3 ถึง 5 และ SSO ที่ใช้ในการทดลองเป็นแป้งคัดแปรที่มี ความสามารถในการสกัดน้ำเย็นได้โดยไม่ต้องผ่านขั้นตอนการต้มให้แป้งสุก เพียงแต่ MD จะมี การดูดซึมน้ำเข้าไปในโครงสร้างได้ช้า จึงจำเป็นต้องเตรียมโดยการใช้ความร้อนช่วยให้แป้งดูดซึมน้ำได้เร็วขึ้น และจำเป็นต้องทิ้งไว้ให้เย็นเพื่อให้แป้งเกิดการจัดเรียงตัวเป็นเจลที่สามารถใช้เป็นสาร ทดแทน ไขมันต่อไป

ส่วนผสมของมายองเนสสูตร ไขมันเต้ม (Lui, Xu, and Guo, 2007) ประกอบด้วยน้ำมันถั่ว เหลืองร้อยละ 80 ไข่แดงร้อยละ 8 น้ำส้มสายชูกลิ้น (กรดอะซิติกร้อยละ 5) ร้อยละ 8 เกลือร้อยละ 1 น้ำตาลทรายร้อยละ 1 น้ำเปล่าร้อยละ 2 และกรดเบนโซอิกร้อยละ 0.5

ส่วนผสมของมายองเนสที่ใช้แป้งเป็นสารทดแทน ไขมันจะมีส่วนผสมเช่นเดียวกับ มายองเนสสูตร ไขมันเต้ม ยกเว้นปริมาณน้ำมันที่ลดปริมาณลงตามสูตรที่ใช้แป้งคัดแปรเป็นสาร ทดแทน ไขมันคือร้อยละ 25, 50 และ 75 ของไขมันที่มีในสูตรมายองเนสสูตร ไขมันเต้ม

1.5 ขอบเขตงานวิจัย

ขอบเขตงานวิจัยในครั้งนี้เพื่อศึกษาผลของการนำแป้งคัดแปร 3 ชนิดประกอบด้วย HDP, MD และ SSO เป็นสารทดแทน ไขมันในมายองเนสสูตร ไขมันต้ม ที่มีปริมาณของสาร

ทดสอบไขมันจากแป้งดัดแปร และปริมาณน้ำมันถัวเหลืองแตกต่างกัน ต่อคุณสมบัติทางเคมี กายภาพ ความเสถียรและการยอมรับทางปราสาทสัมผัสของนายองเนสสูตร ไขมันต่ำเปรี้ยบที่ยัง กับด้วยอั่งนายองเนสสูตร ไขมันเต็มคุณสมบัติทางเคมี กายภาพที่ศึกษาได้แก่ ขนาดอนุภาคเม็ด ไขมัน โครงสร้างระดับจุลภาค (Microstructure) สี (L* a* b* และ ΔE) ค่าความเป็นกรด-ด่าง (pH) ลักษณะเนื้อสัมผัส (Texture) คุณสมบัติวิทยากระแส การแยกชั้น ไขมัน (Phase separation) การ เกิดปฏิกิริยาออกซิเดชันของน้ำมัน (Lipid oxidation) และการทดสอบทางปราสาทสัมผัส

1.6 ประโยชน์ที่คาดว่าจะได้รับ

- 1.6.1 ได้เข้าใจถึงผลของการทดสอบไขมันด้วยแป้งดัดแปรต่างชนิดที่มีผลต่อคุณภาพ ทั้งทางเคมี กายภาพ และความเสถียรของนายองเนสสูตร รวมถึงการยอมรับของผู้บริโภค
- 1.6.2 ได้เปรียบที่ยังความสามารถในการเป็นสารทดสอบไขมันของแป้งดัดแปร 3 ชนิด
- 1.6.3 สามารถเลือกใช้สารทดสอบไขมันที่เป็นแป้งดัดแปรต่างชนิดให้ตรงกับความ ต้องการของผู้ผลิตและผู้บริโภค ได้
- 1.6.4 เพื่อให้ได้องค์ความรู้เกี่ยวกับอาหารที่เป็นอิมัลชันรวมถึงอิทธิพลของแป้งดัดแปร ที่มีผลต่อระบบอิมัลชัน

บทที่ 2

ปริทศน์วรรณกรรมและงานวิจัยที่เกี่ยวข้อง

2.1 Majority

Majority เป็นผลิตภัณฑ์ไดพัฒนาขึ้นตั้งแต่ปี กศ. 1756 ในแอบเมดเตอร์เรเนียน (Mediterranean) ผลิตภัณฑ์ Majority เป็นอิมัลชันชนิดน้ำมันในน้ำ (Oil-in-water) มีลักษณะกึ่งของแข็ง (Semi-solid) ลักษณะเนื้อสัมผัสของ Majority เป็นผลมาจากการบดอนุภาคเม็ด ไขมันที่จัดตัวแบบแน่น (Close packed) โดยอนุภาคเม็ด ไขมันมีค่าการกระจายตัวระหว่าง 0.1 ถึง 10 ไมโครเมตร ซึ่งอนุภาคเม็ด ไขมันที่เล็กกว่าจะแทรกตัวอยู่ระหว่างอนุภาคเม็ด ไขมันที่ใหญ่กว่า และบางอนุภาคจะแทรกอยู่ภายในอนุภาคเม็ด ไขมันที่ใหญ่กว่า โดยจะมีอิมัลซิไฟเออร์ที่เป็นเลชิติน โปรตีนหรือสารประกอบเชิงซ้อนของโปรตีน-เลชิตินล้อมรอบอนุภาคเม็ด ไขมัน ที่มีค่าความหนาของชั้นโปรตีน-เลชิตินเฉลี่ย 14 นาโนเมตร (Ford et al., 2004; Langton, Jordansson, Altskar, Sørensen and Hermansson, 1999) อนุภาคเม็ด ไขมันจะกระจายในฟลัตต์เนื่องที่มีน้ำและน้ำส้มสายชูโดยมีไบ์เดงเป็นอิมัลซิไฟเออร์ กลิ่นและรสชาติของ Majority จะมาจากน้ำส้มสายชูไบ์เดง เกลือ น้ำตาลทราย และเครื่องเทศต่างๆ Majority สมอย่างดีเก็บได้ค่อนข้างนาน โดยมีน้ำส้มสายชูและเกลือทำหน้าที่เป็นสารป้องกันการเน่าเสีย (Preservative)

สูตรมาตรฐานของ Majority ประกอบไปด้วย น้ำมันพืช หรือน้ำมันสัตว์ร้อยละ 80 ไบ์เดงร้อยละ 7 น้ำส้มสายชู (ความเข้มข้นของกรดร้อยละ 4.5) ร้อยละ 9.4 เกลือร้อยละ 1.5 น้ำตาลร้อยละ 1.5 มัสดาร์คร้อยละ 0.5 และ พริกไทยขาวร้อยละ 0.1 แต่ทั้งนี้ทั้งนั้นสูตร Majority ที่ผลิตในเชิงการค้ามีการปรับเปลี่ยนปริมาณส่วนผสมที่แตกต่างกันออกไป เพื่อให้ตรงตามความต้องการของลูกค้าในแต่ละห้องคิน รวมถึงต้นทุนในการผลิต

2.1.1 ส่วนประกอบของ Majority

2.1.1.1 น้ำมัน

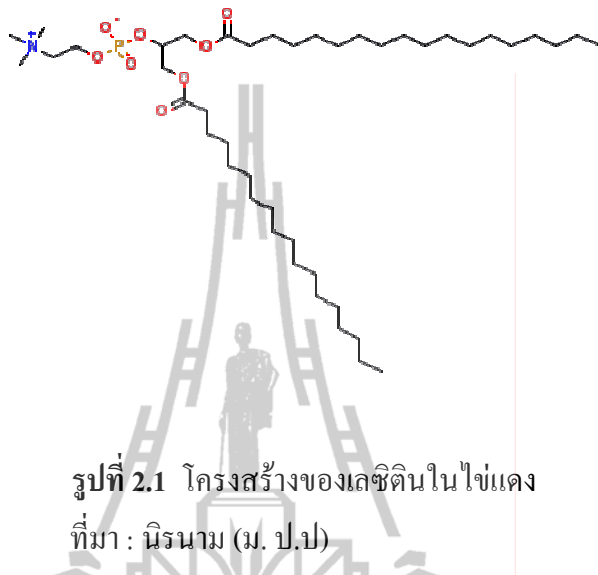
น้ำมันถือเป็นส่วนผสมหลักที่สำคัญของ Majority โดยใน Majority สูตรดังเดิมจะมีปริมาณน้ำมันถึงร้อยละ 70 ถึง 80 น้ำมันเป็นส่วนประกอบที่ให้ลักษณะเฉพาะใน Majority โดยทั่วไปจะใช้น้ำมันพืชในการผลิต Majority น้ำมันที่นิยมใช้ในการผลิตคือน้ำมันถั่วเหลือง น้ำมันเมล็ดฝ้าย น้ำมัน koktan ตะวัน และน้ำมันข้าวโพด (Hui, 1992) หน้าที่ของน้ำมันในอาหารประกอบไปด้วย ให้คุณค่าทางโภชนาการ ให้พลังงาน เป็นแหล่งของกรดไขมันที่จำเป็นต่อร่างกายที่ร่างกายไม่สามารถสังเคราะห์เองได้ เช่น กรดลิโนเลนิก และ กรดลิโนเลอิก และยังเป็นตัวกลาง

สำหรับเป็นตัวทำละลายวิตามินที่สำคัญในร่างกาย เช่น วิตามิน เอ ดี อี เค นอกจากนี้น้ำมันที่เป็นองค์ประกอบหลักในรายงานสารทำหน้าที่ให้กลิ่น รส และลักษณะเนื้อสัมผัสที่เป็นลักษณะจำเพาะของรายงานสัมผัส น้ำมันในอาหารมีหน้าที่สำคัญที่เกี่ยวข้องกับการประเมินคุณภาพทางประสาทสัมผัส 4 ประการคือ ให้ลักษณะปรากฎ เช่น ความมันวาว (Gloss) ความโปร่งใส (Translucency) และสี ให้ลักษณะเนื้อสัมผัส เช่น ความหนืด ความยืดหยุ่น (Elasticity) และความแข็ง (Hardness) ให้รสมันที่เป็นลักษณะจำเพาะที่ได้จากไขมันและให้ความรู้สึกเมื่อออยู่ในปาก เช่น การละลาย (Meltability) การเป็นครีม (Creaminess)

2.1.1.2 อิมัลซิไฟเออร์

อิมัลซิไฟเออร์ เป็นสารที่ช่วยลดแรงตึงผิวระหว่างเฟสกระจาย (น้ำมัน) และเฟสต่อเนื่อง (น้ำ) ทำให้ค่าพลังงานอิสระ (Free energy) ลดลง ทำให้ลดพลังงานที่จะต้องใช้ในการลดขนาดอนุภาคเม็ดไขมัน อิมัลซิไฟเออร์จะไปล้อมเกาะรอบ ๆ พื้นผิวของอนุภาคเม็ดไขมันในระหว่างกระบวนการโซโนเจนเซอร์ ทำให้แรงตึงผิวระหว่างอนุภาคเม็ดไขมันและเฟสต่อเนื่องลดลง และยังเป็นการป้องกันการกลับมารวมตัวกันอีกรึ่งของอนุภาคเม็ดไขมันหลังจากที่ถูกทำให้มีขนาดอนุภาคเล็กลง โดยอิมัลซิไฟเออร์เป็นสารที่มีคุณสมบัติที่มีทั้งส่วนที่ชอบน้ำ (Hydrophilic) และส่วนที่ชอบไขมัน (Lipophilic) ออยู่ในโมเลกุลเดียวกันโดยในระหว่างการล้อมจับอนุภาคเม็ดไขมันจะหันส่วนที่ชอบไขมันเข้าหาเฟสของไขมันและหันบริเวณที่ชอบน้ำเข้าหาเฟสต่อเนื่อง ตัวอย่างอิมัลซิไฟเออร์ที่ใช้ในการผลิตรายงานสัมผัส เช่น ไบแอค โปรตีนหางนม โปรตีนเยล โพรพิล-ลีน ไอกลคอลอลจิโนต (Propylene glycol alginate) และแบงคัดแพรที่มีคุณสมบัติเป็นแอมฟิฟิลิก (Amphiphilic properties) เป็นต้น อิมัลซิไฟเออร์ที่ใช้จะต้องมีคุณสมบัติเหมาะสมในสภาพที่เป็นกรดได้ โดยอิมัลซิไฟเออร์ที่เลือกใช้ในการผลิตรายงานจะมีหน้าที่ในการป้องกันการรวมตัวของอนุภาคเม็ดไขมันมากกว่าเพื่อป้องกันการเกาะกลุ่มกัน เนื่องจากปฏิกิริยาเกาะกลุ่มกันของอนุภาคเม็ดไขมันจะนำมาซึ่งการเกิดเป็นชั้นครีมโดยขึ้นที่ผิวน้ำของระบบ แต่ปรากฎการณ์นี้มักไม่พบในผลิตภัณฑ์รายงานสัมผัสเนื่องจากมีสัดส่วนของปริมาณไขมันมากและอนุภาคเม็ดไขมันอยู่กันอย่างใกล้ชิดกันจนทำให้ออนุภาคเม็ดไขมันแยกที่จะเคลื่อนที่ได้ ดังนั้นอิมัลซิไฟเออร์ที่ดีจะต้องมีความสามารถที่ทำให้เกิดแรงผลักระหว่างอนุภาคไม่ให้เข้าใกล้กันมากจนเกิดการรวมตัวกันรายงานสัมผัสสูตรปกติจะใช้ไบแอคเป็นอิมัลซิไฟเออร์ โดยองค์ประกอบในไบแอคที่สามารถเป็นอิมัลซิไฟเออร์ได้คือ โปรตีนในไบแอค และ เลซิติน รวมไบลิงสารประกอบเชิงช้อนของเลซิติน-โปรตีน (Anton, Beaumal and Gandermer, 2000; Le Denmat, Anton and Beaumal, 2000) โปรตีนในไบแอคเป็นสารประกอบเชิงช้อนของโปรตีนที่ประกอบไปด้วย phosphoglycoprotein, lipoprotein และ phosphoglycolipoprotein โปรตีนที่มีในไบแอคจะสามารถแสดงคุณสมบัติในการเป็นอิมัลซิไฟเออร์ได้ในอาหารที่มีค่าความเป็นกรด-ด่าง ต่ำได้ (Nilsson, Osmark, Fernandez and Bergenståhl, 2007)

phosphatidyl choline หรือเลซิตินมีคุณสมบัติเป็นอิมัลซิไฟเออร์ได้โดยมีประจุลบที่กลุ่มฟอสเฟต และประจุบวกที่คอเลอีน (รูปที่ 2.1)



รูปที่ 2.1 โครงสร้างของเลซิตินในไข่แดง
ที่มา : นิรนาม (ม. ป.ป)

สารประกอบที่มีในไข่แดงสามารถสร้างเนื้อเยื่อ (Membranes) ที่แข็งแรงและมีแรงดึงระหว่างอนุภาคเม็ดไข้มันด้วยกันเอง นอกจากนี้ส่วนผสมอื่น ๆ ที่เติมลงในมายองเนส อาจทำหน้าที่เป็นสารจับที่ผิวอนุภาคเม็ดไข้มันได้ เช่น กัน เช่น มัสดาร์ด เครื่องเทศ และเม็ดของแป้ง เป็นต้น (Ford et al., 2004; Langton et al., 1999) การเลือกใช้อิมัลซิไฟเออร์ที่เหมาะสมสมมิส่วนสำคัญต่อความเสถียรของอิมัลของมายองเนสในระยะยาว

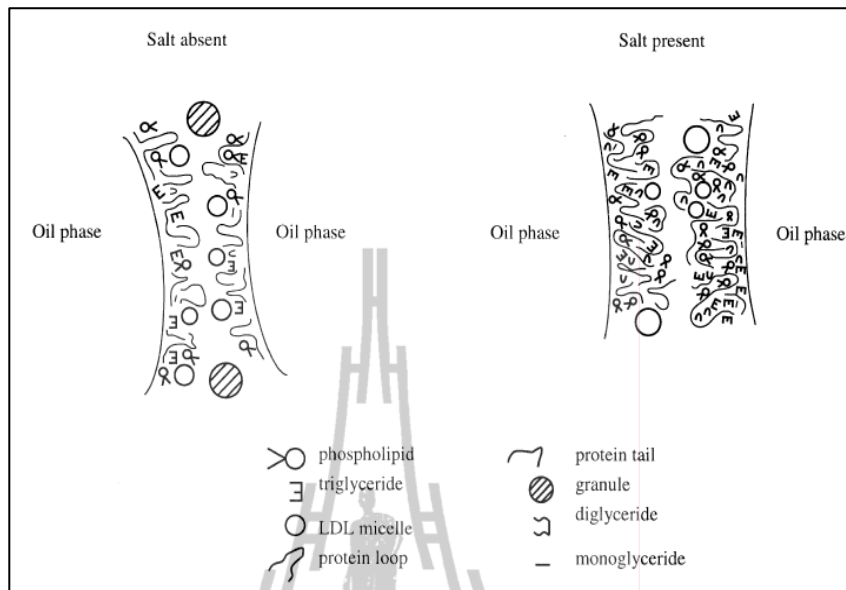
2.1.1.3 ส่วนผสมอื่น ๆ

ส่วนผสมอื่น ๆ ในมายองเนสประกอบไปด้วย น้ำส้มสายชู น้ำตาลทราย เกลือ มัสดาร์ด สารแต่งกลิ่น - รส และสารให้ความชื้นหนึ่ดที่ช่วยให้มายองเนสมีความเสถียร เกลือ นอกจากจะให้รสชาติในมายองเนสแล้ว ยังพบว่าเกลือจะมีผลต่ออักษะของมายองเนสด้วยซึ่งจากเหตุผลสามประการคือ ประการแรกเกลือจะช่วยในการละลายของ Egg yolk granules ทำให้เพิ่มประสิทธิภาพด้าน Surface active และเหตุผลข้อที่สองคือ เกลือจะช่วยปรับประจุที่มีในโปรตีนให้เป็นกลางเพื่อให้มันสามารถที่จะไปเกาะที่พื้นผิวของอนุภาคเม็ดไข้มันได้ และประการที่สามคือการปรับประจุให้เป็นกลางจะช่วยให้อนุภาคเม็ดไข้มันสามารถที่อยู่ใกล้กันได้มากขึ้นทำให้เกิดปฏิกิริยาพันธ์กันได้ดีขึ้น (Kiosseoglou and Sherman, 1983) ในขณะเดียวกันการเติมเกลือที่มากเกินไปอาจทำให้โปรตีนในไข่แดงเกิดการเกาะรวมตัวกันในเฟสต่อเนื่องมากกว่าการไปเกาะล้อมรอบอนุภาคเม็ดไข้มัน ชนิดและความเข้มข้นของเกลือที่ใช้ในการผลิตไข่แดงในน้ำเกลือ (Salted yolk) ยังมีผลต่อโครงสร้างและคุณสมบัติในการเป็นอิมัลซิไฟเออร์ด้วย (Harrison and Cunningham, 1986) ซึ่งสามารถอธิบายได้ดังนี้คือ การเติมเกลือจะทำให้ Lipovitellin สามารถดูดซึม

น้ำได้มากขึ้นแล้วทำให้แกรนูลของโปรตีนบวมขึ้น (Swell) แต่เมื่อเพิ่มปริมาณของเกลือจะทำให้โปรตีนที่มีในไนแอร์เดงบางชนิดเริ่มขับน้ำออก (Dehydrated) และเกิดอันตรายร้ายแรงระหว่างโปรตีนด้วยกันเอง เกิดการรวมตัวและเกิดตะกอนของโปรตีน ไนแอร์เดง ในขณะที่เกลือต่างชนิดกันมีค่าประจุแตกต่างกันทำให้ความสามารถการเกิดอันตรายร้ายกันน้ำแตกต่างกัน เกลือที่มีโพลิวอลน้ำที่ไอออนและมีขนาดเล็ก เช่น Na^+ จะมีค่าความเข้มของสนามไฟฟ้าสูง (Strong electric field) จะเกิดอันตรายร้ายกับน้ำและสร้างเป็นโครงสร้างของมายองเนสได้ ทำให้ความหนืดของระบบสูงขึ้น ในขณะที่เกลือที่มีขนาดใหญ่เช่น K^+ , I^- และ Cl^- จะลดการเกิดปฏิกิริยาออกซิเดชันน้ำ และลดการสร้างโครงสร้างของมายองเนส ซึ่งผลของการเติมเกลือสามารถแสดงในรูปที่ 2.2

นอกจากนี้พบว่าเกลืออนอกจากจะให้กลืน-รส และสร้างความเสถียรให้มายองเนสแล้วยังพบว่า เกลือมีผลต่ออัตราการเกิดปฏิกิริยาออกซิเดชันด้วยตัวเอง (Auto oxidation) ด้วย Lahtinen และ Ndabikunze (1990) ได้ศึกษาผลของการเข้มข้น (ร้อยละ 0.85 และ 1.45) ของเกลือสามชนิดได้แก่ โซเดียมคลอไรด์ (NaCl) โพแทสเซียมคลอไรด์ (KCl) และ แมกนีเซียมซัลเฟต ($\text{MgSO}_4 \cdot 6\text{H}_2\text{O}$) ต่อการเกิดปฏิกิริยาออกซิเดชันในมายองเนสที่มีการเติมและไม่เติมสารป้องกันการเกิดออกซิเดชัน (Antioxidant) การทดลองพบว่าเกลือ NaCl และ เกลือที่ผสมกันระหว่าง NaCl ร้อยละ 50 และ KCl ร้อยละ 50 สามารถส่งเสริมให้เกิดปฏิกิริยาออกซิเดชันในน้ำมันได้ ในกรณีที่ไม่มีการเติมสารป้องกันการเกิดออกซิเดชัน ในขณะที่เกลือที่เป็นส่วนผสมระหว่าง NaCl ร้อยละ 65, KCl ร้อยละ 25 และ $\text{MgSO}_4 \cdot 6\text{H}_2\text{O}$ ร้อยละ 10 ไม่พบการส่งเสริมการเกิดปฏิกิริยาออกซิเดชันของน้ำมันจากเกลือเกือบทุกชนิด เมื่อมีการเติมสารป้องกันการเกิดปฏิกิริยาออกซิเดชันของน้ำมัน ยกเว้นตัวอย่างที่เติม NaCl ร้อยละ 0.85 พบว่าการเกิดปฏิกิริยาออกซิเดชันของน้ำมันยังคงเพิ่มขึ้นเนื่องจากเกลือที่ผลิตส่วนใหญ่เป็นเกลือที่ผลิตจากน้ำทะเล ซึ่งอาจมีแร่ธาตุที่ปนเปื้อนมากับน้ำทะเล เช่น ธาตุเหล็ก ที่เป็นสารที่ส่งเสริมการเกิดปฏิกิริยาออกซิเดชันของน้ำมัน

ส่วนผสมที่สำคัญอีกอย่างในการผลิตมายองเนสคือน้ำส้มสายชู ซึ่งการเติมน้ำส้มสายชูมีจุดประสงค์เพื่อให้ค่าความเป็นกรด-ด่าง ของมายองเนสมีค่าในช่วง 2.5 ถึง 4.5 เพื่อป้องกันการเจริญเติบโตของเชื้อจุลินทรีย์ (McClements, 2005) เนื่องจากเชื้อจุลินทรีย์ที่ก่อโรคไม่สามารถเจริญเติบโตได้ในสภาพที่มีค่าความเป็นกรด-ด่าง ต่ำกว่า 4.4 (Smitte, 1977, 2000) นอกจากนี้ค่าความเป็นกรด-ด่าง ของตัวอย่างมายองเนสที่มีค่าต่ำจะมีผลโดยตรงกับโครงสร้างของมายองเนส โดยพบว่าคุณสมบัติด้านวีสโตรีติกและความเสถียรของมายองเนสมีค่าสูงสุด เมื่อค่าความเป็นกรด-ด่าง ใกล้กับค่า Isoelectric point (pI) ของโปรตีนในไนแอร์เดง จึงทำให้ประจุรวมของโปรตีนมีค่าต่ำสุด โดยคุณสมบัติด้านวีสโตรีติกมีค่าสูงสุดที่ค่าความเป็นกรด-ด่างเท่ากับ 3.9 ซึ่งเป็นค่า pI ของโปรตีนในไนแอร์เดง (Kiosseoglou and Sherman, 1983)



รูปที่ 2.2 องค์ประกอบที่มีในไข่แดง ที่คุดชบที่ผิวของอนุภาค ไข่มันในสภาพที่มีและไม่มีเกลือ
ที่มา : Kiosseoglou and Sherman (1983)

น้ำตาลทรายนอกจากจะให้ส่วนผสมกับผลิตภัณฑ์มายองเนสแล้วยังช่วยลดการเกิดปฏิกัดพันธ์ระหว่างอนุภาคเม็ดไข่มัน โดยที่จากน้ำตาลน้ำตาลจะไปบดบังกลุ่มที่สามารถทำให้ออนุภาคเม็ดไข่มันเกิดปฏิกัดพันธ์กัน เช่น ไปลดการเกิดปฏิกัดพันธ์ของโปรตีนไข่ขาวหรือโพลีแซคคาไรด์ที่มีประจุ เช่น คาร์บอซิลเมทิลเซลลูโลส โดยปกติสารเหล่านี้จะทำให้เกิดการสร้างพันธะเชื่อมข้ามระหว่างอนุภาคเม็ดไข่มัน (Kiosseoglou and Sherman, 1983)

2.1.2 การผลิตมายองเนส

การผลิตมายองเนสในอุตสาหกรรมมีขั้นตอนการผลิตพื้นฐานดังนี้คือ ผสมไข่แดง เกลือ น้ำตาล มัสตาร์ด สารปรับแต่งกลิ่น-รสต่าง ๆ ลงในภาชนะแล้วตีผสมให้เข้ากัน หลังจากนั้น เทน้ำมันลงในส่วนผสมอย่างช้า ๆ ที่มีการตีผสมตลอดเวลา เมื่อส่วนผสมเข้ากันดีแล้วจึงเทน้ำส้มสายชูอย่างช้า ๆ ตีด้วยอัตราเร็วปานกลาง หลังจากนั้นจึงถ่ายใส่ภาชนะที่มีฝาปิดสนิท เพื่อป้องกันการสัมผัสถูกอากาศ

2.2 เครื่องไฮโนเจนเซอร์ (Homogenizer)

เครื่องไฮโนเจนเซอร์ (Homogenizer) เป็นเครื่องมือที่ทำให้เกิดอิมัลชันโดยทำให้เฟสกระจาย (Dispersed phase) มีขนาดเล็กและสามารถกระจายอยู่ในเฟสต่อเนื่อง (Continuous phase) ได้ เรียกกระบวนการที่ทำให้เฟส 2 เฟสที่ไม่สามารถอยู่ด้วยกันได้สามารถอยู่ร่วมกันเป็นเนื้อ

เดียวกันได้ว่าโซโนเจชัน (Homogenization) การเกิดอิมัลชันสามารถแบ่งได้เป็น 2 ประเภท (McClements, 2005) ประเภทแรก (Primary homogenization) คือกระบวนการทำให้เฟสน้ำกับน้ำมันสามารถเกิดอิมัลชันในขั้นตอนเดียวซึ่งจะได้ออนุภาคเม็ดไบมันที่มีขนาดค่อนข้างใหญ่ การผลิตอิมัลชันประเภทนี้อาจใช้เครื่องมือพื้นฐานในการตีผสม เช่นการใช้ตะกร้อตีไบตีผสม เครื่องปั่นผสมในครัวเรือนถึงเครื่องตีผสมความเร็วสูง และประเภทที่สอง (Secondary homogenization) เป็นอิมัลชันที่ต้องมีขั้นตอนการลดขนาดอนุภาคให้เล็กลง โดยนำอิมัลชันประเภทแรกมาลดขนาดอนุภาคเม็ดไบมันให้เล็กลงอีกครั้งทำให้ได้อิมัลชันที่มีขนาดอนุภาคเล็กลง ในที่นี้จะขอยกตัวอย่างเครื่องโซโนเจอร์ที่ใช้ในการผลิตmanyongเนสซึ่งจะมีตั้งแต่ผลิตเพื่อบริโภคในครัวเรือน เช่น เครื่องปั่นความเร็วสูง หรือผลิตในระดับอุตสาหกรรมยกตัวอย่างเช่น Colloid mill หรือ High pressure valve homogenizer ดังรูปที่ 2.3

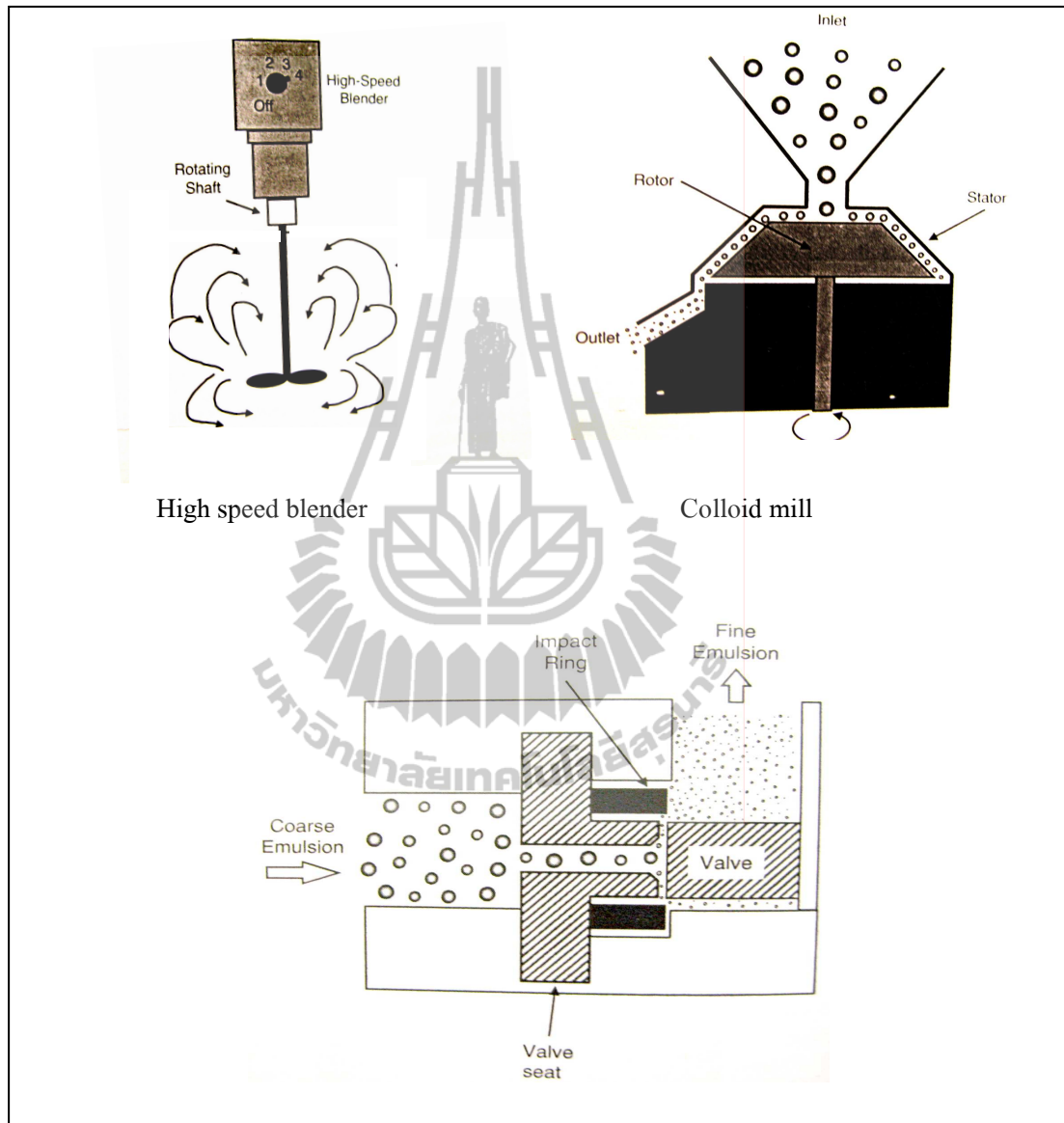
2.2.1 High speed blenders

High speed blender เป็นเครื่องมือที่ใช้ในการผลิตmanyongเนสที่ทำให้ได้ขนาดอนุภาคเม็ดไบมันค่อนข้างใหญ่ คือมีรัศมีของขนาดอนุภาคไบมันมากกว่า 5 ไมโครเมตร โดยส่วนมากมักมีการใช้ High speed blender ควบคู่กับเครื่องลดขนาดอนุภาคเม็ดไบมันชนิดอื่น เช่น Colloid mill หรือ High pressure valve homogenizer โดยจะใช้ High Speed blender เพื่อตีส่วนผสมให้เข้ากันและใช้เตรียมอิมัลชันที่มีขนาดอนุภาคเม็ดไบมันที่ใหญ่ (Coarse emulsion) ก่อน หลังจากนั้นจึงนำไปลดขนาดอนุภาคเม็ดไบมันให้เล็กลงด้วยเครื่อง Colloid mill หรือ High pressure valve homogenizer ที่สามารถผลิตmanyongเนสที่มีขนาดอนุภาคเม็ดไบมันที่เล็กได้ High speed blender มีทั้งที่เป็นแบบกะ (Batch) และแบบต่อเนื่อง ซึ่งสามารถใช้ในการผลิตระดับอุตสาหกรรมได้ เครื่องมีชนิดนี้เหมาะสมสำหรับการใช้ลดขนาดอนุภาคเม็ดไบมันในตัวอย่างที่มีความหนืดต่ำ ๆ ถึงปานกลาง โดยประสิทธิภาพในการลดขนาดอนุภาคเม็ดไบมันขึ้นกับอัตราเร็วของการหมุนของใบวนและเวลาในการตีผสม

2.2.2 Colloid mills

Colloid mills เป็นเครื่องมือที่ใช้ลดขนาดอนุภาคเม็ดไบมันที่มีความหนืดในช่วงปานกลางถึงสูง โดยส่วนประกอบของเครื่องที่สำคัญจะมีสองส่วนคือ ส่วนที่เป็นงานหมุน (Rotor) และงานที่อยู่กับที่ (Stator) โดยตัวอย่างอิมัลชันที่มีขนาดอนุภาคใหญ่จะถูกปั๊มเข้าบริเวณตรงกลางของงานหมุน ที่หมุนด้วยแรงแคนเนือน (Shear stress) ที่สูงซึ่งตัวอย่างที่มีขนาดเล็กลงจะถูกเหวี่ยงออกนอกศูนย์กลางด้วยแรงปั่นหวีง (Centrifuge force) ประสิทธิภาพในการลดขนาดอนุภาคเม็ดไบมันขึ้นกับระยะห่างระหว่างงานหมุนกับงานอยู่กับที่ ความเร็วของงานหมุนรวมไปถึงพื้นผิวของงานโดยจะมีทั้งที่เป็นผิวเรียบและผิวไม่เรียบ นอกจากนี้ปัจจัยที่เกี่ยวข้องกับการลดขนาดเม็ดไบมันยังรวมไปถึง

ระยะเวลาที่ใช้และอัตราการป้อนอิมัลชันเข้าเครื่อง โดยเส้นผ่านศูนย์กลางขนาดอนุภาคเม็ดไบมันที่ผลิตเครื่องด้วย Colloid mills จะอยู่ในช่วง 1 ถึง 5 ไมโครเมตร



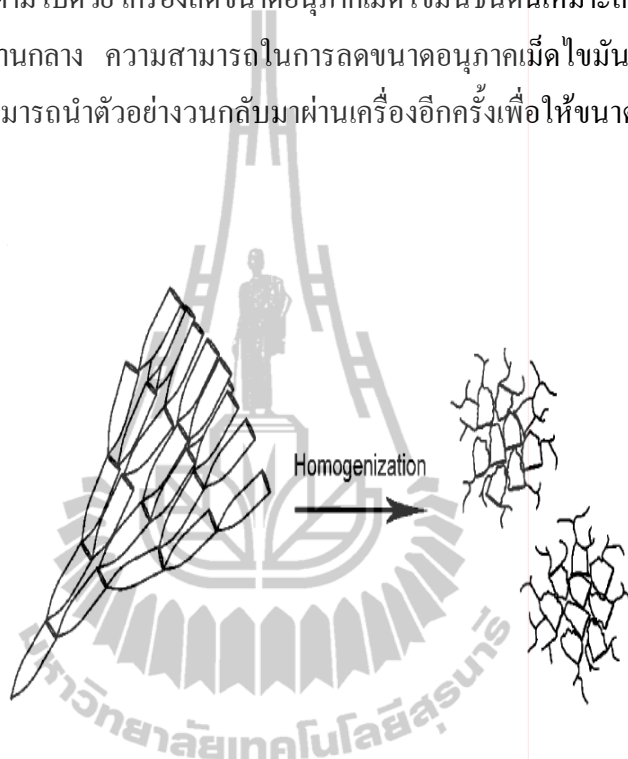
รูปที่ 2.3 โฉนดในเชอร์แบบต่าง ๆ

ที่มา : McClements (2005)

2.2.3 High pressure valve homogenizer

เครื่องลดขนาดอนุภาคเม็ดไบมันชนิดนี้หมายสำหรับการลดขนาดอนุภาคเม็ดไบมันที่ตัวอย่างอิมัลชันมีขนาดอนุภาคใหญ่ เช่นเดียวกับ Colloid mill โดยตัวอย่างจะถูกปั๊มเข้าสู่ Chamber ในช่วงที่

ลูกสูบถอยหลังแล้วจึงอัดผ่านช่องแคบของวัลว์ด้วยความดันสูงในช่วงที่ลูกสูบเดินหน้า เมื่อตัวอย่างถูกอัดผ่านช่องแคบ ๆ มีผลทำให้ขนาดอนุภาคเม็ดไบมันเล็กลง โดยประสิทธิภาพในการลดขนาดอนุภาคเม็ดไบมันขึ้นกับการระยะเวลาห่างของวัลว์ ถ้าระยะเวลาห่างของวัลว์เล็กลงจะทำให้ความดันเพิ่มขึ้น ส่งผลให้ขนาดอนุภาคเม็ดไบมันมีขนาดเล็กลง แต่ทั้งนี้การเพิ่มความดันมีผลให้การใช้พลังงานเพิ่มขึ้นทำให้ต้นทุนการผลิตสูงขึ้นตามไปด้วย เครื่องลดขนาดอนุภาคเม็ดไบมันชนิดนี้เหมาะสมสำหรับตัวอย่างที่มีความหนืดอยู่ในช่วงต่ำถึงปานกลาง ความสามารถในการลดขนาดอนุภาคเม็ดไบมันลงได้เล็กที่ขนาด 0.1 ไมโครเมตร และสามารถนำตัวอย่างวนกลับมาผ่านเครื่องอีกครั้งเพื่อให้ขนาดอนุภาคเม็ดไบมันเล็กลงอีก



รูปที่ 2.4 ขนาดโมเลกุลของโพลีแซคคาไรด์หลังจากการไฮโนมิไนซ์
ที่มา : Nilsson et al. (2006)

แรงที่ใส่เพื่อใช้ลดขนาดอนุภาคเม็ดไบมันในขั้นตอนการไฮโนมิไนซ์ไม่เพียงแต่ทำให้ออนุภาคเม็ดไบมันเล็กลง แต่ยังมีผลทำให้ส่วนผสมอื่น ๆ เช่น ไบโอโพลีเมอร์ที่ใช้เพื่อเป็นสารเพิ่มความเสถียร สารเพิ่มความชื้นหนึ่ง หรือสารปรับปรุงเนื้อสัมผัสเม็ดขนาดโมเลกุลที่เล็กลง (Floury, Desrumaux, Axelus, and Legrand, 2002; 2003; Nilsson, Leeman, Wahlund, and Bergenståhl, 2006; Rojas, Wahlund, Bergenståhl, and Nilsson, 2008) ดังแสดงในรูปที่ 2.4 เมื่อขนาดโมเลกุลของลายโพลีเมอร์ลูกทำลายจะส่งผลให้รัศมี (radius of gyration) ของไบโอโพลีเมอร์มีค่าต่ำลง ซึ่งมีผลทำให้ค่าความหนืดของไบโอโพลีเมอร์มีค่าลดลงและอาจส่งผลต่อการเปลี่ยนแปลงลักษณะเนื้อสัมผัสและคุณสมบัติด้านวิทยากรศาสตร์ของอาหาร

2.3 สารทดแทนไขมัน

เนื่องจากในปัจจุบันได้มีการตื่นตัวในเรื่องการบริโภคอาหารเพื่อสุขภาพ และความไม่สมดุลระหว่างการบริโภคและการออกกำลังทำให้เกิดปัญหาเรื่องโรคอ้วนซึ่งจะนำไปสู่โรคอื่น ๆ เช่น โรคความดันโลหิตสูง โรคหลอดเลือดหัวใจอุดตัน เป็นต้น ผู้ผลิตอาหารจึงจำเป็นที่จะต้องผลิตอาหารเพื่อตอบสนองต่อความต้องการของผู้บริโภค ซึ่งในปัจจุบันได้มีการใช้สารทดแทนไขมันเพื่อใช้ในการผลิตอาหารให้ตรงกับความต้องการของผู้บริโภคในอาหารต่าง ๆ อย่างแพร่หลาย แตกต่างกันไปตามประเภทของอาหาร ไขมันถือได้ว่ามีบทบาทสำคัญต่อการแสดงถึงลักษณะของมายองเนส โดยจะให้กลิ่น - รส เนื้อสัมผัสที่เป็นเอกลักษณ์ของมายองเนสดังได้กล่าวมาแล้ว สารที่นำมาทดแทนอนุภาคเม็ด ไขมันในมายองเนส จะต้องมีความสามารถที่จะรักษาไว้ซึ่งลักษณะทางคุณภาพแบบเดิมของมายองเนส การลดปริมาณไขมันในมายองเนสมีผลทำให้ระยะห่างระหว่างอนุภาคเม็ด ไขมันเพิ่มขึ้น ซึ่งจะมีผลกระทบโดยตรงต่อลักษณะเนื้อสัมผัสและลักษณะกลิ่น - รสของมายองเนส ดังนั้นสารที่อยู่ในระบบเฟสต่อเนื่องจึงเข้ามามีบทบาทสำคัญในการทำหน้าที่ให้คงไว้ซึ่งลักษณะทางเนื้อสัมผัสแบบเดิม การเลือกชนิดของสารทดแทนไขมันในมายองเนส ขึ้นอยู่กับปริมาณของไขมันที่ต้องการทดแทน และความสามารถที่สารทดแทนไขมันจะคงไว้ซึ่งลักษณะปรากฏแบบเดิม ด้านผู้ผลิตพยายามในระดับอุตสาหกรรมอาจต้องคำนึงถึงต้นทุนการผลิต การยอมรับของผู้บริโภค และความเสถียรของผลิตภัณฑ์ จากผลการสำรวจของ Calorie Control Council 2000 National Survey ประเทศสหรัฐอเมริกา พบว่า 5 เทศพลดแรกของผู้บริโภคที่ทำให้เลือกบริโภคอาหารที่มีไขมันต่ำคือเพื่อสุขภาพที่ดี มีประโยชน์ต่อสุขภาพ เพื่อต้องการลดปริมาณการบริโภคไขมัน เพื่อลดพลังงาน และเพื่อต้องการลดคลอเรสเตอรอล

2.3.1 ประเภทของสารทดแทนไขมัน

สารทดแทนไขมันสามารถแบ่งตามหน้าที่และโครงสร้างของสารที่นำมาใช้เป็นสารทดแทนไขมันได้โดยมีคำจำกัดความดังนี้คือ 1) Fat replacer เป็นคำที่ ฯ ไปที่ใช้อธิบายส่วนผสมใด ๆ ที่สามารถใช้แทนที่ไขมันในสูตรดังเดิมได้ 2) Fat substitute เป็นคำที่ใช้เรียกส่วนผสมอาหารที่นำใช้ในการทดแทนไขมัน โดยส่วนผสมเหล่านี้มีโครงสร้างทางเคมีและลักษณะทางกายภาพคล้ายไขมันแต่ไม่สามารถย่อยโดยเย็น ไชม์ที่มีในร่างกายมนุษย์ ทำให้ร่างกายได้รับพลังงานน้อยหรือไม่ได้รับพลังงานจากการบริโภคไขมันเหล่านี้ เป็นสารประกอบที่ได้จากการสังเคราะห์ขึ้นใหม่โครงสร้างทางเคมีใกล้เคียงกับไขมัน 3) Fat mimetic เป็นคำที่ใช้เรียกส่วนผสมที่อาจมาจาก โปรตีน คาร์โบไฮเดรต หรือส่วนผสมอื่น ๆ ที่สามารถเลียนแบบหรือจำลองคุณสมบัติเชิงหน้าที่ของไขมันได้ เช่นคุณสมบัติทางกายภาพ เนื้อสัมผัส ความรู้สึกในปาก (Mount feel) และคุณสมบัติทางประสานสัมผสของไขมัน

2.3.2 แหล่งที่มาของสารทดแทนไขมัน

สารทดแทนไขมันมาจากแหล่งต่าง ๆ ได้แก่ จากโปรตีน (Protein based fat replacer) ไขมัน (Fat based fat replacer) และจากคาร์โบไฮเดรต (Carbohydrate based fat replacer) สารที่มาจากการแหล่งที่เป็นโปรตีน เป็นต้น สารทดแทนไขมันที่มาจากการนำไขมันจะให้พลังงาน 1ถึง 2 แคลอรี/กรัม โดยสามารถนำไปประยุกต์ใช้กับผลิตภัณฑ์นม เช่น ไอศครีม เนย ครีมเบร์เย ชีส โยเกิร์ต น้ำสลัด มาการิน และมายองเนส Modified whey protein concentrate เป็นสารทดแทนไขมันที่ได้จากการนำเวฟ์โปรตีนเข้มข้นมาผ่านกระบวนการให้ความร้อนทำให้ได้ผลิตภัณฑ์ที่มีคุณสมบัติคล้ายไขมัน (Fat-like properties)

สารทดแทนไขมันที่มาจากการเปลี่ยนโครงสร้างทางเคมีของกรดไขมัน เพื่อผลิตสารทดแทนไขมันที่ไม่ให้พลังงานกับร่างกายมňย สารทดแทนไขมันประเภทนี้เมื่อผ่านเข้าสู่ร่างกายจะไม่สามารถย่อยลายด้วยเอนไซม์ที่มีในร่างกายมňย เทคโนโลยีสมัยใหม่ทำให้สามารถเปลี่ยนโครงสร้างทางเคมีของไขมันให้เหมาะสมกับการผลิตผลิตภัณฑ์ที่มีไขมันต่ำได้หลายชนิด เช่น น้ำมันสัมภาระ น้ำมันสำหรับประกอบอาหาร (Cooking oil) ชีส ไอศครีม ผลิตภัณฑ์ขนมอบ ผลิตภัณฑ์อาหารว่าง (Salty snacks) และ แครกเกอร์ (Crackers) เป็นต้น ด้วยการที่สารที่ได้จากการเปลี่ยนแปลงโครงสร้างของไขมัน เช่น Sorbestrin เป็นสารซึ่งให้พลังงานต่ำ และสามารถทนต่อความร้อน ประกอบไปด้วย Fatty acid ester ของ Sorbitol และ Sorbitol anhydried โดยจะให้พลังงาน 1.5 แคลอรี/กรัม ซึ่งสามารถนำไปประยุกต์ใช้กับผลิตภัณฑ์ที่ต้องผ่านการทำน้ำสลัด manyong เนส และผลิตภัณฑ์ขนมอบ

สารทดแทนไขมันที่มาจากการใบไไฮเดรตประกอบด้วยสารทดแทนไขมันที่มาจากการเซลลูโลส (Cellulose) กัม (Gum) สเตาร์ช (Starch) ไฟเบอร์ (Fiber) และโพลีเดกซ์โทรส (Polydextrose) สารใบไไฮเดรตที่ใช้ในทดแทนไขมันส่วนใหญ่จะทำหน้าที่เป็นสารเพิ่มความข้นหนืดและเป็นสารให้ความเสถียร โดยสามารถใช้เป็นทดแทนไขมันใน Formulated food หลายชนิด รวมถึงผลิตภัณฑ์ที่ต้องผ่านการให้ความร้อน สารทดแทนไขมันที่มาจากการใบไไฮเดรตสามารถแบ่งตามแหล่งที่มาได้ดังหัวข้อต่อไปต่อไป

2.3.2.1 เซลลูโลส

เซลลูโลสที่ใช้เป็นสารทดแทนไขมันจะถูกลดขนาดให้อยู่ในรูป Microparticulate cellulose เมื่อละลายน้ำจะกระเจาขึ้นทำให้เกิดโครงสร้างตาข่ายของอนุภาคที่ให้ความรู้สึกเมื่อออยู่ในปากและมีคุณสมบัติการไหลคล้ายไขมัน เซลลูโลสเป็นสารทดแทนไขมันที่ไม่ให้พลังงานกับร่างกาย สามารถใช้ทดแทนไขมันได้บางส่วนหรือทั้งหมดที่เป็นผลิตภัณฑ์นม ซอส ผลิตภัณฑ์ขนมหวานแห้งเช่นอัลมอนด์ และ น้ำสลัด

2.3.2.2 กัม (Gum)

กัมเป็นโพลีแซคคาไรด์ที่ได้จากพืชหรือสัตว์หรือได้จากการสังเคราะห์ กัมที่สามารถใช้ทดแทนไขมันในผลิตภัณฑ์อาหาร ได้แก่ กัวร์กัม (Guar gum) กัมอะราบิก (Gum arabic) โอลกัสบีนกัม (Locust bean gum) แซนแทนกัม (Xanthan gum) カラเจีนัน (Carageenan) และ เพกติน (Pectin) ส่วนใหญ่เป็นสารที่ไม่ให้พลังงาน ทำหน้าที่เพิ่มความข้นหนืดและทำให้เกิด Gelling effect ส่งผลให้เกิดลักษณะเนื้อสัมผัสแบบครีมสารประเภทนี้สามารถใช้ทดแทนไขมันในผลิตภัณฑ์อาหาร ได้แก่ น้ำสลัดไขมันต่างๆหรือน้ำสลัดปราศจากไขมัน ผลิตภัณฑ์ขั้นหวานและผลิตภัณฑ์เนื้อประรูป นอกจากนี้ยังมีสารทดแทนไขมันที่เป็นเบต้า-กลูแคนที่สกัดจากข้าวโอ๊ต ข้าวนาร์เลย์และจากผนังเซลล์เยสต์ โดยสารทดแทนไขมันที่มาจากการเบต้า - กลูแคนสามารถนำไปประยุกต์ใช้กับผลิตภัณฑ์ได้แก่ ผลิตภัณฑ์ ขนมอบ นม ชีส น้ำสลัด mayo องค์เนสและไอศกรีม ผลิตภัณฑ์ที่ได้จะมีปริมาณไขมันต่ำและมีไฟเบอร์ที่ละลายน้ำได้ในปริมาณสูง ซึ่งจะช่วยลดความเสี่ยงต่อการเกิดโรคหัวใจ (Worrasinchai et al., 2006)

2.3.2.3 แป้งดัดแปร์

แป้งดัดแปร์ตามความหมายที่กำหนดในมาตรฐานผลิตภัณฑ์ อุตสาหกรรม มาก. 1073-2535 หมายถึง ผลิตภัณฑ์ที่ได้จากการนำแป้งสาหร่าย เช่น แป้งมันสำปะหลัง แป้งข้าวโพด แป้งมันฝรั่ง และแป้งสาลีเป็นต้น มาเปลี่ยนคุณสมบัติทางเคมีและ/หรือทางฟิสิกส์จากเดิมด้วยความร้อน และ/หรือเอนไซม์และ/หรือสารเคมีชนิดต่าง ๆ เพื่อให้เหมาะสมกับการนำใช้ในอุตสาหกรรมที่แตกต่างกัน เนื่องจากแป้งดัดแปร์มีราคาต่ำเมื่อเทียบกับสารทดแทนไขมันที่มาจากการแหล่งอื่น ๆ ทำให้สามารถลดต้นทุนในการผลิตได้ ปัจจุบันมีแป้งดัดแปร์ที่หลากหลายทั้งในเชิงหน้าที่และคุณสมบัติเพื่อให้ผู้ผลิตสามารถเลือกใช้ให้เหมาะสมกับผลิตภัณฑ์ ความต้องการของผู้บริโภค และมีต้นทุนในการผลิตต่ำ ในปัจจุบันผู้ผลิตสามารถเลือกใช้แป้ง ดัดแปร์เป็นสารทดแทนไขมันในผลิตภัณฑ์อาหารหลากหลายมากขึ้น สารทดแทนไขมันที่มาจากการแป้งดัดแปร์มักใช้ในรูป Bodying agent และ Texture modifier ที่ให้พลังงาน 1 ถึง 4 แคลอรี/กรัม แป้งดัดแปร์ที่เลือกใช้เป็นสารทดแทนไขมันในการทดลองครั้งนี้ประกอบไปด้วย

2.3.2.3.1 มอลโตเดกซ์ตرين (Maltodextrin, MD)

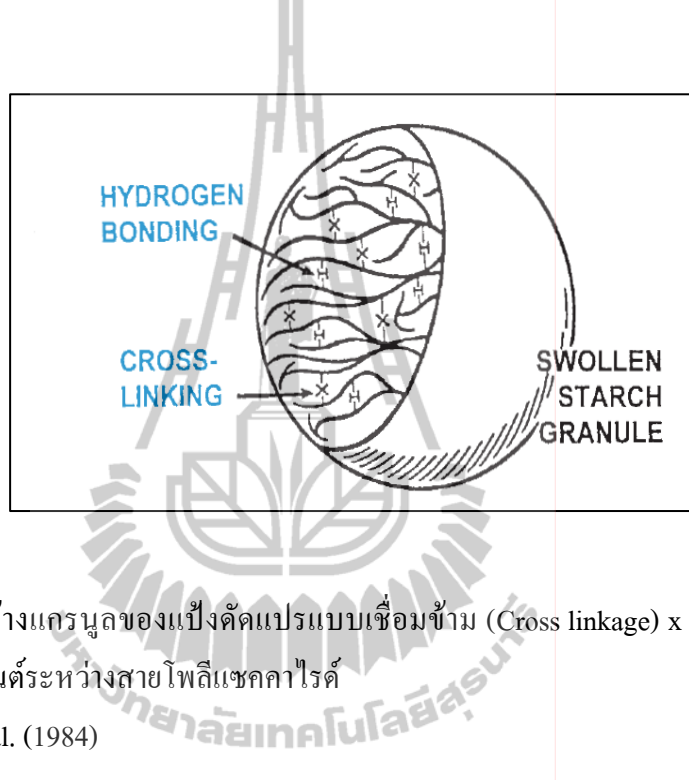
สารทดแทนไขมันชนิดนี้ให้พลังงาน 4 แคลอรี/กรัม มีลักษณะเป็นเจลหรือผงที่ผลิตได้จากแหล่งการ์โนไบโอดร็อกได้แก่ ข้าวโพด มันฝรั่ง ข้าวสาลีและแป้งมันสำปะหลัง เป็นแป้งดัดแปร์ที่ผ่านกระบวนการใช้กรดหรือเอนไซม์ตัดพันธะ เพื่อให้สายโพลีแซคคาไรด์มีขนาดสั้นลง MD ประกอบด้วยสายอะไนโอลสและอะไนโอลเพกติน โดยขนาดของสายโพลีเมอร์จะถูกระบุด้วยค่าDE ที่มีค่าระหว่าง 5 ถึง 20 และสามารถเกิดเป็นเจลที่อ่อนซึ่งเป็นผลมาจากการเกิดปฏิกิริยาพันธ์ระหว่างอะไนโอลสที่สร้างเกลียว และบริเวณส่วนที่เป็นเส้นตรงของสายอะไนโอลเพกติน (Chronakis, 1998) MD ที่มีค่า DE ต่ำ ๆ จะสามารถสร้างเจลได้ เมื่อจากเป็นสายโพลีไอกแซคคาไรด์

(Oligosaccharide) MD และแป้งที่ผ่านการย่อยด้วยเอนไซม์ และ/หรือกรดที่มีค่า DE น้อยกว่า 5 ที่มีความเข้มข้นระหว่างร้อยละ 25 ถึง 35 จะให้เจลของ MD ที่มีลักษณะคล้ายครีมที่ไม่มีรสชาติ (Lenchin, Trubiano and Hoffman, 1985; Sajilata and Singhal, 2005) ซึ่งสามารถใช้ MD เป็นสารทดแทนไขมันในอาหารหลายชนิด เช่น มากองเนส ครีมบัตเตอร์ มาการีน น้ำสลัด เป็นต้น (Akoh, 1998; Kuntz, 1997) Dockic-Baucal, Dockic และ Jakovljevic (2004) ศึกษาผลของการใช้ MD ที่มีค่า DE แตกต่างกันที่ความเข้มข้นของ MD และปริมาณน้ำมันที่แตกต่างกัน ต่อคุณสมบัติด้านกายภาพของอิมัลชันชนิดน้ำมันในน้ำ การทดลองดังกล่าวพบว่าค่า DE มีอิทธิพลต่อคุณสมบัติการละลายความหนืด และความเสถียรของระบบอิมัลชัน และพบว่าเมื่อเพิ่มความเข้มข้นของน้ำมันในสภาวะที่มีปริมาณของ MD เท่ากัน ที่ความเข้มข้นของไขมันร้อยละ 30, 40 และ 50 ตัวอย่างอิมัลชันมีพฤติกรรมแบบ Thixotropic แต่เมื่อความเข้มข้นของไขมันมีปริมาณร้อยละ 60 และ 70 ตัวอย่างมีพฤติกรรมแบบ Anti-thixotropic ซึ่งเป็นผลมาจากการสร้างโครงสร้างใหม่ของ MD กับอนุภาคเม็ดไขมัน Ma, Cai, Wang และ Sun (2006) ได้ศึกษาการใช้อ่อนไชม์ 4 ชนิดเพื่อย่อยแป้งข้าวโพดให้มีขนาดของแกรนูลเล็กลง โดยแป้งข้าวโพดที่ย่อยมีขนาดเส้นผ่าศูนย์กลาง 2 ถึง 4 ไมโครเมตร และเมื่อนำไปใช้เป็นสารจำลوج ไขมันในรายงานพบว่า สามารถลดปริมาณไขมันจากสูตรไขมันเดิมที่มีไขมันร้อยละ 75 เป็นสูตรที่มีไขมันร้อยละ 30 ได้โดยไม่พบร่วมตัวค่า DE ที่มีไขมันร้อยละ 25 และ 30 ไม่สามารถลดปริมาณไขมันในสูตรเดิมได้ จึงต้องเพิ่มปริมาณของ MD ในการลดปริมาณไขมันในสูตรเดิมได้สำเร็จ (Klinkesorn, Sophanodora Chainachoti และ McClements (2004) ได้ศึกษาผลของ MD ต่อความเสถียรและวิถีการกระแสของระบบอิมัลชันน้ำในน้ำมันพบว่า อัตราการเกิดชั้นครีมจะเกิดขึ้นอย่างรวดเร็วเมื่อระบบมีความเข้มข้นของ MD ที่ระดับสูงกว่าค่าความเข้มข้นวิกฤตของการเกิดการเกาะกลุ่ม (Critical flocculation concentration, CFC) โดยค่า CFC จะเพิ่มขึ้นเมื่อค่า DE เพิ่มขึ้น Dockic และคณะ (2004) ได้ศึกษาผลของค่า DE ของ MD ในระบบอิมัลชันน้ำมันในน้ำพบว่าความหนืดของสารละลาย MD จะลดลงเมื่อค่า DE เพิ่มขึ้นและขนาดของอนุภาคเม็ดไขมันที่เตรียมจะมีขนาดใหญ่ขึ้นตามค่า DE

2.3.2.3.2 ไฮดรอกซิโพรพิลไดสตาร์ฟอสเฟต (Hydroxypropyl distarch phosphate, HDP)

แป้ง HDP มีเลข E number คือ E1442 เป็นแป้งดัดแปลงที่ผ่านกระบวนการการดัดแปลงแบบผสมกันระหว่างการเชื่อมข้าวและแทนที่หมูไฮดรอกซิลด้วยหมูไฮดรอกซิโพรพิลในสายโนเบลกุลของแป้ง จากรูป 2.5 แสดงการเกิดพันธะโควาเลนต์ที่เกิดจากสารเคมีที่ใช้สำหรับการเชื่อมข้าว เช่น โมโนโซเดียมฟอสเฟต (Mono-sodium phosphate) โซเดียมไตรเมตาฟอสเฟต (Sodium trimeta phosphate) โซเดียมไตรโพลีฟอสเฟต (Sodium tripolyphosphate) และฟอสฟอรัสออกซิคลอไรด์ (Phosphorus oxichloride) เป็นต้น เชื่อมข้าวทำให้มีเด้งแป้งมีความแข็งแรงทนต่อการแรงเห็นด้วย ทนต่ออุณหภูมิสูงและทนการต่อการย่อยของเอนไซม์อะไมเลส แป้งชนิดนี้มีความสามารถในการอุ้มน้ำ (Water holding capacity) สูงเจลของ HDP จึงมี

ลักษณะอ่อน (Hoover, Hannouz, and Sosulski, 1988; Liu, Ramsden, and Corke, 1999; Yeh and Yeh, 1993) และมีคุณสมบัติ Freeze-thaw stable ที่ดี (Eliasson and Kim, 1992) เนื่องจากมีหมู่ไฮดรอกซิโพรพิด เมื่อนำเจลเป็น HDP มาเป็นสารทดแทนไขมันในน้ำสัดหรือ รายงานระบุว่าให้ปรับปรุงคุณลักษณะของความรู้สึกเมื่อยูในปาก คือเพิ่มลักษณะของความรู้สึกของการมีครีม (Murphy, 2000)



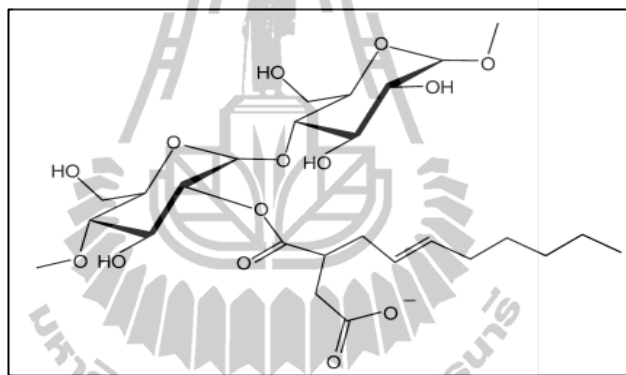
รูปที่ 2.5 โครงสร้างแกรนูลของแป้งดัดแปรแบบเชื่อมข้าม (Cross linkage) x คือจุดที่เกิดพันธะ
โควาเลนต์ระหว่างสายโพลีแซคคาไรด์

ที่มา : Whistler et al. (1984)

2.3.2.3.3 แป้งโซเดียมօโคเทนิลซัคซิเนต (Starch sodium octenyl succinate, SSO)

แป้ง SSO เป็นแป้งดัดแปรที่มีการแทนที่หมู่ไฮดรอกซิลในโมเลกุลกลูโคสด้วยօโคเทนิลซัคซิเนต (รูปที่ 2.6) ทำให้แป้งมีคุณสมบัติทึ่งขอบและไม่ชอบน้ำอยู่ในโมเลกุลเดียวกัน โดยแป้ง SSO จะไปดูดซับที่บริเวณผิวสัมผัสของน้ำและนำมันก่อให้เกิดเป็นชั้นฟิล์มล้อมรอบอนุภาคเม็ดไขมันโดยจะหันส่วนที่เป็นหมู่ไฮดรอกซิลที่มีในโมเลกุลของกลูโคสเข้าจับกับส่วนที่เป็นน้ำในเฟสต่อเนื่องและหันส่วนที่เป็นโมเลกุลของօโคเทนิลซัคซิเนตจับกับอนุภาคเม็ดไขมัน (Murphy, 2000) EU อนุญาตให้ใช้แป้ง SSO ในอาหารได้โดยมีเลข E number คือ E1450 และองค์การอาหารยา (Food and Drug Administration, FDA) อนุญาตให้ผลิตเพื่อใช้กับอุตสาหกรรมอาหารได้โดยสามารถใช้ Octenyl succinic anhydride ได้ไม่เกินร้อยละ 3 ของน้ำหนักแป้งโดยมีระดับการแทนที่ (Degree of substitution, DS) มีค่าอยู่ระหว่าง 0.1 ถึง 0.3 Tesch และคณะ (2002) ได้ศึกษาผลของการใช้แป้ง SSO เป็นอิมัลชันไฟโอร์ในระบบอิมัลชัน ผลการทดลองแสดงให้เห็นว่าแป้ง SSO ช่วยให้อิมัลชันเสถียรด้วยแรง Sterical ซึ่งเป็นผลจากแป้ง SSO ดูดซับที่ผิวสัมผัสของน้ำกับน้ำมันตรง

บริเวณที่มีหมุ่อคเทนิลซัคชารินตัวย่างแรงไฮโดรฟอบิก โดยที่ระบบอิมัลชันที่เกิดจากแป้ง SSO ไม่ขึ้นกับความเป็นกรด-ด่าง และ Ionic strength ในขณะที่ใช้โปรตีนเวย์เป็นสารอิมัลซิไฟเออร์ชั่งทำให้อิมัลชันเสถียรตัวย่างแรง Electrostatical ทำให้ความเสถียรของระบบอิมัลชันขึ้นกับ ความเป็นกรด-ด่าง และ Ionic strength จากการทดลองยังแสดงให้เห็นว่า แป้ง SSO สามารถช่วยลดแรงตึงผิวระหว่างน้ำกับน้ำมัน และทำให้สามารถลดขนาดอนุภาคเม็ดไข้มันในระหว่างกระบวนการลดขนาดได้เล็กสุดถึง 1 ไมโครเมตร นอกจานี้แป้ง SSO ยังใช้เป็นสารเพิ่มความข้นหนืดในอาหาร ได้โดยการสร้างพันธะไฮโดรฟอบิคระหว่างโมเลกุลของสายอะไมโลสและอะไมโลพิตติน ทำให้เกิดโครงสร้าง 3 มิติเกิดเป็นเจลที่ช่วยให้ระบบอิมัลชันมีลักษณะทางวิทยากระแทกที่เปลี่ยนแปลงไปโดยทำให้ความหนืด และมอคูลลัสสะสมเพิ่มขึ้น (Ortega-Ojeda et al., 2005)



รูปที่ 2.6 โครงสร้างของแป้ง SSO
ที่มา : Nilson et al. (2007)

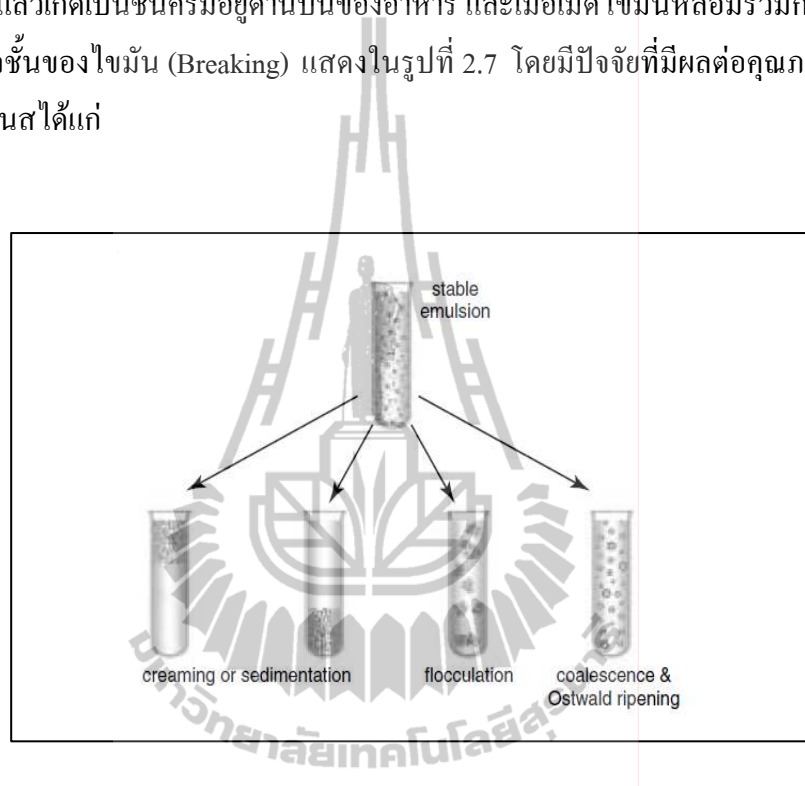
2.4 คุณภาพของมายองเนส

มายองเนสมีลักษณะทางเคมีและกายภาพที่เป็นเอกลักษณ์ที่จำเพาะ ซึ่งคุณภาพเหล่านี้จะต้องมีความเสถียรตลอดการเก็บรักษา เนื่องจากจะมีผลต่อการยอมรับของผู้บริโภค โดยแบ่งคุณภาพของผลิตภัณฑ์มายองเนสออกได้เป็น 3 ประเภททั่วไปกันคือ

2.4.1 คุณภาพด้านกายภาพ

คุณภาพด้านกายภาพของมายองเนส เช่น ลักษณะเนื้อสัมผัส ความข้นหนืด และ สี เป็นต้น ปัจจัยที่มีผลต่อลักษณะด้านกายภาพของมายองเนส เช่น ขนาดอนุภาคของเม็ดไข้มัน ชนิดของอิมัลซิไฟเออร์ องค์ประกอบที่มีในเฟสต่อเนื่อง และอุณหภูมิที่จัดเก็บเป็นต้น ซึ่งปัจจัยเหล่านี้จะกระตุ้น ส่งเสริม หรือป้องกัน การเปลี่ยนแปลงที่เกิดในระหว่างการผลิต และการเก็บรักษา แล้วจะส่งผลต่อคุณภาพทางเคมีกายภาพ โดยรวมของมายองเนส กระบวนการที่ทำให้เกิดการสูญเสียความ

คงตัวของอนุภาคไขมันในระหว่างการเก็บรักษาของอาหารประเภทไขมัลชันเริ่มจากอนุภาคเม็ดไขมันเกาะรวมกลุ่มกัน (Flocculation) เนื่องมาจากการเคลื่อนที่และการชนกันของอนุภาคเม็ดไขมันในที่สุดอนุภาคเม็ดไขมันจะหลอมรวมกัน (Coalescence) ทำให้อนุภาคเม็ดไขมันมีขนาดใหญ่ขึ้น และสามารถที่จะลอยไปสู่ผิวน้ำของภาชนะได้ เนื่องจากความหนาแน่นของอนุภาคเม็ดไขมันมีค่าน้อยกว่าน้ำแล้วเกิดเป็นชั้นครึ่งอยู่ด้านบนของอาหาร และเมื่อเม็ดไขมันหลอมรวมกันมากขึ้นจะขึ้นเกิดการแยกชั้นของไขมัน (Breaking) แสดงในรูปที่ 2.7 โดยมีปัจจัยที่มีผลต่อคุณภาพด้านกายภาพของมายองเนสได้แก่



รูปที่ 2.7 กระบวนการเกิดความไม่เสถียรของอิมัลชัน
ที่มา : Weiss (2002)

2.4.1.1 ขนาดอนุภาคเม็ด ไขมัน

ขนาดอนุภาคของมายองเนสจะมีผลต่อคุณสมบัติด้านกายภาพของมายองเนส ได้แก่ สี คุณสมบัติด้านวิทยากรรมและความเสถียรของมายองเนส โดยพบว่ามายองเนสที่มีขนาดอนุภาคเม็ดไขมันที่เล็กจะทำให้ค่าความสว่าง (Lightness) ค่าความแน่นเนื้อ ค่าความหนืดและค่า/molal สเตสมสูง (Longton et al., 1999; McClements, 2005; Worrasinchai et al., 2006) ขนาดของอนุภาคเม็ดไขมันมีผลต่อความเสถียรของมายองเนสดังอธิบายได้จากกฎของสโตก (Stoke's law)

$$U = 2r^2(\rho_1 - \rho_2)g \quad (1)$$

โดย ν คือความเร็วของการแยกเฟสซึ่งแสดงถึงความไม่เสถียรของระบบ อิมัลชัน ถ้า ν มีค่าเป็นบวกแสดงว่าเม็ดไนมันจะลอยขึ้นสู่ชั้นบน เกิดเป็นชั้นครีมที่ผิวด้านบนของตัวอย่าง ถ้ามีค่าเป็นลบจะเกิดเป็นครีมปราภกูญี่ที่ชั้นล่างของตัวอย่าง r คือรัศมีของเม็ดไนมัน ρ_1 คือความหนาแน่นของเฟสต่อเนื่อง ρ_2 คือความหนาแน่นของเฟสกระหาย g คือ แรงโน้มถ่วงของโลก และ η คือความหนืดของระบบ จะเห็นว่าอัตราเร็วของการแยกชั้นครีมจะขึ้นกับขนาดอนุภาคเม็ดไนมัน อนุภาคที่มีขนาดใหญ่จะเกิดความไม่เสถียรของระบบเร็วกว่าอนุภาคไนมันที่มีขนาดเล็ก และจากกฎของสโตกจะเห็นว่าอัตราเร็วการเกิดการแยกชั้นของครีมจะพบซ้ำในระบบที่มีความหนืดสูง แต่เนื่องจากมายօนสเป็นระบบอิมัลชันที่มีความหนืดสูงและมีอนุภาคเม็ดไนมันอยู่อย่างใกล้ชิดกันจนอนุภาคเม็ดไนมันไม่สามารถเคลื่อนที่ได้ จึงไม่พบปรากฏการณ์ของการเกิดครีมลอยขึ้นที่ผิวน้ำของมายօนส แต่จะพบว่าเมื่อขนาดอนุภาคเม็ดไนมันที่ใหญ่จะมีผลทำให้เกิดการเสียสภาพความเป็นอนุภาคได้ยากกว่าอนุภาคที่เล็ก ซึ่งเป็นผลมาจากการอนุภาคเม็ดไนมันที่ใหญ่จะมี Laplace pressure (ค่าที่บ่งบอกถึงแรง Interfacial ที่ต้องใช้เพื่อรักษาปั๊ร่างทรงกลมของอนุภาคไว้) ต่ำกว่าอนุภาคที่มีขนาดเล็ก (McClements, 2005)

2.4.1.2 ชนิด และปริมาณของอิมัลซิไฟเออร์

ชนิดและปริมาณของอิมัลซิไฟเออร์จะมีผลต่อขนาดของอนุภาคเม็ดไนมันที่เกิดขึ้นในระหว่างการลดขนาด โดยอิมัลซิไฟเออร์แต่ละชนิดจะมีความสามารถและความเร็วในการล้อมจับรอบผิwonุภาคเม็ดไนมัน แล้วเกิดเป็นชั้นนีอี้ป้องกันการหลอมรวมกันของอนุภาคเม็ดไนมัน และให้อิมัลชันมีเสถียรด้วยแรงกระทำที่แตกต่างกัน และอิมัลซิไฟเออร์จะต้องมีในปริมาณที่เพียงพอที่ดุดชั้บรอง ๆ ผิwonุภาคเม็ดไนมันอย่างสมบูรณ์ เพื่อป้องกันการหลอมรวมตัวของอนุภาคเม็ดไนมันและการท่อนุภาคเม็ดไนมันในผลิตภัณฑ์มายօนสอยู่ใกล้ชิดกันมากจนไม่สามารถเคลื่อนที่ได อิมัลซิไฟเออร์จึงมีบทบาทสำคัญในการป้องกันการหลอมรวมกันของอนุภาคเม็ดไนมัน หากอิมัลซิไฟเออร์มีไม่เพียงพอจะทำให้โอกาสที่เกิดการหลอมรวมกันของอนุภาคเม็ดไนมันมีสูง อิมัลซิไฟเออร์ที่นิยมใช้เพื่อผลิตมายօนสมักเป็นไน์แคร์ โดยองค์ประกอบที่ทำหน้าที่เป็นอิมัลซิไฟเออร์ของไน์แคร์มีทั้งเลเซตินและไลโปโปรดีน แต่เนื่องจากไน์แคร์มีปริมาณของคลอเรสเทรออลสูงทำให้ผู้ผลิตบางรายหันไปใช้อิมัลซิไฟฟ์เออร์ชนิดอื่นแทน เช่น โปรดีนหางนม แบงคัดแปรซึ่งผู้ผลิตเองจะต้องมั่นใจว่าอิมัลซิไฟเออร์ที่นำมาใช้จะต้องมีความสามารถในการลดแรงตึงผิวของไนมันในระหว่างกระบวนการลดขนาดไนมันได เพื่อให้ได้ขนาดไนมันตามต้องการ และอิมัลซิไฟเออร์จะต้องสามารถรักษาให้ออนุภาคเม็ดไนมันมีความเสถียรภายใต้สภาวะที่เป็นธรรมชาติของมายօนส เช่นในสภาวะที่มีค่าความเป็นกรดสูง และมีเกลือ เป็นต้น

2.4.1.3 สารช่วยปรับปรุงลักษณะเนื้อสัมผัส

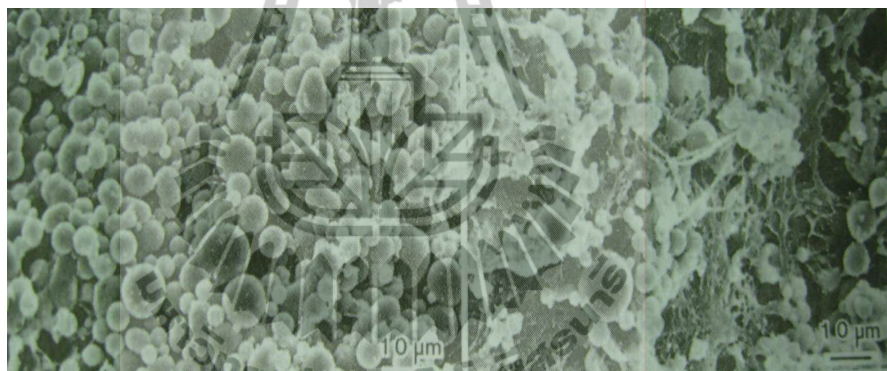
ماยองเนสมักเติมสารใบโอลิเมอร์เพื่อปรับปรุงลักษณะทางเนื้อสัมผัสหรือปรับปรุงด้านความรู้สึกในปากและช่วยเพิ่มความเสถียรให้กับน้ำของเนสท์เกิดจากระบบมีความหนืดสูงขึ้น ทำให้ลดการเคลื่อนที่ และลดการชนกันของอนุภาคเม็ดไขมัน สารที่ใช้เดิมเพื่อปรับปรุงลักษณะเนื้อสัมผัสสามารถจำแนกได้ 2 ประเภทคือสารเพิ่มความข้นหนืด (Thickening agent) และสารที่สามารถเกิดเจล (Gelling agent) (McClements, 2005) โดยสารเพิ่มความข้นหนืดคือสารที่มีโครงสร้างที่มีรัศมีการแผ่กระจายสูงแล้วทำให้ระบบมีความข้นหนืดสูงขึ้น แต่สารที่สามารถเกิดเจลคือสารที่มีปฏิกิริยาพันธะระหว่างสายโอลิเมอร์ด้วยพันธะทางเคมีที่แตกต่างกันทำให้เกิดเป็นเจลตัวอย่างสารที่มาจากการดัดแปลงทางเคมีของโอลิแซคคาไรด์ เช่น แซนแทนกัม แป้งดัดแปลงลูโลสกัม เซลลูโลสเจล ราเจนน โลคลสบินกัม กัมอะราบิก กัวกัม และเพกติน เป็นต้น อย่างไรก็ตามการเติมสารใบโอลิเมอร์ยังมีส่วนหนึ่งที่ช่วยให้เกิด Depletion flocculation หรือเกิด Bridging flocculation ของอนุภาคเม็ดไขมันส่งผลให้ระบบอิมัลชันไม่เสถียรได้เช่นกัน (Dickinson, 1995; Dickinson and Euston, 1991) mayongnessthat มีปริมาณไขมันมากกว่าร้อยละ 50 โดยนำหนักจะไม่พบปัญหาการเกิด Depletion flocculation เนื่องจากอนุภาคเม็ดไขมันมีมากและอยู่ใกล้ชิดกันจนไม่สามารถเคลื่อนที่ได้ ในสูตรที่มีปริมาณไขมันน้อยกว่าร้อยละ 50 โดยนำหนักตัวอย่างจะสามารถเคลื่อนที่ได้จึงจำเป็นต้องเติมใบโอลิเมอร์ให้เหมาะสมเพื่อลดการเกิด Depletion flocculation ซึ่งโอลิแซคคาไรด์บางชนิดอาจส่งผลต่อความเสถียรของระบบอิมัลชันเนื่องจากทำให้เปลี่ยนประจุรวมเปลี่ยนขนาดรูปร่าง ความยืดหยุ่น และมุ่งสัมผัสของโนเดกูลหรืออนุภาคที่เก่าที่ผิวเม็ดไขมันแล้วทำให้มีเด็กไขมันเกิดการเกาะกลุ่มหรือหกอมรวมตัวและแยกชั้นได้

Paraskevopoulou , Boskou และ Kiosseoglou. (2005a, 2005b) ศึกษาผลของการใช้โอลิแซคคาไรด์เป็นสารเพิ่มความคงตัวและเพิ่มลักษณะทางเนื้อสัมผัสในน้ำสลัดที่ใช้น้ำมันมะกอกที่มีปริมาณน้ำมันร้อยละ 50 โดยมีแซนแทนกัมเป็นสารเพิ่มความเสถียร และใช้กัมอะราบิกและโพรพิลีนไกลคอลอัลจิเนตเป็นอิมัลซิไฟเออร์ พบว่าเมื่อเพิ่มความเข้มข้นของแซนแทนกัมสามารถเพิ่มความเสถียรต่อการเกิดครีมในตัวอย่างน้ำของเนสได้ และเมื่อใช้แซนแทนกัมร่วมกับโพรพิลีนไกลคอลอัลจิเนต พบว่าตัวอย่างน้ำสลัดเกิดการแยกชั้นของครีมได้ช้ากว่าการใช้กัมอะราบิกเป็นอิมัลซิไฟเออร์ ซึ่งเป็นผลจากตัวอย่างที่เตรียมจากโพรพิลีนไกลคอลอัลจิเนตมีความหนืดสูงกว่านั่นเอง

2.4.1.4 อุณหภูมิการจัดเก็บ

Tung และ Jones (1981) ศึกษาผลขององค์ประกอบอุณหภูมิ และระยะเวลาการเก็บรักษาที่มีผลต่อโครงสร้างระดับจุลภาคของน้ำของเนสและน้ำสลัด พบว่าโครงสร้างระดับจุลภาคของน้ำของเนสและน้ำสลัดมีความแตกต่างกัน น้ำสลัดจะมีจำนวนเม็ดไขมันน้อยกว่า และ

มีโครงสร้างแห้งที่มีรูปร่างไม่แน่นอนซึ่งเป็นรูปร่างแห้งของแป้งที่ผ่านกระบวนการเจลาตินайเซชัน (Gelatinization) แล้ว ส่วนโครงสร้างระดับจุลภาคของ Majority เนสก็อธิกาเม็ดไข่มันที่มีทั้งขนาดใหญ่และขนาดเล็กอยู่ด้วยกัน (รูปที่ 2.8) และเมื่อเก็บตัวอย่างหั่นสองไว้ที่อุณหภูมิ 55 องศาเซลเซียส เป็นเวลา 3 วันพบว่า เม็ดไข่มันมีขนาดใหญ่ขึ้น เนื่องจากเกิดการรวมตัวกันของอนุภาคนี้ เม็ดไข่มัน เม็ดไข่มันที่พบจะมีรูปร่างไม่สม่ำเสมอ ซึ่งเป็นผลมาจากการอุณหภูมิสูงทำให้เม็ดไข่มันเกิดการเคลื่อนที่แบบบรรวนเนื่ยน ทำให้แล้วเม็ดไข่มันมีโอกาสชนกันมากขึ้น และอุณหภูมิสูงยังทำให้ความหนืดของเฟสต่อเนื่องลดลง ส่งผลให้มีมัลติไฟเออร์ซึ่งเป็นลิโพโปรตีนในไข่แดงละลายนำไปได้มากขึ้นและทำให้มุมสัมผัส (Contact angle) ของลิโพโปรตีนเปลี่ยนไป การเปลี่ยนแปลงเหล่านี้ส่งผลให้เกิดการหลอมรวมตัวกันของอนุภาคนี้ เม็ดไข่มันและทำให้เม็ดไข่มันมีขนาดใหญ่ขึ้น



รูปที่ 2.8 ภาพถ่ายด้วยเครื่อง Scanning electron microscope ถักขยะการกระจายตัวของอนุภาคนี้ เม็ดไข่มันของ Majority เนส (ก) และน้ำสลัด (ข)

ที่มา : Tung and Jones (1981)

2.4.2 คุณภาพด้านเคมี

การเปลี่ยนแปลงทางเคมีที่พัฒนาเป็นปัญหาที่สำคัญต่อคุณภาพของเนส ก็อธิกาเม็ดกลิ่นหืนของไข่มันในระหว่างการเก็บ ส่งผลให้มีกลิ่นและรสชาติผิดปกติ การเกิดกลิ่นหืนในผลิตภัณฑ์อาหารที่มีน้ำมันเป็นองค์ประกอบเกิดขึ้นได้เนื่องจากปฏิกิริยาออกซิเดชันด้วยตัวเองที่พันธะคู่ของกรดไข่มันชนิดไม่อิมตัวกับออกซิเจนในอากาศที่สามารถเกิดแบบต่อเนื่องตลอดเวลา เมื่อไข่มันและน้ำมันสัมผัสกับออกซิเจนในอากาศ ในสภาวะที่มีโลหะ เช่น ทองแดงหรือตะกั่วจะเร่งให้เกิดปฏิกิริยาได้เร็วขึ้น นอกจากนี้ความร้อนและแสงก็ช่วยเร่งปฏิกิริยาออกซิเดชันได้เช่นกัน กระบวนการเกิดปฏิกิริยาออกซิเดชันน้ำมันจะเกิดขึ้นกับไข่มันที่มีกรดไข่มันไม่อิมตัวทำปฏิกิริยา

กับ Oxygen-active species ซึ่งสามารถอธิบายกระบวนการการเกิดได้สามขั้นตอนหลักคือ ระยะเริ่มต้น (Initiation phase) เกิดขึ้นเมื่อกรดไขมันไม่อิ่มตัวได้รับสิ่งกระตุ้นให้เกิดอนุមูลอิสระซึ่งสิ่งกระตุ้นนั้นอาจมาจากแสง ความร้อน ในสภาวะที่มีตัวเร่งปฏิกิริยาที่เป็นโลหะหนักบางชนิดเช่นเหล็ก (Fe) ขั้นที่สอง (Propagation phase) เกิดขึ้นเมื่ออนุมูลอิสระทำปฏิกิริยากับออกซิเจนแล้วได้เป็นสารประกอบ Peroxide radical และขั้นที่สาม (Termination) เกิดเนื่องจากการเปลี่ยนโครงสร้างจาก Peroxide ไปเป็นสารประกอบประกอบ อัลเดียร์ คิโตน แอลกอฮอล์ และสารประกอบไฮโดรคาร์บอน ซึ่งเป็นสารที่ทำให้เกิดกลิ่นหืนในอาหาร (Rancid flavor) การเกิดปฏิกิริยาออกซิเดชันในอาหารที่เป็นอิมัลชันจะมีกระบวนการการเกิดที่แตกต่างไปจากการเกิดปฏิกิริยาออกซิเดชันในน้ำมันปกติทั่วไป การเกิดปฏิกิริยาออกซิเดชันของน้ำมันในอิมัลชันจะเกิดขึ้นบริเวณพื้นผิวของอนุภาคเม็ดไขมัน (Mei, McClements, and Decker 1998a; 1998b) ระบบของอิมัลชันที่มีขนาดอนุภาคเล็กจะมีโอกาสเกิดปฏิกิริยาออกซิเดชันได้มากกว่าเนื่องจากเป็นการเพิ่มพื้นที่ผิวสัมผัสของไขมันกับสิ่งกระตุ้นในระยะเริ่มต้น (McClements and Decker, 2000) ในขณะที่ขนาดอนุภาคเม็ดไขมันไม่ได้มีผลต่อการเกิดปฏิกิริยาออกซิเดชันของน้ำมันในระยะ Propagation phase (Jacobson, Hartvigsen, Lund and Thomsen, 2000) และในระบบที่มีความหนืดสูงจะช่วยลดการเคลื่อนที่ของออกซิเจนที่จะเข้าไปทำปฏิกิริยากับอนุภาคเม็ดไขมันทำให้สามารถป้องกันการเกิดปฏิกิริยาออกซิเดชันในน้ำมันได้

Hsieh และ Regenstein (1992) ศึกษาผลของชนิดน้ำมันที่แตกต่างชนิดกันต่อการเกิดปฏิกิริยาออกซิเดชันในน้ำมันที่ประกอบไปด้วย น้ำมันจากปลา น้ำมันข้าวโพด และน้ำมันถั่วเหลือง โดยที่น้ำมันจากถั่วเหลือง และน้ำมันข้าวโพดมี Linoleic acid (18:2) และ Linolenic acid (18:3) สูงในขณะที่ในน้ำมันปลา มี Eicosapentanoic acid (20:5) และ Docosahexanoic acid (22:6) สูง ดังนั้น多いของน้ำมันปลาจึงเกิดการออกซิไดซ์ได้ยากกว่าของน้ำมันที่ผลิตจากน้ำมันถั่วเหลืองและน้ำมันข้าวโพด

Jacopson และคณะ (2000) พบว่าการใส่กรดแอกซิคบิค (Ascorbic acid), เลซิทิน (Lecithin) และ โทโคฟีโรล (Tocopherol) จะสามารถป้องกันการเกิดปฏิกิริยาออกซิเดชันของน้ำมันใน多いของน้ำมันที่จะทำปฏิกิริยากับชาดูเหล็กได้

Paraskevopoulou, Boskou, และ Paraskevopoulou, (2007) ใช้แซนแทกนัมร่วมกับกัมอะราบิก หรือโพร์พิลลิน ไกลคอลอาเจนตเป็นสารให้ความคงตัว ในน้ำสลัดที่เตรียมจากน้ำมันมะกอก โดยเตรียมตัวอย่างน้ำสลัดให้มีขนาดอนุภาคเม็ดไขมันที่แตกต่างกัน แล้วศึกษาการเกิดปฏิกิริยาออกซิเดชันของน้ำมัน พบร่วมกับความสามารถยับยั้งการเกิดปฏิกิริยาของออกซิเดชันของน้ำมันอันเป็นผลมาจากการคุณสมบัติด้านแอมฟิลิก และช่วยให้ความหนืดตัวอย่างน้ำสลัดเพิ่มขึ้นทำให้ลดการเคลื่อนที่ของออกซิเจนและตัวเร่งปฏิกิริยา โดยกัมอะราบิกจะมีคุณสมบัติ

ในการเป็นสารป้องกันการเกิดปฏิกิริยาออกซิเดชันของน้ำมันได้มากกว่าโพรพิลลีนไกลดอลอัลจินต และสามารถเก็บน้ำสัดได้นาน 6 ถึง 8 เดือนที่อุณหภูมิห้อง

สารประกอบ Ethylenediaminetetraacetate (EDTA) ซึ่งเป็นสารคีเลติงเอเจนต์ (Chelating agent) มักนิยมใส่ลงไปในน้ำสัด มากองเนส เพื่อลดการทำงานของชาตุเหล็กไม่ให้เร่งการเกิดปฏิกิริยาออกซิเดชันของน้ำมัน (McClements and Decker, 2000)

2.4.3 คุณภาพด้านจุลินทรีย์

เชื้อแบคทีเรียที่เป็นสาเหตุหลักที่ทำให้เกิดความเน่าเสียของมายองเนสคือเชื้อในกลุ่ม *Salmonella* (Ortego-Benito and Langridge, 1992; Radford and Board, 1993). ที่มีการปนเปื้อนจาก ไข่ การควบคุมไม่ให้มี *Salmonella* ในมายองเนสทำได้โดยควบคุมค่าความเป็นกรด-ด่าง ให้ต่ำกว่า 4.10 และตั้งไว้ที่อุณหภูมิ 18 ถึง 20 องศาเซลเซียส เป็นเวลาอย่างน้อย 72 ชั่วโมงก่อนการบริโภค (Smittle, 1977) นอกจากนี้ยังพบว่า yeast ซึ่งเป็นสาเหตุหนึ่งของการเน่าเสียของมายองเนส ซึ่ง Kurtzman, Rogers และ Hseltine (1971) ได้ศึกษาหาเชื้อจุลินทรีย์ที่พบในน้ำสัดและมายองเนส ที่เน่าเสียจำนวน 17 ตัวอย่างในประเทศไทย คือ *Lactobacillus fructivorans* ส่วนตัวอย่างที่ไม่น่าเสียพบ *Bacilli* เพียงเล็กน้อย ซึ่งทุกตัวอย่างไม่พบการเจริญเติบโตของเชื้อรา Abu-salem และ Abou-Arab (2008) ได้ศึกษาการใช้ไข่แดงจากไข่นกกระจากเทศ เปรียบเทียบกับการใช้ไข่แดงจากไข่ไก่เพื่อผลิต มายองเนส โดยศึกษาอิทธิพลของการพาสเจอร์ไซด์และไม่พาสเจอร์ไซด์ ผลการทดลองพบว่าตัวอย่าง ที่พาสเจอร์ไซด์และไม่พาสเจอร์ไซด์มีเชื้อจุลินทรีย์เจริญเติบโตเพิ่มขึ้นตลอดระยะเวลาการศึกษา 20 สัปดาห์ ซึ่งคาดว่าเชื้อแบคทีเรียที่เพิ่มขึ้นเป็นการเจริญเติบโตของเชื้อที่ทนกรดได้ คือเชื้อในกลุ่ม กรดแลคติกแบคทีเรีย (Karas, Skvaraa and Ilender, 2002) นอกจากนี้ยังตรวจพบการเจริญเติบโต ของ yeast และราในสัปดาห์ที่ 5 ของการเก็บและมีแนวโน้มสูงขึ้นเรื่อยๆ ตัวอย่างที่ไม่พาสเจอร์ไซด์จะ พบการเจริญเติบโตของ yeast และราสูงกว่าในตัวอย่างที่พาสเจอร์ไซด์ ส่วน Hwang และ Tamplin (2004) ได้ศึกษาผลของความเป็นกรด-ด่างและอุณหภูมิการจัดเก็บต่อการเจริญเติบโตของเชื้อ *Listeria monocytogenes* ในน้ำสัดสูตรระหว่างพบว่า เมื่อเพิ่มอุณหภูมิการจัดเก็บจะเพิ่มอัตราการเจริญเติบโตของ เชื้อจุลินทรีย์ และเมื่อเพิ่มค่าความเป็นกรด-ด่าง จะมีผลทำให้อัตราการเจริญเติบโตของจุลินทรีย์ในช่วง Log phase ลดลง

2.5 การตรวจสอบคุณภาพของมายองเนส

2.5.1 คุณภาพทางกายภาพ

เนื่องจากมายօนเนสเป็นผลิตภัณฑ์ที่มีความซับซ้อน เนื่องจากมีหลายปัจจัยที่มีผลต่อ ลักษณะทางกายภาพของมายօนเนสทำให้ยากต่อการทำนายหรือคาดการณ์ได้ว่า การเปลี่ยนแปลง สูตรหรือส่วนผสมของอาหารหรือการเปลี่ยนแปลงการผลิตจะทำให้อาหารมีคุณสมบัติเป็นไป ตามที่ต้องการหรือไม่ การทดสอบคุณภาพทางกายภาพบางอย่างของมายօนเนส สามารถใช้ คาดการณ์ถึงคุณสมบัติอีกประการของมายօนเนสได้ และถ้ามีการเปลี่ยนแปลงปฏิกิริยาเคมีและ กายภาพเกิดขึ้นในระหว่างกระบวนการแปรรูปและการเก็บรักษาจะส่งผลต่อกุณภาพทางกายภาพ และทางประสานสัมผัสของมายօนเนส ในปัจจุบันได้มีการพัฒนาเครื่องมือที่มีความทันสมัย ซึ่ง นอกจะจะใช้ควบคุมคุณภาพให้คงที่แล้ว ยังสามารถช่วยให้ผู้ผลิตสามารถปรับปรุง ดัดแปลงและ พัฒนาสูตรของมายօนเนสที่ใช้วัตถุดิบที่แตกต่างกัน ที่เปลี่ยนแปลงไปตามยุคสมัย และพฤติกรรม การบริโภคเพื่อให้ตอบสนองกับความต้องการของผู้บริโภคและต้นทุนการผลิต ล้วน นักวิทยาศาสตร์อาหารที่ศึกษาและพัฒนาวัตถุดิบใหม่เป็นสารทดแทนวัตถุดิบเดิม และปรับปรุง สูตรอาหารด้วยเครื่องมือ โดยผลิตภัณฑ์ใหม่ที่ได้จะต้องดำรงไว้ซึ่งคุณลักษณะดั้งเดิมทั้งรสชาติและ ลักษณะปราภณฑ์ทางกายภาพ ซึ่งจำเป็นต้องตรวจสอบและควบคุมคุณภาพทางกายภาพไว้โดยจะ ยกตัวอย่างคุณภาพทางกายภาพที่นิยมศึกษาและติดตามการเปลี่ยนแปลงคุณสมบัติของมายօนเนสซึ่ง ถือว่าเป็นลักษณะที่เด่นและสามารถนำไปสู่การตัดสินใจในการพัฒนาผลิตภัณฑ์ได้ดังต่อไปนี้

2.5.1.1 การวัดขนาดอนุภาคเม็ด ไบมัน

ขนาดอนุภาคเม็ด ไบมันมีความสัมพันธ์กับคุณสมบัติด้านเคมีกายภาพอื่น ๆ ของ มายօนเนสด้วย เช่น มีผลต่ออายุการจัดเก็บ ลักษณะปราภณ เนื้อสัมผัส และกลิ่น-รส ของอาหาร ดังนั้นการเปลี่ยนแปลงขนาดอนุภาคระหว่างการจัดเก็บสามารถส่งผลกระทบถึงคุณสมบัติทางกายภาพอื่น ๆ ได้เช่นกัน การรายงานค่าขนาดอนุภาคที่นิยมใช้ในปัจจุบัน เช่นค่า Surface mean diameter $D_{32} = \sum n_i D_i^3 / \sum n_i D_i^2$ หรือ Volume mean diameter $D_{43} = \sum n_i D_i^4 / \sum n_i D_i^3$ โดยที่ n_i จำนวนอนุภาค ที่มีขนาดเส้นผ่านศูนย์กลาง D_i โดยเครื่องมือวัดขนาดอนุภาคเม็ด ไบมันที่นิยมใช้ก็ตัวอย่างเช่น กล้องจุลทรรศน์ และ Laser diffraction เป็นต้น ซึ่งกล้องจุลทรรศน์เป็นเครื่องมือที่สามารถวัดได้ทั้ง ขนาดอนุภาคและการมองเห็นลักษณะรูปร่างของอนุภาคเม็ด ไบมันแต่มีข้อจำกัดเนื่องจากยังมีความ ผิดพลาดสูง โดยที่อนุภาคบางอนุภาคอาจมองไม่เห็นด้วยตา ทำให้การคำนวณค่าคลาดเคลื่อนได้ ช่วง 20 ปีที่ผ่านมา ได้มีการพัฒนาเครื่องมือวัดขนาดอนุภาคที่อาศัยหลักการของการเลี้ยวเบนของ แสง (Laser diffraction) ที่ถูกพัฒนาขึ้นตาม ISO13320 ที่สามารถวัดขนาดอนุภาคที่อยู่ในช่วง 0.1 ถึง 3000 ไมโครเมตร ได้ โดยใช้การประมาณของฟรอนโซเฟอร์ (Fraunhofer approximation) ที่ว่า ความเข้มของแสงที่เกิดการเลี้ยวเบนมีความสัมพันธ์กับปริมาณของอนุภาคแต่ละขนาด แต่ mun เลี้ยวเบนกลับเป็นสัดส่วนผกผันกับขนาดของอนุภาคซึ่งการใช้ตัวรองแสง เลนส์ และตัวตรวจจับ ทางแสงร่วมกับคอมพิวเตอร์ จะช่วยให้สามารถประมาณผลจากข้อมูลการเลี้ยวเบนของแสงเป็นค่า

การกระจายตัวของอนุภาคได้ แต่จะมีข้อจำกัดคืออนุภาคที่มีขนาดเล็กกว่าช่วงความสามารถของเครื่องตรวจจับจะไม่ได้รับการบันทึก และสมมุติฐานของฟรอนโซเฟอร์มีข้อจำกัดตรงที่อนุภาคต้องมีขนาดใหญ่กว่าความยาวคลื่นของแสงที่ใช้วัด อนุภาคต้องทึบแสง และอนุภาคทุกขนาดต้องกระเจิง แสงออกไปอย่างมีประสิทธิภาพเท่ากัน จากข้อจำกัดเหล่านี้ทำให้เกิดความคลาดเคลื่อนในการวัดอนุภาคที่มีขนาดเล็กใกล้กับความยาวคลื่นของแสงได้ หลังจากนั้นจึงได้มีการพัฒนา เครื่องมือวัดขนาดอนุภาคที่ใช้ทฤษฎีของมี (Mie Theory) เพื่อให้สามารถวัดขนาดของอนุภาคในช่วง 0.02 ถึง 2000 ไมโครเมตร ได้อย่างถูกต้อง แต่ทฤษฎีนี้มีข้อจำกัดคือจำเป็นต้องรู้ค่าดัชนีการหักเห (Refractive index) ของวัสดุที่นำมาทดสอบและตัวกล่างรวมทั้งค่าการดูดซับแสง (Absorption) ของวัสดุทั้งสองชนิดด้วย

2.5.1.2 คุณสมบัติวิทยากระแส (Rheology)

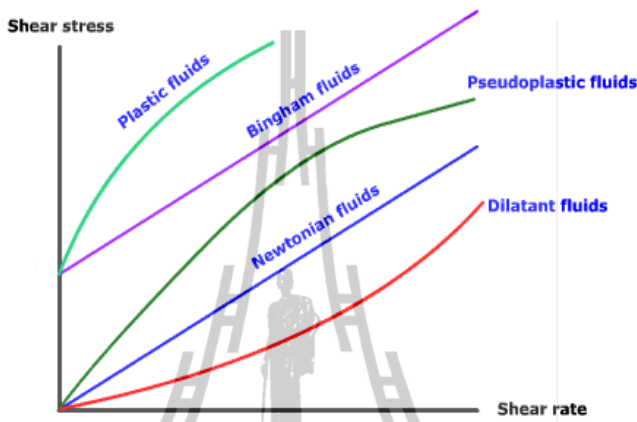
คุณสมบัติวิทยากระแสเป็นศาสตร์ที่ศึกษาลักษณะทางกายภาพของการเปลี่ยนรูป และการไหลของวัสดุ ซึ่งคุณสมบัติวิทยากระแสเกี่ยวข้องกับความคุณคุณภาพ เช่น การควบคุมลักษณะเนื้อสัมผัส ความขันหนด และ ลักษณะด้านประสิทธิภาพสัมผัสเป็นต้น คุณสมบัติวิทยากระแสยังเกี่ยวข้องกับกระบวนการผลิต เช่น การตีผง การกวน การโซโนมิไนซ์ และการปั๊มผ่านท่อ เป็นต้น รวมไปถึงการใช้วิทยากระแสเพื่อทำนายอายุการเก็บของมายองเนส (Wendin and Hall, 2001)

อาหารแต่ละชนิดมีคุณสมบัติในการไหลที่แตกต่างกัน ซึ่งเป็นผลมาจากการเกิดปฏิกิริยาเคมีระหว่างองค์ประกอบของอาหารที่มีความซับซ้อนแตกต่างกัน ขึ้นกับชนิดและปริมาณขององค์ประกอบที่มีในอาหาร การใช้เครื่องวัดวิทยากระแสในตัวอย่างอาหารเป็นเทคนิคที่นักวิทยาศาสตร์การอาหารนิยมนำมาใช้เพื่อศึกษา ความคุณคุณภาพ และติดตามการเปลี่ยนแปลงที่เกิดขึ้นกับตัวอย่างอาหารที่มีการปรับปรุง ดัดแปลงและพัฒนาขึ้นมาใหม่ เนื่องจากมีความสะดวกใช้ตัวอย่างน้อยและตัวอย่างไม่ถูกทำลาย การศึกษาคุณสมบัติด้านวิทยากระแสในมายองเนสมีหลายเทคนิค เช่น การศึกษาพฤติกรรมการไหลจะวัดด้วยเทคนิค Steady shear rate-shear stress, Time dependent shear rate-shear stress ส่วนการวัดคุณสมบัติด้านวีสโคอีลาสติก เช่น Creep compliance testing การวัดการเปลี่ยนแปลงของความเก็บเมื่อให้ความเครียดคงที่ (Stress relaxation testing) หรือการวัดการเปลี่ยนแปลงของคุลลัตส์เมื่อให้ความเดินหรือความเครียดเป็นรอบ (Dynamic rheological testing) มายองเนสเป็นอิมัลชันที่มีอนุภาคเม็ดไบมันกระจายตัวอย่างไกล์ชิด มีลักษณะกึ่งของแข็งของเหลว จึงสามารถแสดงพฤติกรรมการไหลได้ สำหรับการจำแนกประเภทของการไหลสามารถจำแนกได้สองประเภท (จินดานา นภพ, 2550) ตามกฎการไหลของนิวตัน (Newton's law of flow)

2.5.1.2.1 Newtonian flow

เป็นการไหลโดยความคืนนึ่ง (Shear stress, σ) แปรผันตามอัตราเรือน (Shear rate, γ) ไม่ว่าจะมีอัตราเรือนต่ำหรือสูงของเหลว ก็ยังมีความหนืดเท่าเดิม (รูปที่ 2.9) ค่าความ

หนึ่ดของของเหลวที่มีการไหลแบบนิวตันจะเป็นค่าความหนืดสัมบูรณ์ (Absolute viscosity) หรือความหนืดจลน์ (Kinematic viscosity) เมื่ออุณหภูมิสูงขึ้นค่าความหนืดจะลดลงยกตัวอย่างสารที่มีการไหลแบบนิวตันเนียน เช่น น้ำ น้ำผึ้ง น้ำมันพืช เป็นต้น



รูปที่ 2.9 ลักษณะของพฤติกรรมการไหล
ที่มา : ดัดแปลงจาก Toledo (1991)

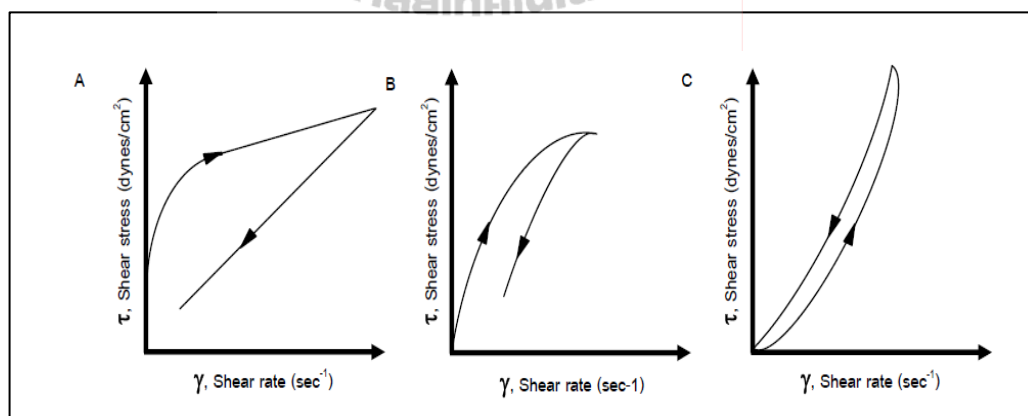
2.5.1.2.2 Non-newtonian flow

การไหลแบบ Non-Newtonian คือรูปแบบการไหลที่อัตราส่วนของความเค็นเฉือนต่ออัตราเฉือนไม่คงที่ค่าความหนืดเปลี่ยนตามอัตราเฉือนดังแสดงในรูปที่ 2.9 ความหนืดประเภทนี้เรียกว่าความหนืดปรากฏหรือ Apparent viscosity (η_a) การไหลแบบนี้สามารถแบ่งออกได้เป็น 2 ประเภท ได้แก่

ก) การไหลไม่ขึ้นกับเวลา (Time-independent) ซึ่งสามารถแบ่งได้เป็น 3 ประเภทอยู่คือ 1) Plastic flow หรือ Bingham plastic ถ้ามีแรงกระทำต่อตัวอย่างตัวๆ ตัวอย่างจะไม่ไหล จนเพิ่มแรงให้มากขึ้นถึงค่า ฯ หนึ่งที่เรียกว่า Yield value ตัวอย่างจะเริ่มไหลและถ้าเพิ่มอัตราเฉือนมากขึ้นอัตราเร็วของการไหลจะเพิ่มขึ้นเป็นสัดส่วนตรงกับแรงที่ใส่คล้ายการไหลแบบนิวตันเนียน (รูปที่ 2.9) สารที่มีลักษณะการไหลแบบบิงแชนเช่น ซอสมะเขือเทศ ซอสหอยนางรม เป็นต้น 2) Pseudoplastic flow หรือ Shear-thinning เป็นรูปแบบของการไหลที่อัตราเร็วของการไหลไม่เป็นสัดส่วนโดยตรงกับแรงที่ใช้ โดยของเหลวจะไหลทันทีเมื่อให้อัตราเฉือนและจะเริ่มไหลเร็วขึ้นเมื่อเพิ่มอัตราเฉือนและความหนืดจะลดลงเมื่อเพิ่มอัตราเฉือน (รูปที่ 2.9) ของเหลวที่ไหลแบบนี้จะไม่สามารถแสดงความหนืดเป็นค่าคงที่หนึ่ง และ 3) Dilatant flow หรือ Shear-thickening

เป็นของเหลวที่มีลักษณะตรงข้ามกับ Pseudoplastic เมื่อมีอัตราเฉือนมากขึ้น ความหนืดจะเพิ่มขึ้น (รูปที่ 2.9) มักเกิดกับระบบที่มีอนุภาคกระจายตัวมากและมีแนวโน้ม Aggregate หรือเกาะติดกันมากซึ่งโดยทั่วไปไม่พบรากурсลักษณะนี้ในอาหาร

ข) Time-Dependent การไหลจะขึ้นอยู่กับอัตราเฉือนและเวลาสามารถแบ่งได้ เป็น 2 ประเภทย่อย (jintna_naphr, 2550) คือ 1) Thixotropic flow หรือ Time-thinning system (ระบบคืนรูปช้า) เป็นการไหลภายในหลังที่มีการเปลี่ยนแปลงลักษณะของโครงสร้างการจัดเรียงตัวของโมเลกุลและการคืนรูป แต่การคืนรูปที่สมบูรณ์ต้องอาศัยช่วงเวลาระยะเวลาหนึ่ง ซึ่งในช่วงเวลาดังกล่าวของเหลวจะแสดงความหนืดที่แตกต่างไปจากเดิม และคงอยู่นานพอที่จะวัดอัตราเร็วของการไหลหนึ่ง ๆ ได้ เส้นกราฟจะเพิ่มอัตราเฉือนจะไม่ซ้อนกับเส้นกราฟขณะลดอัตราเฉือนลง เรียกพื้นที่ระหว่างเส้นกราฟทั้งสองว่า Hysteresis loop หรือ Thixotropic area (รูปที่ 2.10 A-C) เมื่อใส่แรงกระทำกับตัวอย่างจะทำให้ความหนืดของของตัวอย่างลดลงและคงเป็นของเหลวอยู่ได้ในช่วง เวลาหนึ่งทำให้สามารถเทออกจากขวดได้ง่ายและเมื่อตั้งทิ้งไว้เกิดการคืนรูปและ 2) Rheopectic flow หรือ Time-thickening system เป็นการเร่งให้ตัวอย่างที่มีความหนืดต่ำเนื่องจากมีแรงม้ากระทำให้คืนรูปมีความหนืดเพิ่มขึ้นด้วยการเรียบบาน อย่างช้า ๆ และ慢 แสบ เพราะแรงเรียบจะช่วยในการจัดเรียงตัวของโมเลกุลเกิดได้เร็วขึ้น (รูปที่ 2.10 C) ส่งผลให้ความหนืดสูงขึ้น



รูปที่ 2.10 Rheogram ของการไหลแบบ Thixotrop ได้แก่ Thixotropic plastic (A), Thixotropic pseudoplastic (B) และ Thixotropic dilatants (C)

ที่มา : จินตนา นภพ (2550)

ก) แบบจำลองทางคณิตศาสตร์ที่นิยมใช้ในการอธิบายพฤติกรรมการไหลของอาหาร ได้แก่ Power's law model, Casson model, Bingham model และ Herschel-Bulkley model โดยแสดงความสัมพันธ์ได้ตามสมการต่อไปนี้

Power law's model

$$\sigma = K(\gamma)^n \quad (2)$$

เมื่อ n คือ Flow behavior index, $n=1$ (Newtonian fluid), $0 < n < 1$ (Pseudo plastic fluid), $1 < n < \infty$ (Dilatants fluid)

K = ดัชนีความคงตัว (Consistency index)

σ = ความเก็บ劲

γ = อัตราเฉือน

Herschel-Bulkley model

$$\sigma = \sigma_y + K(\gamma)^n \quad (3)$$

เมื่อ σ_y คือ Yield stress

Bingham model

$$\sigma = \sigma_y + K(\gamma) \quad (4)$$

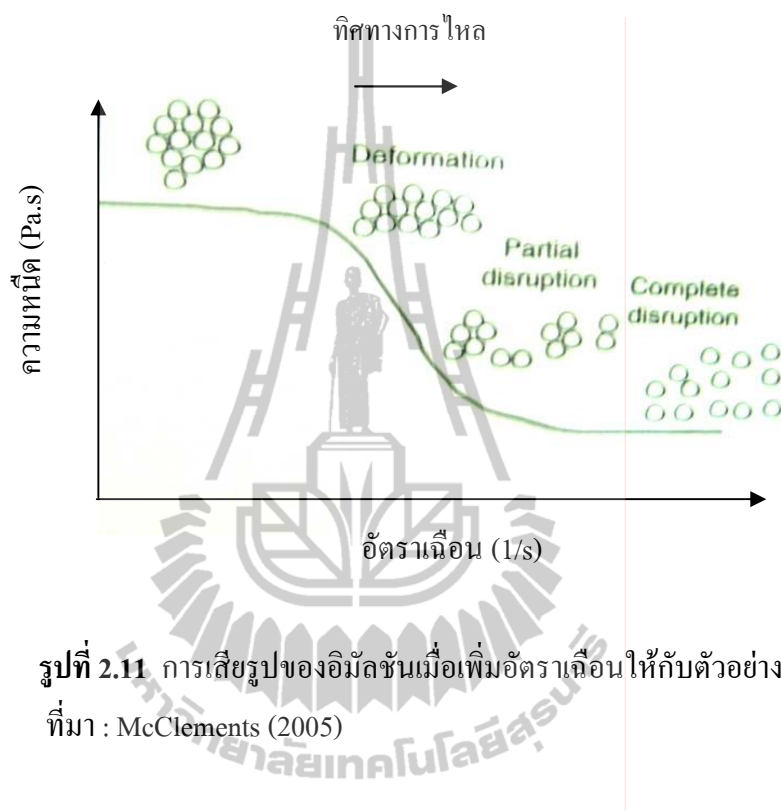
Casson model

$$\sigma^{\frac{1}{2}} = \sigma_y^{\frac{1}{2}} + K^{1/2}(\gamma) \quad (5)$$

โดยทั่วไปมายองเนสจะแสดงคุณสมบัติวิทยากระแสแบบ Psuedoplastic โดยความหนืดจะลดลงเมื่อเพิ่มอัตราเฉือนให้กับตัวอย่าง โดยทั่วไปอนุภาคเม็ดไนมันในมายองเนสจะอยู่อย่างหนาแน่นและเกาะกลุ่มกันเมื่อใส่แรงเฉือนต่ำ ๆ แรงที่ใส่เข้าไปจะทำลายแรงยึดเกาะของอนุภาคเม็ดไนมันให้แยกออกจากกัน และจะเหลือได้เมื่อเพิ่มอัตราเฉือน ดังแสดงในรูปที่ 2.11 โดยจะมีลักษณะการไหลที่ขึ้นกับเวลา (Time dependent characteristic) โดยมี Yield stress ทั้งนี้พบว่า Yield stress จะขึ้นกับปริมาณไนมัน (Peressini, Sensidoni, and Cindio, 1998; McClements, 2005; Mun et al., 2009; Worrasinchai et al., 2006)

การแสดงคุณสมบัติค้านวีสโคลอีลัสติกของมายองเนสเกิดจากมีแรงม้ากระทำและเกิดการเปลี่ยนรูปผ่านการสะสมพลังงาน เพื่อใช้ในการคืนรูปและเกิดการไหลได้เล็กน้อย ทางทฤษฎีวัสดุที่มีคุณสมบัติเป็นของแข็งในอุดมคติจะไม่แสดงการเปลี่ยนแปลงของความเครียดหรือแสดงการไหลเมื่อให้ความคืนคงที่ ดังแสดงในกราฟของแข็งในอุดมคติ (Ideal elastic material) ในขณะที่วัสดุที่มีคุณสมบัติเป็นของ流จะแสดงการเปลี่ยนแปลงของความเครียดเมื่อให้ความคืนคงที่ ดังแสดงในกราฟของ流ในอุดมคติ (Ideal viscous material) ซึ่งวัสดุที่มีคุณสมบัติกึ่งแข็ง

กิ่งเหลวจะแสดงการเปลี่ยนแปลงของความเครียดเมื่อให้ความเค้นคงที่ และเมื่อหยุดให้ความเค้นวัสดุจะสามารถคืนกลับสภาพเดิมได้บางส่วน (Partial recovery) แต่จะมีการเปลี่ยนรูปร่างอย่างถาวรดังแสดงในรูป 2.12 ก และ ข (ปาริพัตร วงศ์ประภานา, 2545; Steffe, 1996)



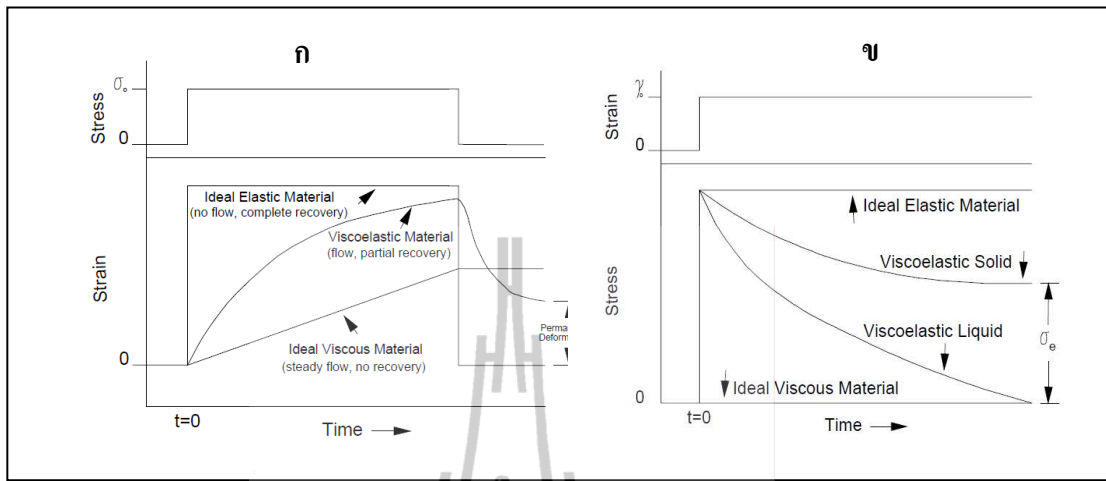
รูปที่ 2.11 การเสียรูปของอิมลชันเมื่อเพิ่มอัตราเฉือนให้กับตัวอย่าง
ที่มา : McClements (2005)

สำหรับคุณสมบัติด้านวิสโโคอิเลاستิกของมายองเนสจะวัดในรูปแบบของ Dynamic test ตัวอย่างถูกใส่ความเค้นหรือความเครียดเป็นรอบ แล้ววัดค่าการตอบสนองที่เกิดขึ้น เป็นความเครียดหรือความเค้น ความเค้นที่ตอบสนองต่อความเครียดแบบสั่นจะทำมุมต่างเฟสกัน (Delta, δ) โดยจะมีค่าต่างกันระหว่าง 0 ถึง 90 องศา (McClemens, 2005; Steffe, 1996) ดังแสดงในรูปที่ 2.13

สามารถเขียนความสมการแสดงการตอบสนองของความเค้น $\sigma(t)$ ที่ตอบสนองต่อความเครียดแบบสั่นที่ทำมุมต่างกันได้ดังนี้

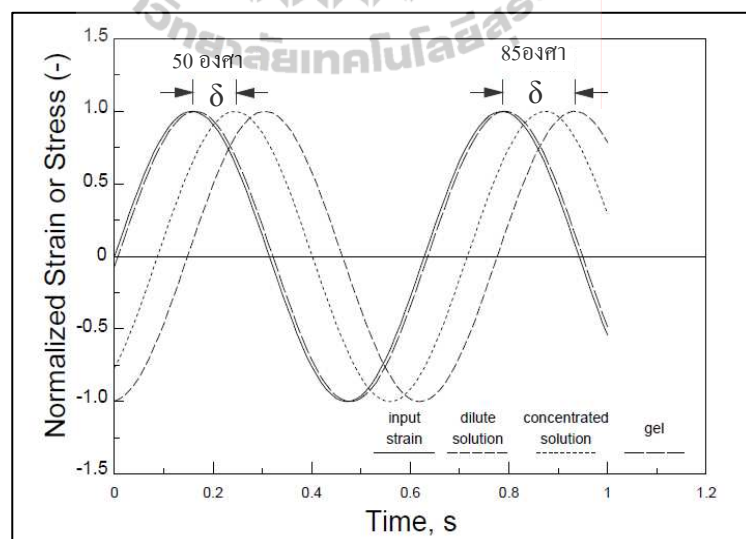
$$\sigma(t) = \sigma_0 \cos(\omega t) \quad (6)$$

$\sigma(t)$ และ σ_0 คือความเค้นที่เวลาใด ๆ และความเค้นสูงสุด
 ω คือ ความถี่ซิงมูนที่วัดแบบสั่น



รูปที่ 2.12 ความสัมพันธ์ระหว่างการเปลี่ยนแปลงความเครียด (ก) หรือความคืบ (ข) กับเวลาเมื่อให้ความเดินหรือความเครียดคงที่แก้วัสดุที่เป็นของแข็งในอุดมคติ หรือวัสดุอีลาสติก (Ideal elastic material) วัสดุวิสโคลาสติก (Viscoelastic material) และวัสดุที่เป็นของไหลในอุดมคติ (Ideal viscous material)

ที่มา : Steffe (1996)



รูปที่ 2.13 ความคืนที่สูงองตอบความเครียดของวัสดุที่แตกต่างกัน โดยแสดงค่ามุมเฟสแตกต่างกันตัวอย่างที่มีความเข้มข้นต่ำ ๆ จะมีค่าเฟสต่างกัน (δ) 85 องศา ตัวอย่างที่มีความเข้มข้นสูง มี δ 50 องศา และตัวอย่างที่เป็นเจลจะมีค่า δ 0 องศา

ที่มา : ดัดแปลง Steffe (1996)

การแสดงคุณสมบัติด้านวีสโโคอีเลาสติกของตัวอย่างที่ตอบสนองต่อการสั่นสามารถอธิบายในรูปของมอดูลัสดังนี้

$$G' = (\sigma_0/\gamma_0) \cos(\delta) \quad (7)$$

และ

$$G'' = (\sigma_0/\gamma_0) \sin(\delta) \quad (8)$$

เมื่อ G' และ G'' คือมอดูลัสสะสม (Storage modulus) และมอดูลัสสูญเสีย (Loss modulus) ตามลำดับ γ_0 คือ ความเครียดสูงสุด

การกำหนดค่าแอมเพลจูด (Amplitude) หรือความเครียดเพื่อใช้ศึกษาคุณสมบัติวีสโโคอีเลาสติกนิยมเลือกให้มีค่ามอดูลัสสะสมอยู่ในช่วงที่เป็นเส้นตรง (Linear viscoelastic region: LVR) ซึ่งสามารถหาค่า LVR ได้จากการทดสอบในรูปแบบของ Strain sweep โดยจะให้ความเครียดกับตัวอย่างในช่วงความถี่ต่ำๆ แล้ววัดการตอบสนองของความเค้น หลังจากนั้นจึงเลือกค่าความเครียดในช่วงที่ความถี่ต่ำๆ ที่ตัวอย่างมีค่ามอดูลัสสะสมอยู่ในช่วงเส้นตรง การกำหนดให้ค่าความเครียดอยู่ในช่วง LVR เพื่อทดสอบหาค่าการตอบสนองของความเค้นนั้น เป็นเพราะช่วงดังกล่าวความเค้นของตัวอย่างจะตอบสนองเป็นสัดส่วนโดยตรงกับความเครียดและคุณสมบัติของตัวอย่างไม่ได้ถูกกระทบจากการทดสอบ (Lu and Masliyah, 1996)

manyongnen จะมีคุณสมบัติของโครงสร้างที่คล้ายเจล (Gel-like structure) เนื่องจากมีค่ามอดูลัสสะสมสูงกว่ามอดูลัสสูญเสีย โดยที่มีมอดูลัสสะสมจะมีความสัมพันธ์โดยตรงกับปริมาณไขมันและขนาดอนุภาคเม็ดไขมัน (Maruyama et al., 2007; Peressini et al., 1998; Worrasinchai et al., 2006) โดยที่คุณสมบัติทางวิทยากระแสของ manyongnen จะขึ้นกับความหนืดของเฟสต่อเนื่อง ความเข้มข้นและการกระจายตัวของอนุภาคเม็ดไขมัน (Wendin and Hall, 2001) ในระหว่างการเก็บตัวอย่างหากมีการเปลี่ยนแปลงอนุภาคเม็ดไขมันที่เป็นผลจากการเกิด Depletion flocculation ทำให้ขนาดอนุภาคเม็ดไขมันใหญ่ขึ้นก็จะส่งผลให้คุณสมบัติทางวิทยากระแสของ manyongnen เปลี่ยนแปลงไป จะส่งผลต่อลักษณะปรากฏ คุณภาพและการยอมรับของผู้บริโภคได้เช่นกัน

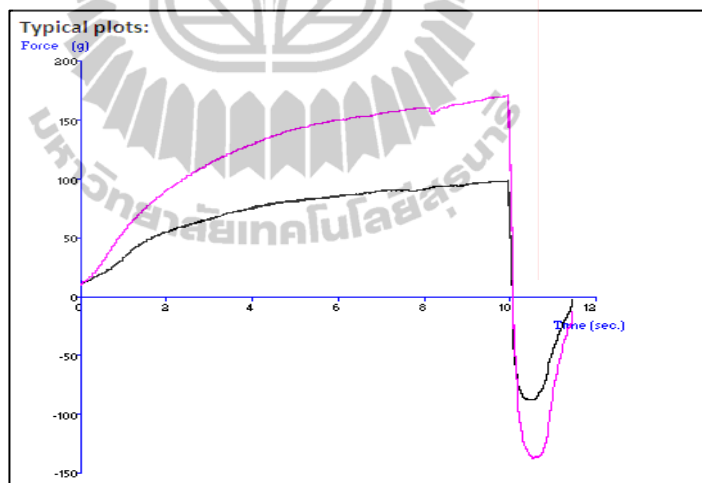
2.5.1.3 การวัดเนื้อสัมผัส

การวัดเนื้อสัมผัสของ manyongnen เป็นอีกเทคนิคที่นักวิทยาศาสตร์การอาหารนิยมใช้ตรวจสอบคุณภาพของ manyongnen เป็นเทคนิคที่ไม่ยุ่งยากและใช้เวลาทดสอบไม่นาน การวัดเนื้อสัมผัสของ manyongnen ด้วยเครื่องวัดเนื้อสัมผัส (Texture analyzer) สามารถวัดได้ทั้งในรูปแบบของ Back extrusion และ Compression (Stable Microsystem; Ltd) ยกตัวอย่างค่าที่ได้จากการวัดคุณภาพด้วยเครื่องวัดเนื้อสัมผัสที่วัดในรูปแบบของ Back extrusion และ Compression เช่น ค่าความแน่นเนื้อ

(Firmness) ที่เป็นค่าแรงสูงสุดที่เกิดระหว่างการกดหัววัดใส่ลงในตัวอย่าง และค่าการขึ้นตัว (Adhesiveness) ซึ่งเป็นพื้นที่ใต้กราฟในขณะที่ยกหัววัดขึ้นจากตัวอย่าง ลักษณะกราฟที่ได้จากการวัดทั้งสองแบบแสดงความสัมพันธ์ระหว่างแรงกับเวลา (รูปที่ 2.14)

2.5.1.3 การวัดสี

สีเป็นปัจจัยหนึ่งที่มีผลต่อการยอมรับผลิตภัณฑ์มากของเนส สีของนายองเนสสูตรดังเดิมจะเป็นสีเหลือง น้ำเงิน และมีความมั่นคง ที่ได้จากไบแคง และมัสดาร์ด โดยที่ไขมันจะให้ลักษณะปรากฏของนายองเนสที่มีความมั่นคง ที่เกิดจากการตอกกระทบและการสะท้อนออกของแสง เครื่องมือที่ใช้วัดสีในปัจจุบันได้ออกแบบให้สามารถวัดและระบุค่าได้อย่างละเอียดและสามารถแปลงออกมาเป็นค่าสีที่เป็นตัวเลขที่มีค่าใกล้เคียงกับการมองเห็นด้วยสายตาของมนุษย์ ทำให้สามารถนำตัวเลขที่ได้จากเครื่องมือวัดสีเป็นตัวไปกำหนดเป็นค่ามาตรฐานผลิตภัณฑ์และใช้เพื่อควบคุมคุณภาพอาหารแทนสายตาของมนุษย์ได้ เนื่องจากสายตาของมนุษย์ไม่สามารถกำหนดค่าสีออกมากเป็นตัวเลขได้ และมนุษย์อาจมีอารมณ์เกี่ยวข้องกับการตัดสินใจ



รูปที่ 2.14 กราฟที่ได้จากการวัดเนื้อสัมผัสด้วยเครื่องวัดเนื้อสัมผัส
ที่มา : Stable Microsystem Co, Ltd.

ตัวอย่างระบบค่าสีที่นิยมใช้เช่นระบบ Stimulus เช่นค่าสี L^* a^* b^* ที่ได้พัฒนาขึ้นโดย Commission Internationale de l'Eclairage (CIE) ในปี ค.ศ. 1976 ค่า L^* เป็นค่าที่บ่งบอกถึงค่าความสว่าง มีค่าตั้งแต่ 0 (ความดำ) ถึง 100 (ความขาว) เป็นค่าที่วัดได้จากการสะท้อนออกของคลื่นแสง ค่า a^* และ b^* เป็นค่าโคลร์มา (Croma) หรือสีเหลืองซึ่งเป็นค่าที่เกิดจากการรวมกันของคลื่นแสงเกิดการผสมของแสงสี โดยค่า a^* ค่าเป็นวงบ่งบอกถึงสีแดง ค่าลบบ่งบอกถึงสีเขียว

ส่วนค่า b^* ค่าลับบ่งบอกถึงสีน้ำเงิน และค่าบวกบ่งบอกถึงสีเหลือง (Hutchings, 1994) เมื่อต้องการเปรียบเทียบสีของตัวอย่างกับตัวอย่างมาตรฐาน หรือต้องการติดตามการเปลี่ยนแปลงของสีในอาหารในระหว่างการเก็บรักษา สามารถใช้ค่าความแตกต่างของค่า L^* (ΔL^*), $a^*(\Delta a^*)$ และ $b^*(\Delta b^*)$ มาเปรียบเทียบได้หรือนำคำนวณหาค่า ΔE^* จากสมการ $\Delta E^* = \sqrt{(\Delta L^*)^2 + (\Delta a^*)^2 + (\Delta b^*)^2}$ เพื่อให้มีตัวเลขสำหรับการเปรียบเทียบเพียงค่าเดียว ทำให้สามารถบอกได้ว่าตัวอย่างอาหารมีการเปลี่ยนแปลงของสีไปจากตัวอย่างมาตรฐานหรือค่าเริ่มต้นมากน้อยเพียงใด

ปัจจัยที่มีผลต่อค่าสีในมายองเนสคือ ปริมาณของส่วนผสม เช่น ปริมาณไขมัน ไข่แดง มัสตาร์ด หรือการเติมสารตกแต่งสีลงไป ค่าความสว่างและค่าโคล่าจะมีความสัมพันธ์กับความเข้มข้นของอนุภาคเม็ดไขมัน (Droplet concentration) และขนาดอนุภาคเม็ดไขมัน (McClements and Demetriadis, 1998; McClements, 2005; Worrasinchai et al., 2006) ค่าความสว่างจะเพิ่มขึ้นเมื่อเพิ่มความเข้มข้นของอนุภาคเม็ดไขมัน และมีค่าลดลงเมื่อขนาดอนุภาคเม็ดไขมันมีขนาดใหญ่ขึ้น ในขณะที่ค่าโคลามีค่าลดลงเมื่อความเข้มข้นของอนุภาคเม็ดไขมันสูงขึ้น และค่าโคลามากสูงขึ้นเมื่อขนาดอนุภาคเม็ดไขมันเพิ่มขึ้น เมื่อเพิ่มความเข้มข้นของอนุภาคเม็ดไขมัน ซึ่งทำให้เกิดการสะท้อนออกของคลื่นแสงมาก ค่า a^* และ b^* จะลดลง ทำให้ตัวอย่างมีค่าสีที่อ่อนลง ดังนั้นการเปลี่ยนแปลงของอนุภาคเม็ดไขมันในระหว่างการจัดเก็บจึงส่งผลกระทบต่อสีของตัวอย่าง มายองเนส

2.5.2 คุณสมบัติทางเคมี

2.5.2.1 กลิ่นหืน

การติดตามการเกิดปฏิกิริยาออกซิเดชันของน้ำมันซึ่งเป็นสาเหตุที่ทำให้เกิดกลิ่นหืนในมายองเนสสามารถติดตามโดยใช้เทคนิคการวัดได้หลายวิธี เช่น

2.5.2.1.1 Acid value

Acid value เป็นการวิเคราะห์หาปริมาณกรดไขมันที่เกิดขึ้นจากปฏิกิริยาการไฮโดรไลซ์ของน้ำมันด้วยเอนไซม์ไลเพสและความชื้น ทำให้ไขมันและน้ำมันเกิดการสลายตัวได้เป็นกรดไขมันอิสระที่มีน้ำหนักโมเลกุลต่ำซึ่งจะทำให้เกิดกลิ่นหืน ค่า A.V. คือจำนวนมิลลิกรัมของโพแทสเซียมไฮดรอกไซด์ ที่ใช้ในการทำให้กรดไขมันอิสระที่มีอยู่ในไขมันหรือน้ำมันจำนวน 1 กรัมให้เป็นกลางพอดี ซึ่งนิยมเปรียบเทียบเป็นกรดไฮเดอเรติก (นิธิยา รัตนานปนท., 2548) ดังนั้นค่า A.V. จึงสามารถใช้เป็นตัวบ่งบอกถึงระดับการหืนได้ถ้าค่า A.V. สูงแสดงว่าไตรกลีเซอไรด์ถูกไฮโดรไลซ์เป็นกรดไขมันอิสระมากแสดงว่ามีกลิ่นหืนมาก

2.5.2.1.1 Peroxide Value

Peroxide Value (P.V.) เพอร์ออกไซด์ (Peroxide) เป็นผลิตภัณฑ์แรกที่เกิดขึ้นจากปฏิกิริยาออกซิเดชันของน้ำมัน ปริมาณสารเพอร์ออกไซด์ที่เกิดขึ้นในน้ำมันหรือไขมัน

จะถูกคำนวณออกมาในค่าของจำนวนมิลลิตรของสารละลายโซเดียมไทโอดัลเฟต ความเข้มข้น 0.002 N ที่ใช้ในการไตเตอร์ทไบมันน้ำมันหรือไบมัน 1 กรัม หรือหมายถึงจำนวนมิลลิสมูลของ เพอโรออกไซด์ ออกซิเจน (Peroxide oxygen) ที่มีในน้ำมันหรือไบมัน 1 กิโลกรัม (นิธิยา รัตนาน พนนท์, 2548) ถ้าค่า P.V. สูงแสดงว่าน้ำมันหรือไบมันเกิดการหืนเนื่องจากการเกิดปฏิกิริยา ออกซิเดชันของน้ำมันมาก

2.5.2.1.1 Thiobarbituric acid (TBA)

TBA เป็นเทคนิคการทดสอบเพื่อหาผลิตภัณฑ์อันดับที่สองที่ได้จากการ เกิดปฏิกิริยาออกซิเดชันของน้ำมัน ทำปฏิกิริยากับกรดไทโอบาร์บิทูริกแล้วเกิดสีเขียว ตัวอย่างสารที่ เกิดจากการแตกสลายของเพอโรออกไซด์ เช่น มาโนลีนอลดีไฮด์ ซึ่งเป็นผลิตภัณฑ์ที่เกิดในปริมาณสูง กว่าผลิตภัณฑ์อื่น ๆ เมื่อทำปฏิกิริยากับกรดไทโอบาร์บิทูริกจะให้สารที่มีสีชมพูที่ดูคลื่นแสง ที่ 532 นาโนเมตร (Fernández, Pérez-Alvarez and Fernández-López, 1997) แต่อย่างไรก็ได้กรด ไทโอบาร์บิทูริกยังสามารถทำปฏิกิริกับสารประกอบพวก แอลกานอล (Alkanals) และคีนอล (Alkenals) และ 2,4 ไดอีนอล (2,4 Dienals) แล้วให้สีเหลืองและดูคลื่นแสงที่ความยาวคลื่น 450 นาโนเมตร ได้เช่นกัน

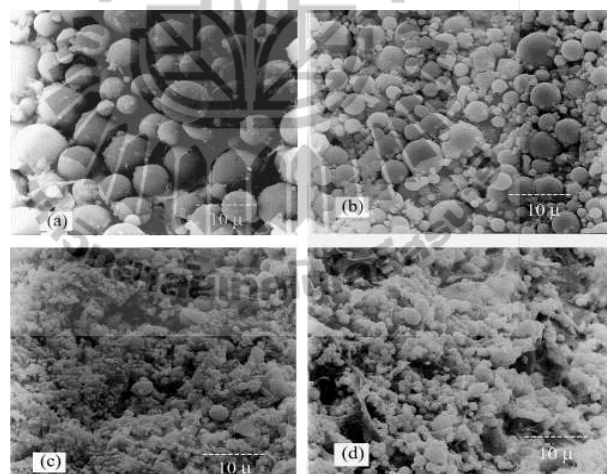
2.6 คุณสมบัติของมายองเนสสูตรลดไบมัน

2.6.1 คุณสมบัติทางกายภาพ

รูปที่ 2.15 แสดงโครงสร้างระดับจุลภาคของมายองเนส จะเห็นว่ามายองเนสสูตรไบมันเต็ม จะมีขนาดอนุภาคขนาดใหญ่กว่าและกลมกว่ามายองเนสที่ใช้สารทดแทนไบมัน (รูปที่ 2.15a) และ เมื่อเพิ่มปริมาณการแทนที่น้ำมันในมายองเนสด้วยเบต้า-กลูเคนมีผลทำให้ระยะห่างระหว่างอนุภาค เม็ดไบมันเพิ่มมากขึ้นภาพ b c และ d คือตัวอย่างที่แทนที่ไบมันร้อยละ 25, 50 และ 75 ตามลำดับ ซึ่ง ระยะห่างระหว่างอนุภาคเม็ดไบมันที่เพิ่มขึ้นจะส่งผลต่อคุณสมบัติด้านเนื้อสัมผัส ความหนืดและ คุณสมบัติด้านวิทยากระแส

Peressini และคณะ (1998) ได้ศึกษาคุณสมบัติวิทยากรรมแสงของมายองเนสสูตรดังเดิมกับ สูตรที่ใช้สารทดแทนไบมันจากแป้งที่มีขายในห้องตลาดที่มีปริมาณน้ำมันร้อยละ 48 ถึง 76 โดย นำหนัก การศึกษาพบว่ามายองเนสแสดงพฤติกรรมแบบวีสโโคอีล่าสติก โดยค่ามอคูลลัสสัมสม Complaince และ Yield stress เพิ่มขึ้นตามปริมาณน้ำมัน Cheung และคณะ (2002) ได้ศึกษาการใช้ สารทดแทนไบมัน 3 ชนิดได้แก่ N lite STM (แป้งคัดแปร) SimplesseTM (โปรตีน) และ AvecalTM (เซลลูโลส) ในมายองเนสโดยลดปริมาณไบมันจากร้อยละ 30 เป็นร้อยละ 10 พบร่วด้วยความคุณ ที่ไม่มีสารทดแทนไบมันมีความหนืดและขนาดของอนุภาคเม็ดไบมันใหญ่กว่าในตัวอย่างที่ใช้สาร ทดแทนไบมัน โดยค่าความหนืดจะมีสัมพันธ์กับขนาดของอนุภาคเม็ดไบมัน Ma และคณะ (2006)

ศึกษาการใช้่อนไชม์โอลฟ่า-อะไไมเลส เบต้า-อะไไมเลส กลูโค-อะไไมเลส และเดรกโตไชม์ ย้อมเป็นข้าวโพดให้มีขนาดอนุภาค 2-4 ไมโครเมตร เมื่อนำมาปั่นดังกล่าวไปใช้เป็นสารที่จำลองลักษณะของอนุภาคเม็ดไขมัน พบว่าสามารถใช้ทดแทนไขมันได้ถึงร้อยละ 60 โดยมีผลการทดสอบทางประสานสัมผัสที่ไม่ต่างจากตัวอย่างควบคุม Worrasinchai และคณะ (2006) ได้ศึกษาการใช้เบต้า-กลูเคนที่สกัดจากผักนั่งเชลล์ของยีสต์เป็นสารทดแทนไขมันในมายองเนส พบว่าตัวอย่างที่ใช้เบต้า-กลูเคนเป็นสารทดแทนไขมันที่ร้อยละ 50 และ 75 โดยน้ำหนัก ให้ค่าความแน่นเนื้อและค่าการยึดเกาะเหมือนกับตัวอย่างควบคุม โดยตัวอย่างที่ใช้สารทดแทนไขมันร้อยละ 50 และ 75 จะมีอนุภาคเม็ดไขมันขนาดเล็กและเรียงตัวแบบหลวม (Loose packing structures) กว่าตัวอย่างควบคุม ตัวอย่างที่ใช้สารทดแทนไขมันจะมีความเสถียรมากกว่าตัวอย่างควบคุมที่ไม่ใช้สารทดแทนไขมัน และผลการทดสอบการยอมรับทางประสานสัมผัสของผู้ทดสอบชิมพบว่าผู้บริโภคสามารถยอมรับผลิตภัณฑ์ที่ใช้สารทดแทนไขมันจากเบต้า-กลูเคน ไม่กินร้อยละ 50 โดยน้ำหนัก



รูปที่ 2.15 ภาพโศกงสร้างระดับจุลภาคของมายองเนสด้วยเทคนิค SEM

ที่มา : Worrasinchai et al., (2006)

2.6.2 คุณสมบัติทางเคมี

การลดปริมาณไขมันของยองเนสมีผลทำให้มีน้ำในเฟสต่อเนื่องเพิ่มขึ้น เนื่องจากต้องใช้น้ำในการเป็นตัวละลายสารที่นำมาใช้เป็นสารทดแทนไขมัน น้ำที่มีในเฟสต่อเนื่องจะทำให้ความสามารถของการละลายของอากาศเพิ่มสูงขึ้น และอนุภาคเม็ดไขมันจึงมีโอกาสสัมผัสนับออกซิเจนได้สูงขึ้นด้วย นอกจากนั้นน้ำยังเป็นตัวทำให้ตัวเร่งปฏิกิริยาที่เกี่ยวข้องกับการปฏิกิริยาออกซิเดชันของน้ำมันเคลื่อนที่เขอกับไขมันได้ง่ายขึ้น จึงมีผลทำให้เกิดกลิ่นหืนในอาหารได้ง่าย

Osborn และ Akoh (2004) ได้ศึกษาผลของชนิดของอิมัลซิไฟเออร์ซึ่งประกอบไปด้วย Sucrose fatty acid ester กับ Whey protein isolate ที่มีความเข้มข้นของไขมันแตกต่างกันคือ ร้อยละ 10 และ 30 และศึกษาผลของขนาดอนุภาคของเม็ดไขมันที่แตกต่างกันต่อการเกิดปฏิกิริยาออกซิเดชันของน้ำมัน พบว่าในระบบที่มีไขมันน้อยกว่า (น้ำมาก) จะเกิดปฏิกิริยาออกซิเดชันของน้ำมันได้มากกว่าในระบบที่มีไขมันมาก (น้ำน้อย) และการใช้โปรตีนเวย์เป็นอิมัลซิไฟเออร์จะเกิดปฏิกิริยาออกซิเดชันของน้ำมันได้น้อยกว่าการใช้ Sucrose fatty acid ester เป็นอิมัลซิไฟเออร์ซึ่งเป็นผลมาจากการเวย์สามารถยับยั้งไม่ให้ออนซูโลสิรัสสามารถทำปฏิกิริยาปฏิกิริยาได้

2.6.3 คุณสมบัติทางจุลินทรีย์

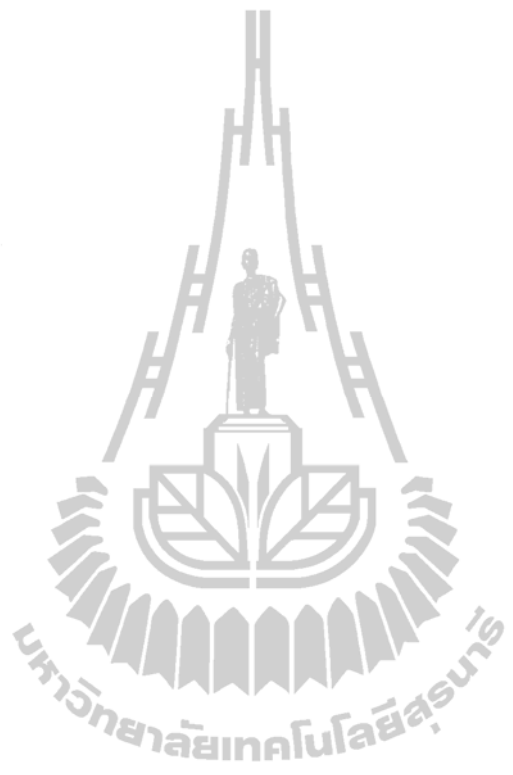
อาหารอิมัลชันสูตรที่ใช้สารทดแทนไขมันจะทำให้มีค่าความชื้นและค่า a_w สูงขึ้น นอกจากจะทำให้ต่าง ๆ ที่อยู่ในระบบอิมัลชันเคลื่อนที่ได้ง่ายและเกิดปฏิกิริยาเคมีได้ดีขึ้นแล้ว ยังทำให้เชื้อจุลินทรีย์สามารถเจริญเติบโตได้ดีด้วย (Worrasinchai et al., 2006) โดยทั่วไปค่า a_w ใน majority เนสต์ ที่มีปริมาณไขมันสูง (ร้อยละ 77 ถึง 79) จะมีค่า a_w ประมาณ 0.93 และใน majority เนสต์ที่มีปริมาณไขมันต่ำ (ร้อยละ 37 ถึง 41) จะมีค่า a_w ประมาณ 0.95 (Chirife, Vigo, Gomez, and Favetto, 1989)

2.6.4 คุณสมบัติด้านประสิทธิภาพ

เมื่อมีการปรับปรุงสูตรการผลิตหรือสูตรอาหารขึ้นมาใหม่ ผู้ผลิตจำเป็นที่จะต้องประเมินคุณภาพของผลิตภัณฑ์ให้เป็นไปตามความต้องการของผู้บริโภคหรือให้คงคุณภาพเดิมไว้ ผลิตภัณฑ์บางชนิดหากที่จะใช้ครัวเรือนมือวิเคราะห์เพื่อเป็นตัวแทนของผู้บริโภคได้แก่ ตา จมูก ลิ้น และการสัมผัส เนื่องจาก majority เนสต์เป็นอาหารที่มีองค์ประกอบซับซ้อนและมีส่วนผสมได้แก่ ไขมัน เกลือ น้ำตาล น้ำส้มสายชู ไข่แดง และมัสดาร์ด ซึ่งองค์ประกอบเหล่านี้ล้วนมีผลต่อกลิ่น-รส ที่เป็นลักษณะเฉพาะของ majority เนสต์ คุณลักษณะทางประสิทธิภาพของ majority เนสต์ ประกอบประกอบด้วย 1) ลักษณะปราศจากด้านเสียง ของเนสต์ จะมีเสียงเหลือง และหวาน 2) เนื้อสัมผัซึ่งสามารถอธิบายในรูปของ ความหนืด การยืดเค้ง แรงในการเหตัวอย่างออกจากขวดและความแน่นเนื้อ 3) กลิ่น-รส กลิ่น-รสใน majority เนสต์ประกอบไปด้วย รสเค็ม รสหวาน รสเปรี้ยว กลิ่นเปรี้ยว รสมันที่ได้จากไขมัน และ 4) ความรู้สึกเมื่อออยู่ในปากประกอบ เช่น ความสามารถในการละลาย ความลื่น (Lubricity) และ ความรู้สึกของครีม เป็นต้น

Cheung และคณะ (2002) ศึกษาการใช้สาร 3 ชนิดได้แก่ N lite STM (แป้งดัดแปร) SimplesseTM (โปรตีน) และ AvecalTM (เซลลูโลส) เป็นสารทดแทนไขมันใน majority เนสต์ โดยลดปริมาณไขมันจากร้อยละ 30 เป็นร้อยละ 10 ผลการทดสอบทางประสิทธิภาพพิสูจน์ว่า ตัวอย่างที่มีไขมันร้อยละ 30 มีคะแนนความชอบสูงสุด โดยคุณลักษณะที่ใช้ทดสอบประสิทธิภาพของไขมันที่ได้จากการละลายได้ ความมันวาว และ รสมัน ตัวอย่างที่ใช้สารทดแทนไขมันจะมี

ค่าความขั้นหนึด ความสามารถในการคลาย ความมั่นวัว และรสมัน มีคะแนนน้อยกว่าตัวอย่างที่ไม่ใช้สารทดแทนไขมัน นอกจากนี้ยังพบว่าความขั้นหนึดที่ได้จากการทดสอบด้านประสาทสัมผัส มีความสัมพันธ์กับความหนึดที่วัดด้วยเครื่องมือ และทุกตัวอย่างมีคะแนนความชอบรวมของนายองเนสจากการทดสอบทางประสาทสัมผัสไม่แตกต่างกัน



บทที่ 3

วัสดุและวิธีการทดลอง

3.1 วัตถุดิบ

3.1.1 แป้งคัดแปรชนิดไฮดรอกซิโพลีอลิสตาร์ชฟอสเฟต мол โอดิเดกซ์ตรินทีมี DE 3 ถึง 5 และแป้งโซเดียมօอกเทนิลซัคซิเนต ซึ่งจากบริษัทสยามโมดิฟายด์สตาร์ช จำกัด ประเทศไทย

3.1.2 วัตถุดิบในการผลิตมายองเนสประกอบไปด้วย ไข่ไก่สดซึ่งจากฟาร์มมหาวิทยาลัยเทคโนโลยีสุรนารี น้ำมันพืชตราอ่อนุน น้ำตาลตราหมีตรามูล เกลือตราปูรุ่งทิพย์ และน้ำส้มสายชู กลั่นเข้มข้นร้อยละ 5 ตรา อสรา. ซึ่งจากศูนย์การค้าในเขตจังหวัดนครราชสีมา

3.1.3 กรดเบโนโซอิก (Benzoic acid, Ajax Finechem Pty Ltd, Australia)

3.1.4 กรดไตรคลอโรอะซิติก (Trichloroacetic acid, Scharlau, Spain)

3.1.5 กรดไทยโอบาร์บิทูริก (Thiobarbituric acid, Fluka, Germany)

3.1.6 มาโนลันดีไฮด์ (Malonaldehyde, Sigma, USA)

3.1.7 เอทานอล (Ethanol, Carlo Erba, Spain)

3.2 อุปกรณ์และเครื่องมือ

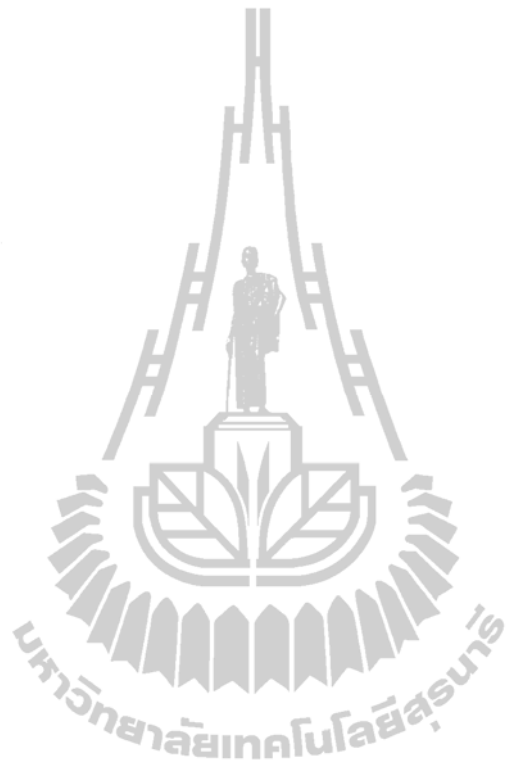
3.2.1 เครื่องวัดวิทยากระแส (Controlled stress Rheometer, TA instrument AR-G2, New Castle, DE, USA) และโปรแกรมสำเร็จรูปของเครื่อง (TA Instruments Advantage Software, version 5.0.1, US)

3.2.2 เครื่องวิเคราะห์เนื้อสัมผัส (Texture Analyzer TA.TX2, Stable Microsystems, Kent, UK) และโปรแกรมสำเร็จรูปของเครื่อง (Texture Expert Software, Stable Microsystems, Kent, UK)

3.3.3 เครื่องวิเคราะห์ขนาดอนุภาค (Laser particle size analyzer Model Mastersizer S, Malvern Instrument, Ltd., UK)

3.3.4 เครื่องวัดความเป็นกรด-ด่าง (pH Meter, Mettler Teledo รุ่น MP220, Switzerland)

3.3.5 เครื่องสเปกโตรโฟโตมิเตอร์ (UV spectrophotometer, รุ่น Libra S22, Biochrom, UK)



- 3.3.6 เครื่องวัดสี Minolta (Chroma meter รุ่น CR-300, Konica Minolta, Osaka, Japan)
- 3.3.7 เครื่องดีพสมมายองเนสและ High speed hand blender (Moulinex รุ่น Easy Max perfect, Spain)
- 3.3.8 กล้องจุลทรรศน์ (Optical light microscope รุ่น Nikon 641463, ikon corp., Japan)
- 3.3.9 เครื่องปั่นเหวี่ยง (Centrifuge, Legand Mach 1.6R, Sorvall, Germany)
- 3.3.10 เครื่องวัดความชื้น (Moisture Analyzer รุ่น IR120, DENVER Instrument, Germany)
- 3.3.11 เครื่องวัดความหนืด (Brookfield Engineering Laboratories Inc., USA)
- 3.3.12 แผ่นทดสอบเชื้อสำเร็จรูป Aerobic count plates (3MTM PetrifilmTM Aerobic count plate, 3M, St. Paul, Minn., U.S.A.)

3.3 วิธีดำเนินการวิจัย

3.3.1 การวัดคุณสมบัติเบื้องต้นของมายองเนสสูตรการค้า

ตรวจสอบคุณสมบัติทางกายภาพของมายองเนสสูตรการค้า ที่มีปริมาณน้ำมันที่แตกต่างกันจำนวน 5 ขั้นตอน และอีก 1 ตัวอย่างที่มีปริมาณน้ำมันร้อยละ 40 หรือเทียบเท่ากับสูตรที่มีการใช้สารทดแทนไขมันร้อยละ 50 ได้รับการอนุเคราะห์จากบริษัทอินโนเฟรช จำกัด นำตัวอย่างมาทดสอบคุณสมบัติทางเคมีกายภาพดังต่อไปนี้

3.3.1.1 วัดค่าความเป็นกรด-ด่าง

นำตัวอย่างมายองเนสมาวัดค่าความเป็นกรด-ด่างด้วยเครื่องวัดค่าความเป็นกรด-ด่าง โดยทำความสะอาดหัววัดด้วยน้ำกลั่นแล้วซับให้แห้งด้วยกระดาษชำระ Calibrate ค่าความเป็นกรด-ด่างที่ 7.01 กับ 4.01 ทุกครั้งก่อนการวัด โดยการจุ่มน้ำหัววัดลงในตัวอย่างรองกว่าค่านิ่งวัด 3 ชั้ต่อตัวอย่างบันทึกผล

3.3.1.2 วัดสีในระบบ L* a* b *

ตัวอย่างมายองเนสจะนำไปวัดสีด้วยเครื่องวัดสีโดยทำการสอบเทียบสีกับแผ่นสีมาตรฐานที่มีค่า $L^* = 97.26$, $a^* = +0.05$ และ $b^* = 1.71$ โดยวัดค่าตัวอย่างละ 3 ชั้น รายงานผลเป็น L^* a^* และ b^* ตัวอย่างละ 3 ชั้น

3.3.1.3 วัดขนาดอนุภาคเม็ดไขมัน

วัดขนาดอนุภาคเม็ดไขมันด้วยเครื่องวิเคราะห์ขนาดอนุภาค โดยเจือจางตัวอย่างอัตราส่วน 1:1000 ในสารละลายน้ำโซเดียมดอกซิลฟัต Sodium dodecyl sulfate เชิ่มขึ้นร้อยละ 0.1 เพื่อให้ตัวอย่างที่เกะกะลุ่มติดกันแยกออกจากกัน แล้วนำสารละลายน้ำตัวอย่างไปวัดค่าขนาดอนุภาคเม็ดไขมันด้วยเครื่องวัดขนาดอนุภาค สารละลายน้ำตัวอย่างจะถูกละลายในน้ำปราศจากไออกอนให้มีค่าความชุ่น (Obscuration)

ระหว่างร้อยละ 15 ถึง 30 เปิดเครื่องกวนผสมที่เป็นชุดอุปกรณ์ของเครื่องวัดขนาดอนุภาคให้มีความเร็วที่ระดับ 2 ตั้งค่า Refractive indices ของอนุภาคเม็ดไนมันและนำปราศจากไออกอนเป็น 1.5295 และ 1.3300 โดยตั้งค่าการดูดกลืนแสงของอนุภาคเม็ดไนมันและนำเป็น 0.100 และ 0.00 ตามลำดับ ขนาดอนุภาคที่ได้จากการใช้โปรแกรมของเครื่องคำนวณขนาดของอนุภาคเม็ดไนมัน ซึ่งจะรายงานผลเป็นค่า D_{43} (Volume mean diameter) = $\sum n_i d_i^4 / \sum n_i d_i^3$ โดยที่ n_i คือจำนวนของอนุภาคที่มีขนาด d_i และถ่ายตัวอย่างละ 2 ชั้น แต่ละชั้นวัด 3 ครั้ง

3.3.1.4 วัดคุณสมบัติวิทยากระแส

วัดคุณสมบัติวิทยากระแสของตัวอย่างมายองเนสด้วยเครื่องวัดวิทยากระแส โดยใช้หัววัดแบบ Parallel plate ที่มีขนาดเส้นผ่านศูนย์กลางขนาด 40 มิลลิเมตร ตักตัวอย่างมายองเนสประมาณ 1.6 กรัมวางบน Pelteir plate หลังจากหัววัดเคลื่อนที่ลงมาที่ระยะห่างระหว่างเพลท 1000 ไมโครเมตร แล้วให้กดตัวอย่างที่มากเกินพอกออกด้วยอุปกรณ์สำหรับกดตัวอย่างออกจากหัววัด และเริ่มการวิเคราะห์หลังจากตัวอย่างมีอุณหภูมิ 25 องศาเซลเซียส

3.3.1.4.1 หาค่า Linear viscoelastic region, LVR

โดยตั้งโปรแกรมวัดในโหมดของ Strain sweep ให้มีค่าระหว่างร้อยละ 0.1 ถึง 100 ที่ความถี่คงที่ 5 เอิร์ต ได้ผลการทดลองที่เป็นกราฟแสดงความสัมพันธ์ระหว่าง Log storage modulus กับความถี่

3.3.1.4.2 วัดค่า Dynamic frequency sweep

โดยให้ค่า Strain คงที่ร้อยละ 0.5 ซึ่งอยู่ในช่วง LVR แล้ววัดในช่วงความถี่ 0.1 ถึง 100 เอิร์ต

3.3.1.4.3 วัด Steady flow behavior

โดยตั้งโปรแกรมให้เพิ่มค่าอัตราเฉือนอย่างต่อเนื่องจาก 0 ถึง 300 ต่อวินาทีเป็นระยะเวลา 3 นาที แล้วลดค่าอัตราเฉือนลงจาก 300 ถึง 0 ต่อวินาทีทันทีภายในเวลา 3 นาที ต่อมาก็ข้อมูลที่แสดงความสัมพันธ์ระหว่างความเค้นเฉือนกับอัตราเฉือนจะนำไปวิเคราะห์ข้อมูลโดยใช้โปรแกรมสำหรับรูปคำนวณคุณสมบัติวิทยากระแสซึ่งจะใช้ Power's law model ในการวิเคราะห์ผลดังแสดงในสมการ

$$\sigma = K\gamma^n$$

โดยที่ σ คือ shear stress (Pa)

K คือ ต้นที่ความคงตัว ($\text{Pa} \cdot \text{s}^n$)

γ คือ อัตราเฉือน (s^{-1})

n คือ flow behavior index

3.3.1.5 การวัดค่าความแน่นหนืดและการยึดเกาะ

ใส่ตัวอย่างมายองเนส 40 กรัมลงไปในบีกเกอร์ขนาด 50 มิลลิลิตรที่มีขวดเส้นผ่านศูนย์กลาง 3.5 เซนติเมตร เพื่อให้ตัวอย่างมีความสูง 4 เซนติเมตร นำตัวอย่างไปวัดค่าความแน่นเนื้อและค่าการยึดเกาะด้วยเครื่องวิเคราะห์เนื้อสัมผัสที่มี load cell ขนาด 50 กิโลกรัม โดยวัดแบบ Compression mode ใช้หัววัดทรงกระบอกขนาดเส้นผ่านศูนย์กลางขนาด 25 มิลลิเมตร กดเข้าไปในตัวอย่างด้วยความเร็ว 1 มิลลิเมตรต่อวินาที ด้วยแรง 10 กรัม ลึก 10 มิลลิเมตร กราฟที่แสดงความสัมพันธ์ระหว่างแรงที่ใช้กับเวลาจะถูกนำมาวิเคราะห์หาความแน่นเนื้อ ซึ่งบ่งบอกถึงแรงสูงสุดที่ใช้ขณะหัววัดกดลงไปในตัวอย่าง และค่าการยึดเกาะที่เป็นพื้นที่ใต้กราฟที่เกิดขึ้นระหว่างดึงหัววัดออกจากตัวอย่างซึ่งมีค่าเป็นลบ แต่ละตัวอย่างจะถูกวิเคราะห์ตัวอย่างละ 2 ชั้น

3.3.2 การวัดคุณสมบัติเบื้องต้นของแป้งดัดแปร

3.3.2.1 วัดความหนืดด้วยเครื่อง Brookfield

โดยเตรียมแป้งให้มีความเข้มข้นร้อยละ 5 โดยนำหนักดังนี้ ละลายแป้งในน้ำกลั่นแล้วนำไปต้มในอ่างควบคุมอุณหภูมิ 100 องศาเซลเซียส เป็นเวลา 15 นาที โดยวนตัวอย่างตลอดเวลา ทิ้งไว้ค้างคืนให้ตัวอย่างเย็นที่อุณหภูมิห้อง นำตัวอย่างไปวัดความหนืดด้วยเครื่องวัดความหนืดโดยใช้ตัวอย่าง 11 มิลลิลิตรใส่ในชุดวิเคราะห์ Small sample Adapter จากนั้นวัดความหนืดที่อุณหภูมิ 25 องศาเซลเซียส ที่ความเร็วรอบ 250 รอบต่อนาที บันทึกค่าความหนืดที่เวลา 5 วินาที ทำการวัดซ้ำตัวอย่างละ 3 ชั้น

3.3.2.2 การวิเคราะห์หาค่าความชื้นของตัวอย่างแป้งด้วยเครื่องวิเคราะห์ความชื้นโดยวัดค่าตัวอย่างละ 3 ชั้น

3.3.2.3 วัดค่า ความเป็นกรด-ด่าง โดยนำตัวอย่างที่เตรียมในข้อ 3.3.1.1 มาวัดค่าความเป็นกรด-ด่าง โดยวัดตัวอย่างละ 3 ชั้น

3.3.2.4 วัดสีของเจลแป้งที่มีความเข้มข้นร้อยละ 10 โดยมีวิธีการเตรียมเช่นเดียวกับหัวข้อ 3.3.2.1 นำเจลแป้งไปวัดสีเช่นเดียวกับหัวข้อ 3.3.1.2

3.3.3 การเตรียมตัวอย่างแป้งดัดแปรเพื่อวิเคราะห์หาความหนืดที่เหมาะสมในการเป็นสารทดแทนไขมัน

เนื่องจากแป้งดัดแปรที่นำมาใช้ในการทดลองครั้งนี้เป็นแป้งที่มีคุณสมบัติในการละลายน้ำเย็นได้ ซึ่งสามารถนำมาใช้ได้ทันที แต่ทั้งนี้พบว่า MD มีความสามารถในการดูดซึมน้ำในอัตราที่ต่ำโดยใช้เวลาค่อนข้างนานกว่าที่น้ำจะซึมเข้าภายในโครงสร้างของสายโพลีเมอร์ ดังนั้นจึงต้มแป้งในอ่างที่ถูกควบคุมอุณหภูมิที่ 100 องศาเซลเซียส เป็นเวลา 15 นาทีแล้วทิ้งไว้ให้เย็นและให้สร้างเจลเป็นเวลา 1 คืนที่อุณหภูมิห้อง ในขณะที่แป้ง HDP และ SSO สามารถละลายและวัดได้ทันที แป้งแต่ละชนิดจะประดับความเข้มข้นที่แตกต่างกันดังนี้ HDP ประดับความเข้มข้นอยู่ในช่วงร้อยละ 8 ถึง 10 โดยนำหนัก โดยที่ความเข้มข้นร้อยละ 10 เป็นระดับความเข้มข้นสูงสุดที่ HDP สามารถ

ละลายนำ้ได้ SSO แปรความเข้มข้นร้อยละ 10 ถึง 20 โดยที่ความเข้มข้นร้อยละ 20 เป็นระดับความเข้มข้นสูงสุดที่ SSO สามารถละลายนำ้ได้ MD แปรความเข้มข้นร้อยละ 28 ถึง 30 และความเข้มข้นร้อยละ 30 เป็นความเข้มข้นสูงสุดที่ MD สามารถละลายนำ้ได้ น้ำเจลแป้งแต่ละชนิดที่เตรียมไว้ด้วยความหนืดด้วยเครื่องวัดคุณสมบัติวิทยากรและโดยมีวิธีการใส่ตัวอย่างและการตั้งโปรแกรมในเครื่องชั่นเดียวกับข้อ 3.3.1.4.3

3.3.4 การเตรียมตัวอย่างมายองเนส

การเตรียมมายองเนสสูตรไขมันเต็มและสูตรที่มีสารทดแทนไขมันจากแป้งคัดแปลง โดยตัดแปลงจากสูตรของ Lui และคณะ (2007) ดังแสดงในตารางที่ 3.1 โดยเตรียมตัวอย่างละ 1.5 กิโลกรัม ทำตัวอย่างละ 2 ช้อน

3.3.4.1 วิธีเตรียมตัวอย่างมายองเนสสูตรไขมันเต็ม

ผลิตมายองเนสสูตรไขมันเต็มที่มีน้ำมันอั่วหลีอิง ไจแคนด์ส นำ้ น้ำตาลรายเกลือ และนำ้ส้มสายชู ร้อยละ 80, 8, 2, 1, 1, และ 8 ตามลำดับ โดยนำ้น้ำตาลรายเกลือ และนำ้ตีผสมให้เข้ากันด้วยเครื่อง Moulinex ด้วยหัวตะกร้อที่ความเร็วรอบต่ำสุด (เลข 1) เป็นเวลา 3 นาที เติมกรดเบนโซอิกร้อยละ 0.5 แล้วตามด้วยเติมไนแอคต์แล้วตีผสมต่อเป็นเวลา 2 นาที ปรับความเร็วรอบไปที่ความเร็วรอบสูงสุด (หมายเลข 4) จากนั้นเทน้ำมันพีชลงไปอย่างช้าๆ เมื่อเทน้ำมันพีชลงไปประมาณ 1 ใน 5 ส่วนแล้วจึงค่อยๆ เทนำ้ส้มสายชูลงในตัวอย่างพร้อมกับนำ้มันพีช จนส่วนผสมทึบส่องหมาดภายในเวลา 15 นาที ถ่ายตัวอย่างใส่ภาชนะปลอดเชื้อที่มีฝาปิดสนิท แล้วนำตัวอย่างไปเก็บในตู้ที่ถูกควบคุมอุณหภูมิ 25 องศาเซลเซียส เป็นเวลา 1 คืน ก่อนการวิเคราะห์คุณภาพต่อไป

3.3.4.2 วิธีการเตรียมตัวอย่างมายองเนสสูตรไขมันต่ำ

ตัวอย่างมายองเนสที่ใช้แป้ง MD เป็นสารทดแทนไขมันเริ่มน้ำด้วยการผสมเจลแป้งที่เตรียมทึบไว้ข้างคืนนำ้ น้ำตาลรายเกลือ และกรดเบนโซอิค เป็นเวลา 3 นาที โดยใช้ความเร็วรอบหมายเลขอ 1 หลังจากนั้นใส่ไนแอคต์แล้วตีผสมต่ออีก 2 นาที ค่อยเทน้ำมันพีชลงไปอย่างช้าๆ เมื่อเทน้ำมันพีชลงไปประมาณ 1 ใน 5 ส่วนแล้วจึงค่อยๆ เทนำ้ส้มสายชูลงในตัวอย่างพร้อมกับนำ้มันพีช โดยยังใช้ความเร็วรอบเท่าเดิม โดยเทน้ำมันพีชให้หมาดภายในระยะเวลา 5 นาที ส่วนผสมที่เตรียมได้ในขั้นตอนนี้เรียกว่าอิมัลชันหยาบ หลังจากนั้นเปลี่ยนอุปกรณ์ปั่นมาใช้หัวตีผสมความเร็วรอบสูงโดยใช้ที่ความเร็วรอบสูงสุด (เบอร์ 4) และใช้เวลาในการโโซโนวีโน๊ต 10 นาที แล้วถ่ายตัวอย่างใส่ภาชนะบรรจุที่ปลอดเชื้อที่มีฝาเกลียวปิด เก็บตัวอย่างในตู้ที่ถูกควบคุมอุณหภูมิที่ 25 องศาเซลเซียส เพื่อรอการวิเคราะห์คุณภาพในวันต่อไป ตัวอย่างมายองเนสที่ใช้แป้ง HDP และ SSO เป็นสารทดแทนไขมันมีวิธีการเตรียมเช่นเดียวกับมายองเนสที่ใช้แป้ง MD ยกเว้นให้ใส่แป้งคัดแปลงในน้ำมันพีชโดยตรงโดยไม่ได้เตรียมให้เป็นเจลเหมือนกับ MD ผสมแป้ง HDP และ SSO ใน

น้ำมันถั่วเหลืองที่มีในแต่ละสูตรเพื่อป้องกันการจับตัวกันก้อนของแป้ง เนื่องจากแป้งทั้งสามชนิดสามารถสุกในน้ำเย็นได้ และเพื่อป้องกันปัญหาการเกิดฟองในระหว่างการตีผสม เพราะแป้ง SSO สามารถสร้างพันธะไฮโดรฟอบิกกับฟองอากาศได้หากเทพบสมโดยตรงกับน้ำและตีผสม ซึ่งทำให้มีฟองอากาศในผลิตภัณฑ์ และส่งผลต่อคุณสมบัติทางเคมีกายภาพของมายองเนสได้ ตัวอย่างน้อยองเนสที่เตรียมเสร็จแล้ว จะนำไปตรวจดูคุณภาพทางเคมีกายภาพ และตรวจสอบการเจริญเติบโตของเชื้อจุลินทรีย์ตามหัวข้อต่อไป

3.3.5 การตรวจสอบคุณภาพของมายองเนส

3.3.5.1 วัดความเสถียรต่อการแยกชั้น ในมันของมายองเนส

3.3.5.1.1 สังเกตการแยกชั้น ในมันด้วยสายตา

โดยตั้งตัวอย่างมายองเนสที่บรรจุในภาชนะขนาด 25 มิลลิลิตรแล้วปิดฝา และพันฝากำหนดด้วยพาราฟิล์มอีกรีบเพื่อป้องกันการระเหยของน้ำ เก็บตัวอย่างในตู้ที่ควบคุมอุณหภูมิ 25 องศาเซลเซียส สังเกตการแยกชั้นของไขมันที่ระยะเวลาต่าง ๆ

3.3.5.1.2 ใช้เทคนิคการปั่นเหวี่ยงตามวิธีการของ Mun และคณะ (2009)

นำตัวอย่างมายองเนส 20 กรัม ใส่ลงในหลอดปั่นเหวี่ยงขนาด 50 มิลลิลิตร นำตัวอย่างไปปั่นที่อุณหภูมิ 50 องศาเซลเซียส เป็นระยะเวลา 48 ชั่วโมง แล้วทิ้งตัวอย่างให้เย็นที่อุณหภูมิห้องเป็นเวลา 2 ชั่วโมง แล้วนำตัวอย่างไปปั่นเหวี่ยงที่ความเร็ว 3000 รอบต่อนาที เป็นเวลา 10 นาที จดบันทึกน้ำหนักของไขมันที่แยกออกจากตัวอย่าง ทดสอบตัวอย่างละ 2 ชั้น คำนวณความเสถียรของมายองเนสจากน้ำมันที่แยกออกจากตัวอย่างดังสมการต่อไปนี้

$$\text{ร้อยละน้ำมันที่แยกออก} = (\text{นน. ตัวอย่าง} - \text{นน.น้ำมันที่แยกออก}) \times 100 / \text{น้ำหนักตัวอย่าง}$$

3.3.5.2 วัดค่าความเป็นกรด-ด่าง

นำตัวอย่างมายองเนสมาวัดค่าความเป็นกรด-ด่างตามวิธีการในข้อ 3.3.1.1 แต่ละตัวอย่างวัด 3 ชั้น โดยตรวจสอบคุณภาพในทุก ๆ 2 สัปดาห์จนครบ 3 เดือน

3.3.5.3 วัดสีในระบบ L* a* b *

ตัวอย่างมายองเนสจะนำไปวัดสีตามหัวข้อ 3.3.1.2 นำผลที่วัดได้ตามระยะเวลาการเก็บมาคำนวณหาค่า ΔE จากสมการ $\Delta E = \sqrt{(\Delta L^*)^2 + (\Delta a^*)^2 + (\Delta b^*)^2}$ โดยใช้ค่า L*, a*, b* ที่ระยะเวลาเริ่มต้นเป็นตัวอย่างอ้างอิง (Lennersten and Lingnert, 2000) แต่ละตัวอย่างวัด 3 ชั้นโดยตรวจสอบคุณภาพในทุก ๆ 2 สัปดาห์จนครบ 3 เดือน

3.3.5.4 วัดขนาดอนุภาคเม็ดไขมัน

วัดขนาดอนุภาคเม็ด ไขมันตามหัวข้อ 3.3.1.3 ละลายตัวอย่างละ 2 ชั้นแต่ละชั้นวัด 2 ครั้ง โดยตรวจสอบคุณภาพในทุก ๆ 2 สัปดาห์จนครบ 3 เดือน

3.3.5.5 วัดคุณสมบัติด้านวิทยากระแส

วัดคุณสมบัติด้านวิทยากระแสตามหัวข้อ 3.3.1.4 แต่ละตัวอย่างจะวิเคราะห์อย่างน้อยตัวอย่างละ 2 ครั้งโดยจะวัดคุณสมบัติด้านวีสโตร์โคอีล่าสติกในทุก ๆ 2 สัปดาห์จนครบ 3 เดือน

3.3.5.6 วัดค่าความแน่นเนื้อและการยึดเกาะ

วัดคุณสมบัติด้านเนื้อสัมผัสของมายองเนนสถานหัวข้อที่ 3.3.1.5 โดยวัดตัวอย่างละ 2 ชั้นโดย ตรวจสอบทุก ๆ 2 สัปดาห์จนครบ 3 เดือน

3.3.5.7 การศึกษากักษณ์ โครงสร้างระดับจุลภาคของมายองเนสด้วยกล้องจุลทรรศน์

ใช้ปเลย์ไม้มั่นพินจิมตัวอย่างมายองเนสว่างลงบนแผ่นสไลด์ หยดสารละลายไอโอดีนความเข้มข้นร้อยละ 2 ลงบนแผ่นสไลด์เพื่อย้อมสีของแบ่งที่มีในเฟสต่อเนื่อง ปิดตัวอย่างด้วยกระจากปิดแผ่นสไลด์ นำตัวอย่างไปส่องด้วยกล้องที่อุณหภูมิห้อง โดยใช้กำลังขยาย 1000 เท่าพร้อมบันทึกภาพด้วยกล้องดิจิตอล (Model MTV-62VIP, MEIJI, Japan)

3.3.5.8 วิเคราะห์การเกิดปฏิกิริยาออกซิเดชันของน้ำมันด้วยวิธี Thiobarbituric acid (TBA)

การวิเคราะห์ทำการเกิดปฏิกิริยาออกซิเดชันของน้ำมันด้วยวิธี TBA โดยดัดแปลงวิธีสกัดน้ำมันออกจากมายองเนนสถานวิธีการของ Lagunes-Galuez และคณะ (2002) โดยการนำตัวอย่างมายองเนส 20 กรัมใส่ในหลอดปั่นเหวี่ยงขนาด 50 มิลลิลิตร ปิดฝาแล้วนำไปแช่เยือกแข็งที่อุณหภูมิ -35 องศาเซลเซียส เป็นเวลาอย่างน้อย 24 ชั่วโมงหลังจากนั้นนำตัวอย่างมาตั้งไว้ที่อุณหภูมิ 4 องศาเซลเซียส เป็นเวลา 2 ชั่วโมง เติมน้ำปราศจากไออกอน 2 มิลลิลิตร ผสมให้เข้ากันแล้วนำไปปั่นเหวี่ยงที่ 10,000 xg เป็นเวลา 10 นาทีที่อุณหภูมิ 4 องศาเซลเซียส ด้วยเครื่องปั่นเหวี่ยง เก็บน้ำมันที่แยกชั้นออกมาย่างหลอดปั่นเหวี่ยงขนาด 1.5 มิลลิลิตร พันด้วยฟามอลด์ด้วยพาราฟิล์ม นำไปเก็บไว้ที่อุณหภูมิ -35 องศาเซลเซียส จนกว่าจะนำตัวอย่างไปวิเคราะห์การเกิดปฏิกิริยาออกซิเดชันของน้ำมันตามวิธีการของ Godwin และคณะ (2006) ดังแสดงไว้ในภาคผนวก ก โดยตรวจสอบค่า TBA ในทุก ๆ 2 สัปดาห์จนครบ 3 เดือน

ปริมาณส่วนผสม(กรัม) ต่อการเตรียมตัวอย่าง 1.5 กิโลกรัม

สัญลักษณ์	ไข่แดง	น้ำมัน sezay	เกลือ	น้ำตาล	น้ำในส่วนผสม	น้ำมันพืช	เจลเปปิง		
							ไข่	น้ำสำหรับเคลือบ	น้ำสำหรับเคลือบ
FF	120	120	15	15	30	1200	ND	ND	ND
25H08	120	120	15	15	30	900	24	276	
50H08	120	120	15	15	30	600	48	552	
75H08	120	120	15	15	30	300	72	828	
25H10	120	120	15	15	30	900	30	270	
50H10	120	120	15	15	30	600	60	540	
75H10	120	120	15	15	30	300	90	810	
25S10	120	120	15	15	30	900	30	270	
50S10	120	120	15	15	30	600	60	540	
75S10	120	120	15	15	30	300	90	810	
25S15	120	120	15	15	30	900	45	255	
50S15	120	120	15	15	30	600	90	510	
75S15	120	120	15	15	30	300	135	765	
25M2	120	120	15	15	30	900	84	216	
50M2	120	120	15	15	30	600	168	432	
75M2	120	120	15	15	30	300	252	648	
25M3	120	120	15	15	30	900	90	210	
50M3	120	120	15	15	30	600	180	420	
75M3	120	120	15	15	30	300	270	630	

หมายเหตุ : สัญลักษณ์ที่ใช้

ND ไม่มีในส่วนผสม

FF (Full fat) เป็นสูตรไขมันเต็ม

iiXjj ii ตัวเลขที่แสดงระดับร้อยละการแทนที่ไขมันจากสูตรที่มีปริมาณไขมันเต็ม (ไขมันร้อยละ 80 เทียบเท่ากับมีปริมาณไขมันร้อยละ 100), X คือตัวอักษรที่แสดงชื่อแรกของแป้งคัดแปร, H คือ HDP, S คือ SSO และ M คือ MD และตัวเลขสองตัวสุดท้ายในสูตรคือร้อยละของแป้งที่ใช้เพื่อทดแทนไขมัน

3.3.5.9 วิเคราะห์ปริมาณจุลินทรีย์ประกอบด้วย

3.3.5.9.1 ปริมาณแบคทีเรียด้วยวิธี Total plate count

ชั่งตัวอย่างมากองเนส 25 กรัม ละลายในสารละลายฟอสเฟตบ้าฟเฟอร์ ความเป็นกรด-ค้าง 7 ปริมาตร 225 มิลลิลิตร เขย่าตัวอย่างให้เข้ากัน แล้วจ่อจางตัวอย่าง 10 เท่าด้วยฟอสเฟตบ้าฟเฟอร์ ความเป็นกรด-ค้าง 7 จากนั้นดูดตัวอย่าง 0.1 มิลลิลิตรลงกล่องแพ่นชุดทดสอบเชื้อจุลินทรีย์ 3MTM PetrifilmTM Aerobic count plates และกดแพ่นทดสอบเชื้อจุลินทรีย์ให้ตัวอย่างกระจายตัว หลังจากนั้นนำตัวอย่างไปบ่มที่อุณหภูมิ 37 องศาเซลเซียส เป็นเวลา 48 ชั่วโมง อ่านผลโดยสังเกตดูสีແคงบนแพ่นพิล์ม โดยตรวจดูตัวอย่างมากองเนสในสัปดาห์ที่ 0, 2, 4, 8 และ 12

3.3.5.9.2 ปริมาณยีสต์และรา

ชั่งตัวอย่างมากองเนสละลายในสารละลายฟอสเฟตบ้าฟเฟอร์ที่มีค่าความเป็นกรด-ค้างเป็น 7 เขย่าตัวอย่างให้เข้ากัน ดูดตัวอย่างลงบนจานเพาะเชื้อที่ผ่านการฆ่าเชื้อแล้ว เทอาหารเลี้ยงเชื้อ PDA ที่ผสมกรดทาทาริก (Tartaric acid) ร้อยละ 1.8 โดยปริมาตร (จากสารละลายกรดทาทาริกเข้มข้นร้อยละ 10) รอให้อาหารแข็งตัวแล้วนำจานเพาะเชื้อไปบ่มที่ตู้ 25 องศาเซลเซียส สังเกตการเจริญเติบโตของยีสต์และราเป็นระยะเวลา 3 ถึง 5 วัน

3.3.6 การทดสอบทางประสาทสัมผัส

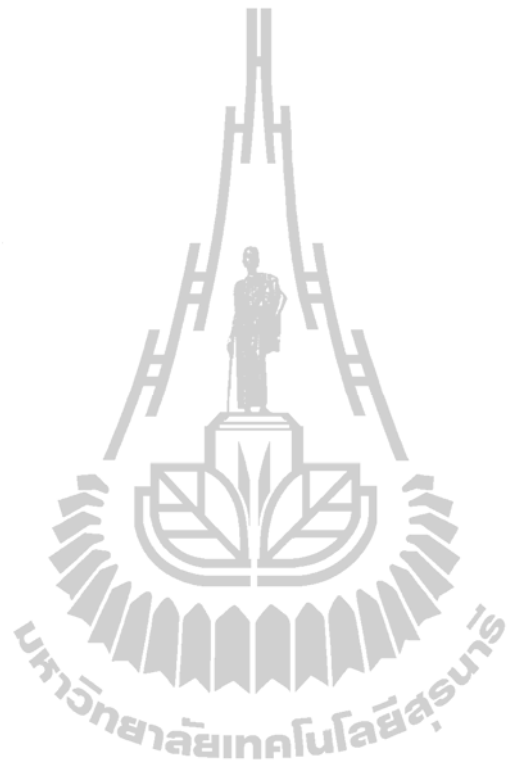
ศึกษาผลของการทดสอบไขมันในมากองเนสด้วยสารทดสอบไขมันจากเปลือกแพร ต่อการยอมรับโดยรวมของผู้บริโภค ที่มีต่อผลิตภัณฑ์โดยใช้เทคนิคการจัดลำดับความแตกต่าง นำตัวอย่างมากองเนสที่ผลิตโดยใช้เปลือกไขครอคซ์-โพรพิล ไคลสตราชฟอสเฟต ที่ระดับความเข้มข้นร้อยละ 8 ที่มีระดับการแทนที่ไขมันร้อยละ 25, 50 และ 75 เปรียบเทียบการจัดลำดับความต่างกันของกองเนสสูตรไขมันเดือน โดยมีผู้ทดสอบชิม 50 คน ประกอบด้วยนักศึกษาปริญญาตรีชั้นปีที่ 4 นักศึกษาปริญญาโท-เอก ผู้ช่วยวิจัย และเจ้าหน้าที่ในสาขาเทคโนโลยีอาหาร มหาวิทยาลัยเทคโนโลยีสุรนารี นำข้อมูลที่ได้จากการทดสอบชิมมาวิเคราะห์สถิติ โดยใช้การเปรียบเทียบผลต่างของค่า Rank sum กับ LSD_{rank} ตามวิธีการคำนวณของ Fisher และ Yates (1942) ที่ $\alpha = 0.05$

3.4 การวิเคราะห์ทางสถิติ

วิเคราะห์ผลทางสถิติโดยใช้ One-way analysis of variance (ANOVA) และหาความแตกต่างของค่าเฉลี่ย (Mean difference) ด้วยวิธี Duncan's New Multiple Range Test (DMRT) โดยใช้โปรแกรม SPSS version 12.0 (SPSS Inc., Illinois, USA)

3.5 สถานที่ทำการทดลองและเก็บข้อมูล

ห้องปฏิบัติการแปรรูปอาหาร ห้องปฏิบัติการวิศวกรรมอาหาร ห้องพัฒนาผลิตภัณฑ์อาหาร ณ อาคารเครื่องมือ 3 และฝ่ายวิเคราะห์ด้วยเครื่องมืออาคารเครื่องมือ 1 ศูนย์เครื่องมือวิทยาศาสตร์ และเทคโนโลยี มหาวิทยาลัยเทคโนโลยีสุรนารี



บทที่ 4

ผลการทดลองและวิจารณ์

4.1 คุณสมบัติทางเคมีกายภาพของมายองเนสสูตรการค้า

จากการสุ่มตัวอย่างมายองเนสที่มีจำหน่ายในห้องตลาดที่มีปริมาณน้ำมัน และส่วนผสมแตกต่างกันมาตรวจสอบคุณลักษณะทางเคมี โดยมีส่วนผสมที่ระบุตามคลาดแสลงในตารางที่ 4.1

ตารางที่ 4.1 ส่วนประกอบของมายองเนสสูตรการค้าที่ระบุในคลาด

ตัวอย่าง	ส่วนผสม (ร้อยละ)					
	น้ำมันพืช	ไข่แดง	น้ำส้มสายชู	เกลือ	น้ำตาล	แมปปิ้ง
A	76	12	5	1	6	ND
B	74	12	5	ND	6	ND
C	64	6.8	3.5	2.4	3.7	ND
D	60	10	9	1	20	ND
E	40	ND	ND	ND	ND	ND
F	25	5	8	3	8	2

หมายเหตุ : ND คือส่วนผสมที่ไม่ระบุในคลาด

ผลการวิเคราะห์คุณสมบัติทางกายภาพที่แสดงในตารางที่ 4.2 พบว่า ตัวอย่างมายองเนสมีค่า D_{43} อยู่ในช่วง 3.63 ถึง 24.98 ไมโครเมตร ค่าความสว่างอยู่ในช่วง 72.16 ถึง 94.16 ค่า a^* -3.57 ถึง -7.77 ซึ่งแสดงว่าสีของตัวอย่างมีแนวโน้มไปทางสีเขียวโดยที่ค่า b^* มีค่าอยู่ในช่วง 17.11 ถึง 23.94 แสดงว่าสีของตัวอย่างมีแนวโน้มไปทางสีเหลือง ค่าความเป็นกรด-ค่างของตัวอย่างมีค่าอยู่ในช่วง 3.08 ถึง 3.90 ค่าความแน่นหนื้อ และค่าความยืดหยุ่น มีค่าเท่ากับ 45.37 ถึง 80.92 กรัม และ 38.11 ถึง 73.04 กรัม.วินาที ตามลำดับ ค่าดัชนีความคงตัว มีค่าอยู่ในช่วง 35.56 ถึง 107.53 พาสคาล ต่อวินาที Flow behavior index (n) มีค่าอยู่ในช่วง 0.2168 ถึง 0.3538 โดยจะมีค่า Thixotropic อยู่ในช่วง 6,439 ถึง 27,356 พาสคาลต่อวินาที และแสดงว่าตัวอย่างมีคุณสมบัติด้านวิทยากระแสแบบ Thixotropic shear thinning behavior เนื่องจากมีค่า n น้อยกว่า 1 และแสดงพฤติกรรมด้านการไหลที่ต้องขึ้นกับเวลา ค่ามอดูลัสสัมมิค่าอยู่ในช่วง 263.35 ถึง 461.07 พาสคาล โดยค่ามอดูลัสสัมมิ

มีค่าสูงกว่าค่ามอคูลัสสัญญาณเดียดต่อค่าความถี่ที่ใช้ทดสอบ (ไม่ได้แสดงข้อมูล) และคงให้เห็นว่า ตัวอย่างชายของเนสมิพุติกรรมคล้ายของแข็ง (Solid-like behavior) จากผลการทดสอบพบว่า ตัวอย่าง B ซึ่งเป็นตัวอย่างที่มีปริมาณน้ำมันร้อยละ 74 และมีขนาดอนุภาคเม็ดในมันเล็กที่สุดจะมีค่าความหนืด ค่าดัชนีความคงตัว ค่าความแน่นนิ่อ ค่าการยึดเกาะ และค่ามอคูลัสสะสมที่สุด แม้ว่าตัวอย่างดังกล่าวจะมีปริมาณไขมันน้อยกว่าตัวอย่าง A ก็ตาม นอกจากนี้ยังพบว่าตัวอย่าง B มีค่าความเป็นกรด-ค้าง เท่ากับ 3.9 ซึ่งมีค่าใกล้เคียงกับค่า Isoelectric point ของโปรตีนในไข่แดง ซึ่งจะทำให้ประจุรวมของโปรตีนมีค่าต่ำสุดทำให้คุณสมบัติค้านวีส์โคลีดาสติกมีค่าสูงสุด (Kiosseoglou and Sherman, 1983) จากการสูงตัวอย่างชายของเนสในห้องทดลองที่ผลิตจากบริษัท ต่างกันที่มีปริมาณไขมันแตกต่างกันมาวิเคราะห์คุณสมบัติทางเคมีภysis และหาความสัมพันธ์ ของปริมาณน้ำมันกับคุณลักษณะทางกายภาพโดย Pearson's correlation coefficient (r) พบว่า ปริมาณไขมันมีความสัมพันธ์กับค่ามอคูลัสสะสม และค่า D_{43} อย่างมีนัยสำคัญทางสถิติ ($p \leq 0.05$) โดยจะมีค่า r ของความสัมพันธ์ระหว่างปริมาณน้ำมันกับ ค่ามอคูลัสสะสมและค่า D_{43} คือ 0.699 และ -0.683 ตามลำดับ โดยจะเห็นได้ว่า r มีค่าค่อนข้างต่ำ ซึ่งอาจมีสาเหตุมาจากความแตกต่างของ เครื่องมือที่ใช้ในการผลิต ปริมาณและชนิดของส่วนผสมรวมถึงชนิดของสารทดแทน ไขมันและสาร เพิ่มความเสถียรที่แตกต่างกัน อาจมีผลทำให้คุณสมบัติทางเคมีภysisของชายของเนสแตกต่างกัน เช่นกรณีตัวอย่าง F แม้ไม่ได้ระบุว่ามีส่วนผสมของแป้งในฉลากแต่เมื่อนำไปส่องกล้องจุลทรรศน์ พบว่าตัวอย่างดังกล่าวมีของแป้งที่ติดสีน้ำเงิน จึงทำให้ค่าเฉลี่ยขนาดอนุภาคเม็ดในมันมีค่าสูงโดยอาจ ไม่ได้เป็นผลมาจากการปริมาณของไขมันที่มีในส่วนผสมของชายของเนส ส่งผลให้ความสัมพันธ์ของ ปริมาณน้ำมันต่อคุณสมบัติทางกายภysisของชายของเนสสูตรการค้าที่ไม่ทราบส่วนประกอบที่แน่นอน มีค่าผันผวนและมีค่าไม่สูงมากนัก

4.2 คุณสมบัติทางกายภysisของแป้งดัดแปร

การดำเนินงานวิจัยในครั้งนี้ใช้แป้งดัดแปร 3 ชนิดที่แตกต่างกัน ซึ่งมีคุณสมบัติทางกายภysis ดังแสดงในตารางที่ 4.3 โดยเตรียมตัวอย่างแป้งดัดแปรสำหรับวิเคราะห์ความหนืดด้วยเครื่อง Brookfield ที่มีความเข้มข้นของแป้งร้อยละ 5 จากการวิเคราะห์ความหนืดของแป้งทั้ง 3 ชนิดพบว่า มีความแตกต่างกันโดย แป้งไฮดรอกซิโพรพิลไนโตรฟาร์ฟอสเฟต (HDP) มีความหนืดมากกว่าแป้ง ไฮเดรย์มอคูลินิลชักซิเนต (SSO) และมอลโตเดกซ์ตرين (MD) ตามลำดับ ($p \leq 0.05$) ทั้งนี้แป้ง HDP มีค่าความหนืดสูงกว่าแป้งชนิดอื่นอาจเนื่องมาจากการดูดของสายโนําเลกุลของโพลีแซคคาไรด์ที่อยู่

ตารางที่ 4.2 คุณสมบัติทางเคมีภysisของน้ำยาองเนสสูตรการค้า

คุณลักษณะทางเคมีภysis	ตัวอย่าง					
	A	B	C	D	E	F
ขนาดอนุภาคเม็ดไขมัน (μm)	13.65 \pm 0.628 ^d	3.63 \pm 0.213 ^a	11.85 \pm 0.793 ^c	12.26 \pm 1.231 ^c	9.20 \pm 0.517 ^b	24.98 \pm 1.343 ^e
L*	86.34 \pm 0.76 ^c	89.59 \pm 0.34 ^e	94.16 \pm 0.30 ^f	79.07 \pm 0.08 ^b	72.16 \pm 0.13 ^a	87.26 \pm 0.23 ^d
a*	-4.92 \pm 0.11 ^c	-5.41 \pm 0.03 ^b	-4.67 \pm 0.03 ^d	-5.43 \pm 0.06 ^b	-7.77 \pm 0.03 ^a	-3.57 \pm 0.04 ^f
b*	17.11 \pm 0.29 ^b	21.81 \pm 0.15 ^e	17.74 \pm 0.08 ^c	15.48 \pm 0.31 ^a	23.94 \pm 0.15 ^f	20.79 \pm 0.05 ^d
ความเป็นกรด-ค้าง	3.35 \pm 0.01 ^b	3.9 \pm 0.01 ^f	3.44 \pm 0.03 ^c	3.08 \pm 0.05 ^a	3.59 \pm 0.05 ^d	3.67 \pm 0.03 ^e
ความแน่นเนื้อ (g)	45.37 \pm 2.19 ^a	80.92 \pm 3.58 ^c	67.18 \pm 1.73 ^b	48.31 \pm 3.64 ^a	48.75 \pm 0.57 ^a	69.20 \pm 0.52 ^b
แรงขึ้นเเรก (g.s)	-42.60 \pm 0.12 ^c	-73.04 \pm 4.47 ^a	-52.62 \pm 1.52 ^b	-41.52 \pm 4.58 ^c	-38.11 \pm 0.62 ^c	-61.89 \pm 1.08 ^b
ค่าดัชนีความคงตัว (Pa.s)	62.58 \pm 4.42 ^b	107.53 \pm 20.05 ^d	83.12 \pm 4.01 ^c	79.49 \pm 1.69 ^b	35.56 \pm 0.33 ^a	82.54 \pm 1.15 ^c
Flow behavior index (n)	0.3082 \pm 0.0112 ^c	0.2490 \pm 0.028 ^b	0.2168 \pm 0.007 ^a	0.2535 \pm 0.0153 ^b	0.3538 \pm 0.0006 ^d	0.2903 \pm 0.003 ^c
Thixotropic (Pa/s)	11,096 \pm 851 ^a	27,356 \pm 569 ^c	10,211 \pm 405 ^a	18,015 \pm 191 ^b	6,439 \pm 161 ^a	9,814 \pm 280 ^a
ความหนืด (Pa.s)	4.22 \pm 0.15 ^b	5.35 \pm 0.46 ^c	3.92 \pm 0.09 ^b	4.34 \pm 0.19 ^b	2.90 \pm 0.04 ^a	5.19 \pm 0.02 ^c
มอคูลัส静态 (Pa)	521.87 \pm 6.85 ^d	641.07 \pm 22.99 ^e	482.63 \pm 8.43 ^c	541.23 \pm 21.59 ^d	263.35 \pm 23.83 ^a	428.33 \pm 9.56 ^b

หมายเหตุ : ค่าเฉลี่ย \pm ค่าเบี่ยงเบนมาตรฐาน ที่มีตัวอักษรภาษาอังกฤษที่แตกต่างกันในแนวนอนหมายถึงมีความแตกต่างกันอย่างมีนัยสำคัญทางสถิติ ($p\leq 0.05$)

ในเม็ดแป้งไม่ได้ถูกทำลายบนเดียวกันหมู่ไอกรอซีโพรพิลที่แทนที่อยู่ในสายอะไมโลส และอะไมโลเพคติน มีความสามารถในการอุ้มน้ำได้สูง (Van-Hung and Morita, 2005) จึงทำให้มีโมเลกุลของน้ำแทรกซึมเข้าไปในเม็ดแป้งได้มากขึ้น ส่งผลให้น้ำในเฟสต่อเนื่องมีปริมาณน้อยลงในขณะที่แป้ง SSO แม้จะมีหมู่ออกเทนิลชัคซิเนตอยู่ในสายโพลีแซคคาไรด์ แต่เนื่องจากหมู่ดังกล่าวไม่ชอบน้ำ น้ำส่วนใหญ่จึงกระจายอยู่ในเฟสต่อเนื่อง ได้มากกว่าทำให้ตัวอย่างสามารถไหลได้ง่ายกว่าและมีแรง ด้านการไหลน้อยกว่า เนื่องจากแป้ง HDP เป็นแป้งที่ผ่านกระบวนการคัดแปรผสมกันระหว่างการเชื่อมข้ามกับมีหมู่แทนที่ไอกรอซีโพรพิลทำให้แป้งดังกล่าวมีความแข็งแรงและบางส่วนยังคงสภาพความเป็นเม็ดแป้งและเมื่อนำแป้ง HDP ไปวัดค่าการกระจายตัวของเม็ดแป้งจะพบการกระจายตัวของเม็ดแป้งมีขนาด 3 ถึง 80 ไมโครเมตร

ส่วน MD เป็นแป้งที่มีการคัดแปรโดยการย่อยด้วยเอนไซม์และ/หรือกรดที่ทำให้โมเลกุลของสายโพลีเมอร์มีขนาดเล็กลงส่งผลให้ Radius of gyration น้อยกว่าแป้งที่ไม่มีการคัดแปรด้วยวิธีการย่อยด้วยเอนไซม์ จึงทำให้มีแรงด้านทานการไหลได้น้อยกว่า ดังนั้นแป้ง MD จึงมีค่าความหนืดต่ำกว่าแป้งชนิดอื่น ๆ

เมื่อพิจารณาสีของตัวอย่างแป้งพบว่าเจลที่เตรียมจาก MD มีลักษณะขาวขุ่นเนื่องจากสายโพลีเมอร์ของอะไมโลสและอะไมโลเพคตินของ MD มีขนาดสายโพลีเมอร์สั้นจึงทำให้การจัดเรียงตัวของอะไมโลสและอะไมโลเพคตินเป็นระเบียบและหนาแน่น ส่งผลให้เกิดการสะท้อนกลับของคลื่นแสงที่สูงกว่าแป้งชนิดอื่น ๆ ทำให้ค่า L^* สูงกว่าแป้ง HDP และ SSO ซึ่งแป้งดังกล่าว มีการคัดแปรโดยมีการแทนที่หมู่ไอกรอซีในสายโพลีเมอร์ของแป้งด้วยหมู่ไอกรอซีโพรพิลและหมู่ออกเทนิลชัคซิเนตตามลำดับ ทำให้ป้องกันการเกิดการจัดเรียงตัวของอะไมโลสกับอะไมโลเพคติน ส่งผลให้อะไมโลสกับอะไมโลเพคตินจัดเรียงตัวกันอย่างหลวม ๆ เจลที่เกิดขึ้นจึงมีความใส แต่ทั้งนี้เจลแป้ง HDP จะมีความขุ่นกว่า SSO เล็กน้อยซึ่งเป็นผลมาจากการมีพันธะเชื่อมข้ามระหว่างสายของอะไมโลสและอะไมโลเพคตินของแป้ง HDP ทำให้โครงสร้างของเม็ดแป้งมีความแข็งแรงและยังคงความเป็นเม็ดแป้งไว้

ส่วนค่าความเป็นกรด-ด่าง และความชื้นของแป้งเป็นผลมาจากการผลิต การปรับกรด และสภาวะการทำแห้งซึ่งไม่ได้มีความสัมพันธ์โดยตรงกับชนิดของแป้งดังดี

จากผลการวิเคราะห์ในตารางที่ 4.3 พบว่าแป้งดัดแปรแต่ละชนิดที่นำมาใช้ในการทดลองมีคุณสมบัติทางกายภาพที่แตกต่างกันอย่างมีนัยสำคัญ ($p \leq 0.05$) ซึ่งเป็นผลมาจากการคัดแปรทางเคมีและกายภาพที่แตกต่างกัน ดังนั้นการนำแป้งทั้ง 3 ชนิดมาเป็นสารทดแทนไขมันจึงจำเป็นต้องทราบความเข้มข้นของแป้งแต่ละชนิดที่ให้ความหนืดที่เหมาะสมสำหรับนำไปใช้เป็นสารทดแทนไขมันโดยพยาบาลให้มากยองเนสสูตรที่ใช้แป้งดัดแปรเป็นสารทดแทนไขมันยังสามารถໄว้ซึ่งลักษณะทางกายภาพและเนื้อสัมผัสของมายองเนสสูตรดังเดิมໄว้ ดังนั้นความหนืดของแป้งดัดแปรแต่ละ

ชนิดถูกเตรียมที่ระดับความเข้มข้นของแป้งแตกต่างกันเพื่อเปรียบเทียบกับมายองเนสสูตรไขมันเดิม (FF) โดยมีจุดประสงค์เพื่อหาระดับความเข้มข้นของแป้งแต่ละชนิดที่มีความหนืดหมายรวมและสามารถนำมายใช้แทนที่ไขมันในมายองเนสได้ โดยมีสมมุติฐานว่าเมื่อแทนที่ไขมันในมายองเนสด้วยแป้งดัดแปรที่ให้ความหนืดเท่ากัน ในปริมาณการแทนที่ไขมันเท่ากับปริมาณที่นำไขมันออก จะมีผลทำให้คงไว้ซึ่งคุณลักษณะทางกายภาพของมายองเนสสูตรดั้งเดิม นอกจากนั้นการหาระดับความเข้มข้นของแป้งดัดแปรแต่ละชนิดที่ให้ความหนืดเท่ากับมายองเนสสูตรดั้งเดิมจะช่วยให้ง่ายต่อการประมวลผลและสามารถเปรียบเทียบคุณสมบัติเชิงหน้าที่ของแป้งดัดแปรแต่ละชนิดได้

ตารางที่ 4.3 คุณสมบัติทางกายภาพของแป้งดัดแปรทั้ง 3 ชนิด

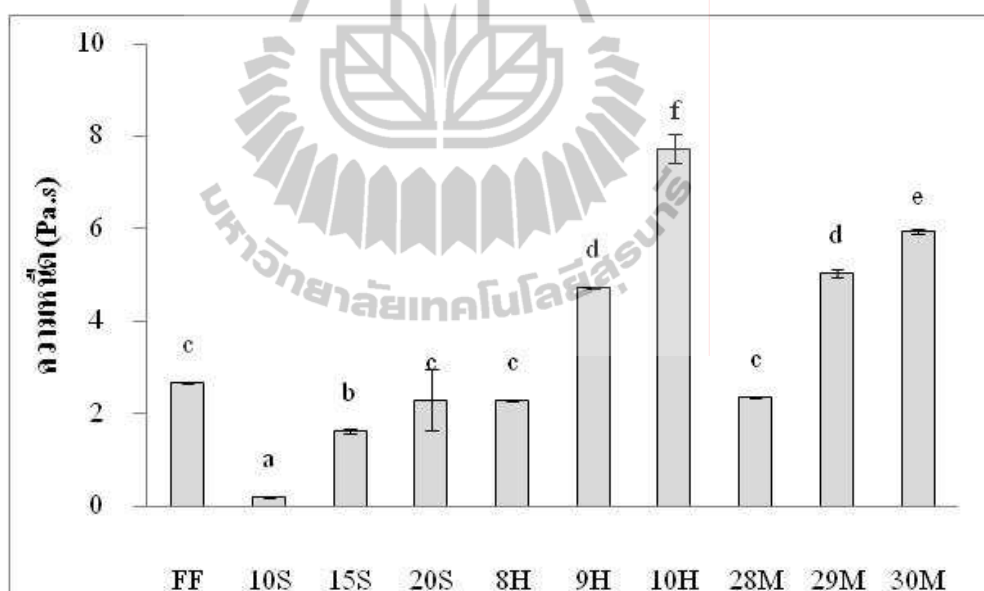
ตัวอย่าง	ความเป็นกรด-ด่าง ¹	Moisture content (%)	Viscosity ¹ (Cps)	L ^{2*}	a ^{2*}	b ^{2*}
HPD	7.62±0.12 ^c	5.50±0.12 ^b	75.83±1.53 ^c	19.48±0.097 ^b	2.22±0.126 ^b	-1.29±0.227 ^a
SSO	5.05±0.01 ^a	5.59±0.18 ^b	35.33±0.58 ^b	18.19±0.770 ^a	2.60±0.261 ^c	-1.68±0.680 ^a
MD	5.69±0.19 ^b	4.91±0.02 ^a	1.67±0.29 ^a	33.35±0.307 ^c	1.19±0.239 ^a	-9.34±0.016 ^b

หมายเหตุ : ¹ เตรียมที่ความเข้มข้นของแป้งดัดแปรร้อยละ 5 และ ² เตรียมที่ความเข้มข้นร้อยละ 10 : ค่าเฉลี่ย ± ค่าเบี่ยงเบนมาตรฐาน ที่มีตัวอักษรภาษาอังกฤษที่แตกต่างกันในแนวตั้งหมายถึงมีความแตกต่างกันอย่างมีนัยสำคัญทางสถิติ ($p \leq 0.05$)

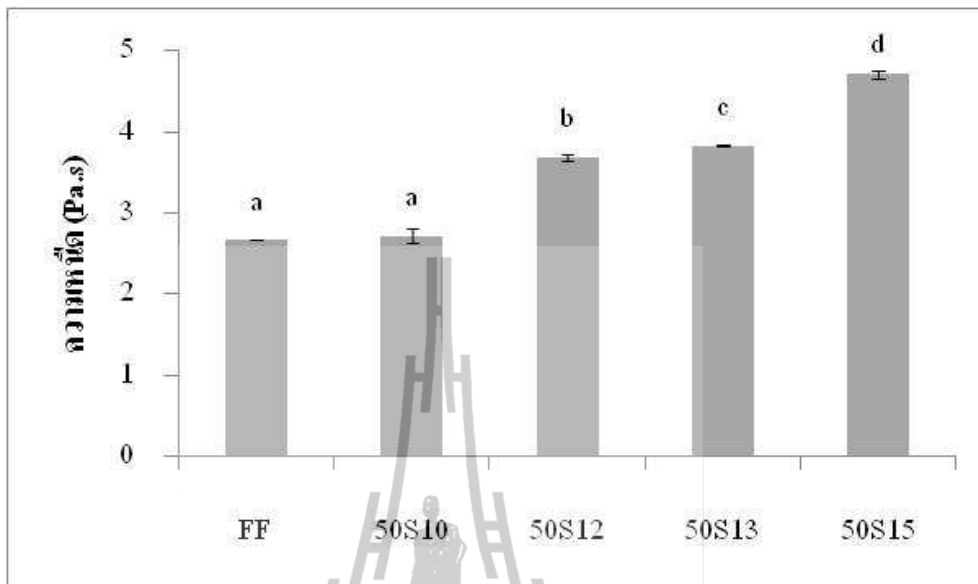
จากการทดลองแปรความเข้มข้นของแป้ง MD ที่ระดับความเข้มข้นร้อยละ 28 ถึง 30 แป้ง HDP ให้มีความเข้มข้นร้อยละ 8 ถึง 10 และแป้ง SSO ให้มีความเข้มข้นร้อยละ 10 ถึง 20 เพื่อหาระดับความเข้มข้นของแป้งแต่ละชนิดที่ให้ความหนืดเท่ากับความหนืดของ FF พบว่าความเข้มข้นของแป้งดัดแปรแต่ละชนิดที่ให้ความหนืดไม่แตกต่างจาก FF (2.662 พาสคาล.วินาที) อย่างมีนัยสำคัญ ($p > 0.05$) มีค่าความเข้มข้นของ MD, SSO และ HDP เท่ากับร้อยละ 28, 20 และ 8 ตามลำดับ โดยมีความหนืด 2.354, 2.295 และ 2.2815 พาสคาล.วินาที ตามลำดับ แต่พบว่าเมื่อ拿来เปรียบ SS ที่มีความเข้มข้นร้อยละ 20 ไปใช้เป็นสารทดแทนไขมันในมายองเนสที่ระดับการแทนที่ 25 และ 50 จะทำให้ตัวอย่างมีความหนืดมากจนไม่สามารถโอลิโวิจีไนซ์ได้ ผลดังกล่าวอาจเป็นเพราะแป้ง SSO เป็นแป้งดัดแปรที่มีคุณสมบัติไฮโดรฟอฟิลิกซ์ไม่เพียงใช้เป็นสารทดแทนไขมัน แต่ในระหว่างการโอลิโวิจีไนซ์

ยังทำหน้าที่เป็นอิมัลซิไฟเลอร์ (Tesch et al., 2002) ช่วยเหลือติด หรือโปรตีนในไนโตรเจนให้เด้งอีกด้วย ทำให้ตัวอย่างที่ผลิตโดยใช้แป้ง SSO มีขนาดอนุภาคเม็ดไบมันที่เล็กกว่าตัวอย่างที่ใช้แป้งดัดแปรชนิดอื่น ส่งผลให้ตัวอย่างมายองเนสสูตรไบมันต่าดังกล่าวมีความหนืดสูงขึ้นอย่างเห็นได้ชัด เมื่อเปรียบเทียบ กับความหนืดของแป้ง SSO เริ่มต้น (ไม่ได้แสดงข้อมูล)

ดังนั้นจึงได้ทำการทดลองผลิตมายองเนสที่ใช้แป้ง SSO เป็นสารทดแทนไบมันโดยการประคบความเข้มข้นของแป้งในช่วงร้อยละ 10 ถึง 15 ที่ระดับการแทนที่ไบมันร้อยละ 50 ของมายองเนสสูตรไบมันเต็ม เพื่อเลือกหาช่วงความเข้มข้นของแป้ง SSO ที่เหมาะสม เพื่อใช้เป็นสารทดแทนไบมัน โดยมีผลการทดลองแสดงในรูปที่ 4.2 จากผลการทดลองพบว่าที่ระดับความเข้มข้นของแป้ง SSO ร้อยละ 10 จะให้ความหนืดของตัวอย่างมายองเนสไม่แตกต่างกับ FF ดังนั้นในขั้นตอนต่อไปจึงเลือกใช้ความเข้มข้นของแป้ง HDP, MD และ SSO ที่ระดับความเข้มข้นของแป้งร้อยละ 8, 28 และ 10 ในการศึกษาคุณสมบัติเชิงหน้าที่ของแป้งในการเป็นสารทดแทนไบมันในมายองเนสสูตรไบมันต่า



รูปที่ 4.1 ความหนืดที่ให้อัตราเฉือนต่อวินาทีเท่ากับ 50 ของแป้งดัดแปรที่มีความเข้มข้นแตกต่าง กันโดยที่ 10S, 15S และ 20S คือความเข้มข้นของแป้ง SSO ที่ระดับความเข้มข้นร้อยละ 0, 15 และ 20 ตามลำดับ 8H, 9H และ 10 H คือความเข้มข้นของแป้ง HPD ที่ระดับความเข้มข้นร้อยละ 8, 9 และ 10 ตามลำดับ 28M, 29M และ 30M คือความเข้มข้นของแป้ง MD ที่ระดับความเข้มข้นร้อยละ 28, 29 และ 30 ตามลำดับ
:ตัวอักษรภาษาอังกฤษที่แตกต่างกันที่แสดงบนกราฟแท่งหมายถึงค่าเฉลี่ยที่แตกต่างกัน อย่างมีนัยสำคัญทางสถิติ ($p \leq 0.05$)



รูปที่ 4.2 ความหนืดของมายองเนสสูตรไขมันต์ที่อัตราเฉือนต่อวินาทีเท่ากับ 50 โดยที่ 50S10, 50S12, 50S13 และ 50S15 คือใช้แป้ง SSO ที่ระดับการแทนที่ไขมันร้อยละ 50 ที่เตรียมจากแป้งที่มีความเข้มข้น ร้อยละ 10, 12, 13 และ 15 ตามลำดับ FF คือมายองเนสสูตรไขมันเต็ม ตัวอักษรภาษาอังกฤษที่แตกต่างกันที่แสดงบนกราฟทั้งหมายถึงค่าเฉลี่ยที่แตกต่างกันอย่างมีนัยสำคัญทางสถิติ ($p \leq 0.05$)

4.3 อิทธิพลของชนิดแป้งดัดแปรและระดับการแทนที่ไขมันต่อคุณสมบัติทางเคมีภัยภาพของมายองเนส

เมื่อนำแป้งดัดแปรแต่ละชนิดมาเตรียมมายองเนสสูตรไขมันต์ โดยใช้แป้ง HDP ที่ความเข้มข้นร้อยละ 8 ใช้แป้ง MD ที่ความเข้มข้นร้อยละ 28 และใช้ SSO ที่ความเข้มข้นร้อยละ 10 เป็นสารทดแทนไขมันที่มีระดับการแทนที่ของไขมันที่แตกต่างกันคือ ร้อยละ 25, 50 และ 75 ผลที่ได้แสดงในตารางที่ 4.4

4.3.1 อิทธิพลของแป้งดัดแปรและระดับการแทนที่ไขมันต่อค่าเฉลี่ยอนุภาคเม็ดไขมัน

ผลการทดลองพบว่าตัวอย่าง FF มีค่า D_{43} เท่ากับ 10.13 ไมโครเมตร (ตารางที่ 4.4) ซึ่งมีขนาดใหญ่ร่องจากตัวอย่างมายองเนสที่เตรียมจากแป้ง HDP สำหรับการเตรียมตัวอย่าง FF มีข้อจำกัดในการใช้แรงที่มีความดันสูงหรือแรงปั่นสูงเพื่อลดขนาดอนุภาคเม็ดไขมัน โดยไม่ควรใช้แรงตีปั่นที่มากเกิน อันอาจทำให้เกิดการเปลี่ยนเฟสในระหว่างการลดขนาดอนุภาคเม็ดไขมันได้ดังนั้นการเตรียมตัวอย่าง FF ในการทดลองครั้งนี้ จึงเป็นการเตรียมอิมัลชันแบบขั้นตอนเดียว โดย

ไม่ได้มีขั้นตอนการ ไฮโนจีไนซ์ เมื่อ結合กับตัวอย่างสูตรที่ใช้สารทดแทน ไขมัน ทั้งนี้ในตัวอย่าง อิมลัชันที่มีปริมาณ ไขมันมาก จะมีสัดส่วนของปริมาตรของอนุภาคเม็ด ไขมันต่อปริมาตรของเฟส ต่อเนื่อง (Volume fraction) สูง และเมื่อสัดส่วนปริมาตรของเม็ด ไขมันเข้าใกล้กับค่าวิกฤต (Critical volume fractions) ที่มีค่าประมาณ ~0.8 จะทำให้ออนุภาคเม็ด ไขมันมีโอกาสหลอมรวมตัวกันและเกิด การเปลี่ยนเฟสในระหว่างการเกิดอิมลัชันในสภาพที่มีแรงกระทำได้ง่าย (McClements, 2005; Worrasinchai et al., 2006) ดังนั้นจึงเป็นเหตุผลที่ไม่สามารถ ไฮโนจีไนซ์ ตัวอย่าง FF ได้ ทำให้ ตัวอย่าง FF มีขนาดอนุภาคที่ใหญ่กว่าตัวอย่างที่ใช้สารทดแทน ไขมันซึ่งมีปริมาณ ไขมันต่ำกว่า นอกจากนี้ปัจจัยหนึ่งที่ทำให้ขนาดอนุภาคเม็ด ไขมันในตัวอย่าง FF มีขนาดใหญ่กว่าตัวอย่างอื่นๆ อาจเป็นผลมาจากการปริมาณสัดส่วนของไข่แดงที่ทำหน้าที่เป็นอิมลัชิไฟเซอร์ต่อปริมาณน้ำมันใน สูตร FF มีสัดส่วนของอิมลัชิไฟเซอร์น้อยกว่าสูตรที่ใช้แป้งคัดแปรเป็นสารทดแทน ไขมัน เนื่องจากสูตรการผลิตมายองเนสในการทดลองครั้งนี้ปริมาณของไข่แดงเท่ากันทุกชุดการ ทดลอง ดังนั้นสูตรที่มีการแทนที่ไขมันด้วยแป้งคัดแปรน้อยกว่าจะมีสัดส่วนของไข่แดงต่อ ปริมาณ ไขมันต่ำกว่า กัน จึงทำให้ประสิทธิภาพในการป้องกันการกลับมารวมตัวกันของ อนุภาคเม็ด ไขมันขณะกระบวนการ ไฮโนจีไนซ์ ของตัวอย่าง FF มีประสิทธิภาพต่ำส่งผลให้ ตัวอย่าง FF มีขนาดอนุภาคเม็ด ไขมันใหญ่กว่าตัวอย่างสูตร ไขมันต่ำ

เมื่อพิจารณาค่า D_{43} ของตัวอย่างมายองเนสที่ใช้แป้ง HDP เป็นสารทดแทน ไขมันพบว่า มีค่า D_{43} ใหญ่กว่าตัวอย่าง FF และมีแนวโน้มสูงขึ้นเมื่อเพิ่มการแทนที่ไขมัน ทั้งนี้เป็นผลมาจากการ เม็ดแป้ง HDP ที่เพิ่มขึ้นในระบบ ดังแสดงให้เห็นในรูปที่ 4.3

ส่วนตัวอย่างมายองเนสที่ใช้แป้ง MD เป็นสารทดแทน ไขมันจะมีค่า D_{43} เพิ่มขึ้นเมื่อเพิ่ม ระดับการแทนที่ของ ไขมัน โดยผลการทดลองนี้มีความสอดคล้องกับการทดลองของ Dockic-Baucal และคณะ (2004) ที่ได้ศึกษาการเตรียมอิมลัชันด้วย MD ที่มีค่า DE ประมาณ 10 และ 5 แป้ง MD ทั้งสองตัวอย่างดังกล่าวเมื่อนำมาเตรียมอิมลัชันที่มีปริมาณ ไขมันแตกต่างกัน แต่มี ระดับความเข้มข้นของแป้งเท่ากัน พนวณการลดปริมาณน้ำมันลงมีผลทำให้ตัวอย่างมีขนาด อนุภาคเม็ด ไขมันใหญ่ขึ้นอย่างมีนัยสำคัญ ($p \leq 0.05$) โดยตัวอย่างที่เตรียมจาก MD ที่มีค่า DE ต่ำ (ความหนืดสูง) จะสามารถผลิตอิมลัชันที่มีขนาดอนุภาคเม็ด ไขมันได้เล็กกว่า

สำหรับตัวอย่างที่เตรียมด้วยแป้ง SSO มีค่า D_{43} น้อยที่สุดและมีแนวโน้มลดลงเมื่อเพิ่ม ระดับการแทนที่ ไขมัน ซึ่งเป็นผลมาจากการความสามารถในการเป็นอิมลัชิไฟเซอร์ของแป้ง SSO (Tesch et al., 2002) ดังนั้นการเพิ่มปริมาณแป้ง SSO ในระบบส่งผลให้ประสิทธิภาพในการลด ขนาดอนุภาคเม็ด ไขมันมีประสิทธิภาพสูงขึ้น

ตารางที่ 4.4 คุณสมบัติทางเคมีภysisของมายองเนนส์ที่ใช้แป้งดัดแปรแตกต่างกันเป็นสารทดแทนไขมันที่มีระดับการแทนที่ไขมันแตกต่างกัน

ตัวอย่าง	$D_{43}(\mu\text{m})$	L^*	a^*	b^*	Firmness (g)	Adhesiveness (g.s)
FF	$10.13 \pm 1.76^{\text{d}}$	$91.63 \pm 0.41^{\text{b}}$	$-6.20 \pm 0.67^{\text{a}}$	$25.85 \pm 0.49^{\text{f}}$	$55.52 \pm 6.94^{\text{de}}$	$-45.95 \pm 8.28^{\text{b}}$
25H08	$12.38 \pm 0.47^{\text{e}}$	$94.65 \pm 0.11^{\text{d}}$	$-4.49 \pm 0.02^{\text{de}}$	$22.99 \pm 0.03^{\text{d}}$	$60.06 \pm 1.43^{\text{e}}$	$-45.25 \pm 1.09^{\text{bc}}$
50H08	$21.55 \pm 1.24^{\text{f}}$	$95.09 \pm 0.37^{\text{d}}$	$-4.02 \pm 0.06^{\text{e}}$	$20.64 \pm 0.36^{\text{c}}$	$50.98 \pm 0.61^{\text{d}}$	$-34.84 \pm 9.77^{\text{cd}}$
75H08	$31.29 \pm 0.51^{\text{g}}$	$94.95 \pm 0.01^{\text{d}}$	$-4.29 \pm 0.01^{\text{de}}$	$22.61 \pm 0.20^{\text{d}}$	$41.74 \pm 0.15^{\text{c}}$	$-32.08 \pm 1.36^{\text{d}}$
25M28	$7.89 \pm 0.02^{\text{c}}$	$93.04 \pm 0.03^{\text{c}}$	$-5.17 \pm 0.02^{\text{bc}}$	$24.81 \pm 0.01^{\text{e}}$	$34.54 \pm 0.52^{\text{b}}$	$-31.30 \pm 2.73^{\text{d}}$
50M28	$8.88 \pm 1.15^{\text{cd}}$	$92.51 \pm 0.10^{\text{c}}$	$-5.05 \pm 0.03^{\text{e}}$	$24.98 \pm 0.07^{\text{e}}$	$23.74 \pm 1.26^{\text{a}}$	$-19.74 \pm 3.78^{\text{e}}$
75M28	$9.71 \pm 0.08^{\text{d}}$	$89.43 \pm 0.31^{\text{a}}$	$-5.58 \pm 0.04^{\text{b}}$	$27.15 \pm 0.21^{\text{g}}$	$19.80 \pm 0.01^{\text{a}}$	$-9.47 \pm 3.57^{\text{e}}$
25S10	$4.25 \pm 0.24^{\text{b}}$	$96.11 \pm 0.39^{\text{e}}$	$-4.67 \pm 0.14^{\text{cd}}$	$19.71 \pm 0.47^{\text{b}}$	$70.82 \pm 0.90^{\text{f}}$	$-65.13 \pm 7.24^{\text{a}}$
50S10	$3.56 \pm 0.01^{\text{ab}}$	$96.71 \pm 0.49^{\text{f}}$	$-4.21 \pm 0.26^{\text{de}}$	$18.01 \pm 0.31^{\text{a}}$	$52.70 \pm 3.84^{\text{d}}$	$-39.43 \pm 1.27^{\text{bcd}}$
75S10	$2.16 \pm 0.56^{\text{a}}$	$96.21 \pm 0.45^{\text{e}}$	$-4.53 \pm 0.39^{\text{de}}$	$19.55 \pm 0.21^{\text{b}}$	$21.74 \pm 1.67^{\text{a}}$	$-13.84 \pm 0.63^{\text{e}}$

หมายเหตุ : ค่าเฉลี่ย \pm ค่าเบี่ยงเบนมาตรฐาน ที่มีตัวอักษรภาษาอังกฤษที่แตกต่างกันในแนวนอนหมายถึงมีความแตกต่างกันอย่างมีนัยสำคัญทางสถิติ ($p \leq 0.05$)

4.3.2 อิทธิพลของแป้งคัดแปรและระดับการแทนที่ไขมันต่อการกระจายตัวของอนุภาคเม็ดไขมัน

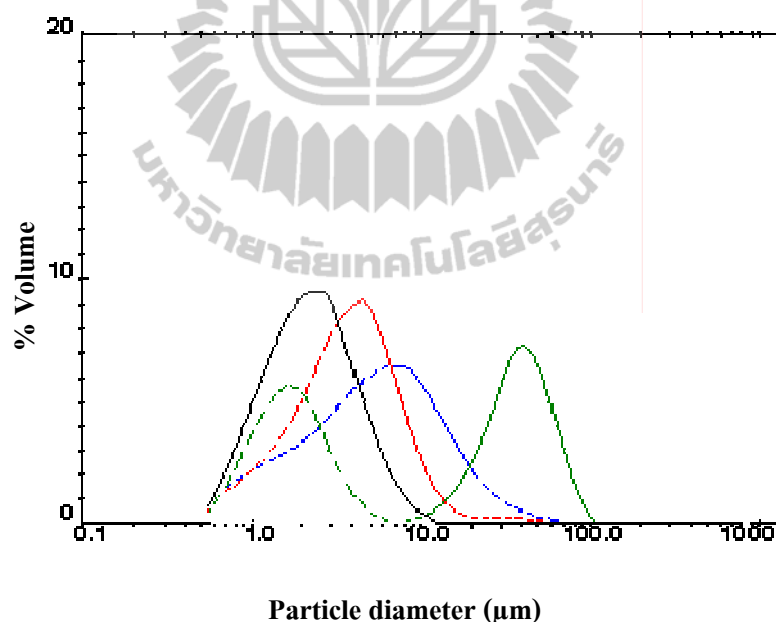
เมื่อพิจารณาถึงอิทธิพลของแป้งคัดแปรต่อการกระจายตัวของอนุภาคของเม็ดไขมันในตัวอย่างมายองเนส โดยเปรียบเทียบในตัวอย่างที่มีการแทนที่ไขมันร้อยละ 50 เทียบกับตัวอย่าง FF (รูปที่ 4.3) พบว่าความกว้างของ Graf การกระจายตัวของอนุภาคเม็ดไขมันในตัวอย่างเรียงลำดับจากมากไปน้อยดังนี้คือ FF 50M28, 50S10 และ 50H08 ตามลำดับโดยค่าการกระจายตัวของเม็ดไขมันในตัวอย่าง FF อยู่ระหว่าง 0.5 ถึง 80 ไมโครเมตร และมีค่า D_{43} เท่ากับ 10.13 ไมโครเมตร 50M28 มีค่าการกระจายตัวของเม็ดไขมันอยู่ระหว่าง 0.5 ถึง 60 ไมโครเมตร มีค่า D_{43} เท่ากับ 8.88 ไมโครเมตร และ 50S10 มีค่าการกระจายของเม็ดไขมันตัวอยู่ระหว่าง 0.5 ถึง 20 ไมโครเมตรและมีค่า D_{43} เท่ากับ 3.56 ไมโครเมตร โดย Graf การกระจายตัวของเม็ดไขมันทั้งหมดที่กล่าวมานี้ลักษณะเป็น Graf เดี่ยว ส่วนตัวอย่าง 50H08 จะมีลักษณะการกระจายตัวของอนุภาคเม็ดไขมันในตัวอย่างมี 2 กลุ่มประชากร โดยในกลุ่มแรกแสดงค่าการกระจายตัวของเม็ดไขมันอยู่ที่ 0.5 ถึง 7 ไมโครเมตรและในกลุ่มที่ 2 พบการกระจายตัวของเม็ดแป้งของแป้ง HPD มีค่าระหว่าง 10 ถึง 80 ไมโครเมตรโดยมีค่า D_{43} เท่ากับ 21.55 ไมโครเมตร จากตารางที่ 4.4 พบว่าเมื่อเพิ่มระดับการแทนที่ไขมันจะส่งผลให้ค่า D_{43} ที่ผลิตจากการใช้ HDP เป็นสารทดแทนไขมันมีค่าเพิ่มขึ้นตามไปด้วย

รูปที่ 4.4 แสดงการกระจายตัวของอนุภาคเม็ดไขมันในมายองเนสที่มีการใช้แป้งคัดแปรและระดับการแทนที่ไขมันที่แตกต่างกัน โดยบีบอณตัวอย่างมายองเนสด้วยสารละลายไอโอดีนเพื่อระบุส่วนที่เป็นแป้งซึ่งจะเห็นเป็นสีน้ำเงิน-ดำ ที่เกิดจากไอโอดีนถูกกัดออกในเกลียวของอะไโลส (Murphy, 1999) จากรูปพบว่าอนุภาคเม็ดไขมันของตัวอย่าง FF มีขนาดใหญ่และอยู่ใกล้ชิดกัน และพบว่าอนุภาคเม็ดไขมันที่เล็กกว่าจะซ่อนอยู่ในอนุภาคเม็ดไขมันที่ใหญ่กว่าดังแสดงด้วยลูกศรสีแดง ในขณะที่ตัวอย่างที่ใช้สารทดแทนไขมันมีขนาดอนุภาคที่เล็กกว่าและมีแนวโน้มว่าจะห่างระหว่างอนุภาคเม็ดไขมันเพิ่มขึ้นเมื่อเพิ่มระดับการแทนที่ไขมันด้วยแป้งคัดแปร ซึ่งเห็นได้ชัดเจนในตัวอย่างที่มีระดับการแทนที่ไขมันร้อยละ 50 และ 75

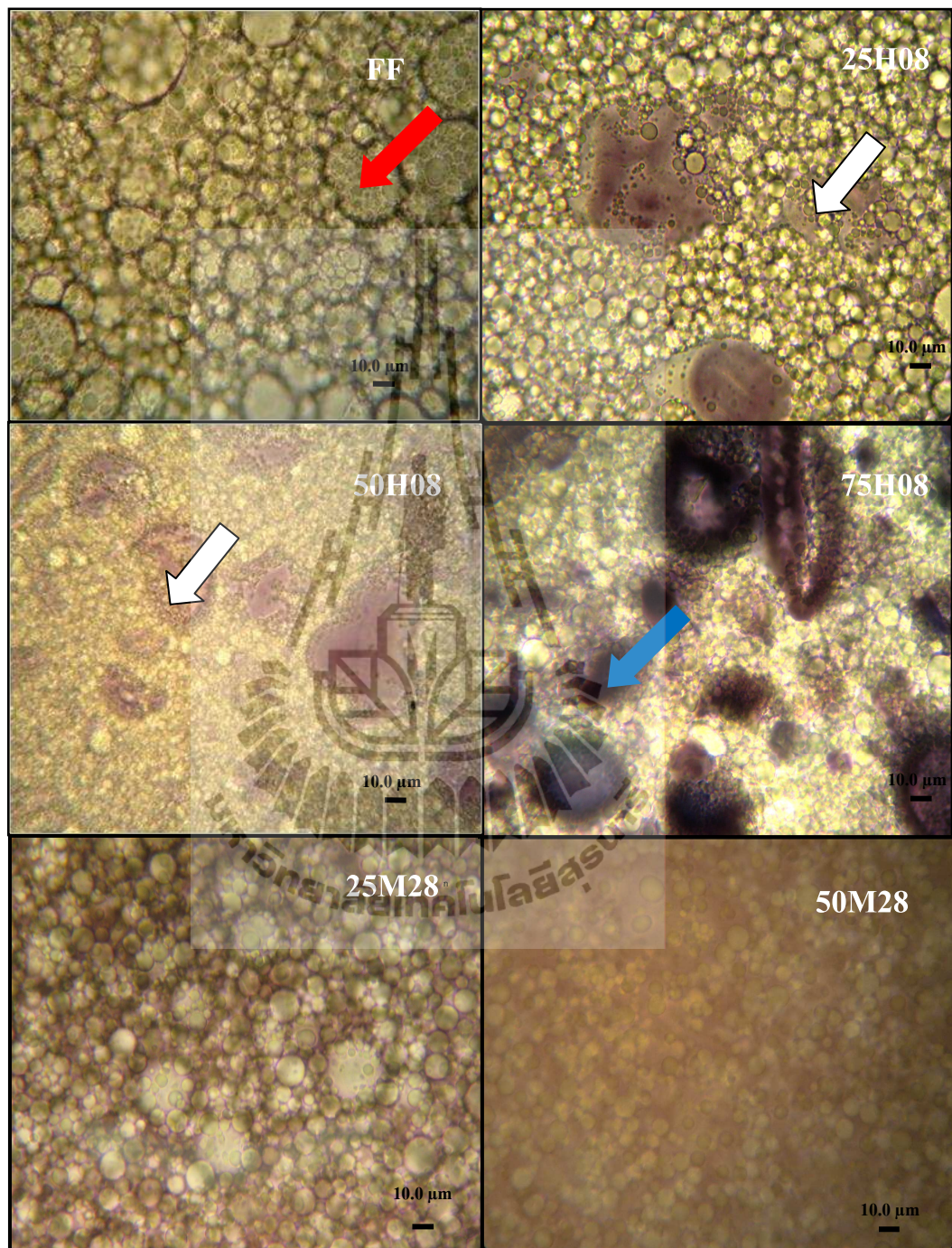
จากรูปที่ 4.4 ที่แสดงตัวอย่างที่ใช้แป้ง HDP และ แป้ง SSO เป็นสารทดแทนไขมัน พบว่าขนาดอนุภาคเม็ดไขมันมีแนวโน้มลดลงเมื่อเพิ่มระดับการแทนที่ไขมัน แม้ว่าในตัวอย่างที่ใช้แป้ง HDP เป็นสารทดแทนไขมันค่า D_{43} มีค่าเพิ่มขึ้นเมื่อเพิ่มระดับการแทนที่ไขมันก็ตาม ทั้งนี้เป็นผลมาจากการปริมาณของเม็ดแป้ง HDP ที่เพิ่มขึ้นเมื่อระดับการแทนที่ไขมันเพิ่มขึ้น โดยตัวอย่างที่ใช้แป้ง HDP เป็นสารทดแทนไขมันจะพบเม็ดแป้งข้อมติดสีน้ำเงินกระจายตัวอยู่ทั่วไปในระบบมายองเนส ในขณะที่สัดส่วนของอนุภาคเม็ดไขมันมีจำนวนลดลง นอกจากนี้ยังพบว่าเมื่ออนุภาคเม็ดไขมันบางอนุภาคแทรกตัวอยู่ในโครงสร้างของเม็ดแป้ง HDP ดังแสดงด้วยลูกศรสีขาว โดยอาจเป็นผลมาจากการจุบวนของโปรตีนไข่แดงที่ล้อมรอบอนุภาคเม็ดไขมันนี้สามารถสร้างพันธะไอออนิกกับประจุลบ

ของหมู่ฟอสเฟตที่อยู่ในโครงสร้างของแป้ง HDP ได้ แต่ทั้งนี้จากการทดลองของ Prochaska, Kędziora, Le Thanhb และ Lewandowicz (2007) พบว่าตัวอย่างแป้งดัดแปรชนิดเชื่อมข้ามได้แก่ ไดสตาธฟอสเฟต (Distarch phosphate) อะซิทิเลเตท ไดสตาธฟอสเฟต (Acetylated distarch phosphate) และอะซิทิเลเตท ไดสตาธอะดิเปต (Acetylated distarch adipate) ไม่มีคุณสมบัติเป็นสาร Surface active ซึ่งสอดคล้องกับการทดลองในครั้งนี้ ที่พบว่าแป้ง HDP มีโครงสร้างทางกายภาพไม้อ่อนกว่าต่อการเป็นสาร Surface active ดังปรากฏด้วยภาพที่มองผ่านกล้องจุลทรรศน์

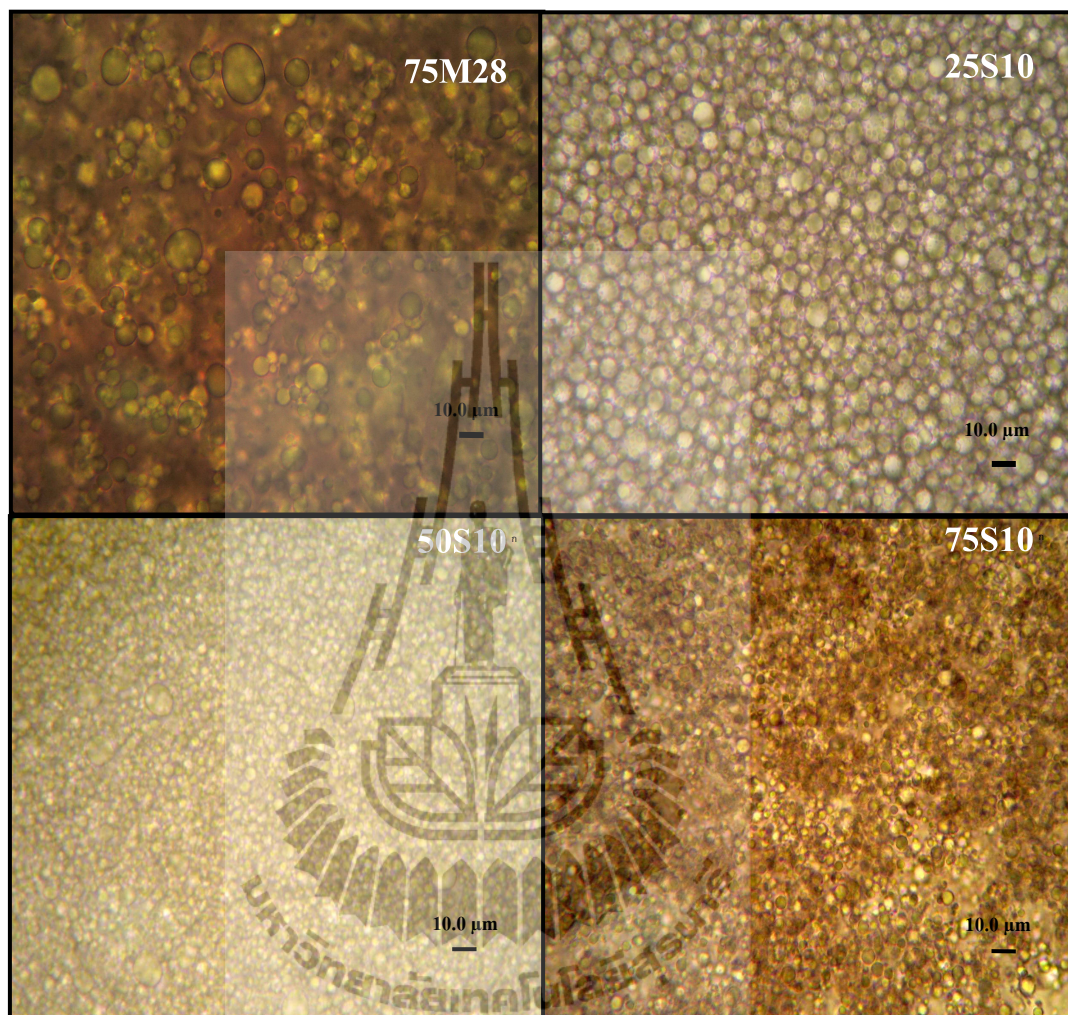
ส่วนตัวอย่างที่ใช้แป้ง MD เป็นสารทดแทนไขมันพบว่าขนาดของเม็ดไขมันมีแนวโน้มเพิ่มขึ้นเมื่อเพิ่มระดับการแทนที่ (รูป 4.4) ซึ่งสอดคล้องกับผลของค่า D_{43} โดยจะพบอนุภาคเม็ดไขมันกระจายอยู่ทั่วไปในโครงสร้างของเจลแป้ง MD ซึ่งยอมติดสีม่วง แต่ไม่พบว่ามีเม็ดแป้งของ MD เพราะแป้ง MD ได้เสียสภาพของโครงสร้างของเม็ดแป้งจากการย่อยด้วยเอนไซม์ และจากกระบวนการทำแห้ง และเมื่อเพิ่มอัตราการแทนที่ไขมันด้วยแป้ง MD พบว่าจะห่างระหว่างอนุภาคเม็ดไขมันมีระยะห่างเพิ่มขึ้น โดยจะมีสัดส่วนของอนุภาคเม็ดไขมันในตัวอย่างลดลง



รูปที่ 4.3 การกระจายตัวของอนุภาคเม็ดไขมันของมา yön เนส (—) FF, (—) 50H08, (—) 50M28, (—) 50S10



รูปที่ 4.4 การกระจายตัวของอนุภาคเม็ดไบมันจากกล้องจุลทรรศน์กำลังขยาย 1000 เท่า ลูกศรสีแดงแสดงอนุภาคเม็ดไบมันขนาดเล็กซ้อนอยู่ในอนุภาคเม็ดไบมันที่ใหญ่กว่าลูกศรสีขาวแสดงอนุภาคเม็ดไบมันที่แทรกอยู่ในเม็ดแป้ง HDP และลูกศรสีน้ำเงินแสดงเม็ดแป้ง HDP



รูปที่ 4.4 (ต่อ) การกระจายตัวของอนุภาคเม็ดไบมันจากกล้องจุลทรรศน์กำลังขยาย 1000 เท่า ลูกศร สีแดงแสดงอนุภาคเม็ดไบมันขนาดเล็กซ่อนอยู่ในอนุภาคเม็ดไบมันที่ใหญ่กว่าลูกศรสีขาว แสดงอนุภาคเม็ดไบมันที่แทรกอยู่ในเม็ดแป้ง HDP และลูกศรสีน้ำเงินแสดงเม็ดแป้ง HDP

ส่วนตัวอย่างที่ใช้แป้ง SSO เป็นสารทดแทนไบมัน (รูปที่ 4.4) จะพบการย้อมติดสีของแป้ง SSO ล้อมรอบอนุภาคเม็ดไบมัน โดยจะเห็นว่าอนุภาคเม็ดไบมันกระจายตัวอย่างสม่ำเสมออยู่ในเฟลต์ต่อเนื่องที่มีแป้ง SSO

4.3.3 อิทธิพลของแป้งดัดแปลงและดับการแทนที่ไบมันต่อสีของ Majority

สีของ Majority เป็นผลมาจากการปริมาณไบมัน ขนาดอนุภาคเม็ดไบมันและสีที่มาจากไบเบง จากตารางที่ 4.4 แสดงให้เห็นว่าตัวอย่าง Majority ของอนุภาคเม็ดไบมันและสีที่มาจากไบเบง เหลืออยู่อ่อน (มีค่า b^* เป็นบวก) และสีเขียวเล็กน้อย (มีค่า a^* เป็นลบ) โดยปัจจัยที่มีผลต่อค่าความสว่างของตัวอย่าง Majority ได้แก่ ความเข้มข้นของอนุภาคไบมันและขนาดอนุภาคเม็ดไบมัน

(McClements, 2005) ซึ่งในทางทฤษฎีตัวอย่างที่มีความเข้มข้นของไขมันมาก และมีขนาดอนุภาคเม็ดไขมันเล็กจะทำให้การสะท้อนกลับของแสงมีมากส่งผลให้ L* สูงขึ้น

จากการทดลองพบว่าตัวอย่างมายองเนสที่มีการใช้สารทดแทนไขมันทุกตัวอย่างมีค่าความสว่างสูงกว่าตัวอย่าง FF แม้จะมีปริมาณไขมันต่ำกว่าตัวอย่าง FF ก็ตาม โดยสามารถอธิบายได้ว่าตัวอย่างมายองเนสสูตรไขมันต่ำมีขนาดอนุภาคเม็ดไขมันที่เล็กกว่าตัวอย่าง FF ทำให้มีการสะท้อนกลับของแสงที่สูงมากกว่า นอกจากนี้ยังพบว่าตัวอย่าง FF มี b* และ -a* สูงกว่าตัวอย่างที่ใช้สารทดแทนไขมัน ทั้งนี้สามารถอธิบายได้ว่าค่าความเข้มของสี (Color intensity) หรือสีเหลือง (Croma) จะมีค่าแนวโน้มลดลงเมื่อขนาดอนุภาคเม็ดไขมันเล็กลง (Chantrapornchai, Clydesdale and McClements, 1999) ซึ่งการทดลองนี้มีความสอดคล้องกับการทดลองของ Karas, Skvarca และ Zlender (2002); Worrasinchai และคณะ (2006) และ Santipanichwong และ Suphantharika (2007)

ค่าสีเหลืองของมายองเนสได้จากไอล์ดงที่มีรังควัตถุลูทิน และเบต้า-เครโโรทินโดยจะปรากฏสีเป็นเหลือง-แดง รงควัตถุทึบส่องละลายได้ดีในไขมัน ดังนั้นตัวอย่างที่มีปริมาณไขมันน้อยจะแสดงค่า b* ต่ำกว่าตัวอย่างที่มีไขมันสูงกว่า (Windin and Hall, 2001) การแทนที่ไขมันด้วย HDP พบว่าระดับการแทนที่ไขมันไม่มีผลต่อการเปลี่ยนแปลงของค่าสีของตัวอย่างมายองเนส โดยตัวอย่างมายองเนสทุกตัวอย่างที่เตรียมจากแป้ง HDP มีค่า L* และ -a* สูงกว่า แต่มีค่า b* ต่ำกว่าตัวอย่าง FF ส่วนตัวอย่างที่เตรียมจาก MD เป็นสารทดแทนไขมันพบว่าค่า L* มีแนวโน้มลดลงในขณะที่ b* มีแนวโน้มเพิ่มขึ้นตามระดับการแทนที่ไขมัน

สำหรับตัวอย่างที่ใช้ SSO เป็นสารทดแทนไขมันจะมีค่า L* สูงกว่า FF และมายองเนสทุกตัวอย่างที่ใช้แป้งคัดแปรชนิดอื่นเป็นสารทดแทนไขมันเนื่องจากมีขนาดอนุภาคเม็ดไขมันที่เล็กกว่าโดยระดับการแทนที่ไขมันด้วยแป้ง SSO ไม่มีผลต่อค่าสีของตัวอย่างมายองเนส

จะเห็นได้ว่านิดของแป้งคัดแปรที่ใช้เป็นสารทดแทนไขมันที่แตกต่างกันมีผลต่อน้ำดอนุภาคเม็ดไขมัน และส่งผลโดยตรงต่อค่าสีของตัวอย่างมายองเนส การทดลองนี้มีความสอดคล้องกับการทดลองของ Santipanichwong และ Suphantharika (2007) ที่พบว่าตัวอย่างมายองเนสสูตรลดไขมันจะมีค่า L* สูงกว่าตัวอย่าง FF ในขณะที่มีค่า b* ต่ำกว่า และมีค่า a* ไม่แตกต่างจากตัวอย่างควบคุม

4.3.4 อิทธิพลของแป้งคัดแปรและระดับการแทนที่ไขมันต่อคุณสมบัติต้านเนื้อสัมผัส

ค่าความแน่นเนื้อคือค่าที่แสดงถึงแรงสูงสุดที่เกิดในระหว่างการกดหัววัสดุในตัวอย่าง และค่าการยึดเกาะคือค่าที่แสดงพื้นที่ได้กราฟบนพื้นที่ดึงหัววัดขึ้นจากตัวอย่าง โดยปัจจัยที่มีผลต่อลักษณะเนื้อสัมผสของมายองเนสประกอบไปด้วยปริมาณน้ำมันที่มีในส่วนผสมและขนาดอนุภาคเม็ดไขมัน ผลกระทบทดลอง (ตารางที่ 4.4) พบว่าตัวอย่างมายองเนสที่เตรียมจากแป้งคัดแปรแตกต่างกัน จะมีค่าความแน่นเนื้อและค่าการยึดเกาะลดลงเมื่อระดับของการแทนที่ไขมันสูงขึ้น ซึ่งการเพิ่ม

ระดับการแทนที่ไขมันส่งผลให้ระยะห่างระหว่างอนุภาคเม็ดไขมันเพิ่มขึ้น (Ungerer, 2007) ดังแสดงในรูปที่ 4.4 จึงส่งผลให้ค่าความแน่นเนื้อและค่าการยึดเกาะมีค่าลดลง

เมื่อเปรียบเทียบค่าความแน่นเนื้อและค่าการยึดเกาะของตัวอย่างสูตรไขมันต่อกับตัวอย่าง FF พบร่วมกับตัวอย่าง 25S10 ค่าความแน่นเนื้อและค่าการยึดเกาะสูงกว่าตัวอย่าง FF อายุร่วมมีนัยสำคัญ ($p \leq 0.05$) ซึ่งเป็นผลมาจากการที่ตัวอย่างที่ใช้แป้ง SSO เป็นสารทดแทนไขมันมีขนาดอนุภาคเม็ดไขมันที่เล็กกว่า (Worrasinchai et al., 2006) รวมไปถึงตัวอย่างที่ใช้แป้ง SSO อาจมีการสร้างพันธะไฮโดรฟอฟบิคระหว่างอนุภาคเม็ดไขมันด้วยกัน และ/หรือ ระหว่างอนุภาคเม็ดไขมันกับสายโพลีเมอร์แป้ง และ/หรือ ระหว่างสายโพลีเมอร์ด้วยกันเอง ในตัวอย่างที่มีขนาดอนุภาคเม็ดไขมันเล็กจะทำให้เพิ่มพื้นที่ในการสัมผัส ทำให้เกิดแรงเสียดทานสูงและมีแรงต้านแรงเฉือน และแรงกดส่งผลทำให้ค่าความหนืดและค่าความแน่นเนื้อสูงขึ้น (Liu et al., 2007) เมื่อเพิ่มระดับการแทนที่ไขมันพบว่าค่าความแน่นเนื้อและค่าการยึดเกาะลดลงนื่องมาจากในระบบมีสัดส่วนของอนุภาคเม็ดไขมันลดลง

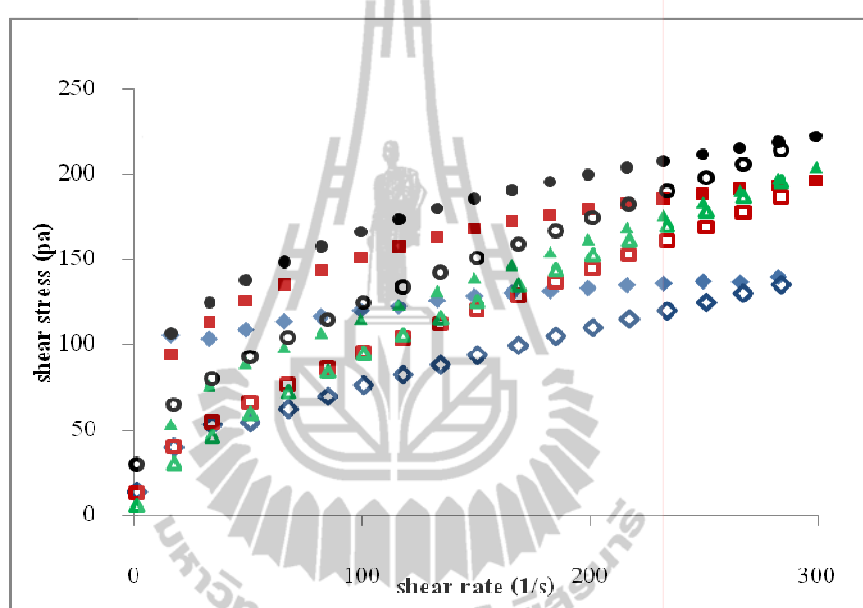
ตัวอย่าง 25H08 และ 50H08 มีค่าความแน่นเนื้อไม่แตกต่างจากตัวอย่าง FF อาจเป็นผลมาจากการแป้ง HDP ที่มีลักษณะเป็นเม็ดแป้ง ที่ทนต่อแรงเฉือนและมีความสามารถในการอุ้มน้ำสูง (Van-Hung and Morita, 2005) การที่เม็ดแป้งดูดซึมน้ำได้สูงจะทำให้ตัวอย่างแสดงค่าความแน่นเนื้อและมีความยึดเกาะสูง นอกจากนี้ยังพบว่าขนาดอนุภาคเม็ดไขมันของตัวอย่าง 25H08 และ 50H08 มีขนาดเล็กกว่าในตัวอย่าง FF (รูปที่ 4.4) จึงเป็นเหตุผลสนับสนุนที่ทำให้ค่าความแน่นเนื้อและค่าการยึดเกาะในตัวอย่างดังกล่าวมีค่าเท่ากับตัวอย่าง FF แม้ว่าตัวอย่างจะมีปริมาณน้ำมันน้อยกว่าก็ตาม และเมื่อเพิ่มการแทนที่ไขมันพบว่าค่าความแน่นเนื้อและการยึดเกาะมีแนวโน้มลดลง เช่นเดียวกับตัวอย่างที่เตรียมจากแป้ง SSO

สำหรับตัวอย่างที่ใช้แป้ง MD เป็นสารทดแทนไขมันทุกตัวอย่างมีค่าความแน่นเนื้อและการยึดเกาะน้อยกว่าตัวอย่าง FF ซึ่งมีเหตุผลสองประการ โดยเหตุผลแรกเป็นผลมาจากการปริมาณไขมันในตัวอย่างที่เตรียมจากแป้ง MD มีปริมาณไขมันที่ต่ำกว่า FF จึงทำให้สัดส่วนของอนุภาคเม็ดไขมันที่ทำหน้าที่เป็นโครงสร้างของมายองเนสลดลง ขณะเดียวกับแป้ง MD จะมีขนาดของสายโพลีเมอร์ของแป้งลดลงเมื่อผ่านกระบวนการโซโนเจนเซอร์ จึงทำให้โครงสร้าง 3 มิติของเจล MD เสียหาย และเมื่อเพิ่มระดับการแทนที่ไขมันค่าความแน่นเนื้อและค่าการยึดเกาะมีแนวโน้มลดลงเช่นเดียวกับตัวอย่างที่เตรียมจากแป้ง SSO และ HDP

4.3.5 อิทธิพลของแป้งดัดแปร์และระดับการแทนที่ไขมันต่อคุณสมบัติด้านวิทยาศาสตร์

จากผลการทดลองพบว่ามายองเนสทุกตัวอย่างแสดงพฤติกรรมแบบ Thixotropic shear thinning behavior (รูปที่ 4.5) เนื่องมาจากความหนืดของตัวอย่างขึ้นกับแรงเฉือนและเวลาโดยจะพบว่าเมื่อเพิ่มอัตราเฉือน ค่าของแรงเค้นจะค่อยๆ เพิ่มขึ้นและมีแนวโน้มคงที่ ที่ระดับแรงเฉือนสูง

ๆ และเมื่อลดแรงเฉือนลงจะพบว่า ค่าของแรงเค้นที่ระดับแรงเฉือนเท่ากันมีค่าต่ำกว่าค่าแรงเค้นที่ได้ในช่วงที่เพิ่มแรงเฉือนให้กับตัวอย่างในขั้นตอนแรก โดยอนุภาคเม็ดไบมันจะเป็นตัวกำหนดคุณสมบัติด้านวิทยาการแสงของตัวอย่างมากของเนสที่มีโครงสร้างคล้ายของแข็ง (Solid-like structure) การเพิ่มแรงเฉือนให้กับตัวอย่าง แรงเฉือนจะไปทำลายโครงสร้างหรือทำลายอนุภาคเม็ดไบมันที่เกาะกลุ่มกันอยู่ให้แยกออกจากกัน ส่งผลให้ความหนืดลดลง



รูปที่ 4.5 พฤติกรรมการไหลของนายองเนสสูตรสัญลักษณ์ทึบแสดงค่า up flow สัญลักษณ์ไปร่องแสดงค่า Down flow ◆ FF, ■ 50H08, ▲ 50M28, ● 50S10

Hysteresis loop หรือพื้นที่ของกราฟที่เกิดขึ้นในระหว่างที่เพิ่มอัตราเฉือน (Up flow) และลดอัตราเฉือน (Down flow) ในขณะวัดพฤติกรรมการไหล หรือเรียกพื้นที่นี้ว่า Thixotropic area ซึ่งเป็นค่าที่บ่งบอกถึงการเสียสภาพของโครงสร้างของตัวอย่าง ตัวอย่างที่มีค่า Thixotropic สูงแสดงว่า ตัวอย่างมีการเสียสภาพมากหรืออาจหมายความได้ว่าตัวอย่างดังกล่าวจะต้องใช้เวลานานกว่าที่โครงสร้างของตัวอย่างสามารถกลับคืนสู่สภาพเดิมได้ (McClements, 2005; Worrasinchai et al., 2006)

เมื่อใช้ Power's law model ในการวิเคราะห์ข้อมูลของพฤติกรรมด้านการไหลของนายองเนสพบว่าค่าดัชนีความคงตัว ค่า Thixotropic และค่าความหนืดของนายองเนสที่ใช้แป้งดัดแปลงเป็นสารทดแทนไบมันมีแนวโน้มลดลงเมื่อเพิ่มระดับการแทนที่ไบมัน (ตารางที่ 4.5) แสดงให้เห็นว่าไบมันมีผลต่อการแสดงพฤติกรรมด้านวิทยาการแสงของตัวอย่าง โดยปริมาณไบมันมากส่งผลให้ค่าดัชนีความคงตัวและค่าความหนืดสูง ในขณะที่การเพิ่มระดับการแทนที่ไบมันมีผลทำให้ค่า ณ มีแนวโน้มสูงขึ้น

แสดงให้เห็นว่าตัวอย่างมีแนวโน้มการไหลเข้าใกล้กับนิวโทเนียน อย่างไรก็ตามแม้ตัวอย่าง FF มีปริมาณไขมันสูงกว่าตัวอย่างมายองเนสสูตรลดไขมัน แต่พบว่ามีความหนืดน้อยกว่ามายองเนสสูตร 25H08 และ 25S10 อาจเป็นผลมาจากการขาดอนุภาคเม็ดไขมันของมายองเนสสูตร FF มีขนาดอนุภาคเม็ดไขมันที่ใหญ่กว่าตัวอย่าง 25H08 และ 25S10 ดังแสดงในรูปที่ 4.4 ซึ่งส่งผลต่อแรงด้านการไหลได้น้อยกว่า ค่าความหนืดที่วัดได้จึงมีค่าต่ำ (*Liu et al., 2008*) ขณะเดียวกันมายองเนสที่เตรียมจากแป้งคัดแปรงทั้ง 3 ชนิดเมื่อเพิ่มระดับการแทนที่ไขมันด้วยแป้งมีผลทำให้ค่า Thixotropic มีแนวโน้มลดลง ซึ่งเป็นผลมาจากการในตัวอย่างดังกล่าวมีปริมาณอนุภาคเม็ดไขมันในระบบลดลง ซึ่งอนุภาคเม็ดไขมันเป็นตัวกำหนดโครงสร้างของมายองเนส แต่ทั้งนี้พบว่าตัวอย่าง FF มีค่า Thixotropic ต่ำกว่า 25H08, 50H08, 25M28, 25S10 และ 50S10 อาจเป็นผลมาจากการตัวอย่างสูตรลดไขมันซึ่งมีโพลีแซคคาไรด์อยู่ในเฟสต่อเนื่องจะขัดขวางการคืนสภาพของโครงสร้างของอนุภาคเม็ดไขมัน จึงทำให้ตัวอย่างสูตรลดไขมันมีค่า Thixotropic สูงกว่าตัวอย่าง FF

เมื่อพิจารณาคุณสมบัติต้านวิทยากรและของมายองเนสที่ใช้แป้งคัดแปรงต่างชนิดเป็นสารทดแทนไขมันพบว่าแม้ HDP ที่ระดับความเข้มข้นร้อยละ 8 และแป้ง MD ที่ความเข้มข้นร้อยละ 28 มีความหนืดสูงกว่า SSO ที่ระดับความเข้มข้นร้อยละ 10 ($p \leq 0.5$) ดังแสดงในรูปที่ 4.1 แต่เมื่อนำมาแทนที่ไขมันที่ระดับการแทนที่ร้อยละ 25 และ 50 ค่าความหนืดของตัวอย่างมายองเนสที่เตรียมจากแป้ง HDP และ MD มีค่าต่ำกว่ามายองเนสที่เตรียมจากแป้ง SSO สามารถอธิบายได้ว่าระหว่างกระบวนการไฮโมเจนซ์ตัวอย่างมายองเนสแรงเฉือนที่ใส่ให้กับตัวอย่างจะทำลายโครงสร้างของโพลีแซคคาไรด์ให้มีขนาดเล็กลง (*Modig, Nilsson, Bergenstahl and Wahlund, 2006*) ซึ่งธรรมชาติของโครงสร้างเหลลง MD และ SSO จะไม่ทนต่อแรงเฉือน และจะถูกทำลายในระหว่างการไฮโมเจนซ์ได้ง่าย จึงทำให้ Radius of gyration ของโพลีเมอร์ในเฟสต่อเนื่องลดลง โดยเมื่อโครงสร้างโพลีเมอร์ของ SSO ถูกทำให้เล็กลงจะส่งผลให้ความสามารถในการเป็นอิมัลชันฟิโออร์ของแป้ง SSO มีประสิทธิภาพสูงขึ้น ทำให้มายองเนสที่ได้มีขนาดอนุภาคเม็ดไขมันเล็กลง และยังช่วยให้อิมัลชันมีความเสถียรเนื่องจากสายโพลีเมอร์ของแป้ง SSO อาจมีการสร้างพันธะไฮโดรฟิบิระหว่างอนุภาคเม็ดไขมันด้วยผลที่ได้นี้ตรงกันข้ามกับตัวอย่างที่ผลิตจากแป้ง MD ที่ไม่มีคุณสมบัติเป็นอิมัลชันฟิโออร์

เมื่อพิจารณารูปที่ 4.4 ของตัวอย่าง 25S10 พบว่าเม็ดไขมันมีการกระจายตัวที่หนาแน่นและมีขนาดอนุภาคเล็กกว่าตัวอย่างอื่น จึงทำให้ความหนืดของ 25S10 มีค่าสูงกว่าตัวอย่างอื่น ส่วนแป้ง HDP ที่มีคุณสมบัติทนต่อแรงเฉือน ดังนั้นแรงที่ใช้ในระหว่างไฮโมเจนซ์จึงไม่มีผลทำลายโครงสร้างของเม็ดแป้ง โดยที่เม็ดแป้งและอนุภาคเม็ดไขมันในตัวอย่าง 25H08 จะทำให้มีแรงด้านการไหลสูงจึงส่งผลให้ตัวอย่างดังกล่าวมีความหนืดสูงกว่า FF มายองเนสสูตรไขมันต่ำทุกตัวอย่างที่เตรียมจากแป้งทั้ง 3 ชนิดเมื่อเพิ่มระดับการแทนที่ไขมันจะส่งผลให้มีปริมาณอนุภาคเม็ดไขมันในระบบลดลงจึงส่งผลให้ค่าความหนืดมีแนวโน้มลดลงด้วย

เมื่อพิจารณาชนิดของแป้งดัดแปรต่อค่า Thixotropic พบว่าตัวอย่างที่ผลิตจากแป้ง HDP มีค่า Thixotropic สูงกว่าตัวอย่างที่ผลิตจากแป้งชนิดอื่นที่มีระดับการแทนที่ไขมันเท่ากัน ปรากฏการณ์เช่นนี้อาจเป็นผลมาจากการเม็ดแป้ง HPD ที่มีขนาดใหญ่อาจจะขัดขวางการคืนสภาพของโครงสร้าง รายงานเสนอหรือการคืนสภาพของอนุภาคเม็ดไขมัน และตัวอย่างที่ผลิตมาจากแป้ง SSO จะมีค่า Thixotropic ต่ำกว่าตัวอย่างที่ผลิตมาจากแป้งชนิดอื่น ๆ อาจเป็นผลมาจากการแป้ง SSO สามารถสร้างอันตรกิริยาไฮโดรโฟบิกระหว่างสายโพลีแซคคาโรค์ด้วยกันเอง หรือระหว่างสายโพลีแซคคาโรค์กับอนุภาคเม็ดไขมันจึงเป็นการช่วยให้ตัวอย่างมีการคืนสภาพได้เร็วขึ้น

ส่วนคุณสมบัติค้านวีสโโคอีลาสติกของmanyongen สพบว่า ช่วงความเครียดร้อยละ 0.1 ถึง 8 เป็นช่วงที่ทุกตัวอย่างมีค่ามอดุลลัสสัมสมเป็นเส้นตรง (ภาคผนวกฎปท. บ.3 ถึง บ.5) ดังนั้นการวัดแบบ Frequency sweep เพื่อศึกษาลักษณะโครงสร้างของตัวอย่างจึงใช้ความเครียดคงที่ ที่ร้อยละ 0.5 ผลการทดลอง (รูปที่ 4.6) พบว่าตัวอย่าง manyongen สถาํกตัวอย่างแสดงคุณสมบัติคล้ายเจล (Gel-like structure) โดยพบว่าค่ามอดุลลัสสัมสมสูงกว่าค่ามอดุลลัสสูญเสียตลอดช่วงความถี่ที่ใช้วัด แสดงว่า ตัวอย่างดังกล่าวแสดงคุณสมบัติของส่วนที่เป็นของแข็ง ได้มากกว่าส่วนที่เป็นของเหลว โดยคุณสมบัติค้านวีสโโคอีลาสติกของmanyongen เป็นผลมาจากการสร้าง Interlinked network structure ของโปรตีนไฟเบอร์ ทำให้เกิดการจัดเรียงตัวของอนุภาคเม็ดไขมันให้เป็นโครงสร้างของ manyongen (Kiosseoglou and Sherman, 1983) และตัวอย่างที่มีปริมาณอนุภาคไขมันมากกว่า จะมีค่ามอดุลลัสสัมสมสูงกว่าตัวอย่างที่มีปริมาณไขมันน้อย เนื่องจากอนุภาคเม็ดไขมันจะเป็นตัวกำหนดลักษณะคล้ายเจลของmanyongen (Ma and Barbosa-Canovas, 1995) ขณะเดียวกันค่ามอดุลลัสสัมสมจะมีความสัมพันธ์โดยตรงกับขนาดอนุภาคเม็ดไขมัน โดยตัวอย่างที่มีขนาดอนุภาคเม็ดไขมันเล็ก ตัวอย่างจะแสดงพฤติกรรมคล้ายของแข็งมากกว่า หรือแสดงด้วยค่ามอดุลลัสสัมสมสูงกว่า ตัวอย่างที่มีขนาดอนุภาคเม็ดไขมันขนาดใหญ่ (Langton et al., 1999; Marutama, Sakashita, Hagura and Suzuki 2006; Worrasinchai et al., 2006)

ผลการทดลองพบว่า manyongen สถาํกตัวอย่างที่เตรียมจากแป้ง HDP เป็นสารทดแทนไขมันรวมถึงตัวอย่าง 25S10 และ 50S10 มีค่ามอดุลลัสสัมสมสูงกว่าตัวอย่าง FF (ตารางที่ 4.5) แม้ว่า ตัวอย่างเหล่านี้จะมีปริมาณไขมันต่ำกว่า ส่วนหนึ่งเป็นผลมาจากการตัวอย่างเหล่านี้มีขนาดอนุภาคเม็ดไขมันที่เล็กกว่า จึงทำให้ค่ามอดุลลัสสัมสมสูงกว่า และเม็ดแป้ง HDP ยังทำหน้าที่เป็นเสมือนอนุภาคที่ส่งผลให้ค่ามอดุลลัสสัมสมมีค่าสูงขึ้นด้วย

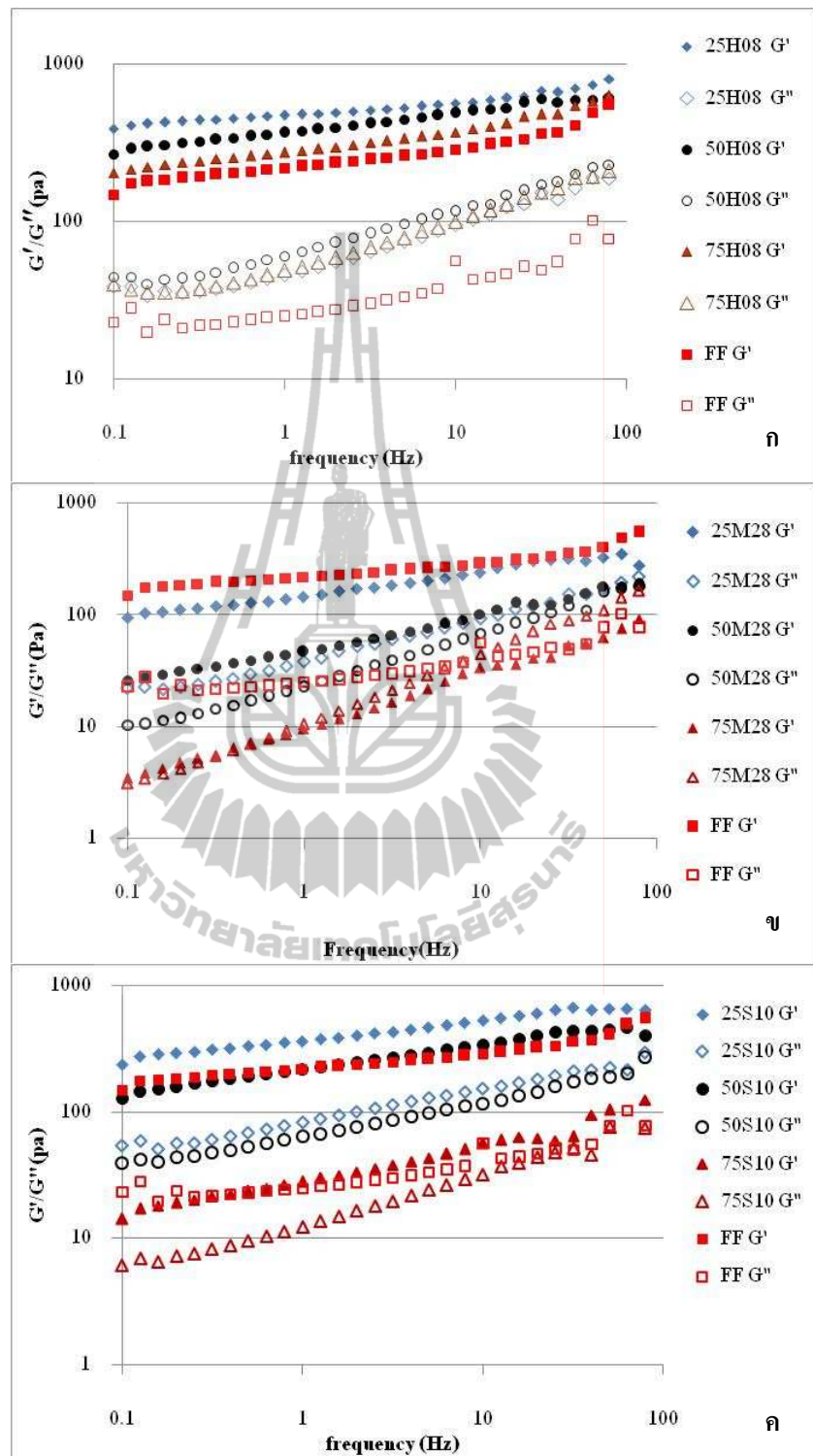
ในขณะที่ตัวอย่างที่เตรียมโดยใช้แป้ง MD เป็นสารทดแทนไขมันทุกตัวอย่างที่ระดับการแทนที่ไขมันเท่ากัน พบว่าค่ามอดุลลัสสัมสมมีค่าต่ำกว่าตัวอย่างที่เตรียมจากแป้งดัดแปรชนิดอื่น และยังต่ำกว่า FF อย่างมีนัยสำคัญ ($p \leq 0.5$)

ตารางที่ 4.5 คุณสมบัติด้านวิทยาการแสขของน้ำยาองเนส

ตัวอย่าง	K (Pa.s)	Flow behavior index (n)	Thixotropic (Pa/s)	Viscosity (Pa.s)	Storage modulus (Pa)
FF	43.54 ± 3.85 ^d	0.2850±0.021 ^d	6802 ± 112 ^b	2.663± 0.002 ^{de}	220.15±9.12 ^d
25H08	79.94±3.31 ^g	0.2094±0.01 ^b	24910±4426 ^c	3.424± 0.186 ^f	458.15±19.37 ^g
50H08	48.93±14.2 ^f	0.2513±0.053 ^b	14835±2662 ^d	2.542± 0.217 ^d	367.78±11.82 ^f
75H08	29.15±1.59 ^c	0.3002±0.01 ^d	8511±506 ^b	1.922± 0.442 ^c	279.85±11.30 ^c
25M28	82.29±2.67 ^h	0.1083±0.009 ^a	23710±1148 ^c	2.628± 0.095 ^{de}	140.40±9.92 ^c
50M28	13.69±2.31 ^b	0.4710±0.024 ^f	7499±584 ^b	1.815 ±0.163 ^c	46.81±7.78 ^b
75M28	6.70±1.17 ^a	0.5402±0.015 ^g	5816±632 ^{ab}	1.161±0.139 ^b	9.51±1.90 ^a
25S10	97.68±8.67 ⁱ	0.2423± 0.036 ^c	16412±805 ^d	4.887±0.104 ^g	363.88±38.29 ^f
50S10	51.24±2.21 ^c	0.2558±0.009 ^c	12193±603 ^c	2.790±0.121 ^e	216.05±7.18 ^d
75S10	6.88±2.72 ^a	0.4104±0.005 ^c	3026±1146 ^a	0.942±0.011 ^a	27.96±11.48 ^{ab}

หมายเหตุ : ค่าเฉลี่ย ± ค่าเบี่ยงเบนมาตรฐาน ที่มีตัวอักษรภาษาอังกฤษที่แตกต่างกันในแนวตั้ง หมายถึงมีความแตกต่างกันอย่างมีนัยสำคัญทางสถิติ ($p \leq 0.05$)

เมื่อพิจารณาค่าแทนเดลต้า ($(\tan(\delta))$) ที่คำนวนได้จากอัตราส่วนของมอคูลัสสูญเสียต่อ มอคูลัสสะสม (G''/G') ซึ่งเป็นค่าที่แสดงสัดส่วนของการแสดงสถานะของการเป็นวัสดุให้หนึ่ง ต่อสถานะการยืดหยุ่น โดยตัวอย่างที่มีค่าแทนเดลต้าน้อยกว่า 1 แสดงว่าตัวอย่างแสดงลักษณะของแข็งมากกว่าของเหลว และถ้ามีค่ามากกว่า 1 แสดงว่าตัวอย่างแสดงลักษณะความเป็นของเหลว มากกว่า ผลการทดลองพบว่าตัวอย่าง FF, 25H08, 50H08, 75H08, และ 25S10 มีค่าแทนเดลต้าน้อยกว่า 1 และมีค่าค่อนข้างคงที่ตลอดช่วงความถี่ที่วัด (ข้อมูลไม่ได้แสดง) ตัวอย่าง 50S10, 75S10 และ 25M28 ค่าแทนเดลต้าแนวโน้มเข้าใกล้ 1 ที่ระดับความถี่สูง ๆ ส่วนตัวอย่าง 75M28 มีค่าแทนเดลต้าอยู่ในช่วง 0.90 ถึง 1.99 ตลอดช่วงความถี่ที่ใช้ัดแสดงให้เห็นว่าตัวอย่างแสดงลักษณะของแข็งมากกว่าการแสดงลักษณะของแข็ง



รูปที่ 4.6 คุณสมบัติเวสโโคอิเลาสติกของมายองเนสสูตรไขมันต์ โดยวัดในโหมดของ Frequency Sweep ที่มีค่า strain ร้อยละ 0.5 สัญลักษณ์ที่บ่งแสดงค่ามอดูลัสสัมและ สัญลักษณ์ ไปรงแสดงค่ามอดูลัสสูญเสีย ที่ไดรีym จากแป้ง HDP (η), MD (χ), และ SSO (κ)

4.3.6 ความสัมพันธ์ของระดับการแทนที่ไขมันจากแป้งคัดแปรแต่ละชนิดต่อคุณสมบัติทางกายภาพของมายองเนส

เมื่อนำคุณสมบัติทางกายภาพของมายองเนสที่เตรียมโดยใช้แป้งแต่ละประเภทเป็นสารทดแทนไขมัน มาวิเคราะห์สมการทดสอบอยพหุคุณเชิงเส้น r (Maruyama et al., 2006) เพื่อคุ้มครองสัมพันธ์ระหว่างปริมาณการแทนที่ไขมันหรือปริมาณน้ำมันในตัวอย่างกับคุณสมบัติทางกายภาพ (ตารางที่ 4.6 ถึง 4.8) พบว่าตัวอย่างมายองเนสที่ใช้แป้ง HDP เป็นสารทดแทนไขมัน ปริมาณการแทนที่ไขมันจะมีความสัมพันธ์กับคุณสมบัติทางกายภาพของมายองเนสได้แก่ ค่าความสว่าง ขนาดอนุภาคเม็ดไขมัน ค่าความหนืด ค่ามอคูลัสสะสม ค่าความแน่นเนื้อ ค่าการยึดเกาะ ค่าดัชนีความคงตัว ค่า n และ ค่า Thixotropic ส่วนขนาดอนุภาคเม็ดไขมันจะมีความสัมพันธ์กับค่าความสว่าง ค่าความหนืด ค่ามอคูลัสสะสม ค่าความแน่นเนื้อ ค่าการยึดเกาะ ค่าดัชนีความคงตัว ค่า n และ ค่า Thixotropic อย่างมีนัยสำคัญทางสถิติ ($p \leq 0.05$) (ตารางที่ 4.6)

คุณสมบัติทางกายภาพของมายองเนสที่เตรียมโดยใช้แป้ง MD เป็นสารทดแทนไขมันพบว่า ปริมาณการแทนที่ไขมันหรือปริมาณน้ำมันมีความสัมพันธ์กับ ค่าความสว่าง ค่า a^* ค่า b^* ขนาดอนุภาคเม็ดไขมัน ค่าความหนืด ค่ามอคูลัสสะสม ค่าความแน่นเนื้อ ค่าการยึดเกาะ ค่าดัชนีความคงตัว n และ ค่า Thixotropic ส่วนขนาดอนุภาคเม็ดไขมันจะมีความสัมพันธ์กับค่าความสว่าง ค่าความหนืด ค่ามอคูลัสสะสม ค่าความแน่นเนื้อ ค่าการยึดเกาะ ค่าดัชนีความคงตัว ค่า n และ ค่า Thixotropic อย่างมีนัยสำคัญทางสถิติ ($p \leq 0.05$) (ตารางที่ 4.7)

ตัวอย่างที่ใช้แป้ง SSO เป็นสารทดแทนไขมัน พบว่าปริมาณน้ำมันมีความสัมพันธ์กับคุณสมบัติทางกายภาพคือ ขนาดอนุภาคเม็ดไขมัน ค่าความหนืด ค่ามอคูลัสสะสม ค่าความแน่นเนื้อ ค่าการยึดเกาะ ค่าดัชนีความคงตัว ค่า n และ ค่า Thixotropic ส่วนขนาดอนุภาคเม็ดไขมันจะมีความสัมพันธ์กับค่าความหนืด ค่ามอคูลัสสะสม ค่าความแน่นเนื้อ ค่าการยึดเกาะ ค่าดัชนีความคงตัว และ ค่า Thixotropic อย่างมีนัยสำคัญทางสถิติ ($p \leq 0.05$) (ตารางที่ 4.8)

จากการใช้สมการทดสอบอยพหุคุณเชิงเส้นเพื่อหาความสัมพันธ์ระหว่างการแทนที่ไขมันด้วยแป้งคัดแปรและขนาดอนุภาคเม็ดไขมันกับคุณสมบัติทางกายภาพของมายองเนส พบว่าระดับการแทนที่ไขมันด้วยแป้งคัดแปรและขนาดอนุภาคเม็ดไขมัน มีผลต่อคุณสมบัติทางกายภาพของมายองเนสสูตรไขมันต่ำ แตกต่างกันตามชนิดของแป้งคัดแปรที่นำมาใช้เป็นสารทดแทนไขมัน

ตารางที่ 4.6 Pearson's correlation coefficients ของมายอยองเนสที่ใช้เปลี่ยง HDP เป็นสารทดแทนไขมันกับคุณสมบัติทางกายภาพ

	1	2	3	4	5	6	7	8	9	10	11
1. ระดับการแทนที่ (%)	1										
2. L*	0.896**	1.000									
3. a*	0.438	0.578	1.000								
4. b*	-0.155	-0.350	-0.948***	1.000							
5. เม็ดไขมัน (μm)	0.999***	0.894**	0.459	-0.175	1.000						
6. ความหนืด (Pa.s)	-0.998***	-0.879**	-0.450	0.169	-0.998***	1.000					
7. มอคูลัสสะสม (Pa)	0.955***	-0.879**	-0.268	-0.01	-0.949***	0.94***	1.000				
8. ความแน่นหนืด(g)	-0.996***	-0.883**	-0.429	0.150	-0.992***	0.995***	0.987***	1.000			
9. การยึดเกาะ(g.s)	-0.823**	-0.729*	-0.566	0.370	-0.830**	0.826**	0.858**	0.839**	1.000		
10. ตัวชี้วัดความคงด้า (Pa.s)	-0.965***	-0.771*	-0.222	-0.078	-0.961***	0.966***	0.938***	0.966***	-0.747*	1.000	
11. Flow behavior index (n)	0.850**	0.642*	-0.082	0.376	0.838**	-0.842**	-0.833**	-0.857**	0.583	-0.947***	1.000
12. Thixotropic (Pa/s)	-0.924***	-0.776*	-0.431	0.173	-0.918***	0.932***	0.903**	0.952***	-0.798**	0.915***	-0.809**

หมายเหตุ : *** มีนัยสำคัญทางสถิติที่ ($p \leq 0.0$)

** มีนัยสำคัญทางสถิติที่ ($p \leq 0.01$)

* มีนัยสำคัญทางสถิติที่ ($p \leq 0.05$)

ตารางที่ 4.7 Pearson's correlation coefficients ของมายองเนนส์ที่ใช้เป็น MD เป็นสารทดแทนไขมันกับคุณสมบัติทางกายภาพ

	1	2	3	4	5	6	7	8	9	10	11
1. ระดับแทนที่(%)	1.000										
2. L*	-0.926**	1.000									
3. a*	-0.752*	0.942**	1.000								
4. b*	0.895**	-0.997***	-0.963*	1.000							
5. เม็ดไขมัน (μm)	0.845*	-0.752*	-0.567	0.717	1.000						
6. ความหนืด (Pa.s)	-0.996***	0.891**	0.694	-0.854*	-0.791*	-0.839*	1.000				
7. มอดูลัสสั่งสม (Pa)	0.948**	0.768*	0.518	-0.717	-0.972***	0.972***	1.000				
8. ความแน่นแน่น (g)	-0.962**	0.794*	0.548	-0.746*	-0.868**	0.980***	0.989**	1.000			
9. การยึดเกาะ(g.s)	-0.965***	0.888**	0.701	-0.86*	-0.901**	0.959**	0.903***	0.948**	1.000		
10. ดัชนีความคงตัว (Pa)	-0.889**	0.672	0.391	-0.615	-0.778*	0.934**	0.987***	0.979***	-0.877*	1.000	
11. Flow behavior index (n)	0.923**	-0.711	-0.442	0.657	0.796*	-0.952**	-0.993***	-0.988***	0.898**	-0.998***	1.000
12. Thixotropic (Pa/s)	-0.909**	0.687	0.413	-0.633	-0.791*	0.940**	0.981***	0.981***	-0.897**	0.996***	-0.997***

หมายเหตุ : *** มีนัยสำคัญทางสถิติที่ ($p \leq 0.001$)

** มีนัยสำคัญทางสถิติที่ ($p \leq 0.01$)

* มีนัยสำคัญทางสถิติที่ ($p \leq 0.05$)

ตารางที่ 4.8 Pearson's correlation coefficients ของมายองเนนส์ที่ใช้เปลี่ยง SSO เป็นสารทดแทนไขมันกับคุณสมบัติทางกายภาพ

	1	2	3	4	5	6	7	8	9	10	11
1. ระดับแทนที่ (%)	1.000										
2. L*	0.031	1.000									
3. a*	0.145	0.898**	1.000								
4. b*	0.117	-0.906**	-0.958**	1.000							
5. เม็ดไขมัน (μm)	-0.944**	0.176	-0.013	-0.249	1.000						
6. ความหนืด (Pa.s)	-0.997***	-0.040	-0.174	-0.093	0.934**	1.000					
7. มอคูลลัสสะสม (Pa)	0.999***	-0.025	-0.154	-0.113	0.952**	0.997***	1.000				
8. ความแน่นเนื้อ(g)	-0.985***	0.057	-0.014	-0.237	0.947**	0.97***	0.981***	1.000			
9. การขึ้นๆ กาง(g.s)	-0.99***	0.011	-0.141	-0.111	0.952**	0.987***	0.990***	0.974***	1.000		
10. ดัชนีความคงตัว (Pa)	-0.997***	-0.085	-0.206	-0.058	0.927**	0.998***	0.997***	0.971***	-0.985***	1.000	
11. Flow behavior index (n)	0.964***	-0.197	-0.116	0.372	-0.950**	-0.951**	-0.962**	-0.987***	0.95**	-0.944**	1.000
12. Thixotropic (Pa/s)	-0.977***	0.172	0.046	-0.300	0.967***	0.968***	0.977***	0.987***	-0.980***	0.962**	-0.99***

หมายเหตุ : *** มีนัยสำคัญทางสถิติที่ ($p \leq 0.001$)

** มีนัยสำคัญทางสถิติที่ ($p \leq 0.01$)

* มีนัยสำคัญทางสถิติที่ ($p \leq 0.05$)

4.4 อิทธิพลความเข้มข้นของแป้งดัดแปรในมายองเนสสูตรไนมันต่อคุณสมบัติทางกายภาพ

การผลิตมายองเนสใช้การค้าอาจมีความจำเป็นต้องใช้สารทดแทนไนมันที่มีความเข้มข้นแตกต่างกัน ทั้งนี้ขึ้นอยู่กับปริมาณไนมันที่ต้องการถูกทดแทน ลักษณะเนื้อสัมผัสที่ต้องการ ความเสถียรของผลิตภัณฑ์ และข้อจำกัดของต้นทุนในการผลิตของผู้ผลิต จากการทดลองพบว่าการเตรียมแป้ง HDP ที่ร้อยละ 8 แป้ง SSO ที่ร้อยละ 10 และแป้ง MD ที่ร้อยละ 28 ให้คุณสมบัติทางกายภาพส่วนใหญ่ที่ใกล้เคียงกับมายองเนสสูตร FF ที่ระดับการแทนไนมันเพียงร้อยละ 50 เท่านั้น ดังนั้น การทดลองในขั้นตอนนี้จึงใช้วิธีเพิ่มความเข้มข้นของแป้งดัดแปรในการใช้เป็นสารทดแทนไนมันในมายองเนส เพื่อศึกษาความสามารถใช้งานน้ำที่ของแป้งแต่ละชนิดในการเป็นสารทดแทนไนมันและเพื่อเป็นแนวทางในการผลิตมายองเนสที่มีการใช้แป้งดัดแปรที่ระดับการแทนที่สูง ๆ ให้เทียบเท่าหรือมากกว่าที่ระดับการแทนที่ไนมันร้อยละ 75 ของปริมาณไนมันเต็ม จากรูปที่ 4.1 แป้ง HDP มีความสามารถละลายน้ำเย็นได้สูงสุดที่ร้อยละ 10 และมีความหนืด 7.73 พาสคาล.วินาที แป้ง MD สามารถละลายและสร้างเจลที่ให้ลักษณะอ่อนนุ่มได้ที่ความเข้มข้นร้อยละ 30 และมีความหนืด 5.942 พาสคาล.วินาที ในขณะที่แป้ง SSO ความเข้มข้นร้อยละ 15 มีความหนืด 1.642 พาสคาล.วินาที และจากหัวข้อ 4.3.5 เมื่อนำข้อมูลไป進行สมการลดคลอยพหุคุณเชิงเส้นพบว่าปริมาณการแทนที่ไนมันจะมีความสัมพันธ์อย่างมีนัยสำคัญต่อขนาดอนุภาคเม็ดไนมัน ค่าความสว่าง ค่าความหนืด ค่ามอคูลลัสสะสม ค่าความแน่นเนื้อ ค่าการยึดเกาะ และค่าดัชนีความคงตัว (ตารางที่ 4.6 ถึง 4.8) ดังนั้นในการศึกษาอิทธิพลของความเข้มข้นของแป้งดัดแปรแต่ละชนิด ต่อลักษณะทางกายภาพของมายองเนสในขั้นตอนนี้ จึงเลือกพิจารณาถึงอิทธิพลของความเข้มข้นของแป้งโดยแยกพิจารณา แป้งดัดแปรแต่ละชนิดต่อขนาดอนุภาคเม็ดไนมัน ค่าความแน่นเนื้อ ดัชนีความคงตัวและมอคูลลัสสะสม (ตารางที่ 4.9)

4.4.1 ผลของความเข้มข้นของแป้งดัดแปรต่อขนาดอนุภาคและการกระจายตัวของอนุภาคเม็ดไนมัน

รูปที่ 4.7 แสดงการกระจายตัวของอนุภาคเม็ดไนมันที่วัดจากเครื่องวัด Laser particle size analyzer ที่ใช้แป้งดัดแปร HDP เป็นสารทดแทนไนมัน โดยเปรียบเทียบการกระจายตัวของเม็ดไนมันที่ใช้แป้งที่ระดับความเข้มข้นแตกต่างกัน

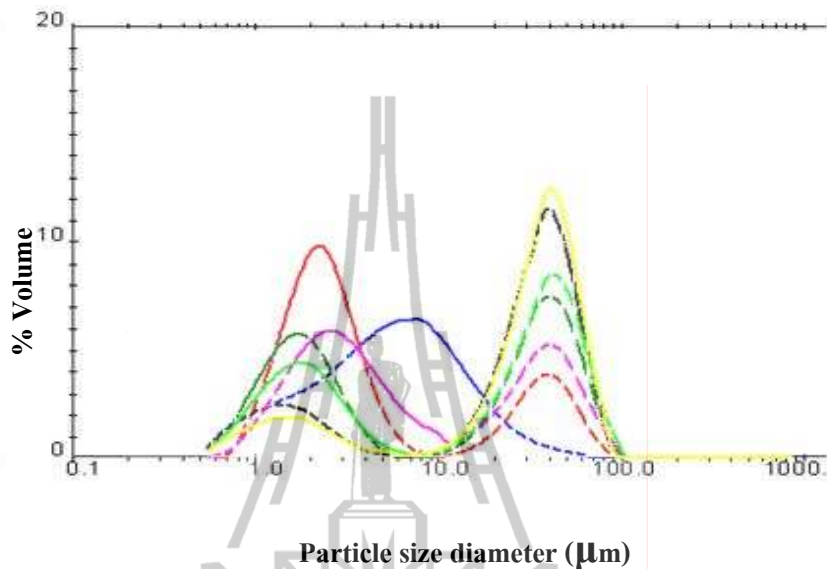
ผลของความเข้มข้นของแป้งดัดแปรต่อขนาดอนุภาคและการกระจายตัวของอนุภาคเม็ดไนมันในตัวอย่างมายองเนสที่ใช้ HDP เป็นสารทดแทนไนมันพบว่า การเพิ่มความเข้มข้นของแป้งมีผลทำให้ค่า D_{43} มีค่าสูงขึ้นอย่างมีนัยสำคัญทางสถิติ ($p \leq 0.05$) ซึ่งเป็นผลมาจากการเพิ่มปริมาณของเม็ดแป้งในระบบ แต่เมื่อพิจารณากราฟการกระจายตัวของอนุภาคเม็ดไนมันในตัวอย่างมายองเนสพบว่า ที่ระดับการแทนที่ไนมันร้อยละ 25 และเพิ่มความเข้มข้นของแป้งจากร้อยละ 8

เป็นร้อยละ 10 มีผลทำให้กราฟการกระจายตัวของอนุภาคเม็ดไบมันช่วงแรก มีขนาดของอนุภาค กว้างขึ้นดังรูปที่ 4.7 ซึ่งอาจอธิบายได้ว่า เมื่อเพิ่มปริมาณความเข้มข้นของแป้งหรือเพิ่มเม็ดแป้งในระบบอิมัลชัน ทำให้การเคลื่อนที่ของอิมัลซิไฟเออร์เพื่อไปล้อมจับรอบอนุภาคเม็ดไบมันช้าลง ความหนืดของเฟสต่อเนื่องที่สูงขึ้นอาจทำให้ประสิทธิภาพของแรงที่ใช้เพื่อลดขนาดอนุภาคเม็ดไบมันในขั้นตอนการโซโนมิจีไนซ์ลดลงด้วย และนอกจากนี้การเพิ่มขั้นของเม็ดแป้ง HDP อาจ ส่งเสริมให้เกิด Depletion flocculation ของเม็ดไบมันและส่งเสริมให้ออนุภาคเม็ดไบมันที่ผ่านกระบวนการลดขนาดแล้วเกิดการรวมตัวกันอีกรึ ได้ดังขึ้น จากเหตุผลดังกล่าวจึงอาจส่งผลให้ขนาดอนุภาคเม็ดไบมันของตัวอย่าง 25H10 มีขนาดใหญ่กว่า 25H08 เนื่นได้จากการกระจายตัวของอนุภาคเม็ดไบมันที่กว้างขึ้น ในขณะที่ตัวอย่างที่มีการแทนที่ไบมันร้อยละ 50 และ 75 ซึ่งในระบบมีความเข้มข้นของน้ำมันน้อยกว่า ทำให้โอกาสที่อนุภาคเม็ดไบมันที่ผ่านการลดขนาดแล้วมาชนกันในระหว่างกระบวนการโซโนมิจีไนซ์น้อยกว่า จึงส่งผลให้การกลับมารวมตัวกันของอนุภาคเม็ดไบมันมีน้อยตามไปด้วย ดังนั้นปริมาณเม็ดแป้งที่เพิ่มขึ้นจะไม่มีผลต่อการกระจายตัวของเม็ดไบมันในตัวอย่างที่มีการแทนที่ไบมันด้วยแป้ง HDP ที่ร้อยละ 50 และ 75

ส่วนตัวอย่างที่ใช้ MD เป็นสารทดแทนไบมันพบว่าค่า D_{43} มีแนวโน้มลดลงเมื่อเพิ่มความเข้มข้นของ MD ที่ระดับการแทนที่ไบมันเท่ากัน (ตารางที่ 4.9) เนื่องจาก การเพิ่มความเข้มข้นของเจลแป้ง MD จะทำให้ระบบมีความหนืดสูงขึ้น ส่งผลให้ออนุภาคเม็ดไบมันที่ผ่านกระบวนการลดขนาดแล้ว มีโอกาสการชนกันและกลับมารวมตัวกันอีกรึ ได้น้อยกว่าตัวอย่างที่มีความหนืดต่ำกว่า (McClements, 2005) ดังนั้นการเพิ่มความเข้มข้นของเจลแป้ง MD จึงเป็นการเพิ่มความเสถียรให้กับอนุภาคเม็ดไบมันในระบบมายองเนส และการที่โครงสร้างเจลของแป้ง MD ไม่ทนต่อแรงเฉือนในระหว่างการโซโนมิจีไนซ์ ส่งผลให้การเพิ่มความเข้มข้นของ MD ไม่ทำให้ความหนืดของระบบสูงมากเกินไป ที่จะขัดขวางประสิทธิภาพของเครื่องโซโนมิจีไนเซอร์เมื่อในกรณีของแป้ง HDP

กรณีการใช้แป้ง SSO เป็นสารทดแทนไบมันพบว่า เมื่อเพิ่มความเข้มข้นของแป้ง SSO ที่ระดับการแทนที่ไบมันเท่ากันมีผลทำให้ออนุภาคเม็ดไบมันมีแนวโน้มลดลง ($p \leq 0.05$) (ตารางที่ 4.9) โดยสามารถอธิบายได้ 2 เหตุผลคือ อาจเป็นผลมาจากการแป้ง SSO มีคุณสมบัติเป็นอิมัลซิไฟเออร์ ซึ่งการเพิ่มปริมาณของอิมัลซิไฟเออร์จะทำให้สามารถลดขนาดอนุภาคเม็ดไบมัน ได้เล็กลง เนื่องจากมีปริมาณอิมัลซิไฟเออร์ที่มากทำให้สามารถเข้าไปจับอนุภาคเม็ดไบมัน ได้กว่าและช่วยลดแรงตึงผิวระหว่างน้ำกับน้ำมัน ได้กว่า จึงทำให้ง่ายต่อการลดขนาดอนุภาคเม็ดไบมันในระหว่างขั้นตอนการโซโนมิจีไนซ์ อีกเหตุผลอาจเกิดจากการเพิ่มความเข้มข้นของแป้ง SSO เป็นการเพิ่มความหนืดให้กับเฟสต่อเนื่อง ซึ่งทำให้ลดโอกาสที่อนุภาคเม็ดไบมันจะมาชนกันและเกิดการรวมตัวกัน ด้วยเหตุนี้ตัวอย่างมายองเนสที่ใช้แป้ง SSO เป็นสารทดแทนไบมันจึงมีขนาดอนุภาคเม็ดไบมันที่เล็กลงเมื่อเพิ่มความเข้มข้นของแป้งและการเพิ่มระดับการแทนที่ไบมันเป็นการเพิ่ม

สัดส่วนของอิมัลชีไฟเออร์ต่อน้ำมันให้เพิ่มขึ้น จึงทำให้ขนาดอนุภาคเม็ดไนโตรเจนลดลงตามไปด้วย



รูปที่ 4.7 การกระจายตัวของอนุภาคเม็ดไนโตรเจนในตัวอย่างmanyองเนส (—) FF, (—) 25H08, (—) 50H08, (—) 75H08, (—) 25H10, (—) 50H10, (—) 75H10

4.4.2 ผลของความเข้มข้นของแป้งคัดแปรต่อเนื้อสัมผัส

จากการทดลองพบว่าค่าความแน่นเนื้อในตัวอย่างmanyองเนส มีความสัมพันธ์กับความเข้มข้นของแป้ง และชนิดของแป้งคัดแปร โดยค่าความแน่นเนื้อของตัวอย่างmanyองเนส มีแนวโน้มสูงขึ้นเมื่อเพิ่มความเข้มข้นของแป้ง ยกเว้นตัวอย่าง 25H08 ที่มีค่าความแน่นเนื้อสูงกว่า 25H10 แม้ตัวอย่าง 25H08 มีความเข้มข้นของแป้ง HDP ต่ำกว่า ซึ่งอาจเป็นผลมาจากการตัวอย่าง 25H10 มีขนาดอนุภาคเม็ดไนโตรเจนที่ใหญ่กว่าตัวอย่าง 25H08 (รูปที่ 4.7) จึงเป็นเหตุผลที่ทำให้ตัวอย่าง 25H10 มีความแน่นเนื้อต่ำกว่าตัวอย่าง 25H08 ในขณะที่ตัวอย่างที่มีการแทนที่ไนโตรเจนร้อยละ 50 และ 75 ด้วยแป้ง HDP ค่าความแน่นเนื้อสูงขึ้นตามความเข้มข้นของแป้ง ส่วนการใช้แป้ง MD เป็นสารทดแทนไนโตรเจนพบว่าค่าความแน่นเนื้อมีแนวโน้มสูงขึ้นเล็กน้อย ($p>0.05$) ตามความเข้มข้นของแป้ง

ตัวอย่างที่เตรียมจากแป้ง SSO เป็นสารทดแทนไนโตรเจนพบว่าที่ระดับการแทนที่ไนโตรเจนเท่ากัน ค่าความแน่นเนื้อสูงขึ้นอย่างมีนัยสำคัญทางสถิติ ($p\leq 0.05$) (ตารางที่ 4.9) เมื่อความเข้มข้นของแป้งเพิ่มขึ้นเมื่อ การเพิ่มความเข้มข้นของแป้ง SSO อาจทำให้มีแป้งส่วนที่ละลายอยู่ในเฟสต่อเนื่องสร้างพันธะไฮโดรฟิบิคระหว่างสายโพลีเมอร์ที่อยู่ในเฟสต่อเนื่อง และ/หรือระหว่างโพลีเมอร์ที่ล้อมรอบอนุภาคเม็ดไนโตรเจนกับโพลีเมอร์ที่อยู่ในเฟสต่อเนื่อง และ/หรือการสร้างพันธะไฮโดรฟิบิค

ตารางที่ 4.9 เปรียบเทียบคุณสมบัติทางกายภาพของมายองเนนส์ที่ใช้แป้งดัดแปลงที่มีความเข้มข้น และมีระดับการแทนที่ไขมันแตกต่างกัน

ชนิดของ แป้ง	ระดับการ แทนที่ (%)	ความเข้มข้นของ แป้ง (%)	D ₄₃ (μm)	ความแน่นหนื้อ (g)	ดัชนีความคงตัว (Pa.s)	มอดูลัสสัศสม (Pa)	¹ น้ำมันที่แยกออก (%)
HDP	25	8	12.38± 0.47 ^a	60.06± 1.43 ^c	79.94±3.31 ^c	458.15 ±19.37 ^c	0
		10	16.77±1.06 ^b	50.14±3.45 ^b	ND	449.00 ±39.23 ^c	46.02 ± 1.79 ^b
	50	8	21.55± 1.24 ^c	50.98± 0.61 ^b	48.93±14.2 ^b	367.78± 11.82 ^b	0
		10	23.69±0.50 ^d	63.21± 5.28 ^c	ND	707.30 ±36.20 ^d	10.85 ± 2.17 ^a
	75	8	31.29± 0.51 ^e	41.74 ±0.15 ^a	29.15±1.59 ^a	279.85± 11.30 ^a	0
		10	34.55± 1.63 ^f	62.76± 0.37 ^c	ND	696.55 ±11.78 ^d	0
MD	25	28	7.89± 0.02 ^{bc}	34.54 ±0.52 ^d	82.29±2.67 ^d	140.40± 9.92 ^d	44.68 ± 1.54 ^c
		30	6.65 ±0.014 ^a	36.43 ±1.24 ^d	112.7±5.43 ^c	224.11 ±41.53 ^e	43.68 ± 0.84 ^c
	50	28	8.88± 1.15 ^{cd}	23.74± 1.26 ^{bc}	13.69±2.31 ^b	46.81 ±7.78 ^b	27.05 ± 2.30 ^b
		30	7.32± 0.11 ^{ab}	26.11± 1.28 ^c	20.13±1.32 ^c	56.58 ±4.83 ^c	20.68 ± 9.07 ^b
	75	28	9.71± 0.08 ^d	19.80 ±0.01 ^a	6.698±1.17 ^a	9.51 ±1.90 ^a	12.67± 0.31 ^a
		30	9.28± 0.19 ^d	21.33 ±1.91 ^{ab}	11.74±3.15 ^b	20.60± 5.99 ^{ab}	10.52 ±0.82 ^a
SSO	25	10	4.25 ±0.24 ^d	70.82 ±0.90 ^d	97.68 ±8.67 ^e	363.88± 38.29 ^e	0
		15	2.95± 0.66 ^{bc}	96.69± 3.85 ^f	177.1±5.91 ^f	398.23 ±11.06 ^f	0
	50	10	3.56 ±0.01 ^{cd}	52.70 ±3.84 ^c	51.24±2.21 ^c	216.05± 7.18 ^c	0
		15	2.69 ±0.26 ^{bc}	82.68 ±3.73 ^e	67.42±2.27 ^d	320.28± 7.60 ^d	0
	75	10	2.16 ±0.56 ^b	21.74 ±1.67 ^a	6.885±2.72 ^a	27.96 ±11.48 ^a	0
		15	1.66± 0.39 ^a	34.09 ±1.36 ^b	17.93±1.56 ^b	69.71± 8.74 ^b	0

หมายเหตุ : ค่าเฉลี่ย ± ค่าเบี่ยงเบนมาตรฐาน ที่มีตัวอักษรภาษาอังกฤษแตกต่างกันในแนวตั้งหมายถึงแตกต่างกันอย่างมีนัยสำคัญทางสถิติ ($p \leq 0.05$) โดยเปรียบกับแป้งดัดแปลงที่มีความเข้มข้น 10% และมีระดับการแทนที่ไขมัน 10% ที่ไม่ได้ระบุ

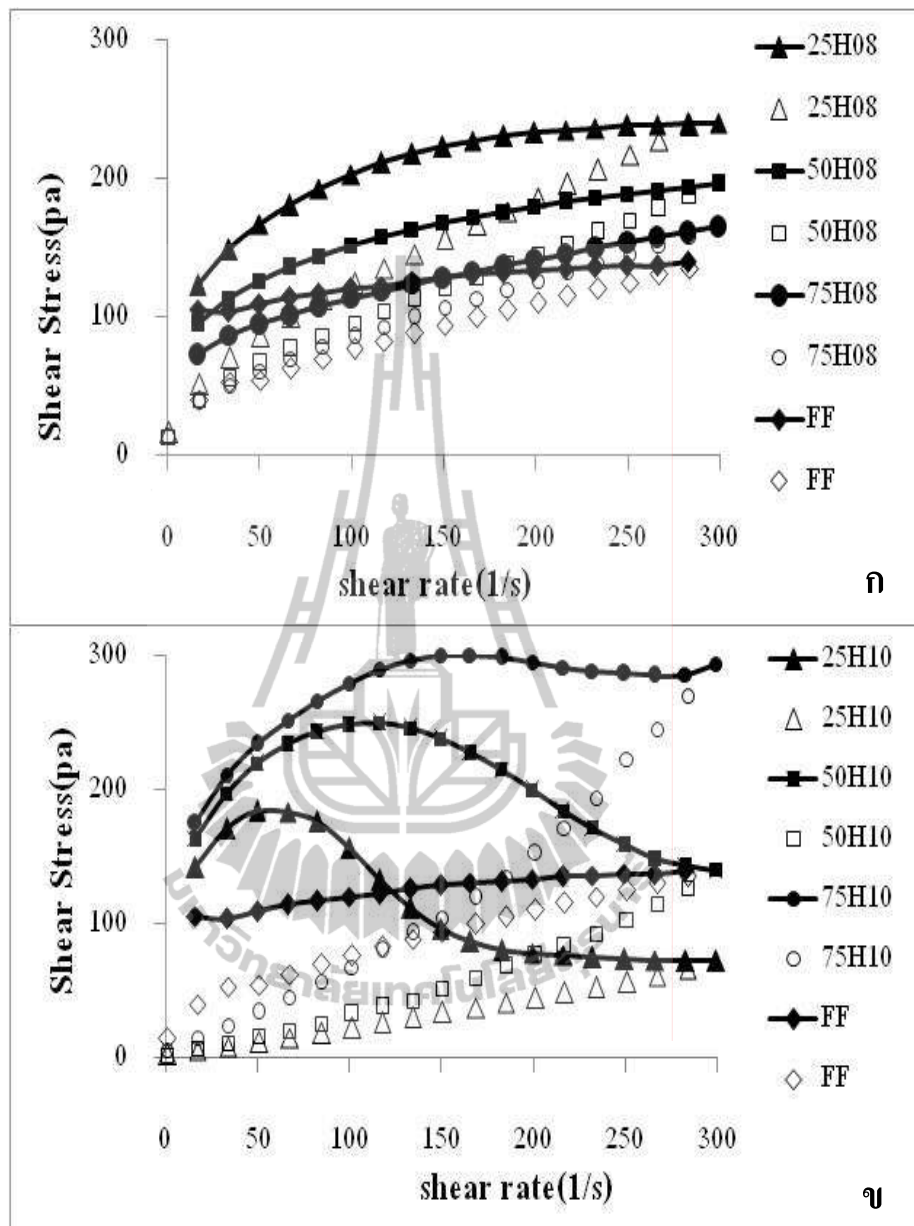
ND ไม่สามารถวิเคราะห์ข้อมูลได้ และ ¹ ปริมาณน้ำมันที่แยกออกคือวิธีการปั่นเหลว

ระหว่างโพลีเมอร์ที่ล้อมรอบอนุภาคเม็ดไบมันด้วยกันเอง และการเพิ่มความเข้มข้นของแป้งมีผลทำให้ขนาดอนุภาคเม็ดไบมันเล็กลง จึงเป็นเหตุผลที่ทำให้ค่าความแน่นเนื้อมีค่าสูงขึ้น

4.4.3 ผลของความเข้มข้นของแป้งดัดแปรต่อคุณสมบัติด้านวิทยากระแส

จากตารางที่ 4.9 พบว่าที่ระดับการแทนที่ไบมันเท่ากัน การเพิ่มความเข้มข้นของแป้งดัดแปร มีผลทำให้ค่า K สูงขึ้น ยกเว้นกรณีที่ใช้แป้ง HDP เป็นสารทดแทนไบมัน พบว่าเมื่อเพิ่มความเข้มข้นของแป้งจากร้อยละ 8 เป็นร้อยละ 10 มีผลทำให้ปริมาณเม็ดแป้งในเฟสต่อเนื่องมีค่าสูงขึ้น และเมื่อวัดพฤติกรรมการไหลของตัวอย่างmanyong เนสท์แทนที่ไบมันด้วย HDP เข้มข้นร้อยละ 10 พบว่าขณะใส่แรงเฉือนให้กับตัวอย่างที่ระดับหนึ่ง ค่าความเค้นเฉือนลดลงอย่างรวดเร็ว อธิบายได้ว่าขณะให้แรงเฉือนแก่ตัวอย่าง ตัวอย่างจะไหลไปในทิศทางเดียวกันแรงที่ใส่ แล้วเม็ดแป้งที่มากเกินพอยในเฟสต่อเนื่องจะส่งเสริมให้เกิด Hydrodynamic flow ในระหว่างที่ใส่แรงเฉือนให้กับตัวอย่าง ทำให้ออนุภาคเม็ดไบมันเกิด Depletion flocculation และรวมตัวกันแยกชั้น ไบมันออกมา (Barnes, 1995) ชั้นของน้ำมันที่เกิดขึ้นจะทำตัวเองมีอนุภาระลดลง ระหว่างหัววัดส่งผลให้ค่าแรงเค้นลดลงอย่างรวดเร็วเรียกปรากฏการณ์ว่า Slipping effect (Barnes, 1995) จะเห็นได้จากลักษณะของกราฟรูปที่ 4.8 ของตัวอย่างที่เตรียมจากแป้ง HDP ที่ความเข้มข้นร้อยละ 10 โดยตัวอย่างที่มีปริมาณไบมันสูง แรงเค้นจะลดลงอย่างรวดเร็กว่าตัวอย่างที่มีปริมาณไบมันต่ำ โดยตัวอย่างที่มีปริมาณไบมันสูงทำให้โอกาสที่อนุภาคเม็ดไบมันจะมาชนกันและเกิดการรวมตัวกันและแยกเฟสเป็นไบมันมีมากกว่าในตัวอย่างที่มีปริมาณไบมันน้อยกว่า ดังนั้นตัวอย่างที่เกิดปรากฏการณ์ Slipping effect จึงไม่สามารถใช้กฎของ Power's law model มาวิเคราะห์ผลได้ แต่ปรากฏการณ์ดังกล่าวไม่พบในตัวอย่างที่เตรียมจากแป้ง SSO กับ MD

เมื่อพิจารณาอิทธิพลของความเข้มข้นของแป้งดัดแปรกับคุณสมบัติด้านวิสโโคอิสติก พบว่าเมื่อเพิ่มความเข้มข้นของแป้งดัดแปรมีแนวโน้มทำให้ค่ามอคูลัสสะสมเพิ่มขึ้นในทุกชนิดของแป้งที่ระดับการแทนที่ไบมันเท่ากัน (ตาราง 4.9) ยกเว้นค่ามอคูลัสสะสมของตัวอย่าง 25H08 มีค่าสูงกว่า 25H10 ซึ่งมีความสอดคล้องกับความแน่นเนื้อที่วัดได้จากเครื่องวัดเนื้อสัมผัสที่ได้อธิบายเหตุผลไว้ก่อนหน้านี้แล้ว ตัวอย่างmanyong เนสท์ที่เตรียมจากแป้ง MD ที่ระดับการแทนที่ไบมันร้อยละ 50 และ 75 การเพิ่มความเข้มข้นไม่มีผลต่อการเพิ่มค่ามอคูลัสสะสม ($p>0.05$) สำหรับตัวอย่างที่เตรียมจากแป้ง SSO พบว่าการเพิ่มความเข้มข้นมีผลทำให้ค่ามอคูลัสสะสมสูงขึ้น ($p\leq0.05$) แต่ทั้งนี้ค่ามอคูลัสสะสมของตัวอย่าง 75S10 และ 75S15 ยังมีค่าต่ำกว่าตัวอย่าง FF ซึ่งอาจเป็นผลมาจากการปริมาณไบมันที่น้อยกว่าจึงทำให้คุณสมบัติทางด้านวิสโโคอิสติกของmanyong เนสท์ลักษณะเป็นของเหลวมากกว่า



รูปที่ 4.8 พฤติกรรมการไหลของมายองเนสที่เตรียมจากแป้ง HDP ที่มีความเข้มข้นร้อยละ 8 (η)
และ 10 (η) ลักษณะที่บ่งแสดงค่า up flow ลักษณะโปรดงแสดงค่า down flow

4.4.4 ผลของความเข้มข้นของแป้งตัดแบร์ต่อความเสถียร

โดยปกติในตัวอย่างอิมัลชันที่มีปริมาณไขมันสูง อนุภาคเม็ดไขมันจะอยู่อย่างใกล้ชิดกันมากจนไม่สามารถเคลื่อนที่ได้ จึงทำให้อิมัลชันมีความเสถียร แต่เมื่อปริมาณน้ำมันลดลงมีผลให้ระยะห่างระหว่างอนุภาคเม็ดไขมันมีค่าสูงและตัวอย่างมีความหนืดคล่อง ส่งผลทำให้อนุภาคเม็ดไขมันเคลื่อนที่ได้ง่ายขึ้น ดังนั้นในการผลิตมายองเนสสูตรไขมันต่ำจึงมักมีการเติมสารเพิ่มความเข้ม

หนึ่ด เช่น สารประเททไบโอลิเมอร์เข้าไปในระบบอิมัลชัน เพื่อให้ระบบอิมัลชันมีความหนืดสูงขึ้นและการเคลื่อนที่ของอนุภาคเม็ดไบมัน ส่งผลให้ระบบอิมัลชันมีความเสถียร

เมื่อนำตัวอย่างที่ผลิตในสัปดาห์แรกไปทดสอบการแยกชั้นของไบมันด้วยเทคนิคการปั่น เหวี่ยงตามวิธีการของ Mun และคณะ (2009) ผลการทดลองพบว่าตัวอย่าง FF มีปริมาณน้ำมันที่แยกออกมากถึง 58.07 และตัวอย่างที่ใช้แป้ง MD เป็นสารทดแทนไบมันสูตร 25M28, 50M28 และ 75M28 พบรการแยกของไบมันออกจากตัวอย่างหลังปั่นเหวี่ยงมีค่าร้อยละ 44.68, 27.05 และ 12.67 ตามลำดับ และเมื่อเพิ่มความเข้มข้นของแป้ง MD เพิ่มขึ้นเป็นร้อยละ 30 พบรการแยกของน้ำมันลดลงเพียงเล็กน้อย ($p>0.05$)

ตัวอย่างมายองเนสที่ผลิตโดยใช้แป้ง HDP ที่มีความเข้มข้นของแป้งร้อยละ 8 ทุกตัวอย่างไม่พบรการแยกชั้นของไบมันหลังการปั่นเหวี่ยง แต่เมื่อเพิ่มความเข้มข้นของแป้งเป็นร้อยละ 10 พบร่วมกับการแยกชั้นของไบมันในตัวอย่าง 25H10 และ 50H10 ร้อยละ 46.02 และ 10.85 ตามลำดับ ซึ่งกรณีนี้เป็นผลมาจากการเพิ่มความเข้มข้นของแป้งจะทำให้มีเดคแป้งไปเบิกอนุภาคของเม็ดไบมันมากขึ้น เมื่อได้รับแรงจาก การปั่นเหวี่ยงจะทำให้มีเดคแป้งที่มากเกินพอเกิดการเคลื่อนที่หนีแรงศูนย์กลางและทำให้ออนุภาคเม็ดไบมันเกิดการ Depletion flocculation ได้มากขึ้นจึงเกิดการชนกันและรวมตัวกันได้มากกว่าตัวอย่างที่ใช้แป้ง HDP ที่ระดับการแทนที่ต่ำกว่า

ตัวอย่างที่ผลิตโดยใช้แป้ง SSO ไม่พบรการแยกชั้นของไบมัน ทั้งนี้อาจเป็นผลมาจากการอนุภาคเม็ดไบมันในตัวอย่างที่เตรียมโดย SSO มีขนาดเล็กและแป้ง SSO สามารถช่วยให้ออนุภาคเม็ดไบมันมีความเสถียรด้วยแรง Steric enhancement (Tesch et al., 2002)

จากการทดลองพบว่าปริมาณน้ำมันที่แยกออกจากตัวอย่างหลังการปั่นเหวี่ยงมีความสัมพันธ์โดยตรงกับปริมาณน้ำมันที่มีในมายองเนส การเพิ่มระดับแทนที่ไบมันทำให้มีปริมาณน้ำมันแยกออกจากตัวอย่างลดลง โดยตัวอย่าง FF มีน้ำมันแยกออกมากในปริมาณที่สูงเนื่องจากในระบบไม่มีสารเพิ่มความเข้มหนึ่ด เมื่อใส่แรงกระทำที่เป็นแรงปั่นเหวี่ยงจึงทำให้ออนุภาคเม็ดไบมันเกิดการรวมตัวกันได้ง่าย ทำให้ระบบไม่มีความเสถียร (Mun et al., 2009)

4.5 อิทธิพลของระยะเวลาการเก็บต่อคุณสมบัติทางเคมีภysisของมายองเนส

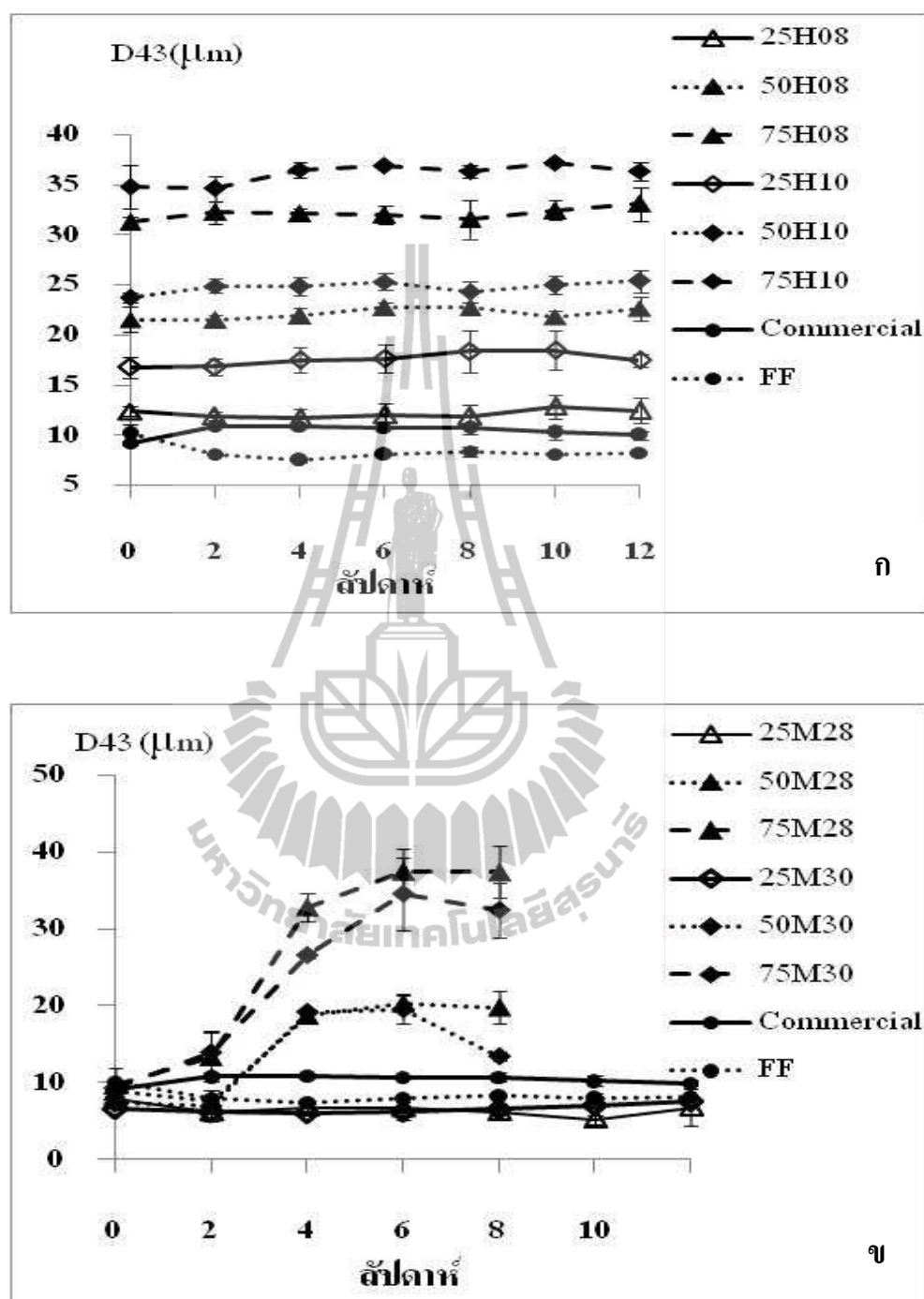
4.5.1 ผลของระยะเวลาการเก็บต่อขนาดอนุภาคเม็ดไบมัน

รูปที่ 4.9 แสดงการเปลี่ยนแปลงของค่า D_{43} ในมายองเนสตลอดระยะเวลาการเก็บ 3 เดือน เปรียบเทียบกับการเปลี่ยนแปลงของอนุภาคเม็ดไบมันในตัวอย่างมายองเนสเชิงการค้าที่ได้รับการอนุเคราะห์จากบริษัทอินโนเฟรช จำกัด จ.นครนายก ที่มีไบมันร้อยละ 40 หรือเทียบเท่ากับสูตรที่มีการแทนที่ไบมันที่ระดับร้อยละ 50 ผลการทดลองพบว่าไม่มีการเปลี่ยนแปลงของค่า D_{43} ของมายองเนสเชิงการค้าตลอดการเก็บ 3 เดือน

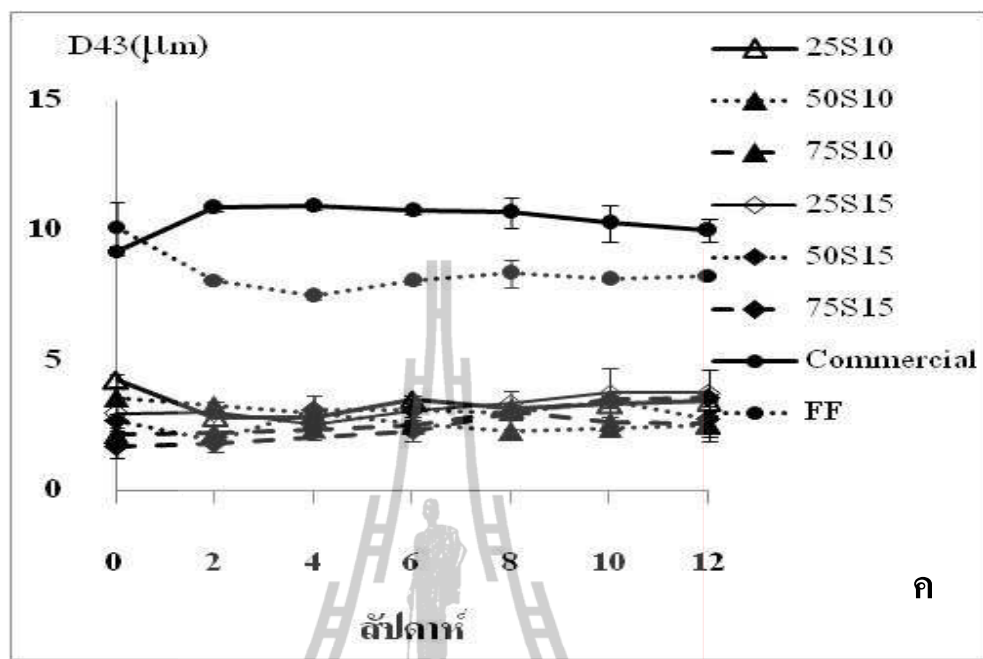
ตัวอย่างมายองเนสที่ใช้แป้ง HDP (รูปที่ 4.9 ก) เป็นสารทดแทนไขมันทุกตัวอย่างไม่พน การเปลี่ยนแปลงของ D₄₃ ตลอดการเก็บ 3 เดือนอย่างมีนัยสำคัญทางสถิติ ($p>0.05$) แต่จากรูปกราฟแสดงการกระจายของขนาดเม็ดไขมัน (รูปที่ 4.10) พบว่าตัวอย่าง 75H08 ที่ระยะเวลาจัดเก็บ 3 เดือน ขนาดอนุภาคเม็ดไขมันมีขนาดใหญ่ขึ้น โดยเป็นผลมาจากการเกิดการรวมตัวของอนุภาคเม็ดไขมัน ให้ใหญ่ขึ้นเนื่องจากตัวอย่าง 75H08 มีความหนืดแน่น้อยที่สุดเมื่อเทียบกับตัวอย่างมายองเนสที่เตรียมจากแป้ง HDP ด้วยกันจึงทำให้เม็ดไขมันเคลื่อนที่สะดวกและเกิดการรวมตัวเป็นอนุภาคเม็ดไขมันที่ใหญ่ขึ้นได้ง่าย การที่ค่า D₄₃ ในตัวอย่าง 75H08 ที่เตรียมจากแป้ง HDP มีค่าไม่เปลี่ยนแปลงตลอดการจัดเก็บอาจเป็นผลมาจากการเม็ดแป้ง HDP ที่มีในระบบมีปริมาณสูงจึงไม่ส่งผลกระทบค่า D₄₃ ในตัวอย่างในภาพรวม

ตัวอย่างมายองเนสที่ใช้ MD (รูปที่ 4.9 ข) เป็นสารทดแทนไขมันพบว่าค่า D₄₃ มีการเพิ่มขึ้นอย่างรวดเร็วภายในสัปดาห์ที่ 4 ของการเก็บรักษา โดยอัตราการเพิ่มขนาดอนุภาคเม็ดไขมันจะขึ้นกับอัตราการแทนที่ไขมัน และพบว่าความเข้มข้นของแป้ง MD ไม่มีอิทธิพลต่ออัตราการเพิ่มขึ้นของค่า D₄₃ ขนาดอนุภาคเม็ดไขมันที่เพิ่มขึ้นอย่างรวดเร็วนั้นอาจเป็นผลมาจากการบวนการคืนสภาพของแป้งหรือการเกิดรีไทร์เกรเดชัน (Retrogradation) ของ MD ที่เกิดการสร้างพันธะไฮโดรเจนระหว่างสายอะไนโอลส์ด้วยกันเอง หรือกับบริเวณที่เป็นเส้นตรงในสายอะไนโอลเพคตินเกิดเป็นโครงสร้าง 3 มิติ โดยในระหว่างสร้างโครงสร้างจะผลักอนุภาคเม็ดไขมันออกนอกโครงสร้าง 3 มิติ แล้วส่งเสริมให้เกิด Deposition-flocculation ของอนุภาคเม็ดไขมัน ส่งผลให้ขนาดอนุภาคเม็ดไขมันใหญ่ขึ้นอย่างรวดเร็ว ตัวอย่างที่มีปริมาณอะไนโอลส์และอะไนโอลเพคตินในระบบมาก จะมีโอกาสเกิดรีไทร์เกรเดชันได้เร็วกว่าตัวอย่างที่มีอะไนโอลส์และอะไนโอลเพคตินในระบบน้อย ดังนั้นตัวอย่างที่มีระดับการแทนที่ไขมันสูง ขนาดอนุภาคเม็ดไขมันจะเพิ่มเร็วกว่าตัวอย่างที่มีระดับการแทนที่ไขมันต่ำ

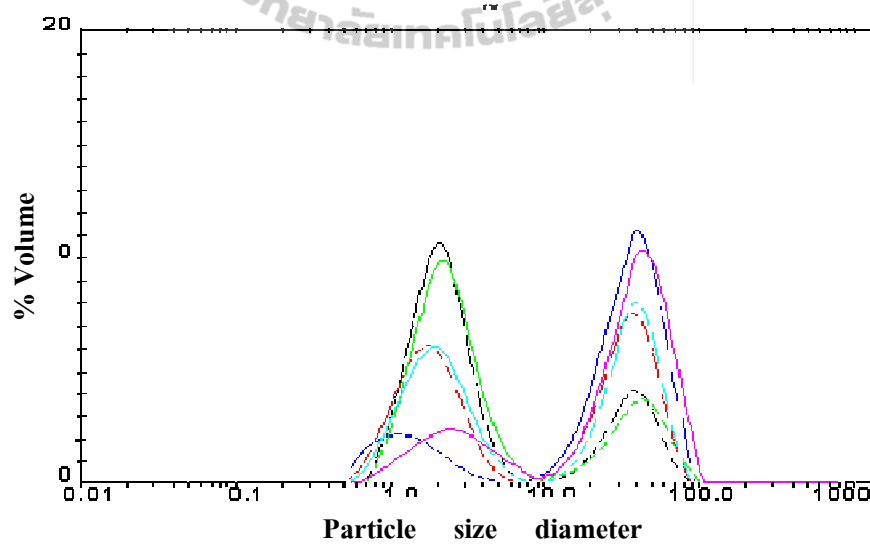
ส่วนกรณีค่า D₄₃ ของตัวอย่างมายองเนสที่ใช้แป้ง SSO (รูปที่ 4.9 ค) เป็นสารทดแทนไขมัน ไม่พนการเปลี่ยนแปลงของขนาดอนุภาคเม็ดไขมันตลอดระยะเวลาการเก็บรักษาซึ่งแสดงให้เห็นว่า SSO ช่วยให้ระบบอิมัลชันมีความเสถียรป้องกันการรวมกันของอนุภาคเม็ดไขมันได้



รูปที่ 4.9 การเปลี่ยนแปลงขนาดอนุภาคเม็ดไนมันที่ระยะเวลาการเก็บต่างๆ ของตัวอย่างmanyองเนสที่เตรียมจากแป้ง HDP (ก), MD (ก), และ SSO (ก) เปรียบเทียบกับตัวอย่างmanyองเนสสูตรไนมันเต้มและสูตรการค้า



รูปที่ 4.9 (ต่อ) การเปลี่ยนแปลงขนาดอนุภาคเม็ดไบมันตลอดการเก็บรักษาของตัวอย่างmanyongเนสที่เตรียมจากแป้ง HDP (κ) MD (χ) และ SSO (κ) เปรียบเทียบกับตัวอย่างmanyongเนสสูตรไบมันเต็มและสูตรการค้า



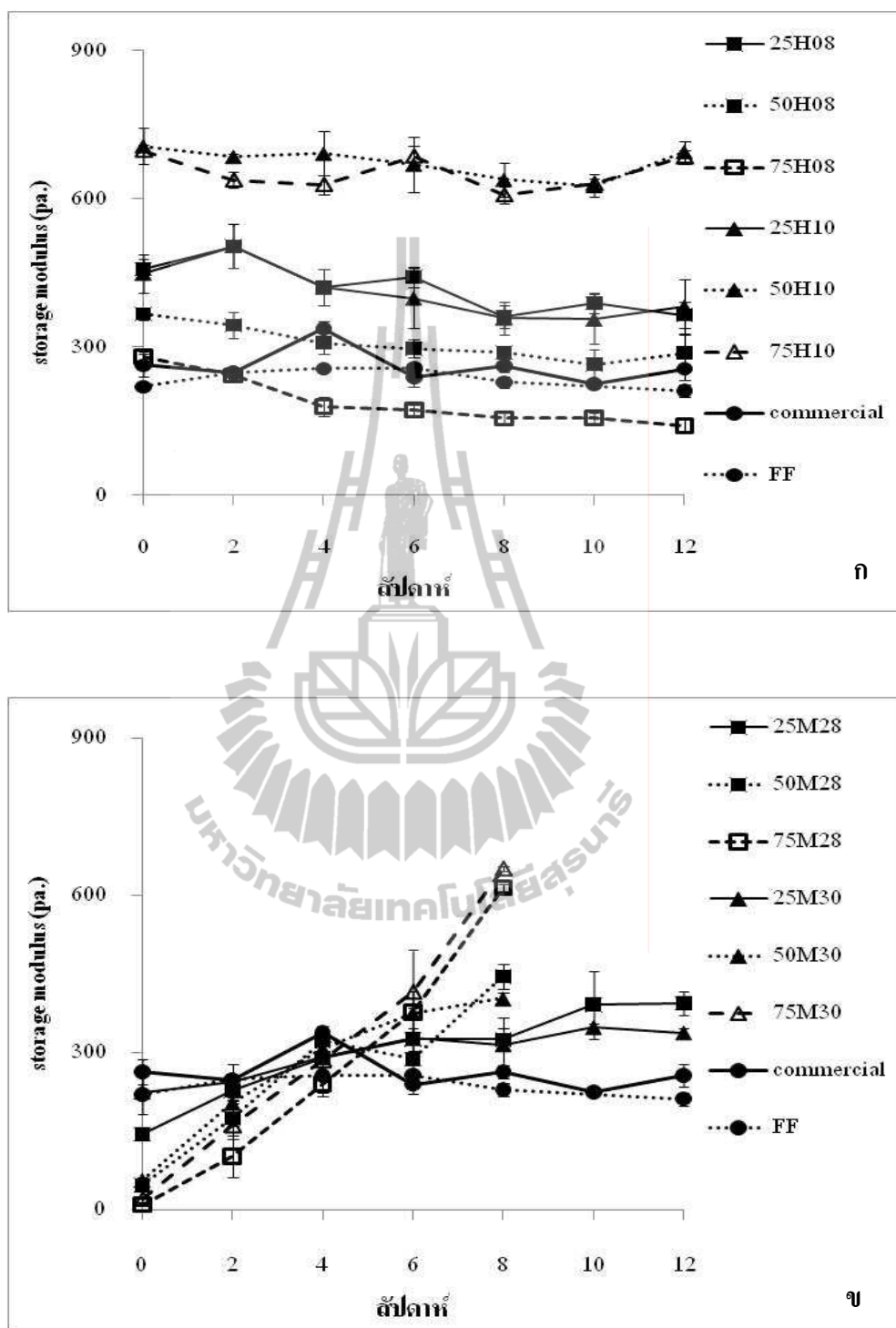
รูปที่ 4.10 การกระจายตัวของอนุภาคเม็ดไบมันในmanyongเนสสูตรไบมันต่ำที่ระยะเวลาการเก็บต่างกัน (—) 25H08, (—) 50H08, (—) 75H08 แสดงการกระจายตัวของเม็ดไบมันที่ระยะเวลาเริ่มต้น (—) 25H08, (—) 50H08, (—) 75H08 แสดงการกระจายตัวของอนุภาคเม็ดไบมันที่ระยะเวลาการเก็บ 12 สัปดาห์

4.5.2 ผลกระทบระยะเวลางานเก็บต่อคุณสมบัติด้านวีสโโคอีเลสติก

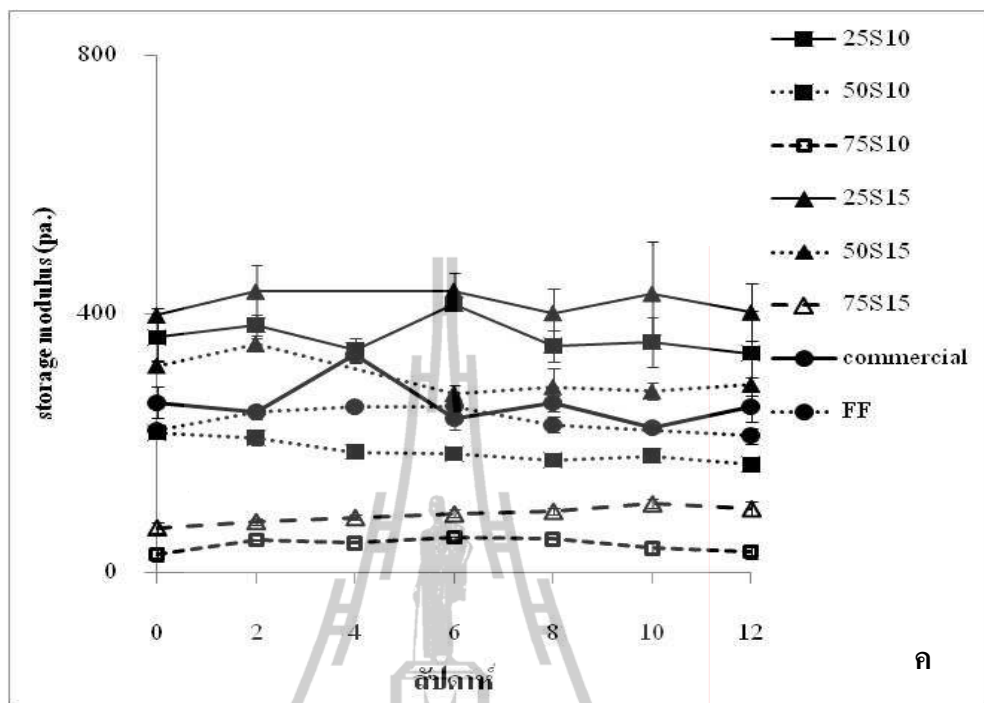
ผลกระทบระยะเวลางานเก็บต่อการเปลี่ยนแปลงคุณสมบัติด้านวีสโโคอีเลสติก (รูปที่ 4.11) โดยตัวอย่าง FF และตัวอย่างสูตรการคำนวณค่ามอดุลลัสสะสมค่อนข้างคงที่ตลอด 12 สัปดาห์ ส่วนตัวอย่างที่เตรียมจากแป้ง HDP พบร่วมค่ามอดุลลัสสะสมส่วนใหญ่ค่อนข้างคงที่ยกเว้นตัวอย่าง 75H08 และตัวอย่าง 50H08 ที่มีการเปลี่ยนแปลงค่ามอดุลลัสสะสมค่อนข้างมาก โดยตัวอย่าง 75H08 ค่ามอดุลลัสสะสมลดลงจาก 279.85 เป็น 140.73 พาสคาล ในสัปดาห์ที่ 12 และตัวอย่าง 50H08 มีค่าลดลงจาก 367 เป็น 288 พาสคาลในสัปดาห์ที่ 12 โดยเป็นผลมาจากการอนุภาคเม็ดไบมันเกิดการรวมตัวกันทำให้มีขนาดอนุภาคใหญ่ขึ้น โดยจะเห็นได้ชัดเจนในตัวอย่าง 75H08 (รูปที่ 4.10 สัปดาห์แรกเส้นกราฟสีน้ำเงิน และสัปดาห์ที่ 12 เส้นกราฟสีชมพู) ที่พบว่าการกระจายตัวของอนุภาคเม็ดไบมันพิคแรก มีค่าเพิ่มขึ้นหลังจากเก็บที่ระยะเวลา 12 จึงส่งผลให้ค่ามอดุลลัสสะสมมีค่าลดลง (Langton et al., 1999; Marutama et al., 2006; Worrasinchai et al., 2006)

ตัวอย่างที่เตรียมจากแป้ง MD มีค่ามอดุลลัสสะสมเปลี่ยนแปลงอย่างรวดเร็ว โดยเฉพาะในตัวอย่างที่มีการแทนที่ไบมันสูง ซึ่งอธิบายได้ว่าในกรณีการใช้ MD เป็นสารทดแทนไบมันอะไมโลส อะไมโลเพคติน ที่กระจายอยู่ทั่วไปในระบบจะเกิดการสร้างพันธะไฮโดรเจนระหว่างสายโพลีเมอร์เกิดเป็นโครงสร้างเจล (Chronakis, 1998) ทำให้ตัวอย่างมีค่ามอดุลลัสสะสมสูงขึ้น Biliaderis (1992) รายงานว่าเจลของ MD เป็นระบบที่ไม่เสถียร โดยจะสามารถเปลี่ยนแปลงได้ตลอดตามระยะเวลาที่เพิ่มขึ้น จึงส่งผลให้ค่ามอดุลลัสสะสมมีค่าสูงขึ้น

ส่วนตัวอย่างมายองเนสที่เตรียมจาก SSO เป็นสารทดแทนไบมันทุกตัวอย่างไม่พบการเปลี่ยนแปลงของค่ามอดุลลัสสะสม ซึ่งเป็นผลมาจากการดังกล่าวมีความสามารถในการรักษาความเสถียรทำให้ออนุภาคเม็ดไบมันไม่มีการเปลี่ยนแปลง จึงส่งผลให้คุณสมบัติด้านวีสโโคอีเลสติกมีความเสถียรด้วย



รูปที่ 4.11 การเปลี่ยนแปลงค่ามอดูลัสสัมบูรณ์ของเน็ตสูตร ไขมันตัวที่ระยะเวลาการเก็บต่าง ๆ ที่เตรียมจากแป้ง HDP (η), MD (χ) และ SSO (κ) เมริยมเทียบกับ FF และนายองเน็ตสูตรการค้า ที่ความถี่ 1 เอิร์ต และ กำหนดให้ค่า Strain ร้อยละ 0.5

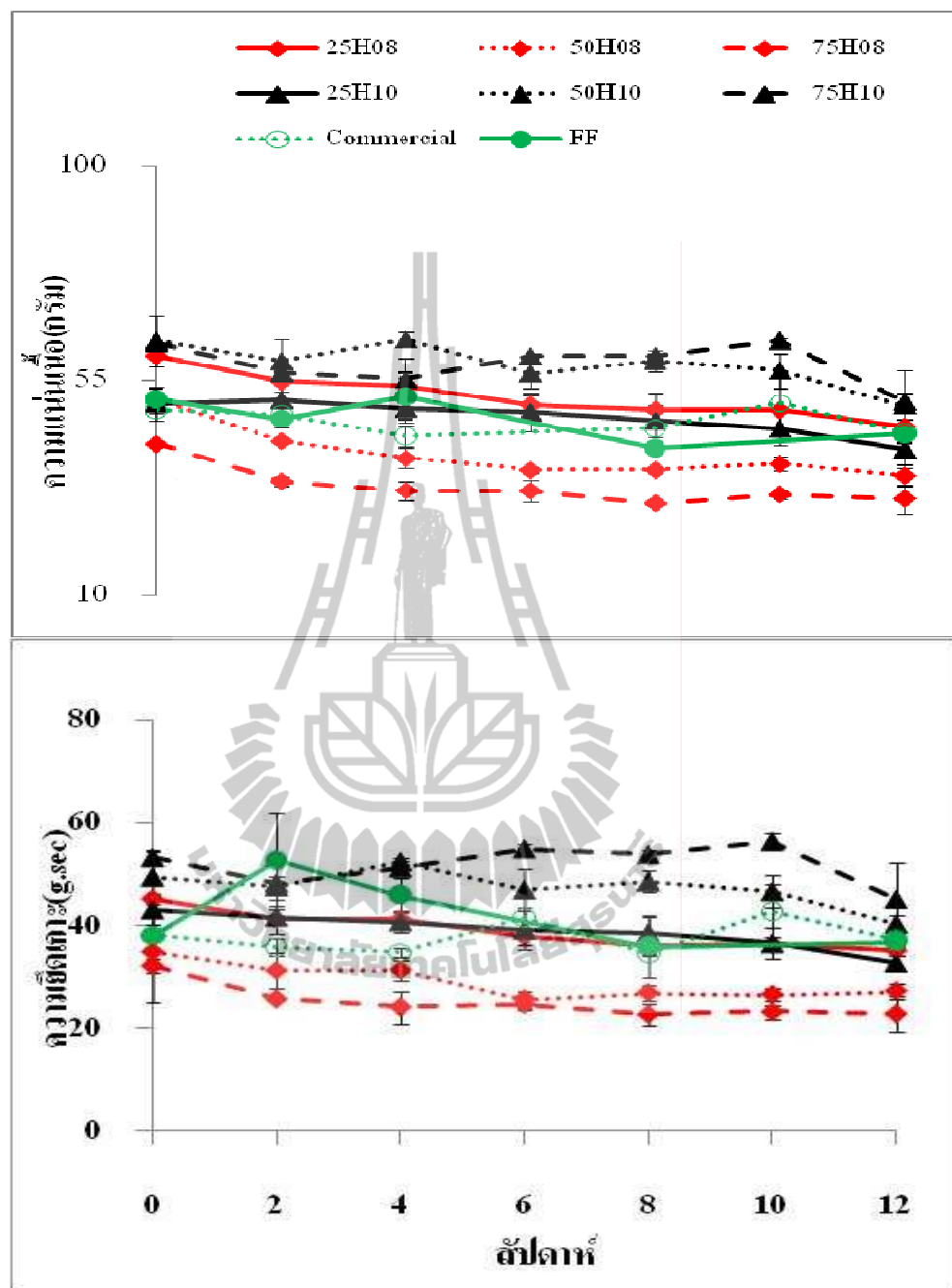


รูปที่ 4.11 (ต่อ) การเปลี่ยนแปลงค่ามอดูลัสสัม狐ของยางเนสสูตรไขมันด่างที่ระยะเวลาการเก็บต่างๆ ที่เตรียมจากแป้ง HDP (ก), MD (ข) และ SSO (ค) เปรียบเทียบกับ FF และ ยางเนสสูตรการค้า ที่ความถี่ 1 เอิร์ต และ ค่าความเครียดร้อยละ 0.5

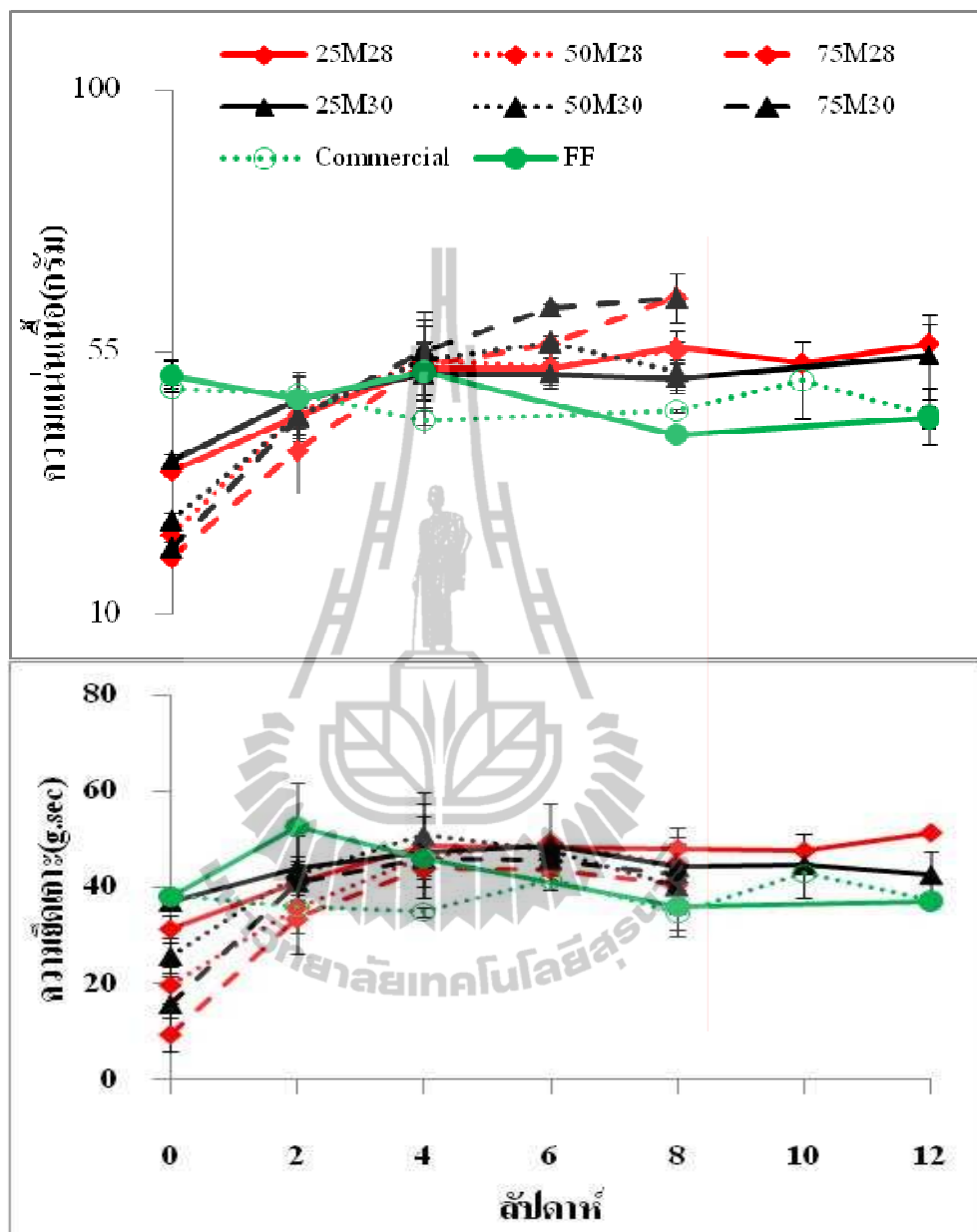
4.5.3 ผลของระยะเวลาการเก็บต่อเนื้อสัมผัส

ตัวอย่างสูตรทางการค้าและตัวอย่างที่เตรียมจากแป้ง HDP และแป้ง SSO เป็นสารทดแทนไขมันพบว่าค่าความแน่นเนื้อและค่าการยึดเกาะมีการลดลงของเพียงเล็กน้อย ($p>0.05$) (รูปที่ 4.12 และ 4.14) ซึ่งมีความสอดคล้องกับผลการทดลองของ Worrasinchai และคณะ (2006) และ Santipanichwong และคณะ (2007) โดยคาดว่าการเปลี่ยนแปลงที่เกิดขึ้นอาจเป็นผลมาจากการเกิดการเกาะกลุ่มและรวมตัวกันของอนุภาคเม็ดไขมันขนาดเล็กที่มีในระบบ (Paraskevopoulou, Kiosseoglou, Aleviopoulos and Kasapis, 1999) จึงทำให้ค่าความแน่นเนื้อและการยึดเกาะมีแนวโน้มลดลงตามระยะเวลาการเก็บ

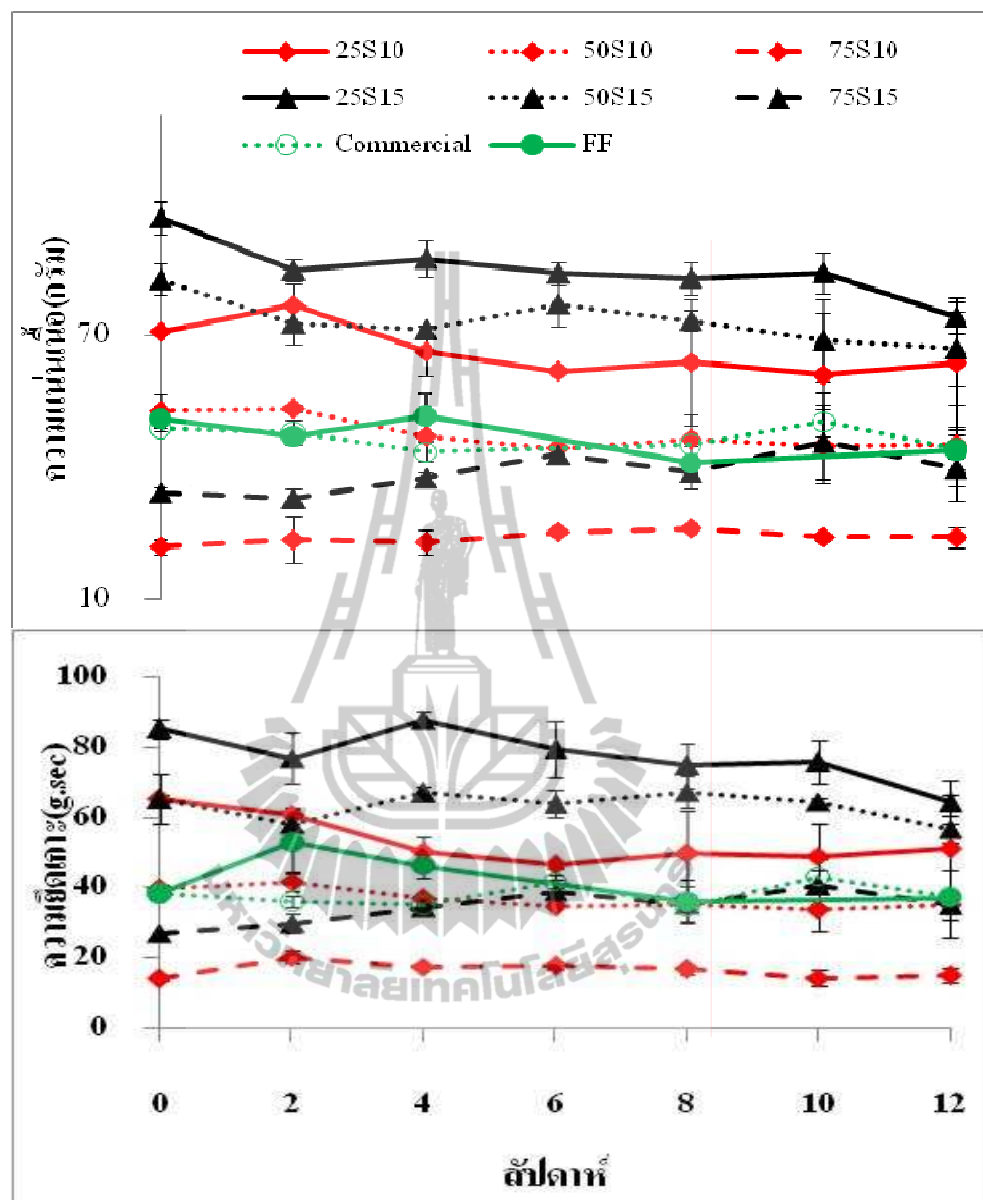
ในขณะที่ตัวอย่างที่เตรียมโดยใช้ MD เป็นสารทดแทนไขมันมีค่าความแน่นเนื้อและการยึดเกาะโดยจะมีค่าเพิ่มขึ้นอย่างรวดเร็วในระยะเวลาการเก็บ 1 สัปดาห์ (รูปที่ 4.13) ซึ่งเป็นผลจากการเกิดการสร้างพันธะไฮโดรเจนระหว่างสายของอะไนโอลส์ทำให้เกิดการสร้างเป็นโครงสร้าง 3 มิติโดยที่ค่าเพิ่มขึ้นตามระยะเวลาการเก็บ โดยการทดลองนี้สอดคล้องกับการทดลองของ Yang และ Xu (2007)



รูปที่ 4.12 การเปลี่ยนแปลงค่าความแน่นเนื้อและการยึดเกาะของตัวอย่างmanyongนสที่เตรียมจาก
แป้ง HDP ที่ระยะเวลาการเก็บต่าง ๆ



รูปที่ 4.13 การเปลี่ยนแปลงค่าความแน่นเนื้อและค่าการขีดเคาะของตัวอย่างมากองเนสที่เตรียมจาก
แม่พิมพ์ MD ที่ระยะเวลาการเก็บต่าง ๆ



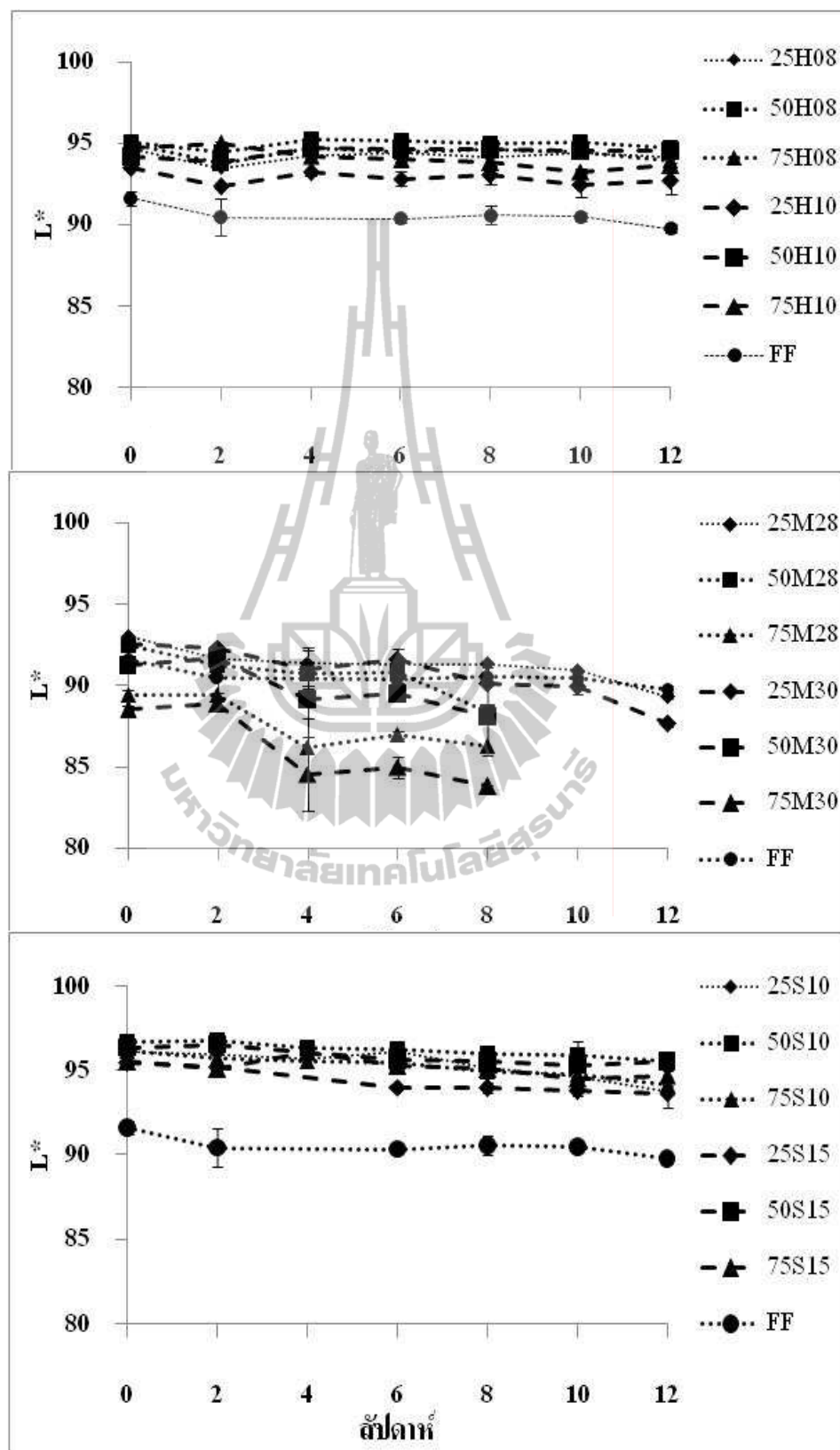
รูปที่ 4.14 การเปลี่ยนแปลงค่าความแน่นเนื้อและค่าการยึดเกาะของตัวอย่างมายองเนสที่เตรียมจาก SSO ที่ระยะเวลาการเก็บต่าง ๆ

4.5.4 ผลของระยะเวลาการเก็บต่อสี

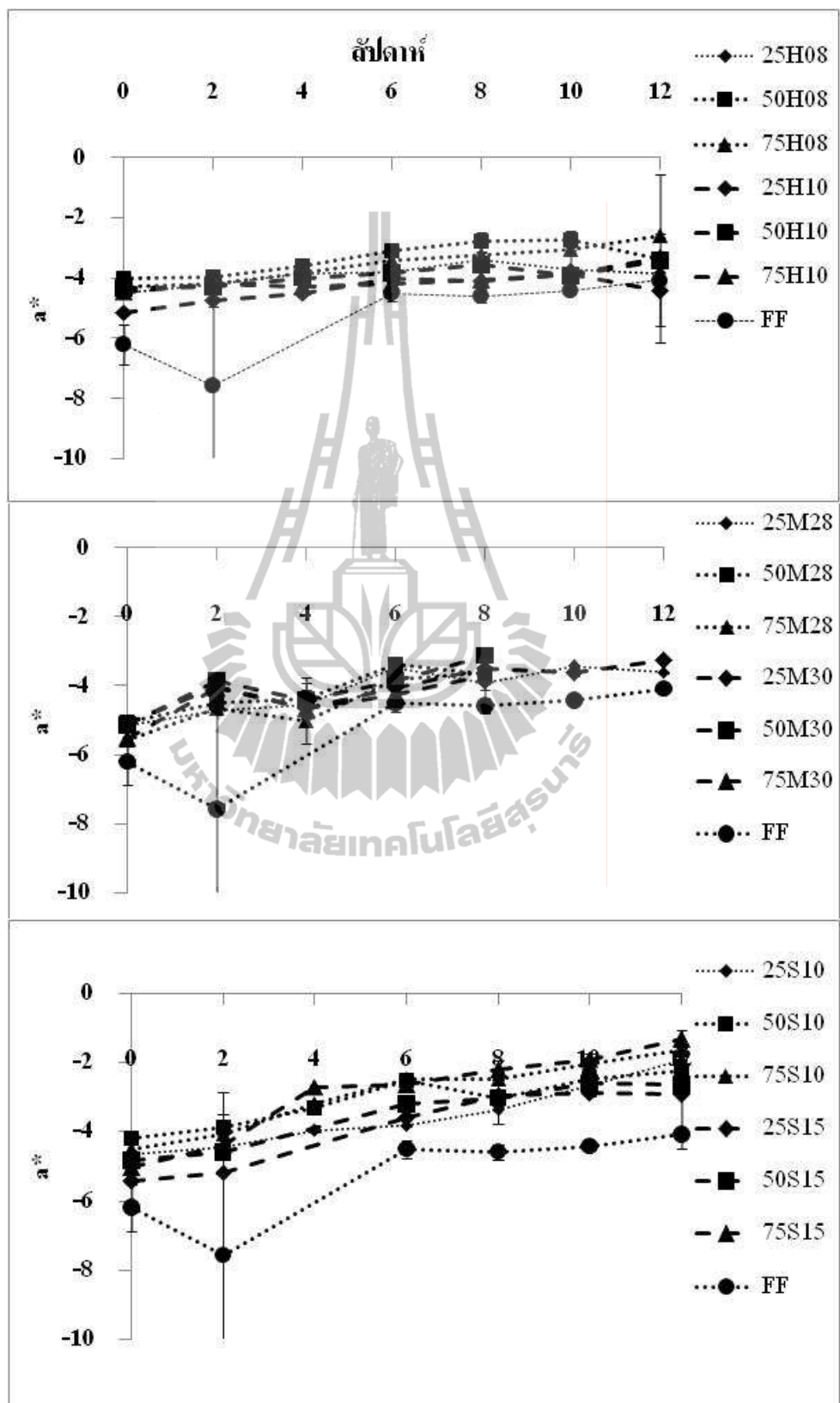
สีของมายองเนสเป็นผลมาจากการปริมาณไขมัน ขนาดอนุภาคเม็ดไขมัน และจากรังควัตถุที่มีในไข่แดง เช่น ลูทีน และเบต้า-เคโรทีน เป็นต้น โดยค่า L* จะสูงเมื่อความเข้มข้นของอนุภาคเม็ดไขมันสูงในขณะที่ค่า a* และ b* จะให้ผลตรงกันข้ามเนื่องจากการสะท้อนกลับของคลื่นแสงจะทำให้ค่าความเข้มของสีอ่อนลง (Chantrapornchai, Clydesdale and McClements, 1999; McClements and Demetriades, 1998; Santipanichwong et al., 2007; Worrasinchai et al., 2006) แต่การเก็บรักษาอาจส่งผลให้ค่าสีของตัวอย่างเปลี่ยนแปลงไปได้ (รูปที่ 4.15 ถึง 4.18) จากการทดลองพบว่าตัวอย่างที่เตรียมจาก HDP และ SSO มีการเปลี่ยนแปลงค่า L* เพียงเล็กน้อยในขณะที่ตัวอย่างที่เตรียมจาก MD มีการเปลี่ยนแปลงค่า L* ค่อนข้างมาก (รูปที่ 4.15) โดยพบการเปลี่ยนแปลงค่า L* สูงตามระดับการแทนที่ไขมัน ซึ่งสามารถอธิบายได้ว่าขนาดอนุภาคเม็ดไขมันของตัวอย่างที่เตรียมจาก MD มีค่าเพิ่มขึ้นตามระยะเวลาจัดเก็บ จึงส่งผลต่อการสะท้อนกลับของคลื่นแสงที่ใช้วัดค่าสี ทำให้ค่า L* มีค่าลดลง โดยปรากฏการณ์ดังกล่าวไม่พบในตัวอย่างที่เตรียมจากแป้ง HDP และ SSO

เมื่อพิจารณาผลของระยะเวลาการเก็บต่อการเปลี่ยนแปลงของค่าสีรวม (ΔE) พบว่าทุกตัวอย่างมีค่า ΔE แนวโน้มสูงขึ้นตามระยะเวลาการเก็บ โดยการเปลี่ยนแปลงค่าสีของตัวอย่างที่เตรียมจากแป้ง HDP และ SSO เป็นผลมาจากการเปลี่ยนแปลงของค่า a* และ b* เป็นหลัก (รูปที่ 4.16 ถึง 4.17)

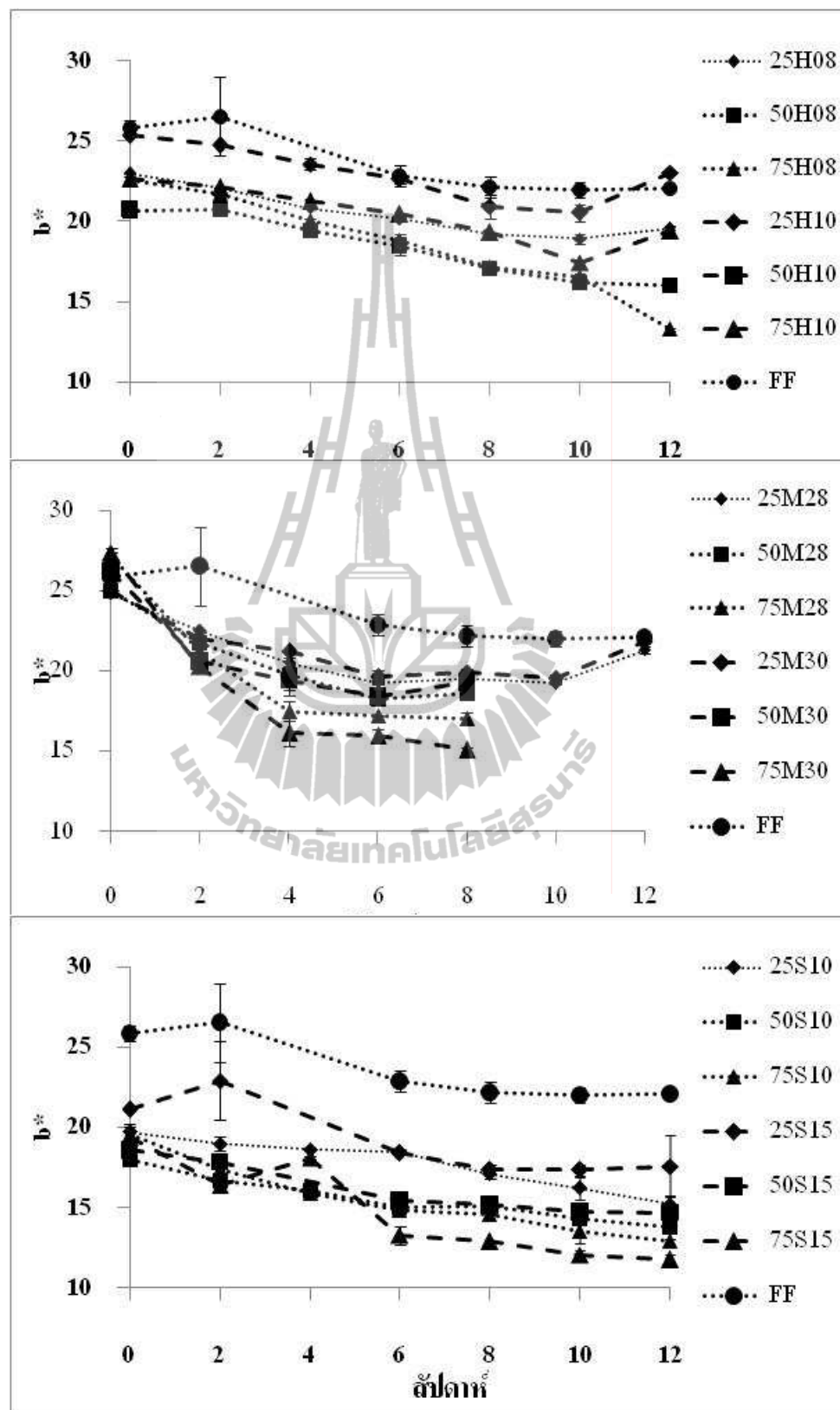
และเมื่อพิจารณาอัตราการเปลี่ยนแปลงของค่า ΔE พบว่าตัวอย่างที่มีระดับการแทนที่ไขมันสูงจะมีอัตราการเปลี่ยนแปลงค่า ΔE ได้เร็วกว่าตัวอย่างที่มีอัตราการแทนที่ไขมันต่ำ โดยการเปลี่ยนแปลงค่า ΔE ส่วนหนึ่งเป็นผลมาจากการเปลี่ยนแปลงของค่า b* ที่เป็นผลมาจากรังควัตถุลูทีน และเบต้า-เคโรทีน ซึ่งเป็นรังควัตถุที่ให้สีเหลืองในไข่แดงเกิดการเสียสภาพอันเนื่องมาจากแสงในระหว่างการเก็บ (Aman, Schieber and Carle, 2005; Lennersten and Lingnert, 2000; Santipanichwong et al., 2007) โดย รงควัตถุทั้งสองมีคุณสมบัติเป็นไฮโดรโลฟบิก (Borel, Grolier, Armand, Partier, Lafont and Lairon, 1996) ที่ละลายในไขมัน ดังนั้นตัวอย่างที่มีไขมันน้อยจะพบการเปลี่ยนแปลงของค่า b* สูงกว่าตัวอย่างที่มีไขมันมากกว่า เนื่องมาจากมีรังควัตถุเหลือในเฟสต่อเนื่องสูงกว่า ทำให้มีโอกาสที่ลูทีนทำลายโครงสร้างจากแสงในระหว่างการเก็บ ได้มากกว่าส่งผลให้ค่า ΔE สูงตามไปด้วย ในขณะที่ตัวอย่างที่เตรียมจากแป้ง MD การเปลี่ยนแปลงค่า ΔE เป็นผลมาจากการเปลี่ยนแปลงของ L*, a* และ b* ร่วมกัน



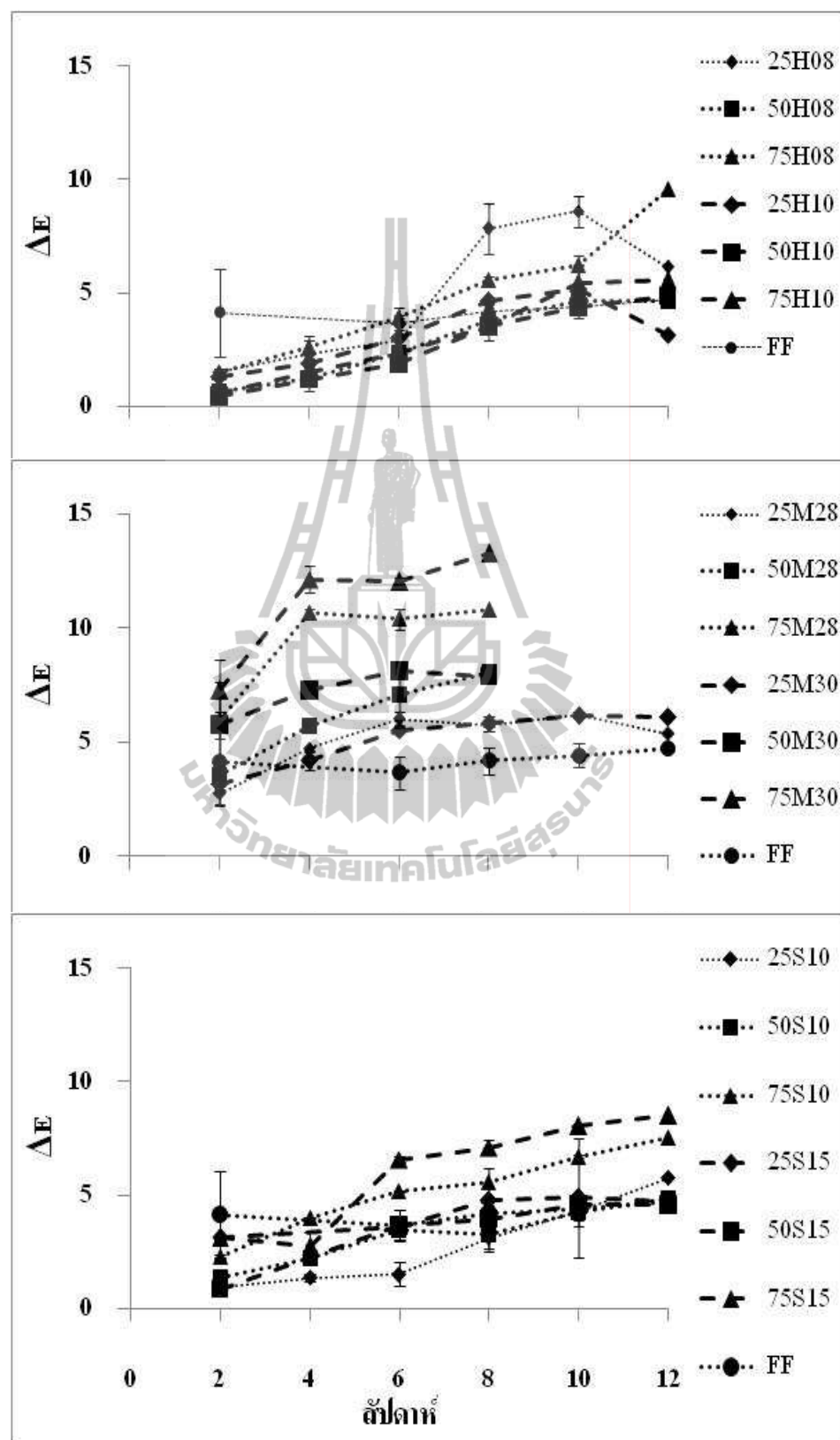
รูปที่ 4.15 การเปลี่ยนแปลงค่า L^* ของตัวอย่างมายองเนสที่ระยะเวลาการเก็บต่าง ๆ



รูปที่ 4.16 การเปลี่ยนแปลงค่า a^* ของตัวอย่างมากองเนสที่ระยะเวลาการเก็บต่าง ๆ



รูปที่ 4.17 การเปลี่ยนแปลงค่า b^* ของตัวอย่างมายองเนสที่ระยะเวลาการเก็บต่าง ๆ

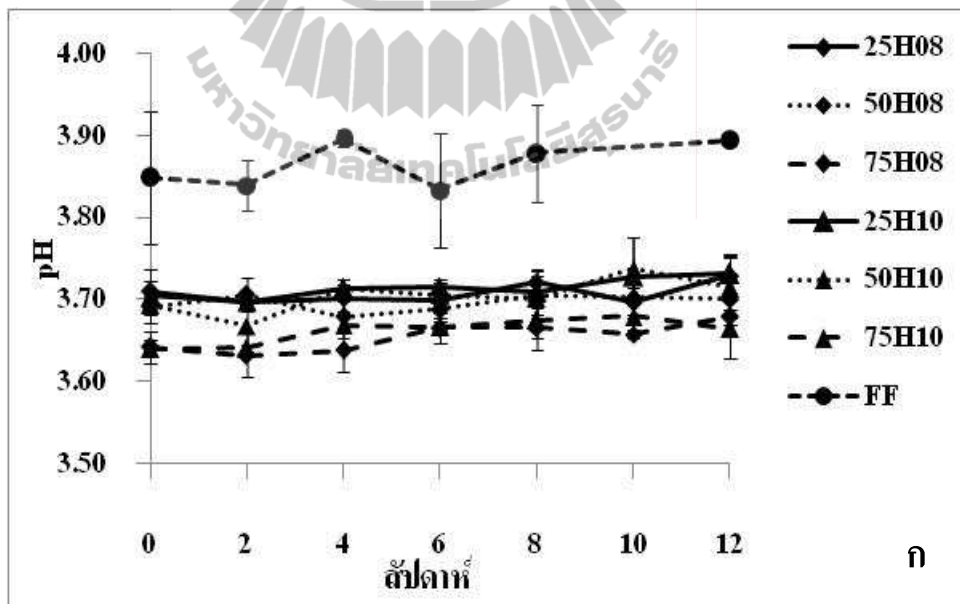


รูปที่ 4.18 การเปลี่ยนแปลงค่า ΔE ของตัวอย่างมายองเนสที่ระยะเวลาการเก็บต่าง ๆ

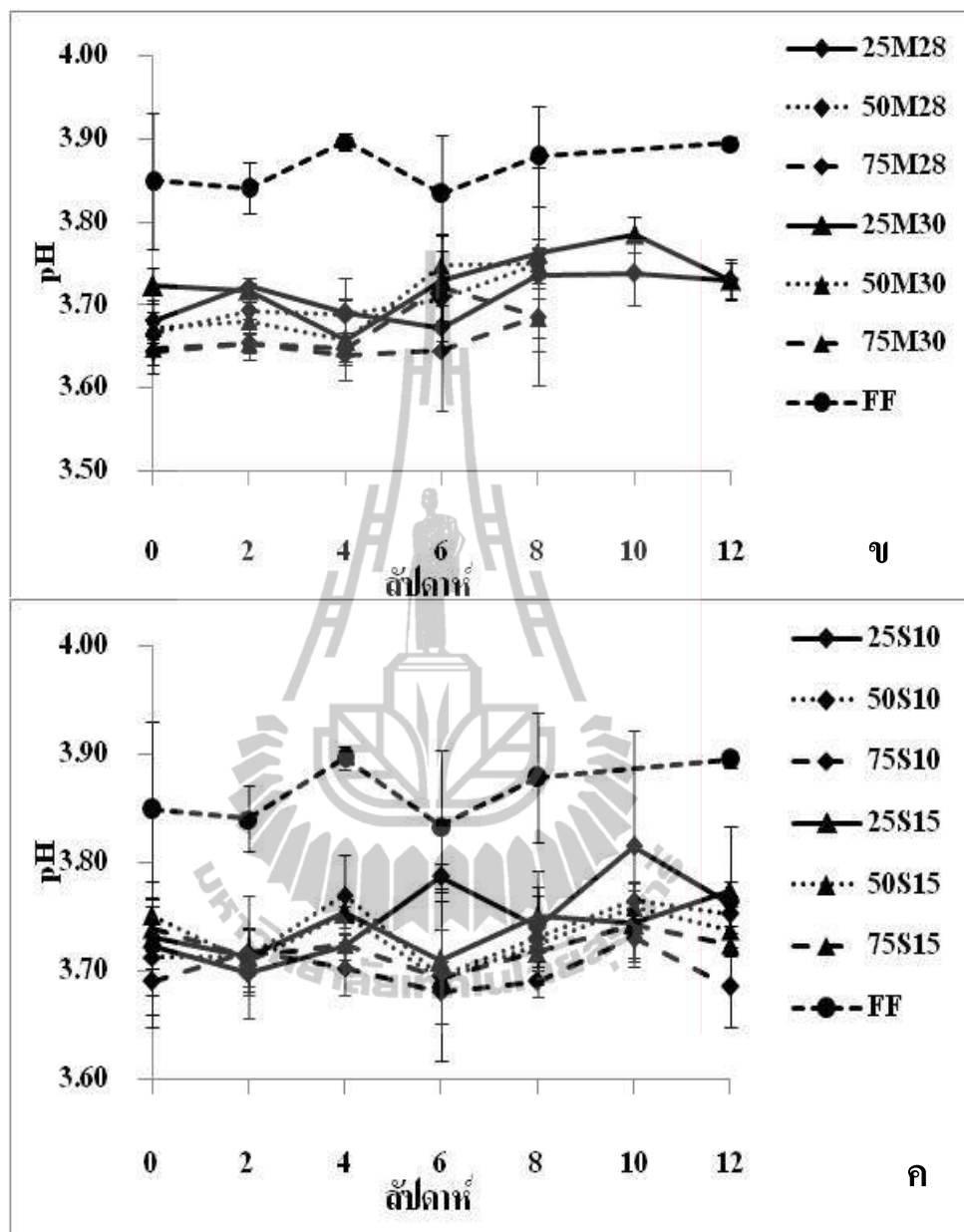
4.5.5 ผลของระยะเวลาการเก็บต่อค่าความเป็นกรด-ด่าง

ค่าความเป็นกรด-ด่าง ของตัวอย่างมายองเนสที่ระยะเวลาเริ่มต้นมีค่าอยู่ในช่วง 3.6 ถึง 3.9 จากผลการวัดค่าความเป็นกรด-ด่าง ตลอดระยะเวลาการเก็บ 12 สัปดาห์ (รูปที่ 4.19) พบว่าตัวอย่างมายองเนสส่วนใหญ่มีค่าความเป็นกรด-ด่าง ค่อนข้างคงที่ตลอดการเก็บ 12 สัปดาห์

มายองเนสถือเป็นอาหารที่มีค่าความเป็นกรด-ด่าง ต่ำ ซึ่งมีข้อดีคือเป็นการยับยั้งและป้องกันการเจริญเติบโตของเชื้อจุลินทรีย์ได้ดี โดยค่าความเป็นกรด-ด่าง ที่ต่ำกว่า 4.4 จะสามารถยับยั้งเชื้อจุลินทรีย์ที่ก่อให้เกิดโรคได้ (Smittie, 2000) และการที่ค่าความเป็นกรด-ด่างไม่เปลี่ยนแปลงอาจมีเป็นเหตุผลที่ไม่พนการเจริญเติบโตของเชื้อจุลินทรีย์ ซึ่งตรงกันข้ามกับการทดลองของ Worrasinchai และคณะ (2006) พบว่าค่าความเป็นกรด-ด่าง ของตัวอย่างที่ใช้เนื้อต้า-กลูเกนเป็นสารทดแทน ไขมันมีค่าลดลงหลังจากที่จัดเก็บที่อุณหภูมิห้องผ่านไป 2 เดือน ซึ่งเป็นผลมาจากการเจริญเติบโตของเชื้อจุลินทรีย์ประเภทกรดแลคติกซึ่งสามารถผลิตกรดออกมาน้ำจิ้งส่งผลให้ค่าความเป็นกรด-ด่าง มีค่าต่ำลง โดยค่าความเป็นกรด-ด่าง จากการทดลองดังกล่าวจะลดลงมากในตัวอย่างที่มีการแทนที่ไขมันสูง



รูปที่ 4.19 การเปลี่ยนแปลงของค่าความเป็นกรด-ด่าง ที่ระยะเวลาการเก็บต่าง ๆ ที่เตรียมจากแม็ป HDP (ก), MD (ข) และ SSO (ค)



รูปที่ 4.19 (ต่อ) การเปลี่ยนแปลงของค่าความเป็นกรด-ด่างที่ระยะเวลาการเก็บต่าง ๆ ที่เตรียมจาก
แป้ง HDP (ก), MD (ชม.) และ SSO (ค)

4.5.6 ผลของการเปลี่ยนแปลงของค่าความเป็นกรด-ด่างที่เวลาการเก็บต่อการเกิดปฏิกิริยาออกซิเดชันของน้ำมัน

ผลการวิเคราะห์การเกิดปฏิกิริยาออกซิเดชันของน้ำมันโดยแสดงผลในรูป TBA reactivity ที่บ่งบอกถึงค่าการดูดซับคลื่นแสงที่ 532 นาโนเมตร (รูปที่ 4.20 ถึง 4.22) พบว่าทุกตัวอย่างมีค่า TBA reactivity เพิ่มขึ้นตลอดการเก็บรักษายกเว้นตัวอย่างที่เตรียมจาก SSO โดยตัวอย่างที่ใช้แป้ง SSO เป็นสารทดแทนไขมันมีปริมาณ TBA reactivity เพิ่มขึ้นอย่างรวดเร็วในสัปดาห์ที่ 4 ถึง 6

หลังจากนั้นค่า TBA reactivity มีแนวโน้มคงที่ ซึ่งอธิบายได้ว่าในช่วงแรกของการเก็บรักษาค่า TBA reactivity สูงขึ้นอย่างรวดเร็วนั้น เป็นผลมาจากการออกซิเจนที่มีในเฟสต่อเนื่องอาจอยู่ในรูปของฟองอากาศที่เกิดขึ้นในระหว่างการโอดโน้มจีไนซ์ กระตุ้นให้เกิดปฏิกิริยาออกซิเดชันของกรดไขมันอิสระที่มีในเฟสต่อเนื่อง เกิดการสร้างและการแตกสลายของสารประกอบเพอร์ออกไซด์ให้เป็นสารประกอบจำพวก อัลเดียไฮด์ คีโตน หรือแอลกอฮอล์ โดยสารมาโนนัลดีไฮด์ เป็นสารประกอบหลักที่เกิดจากการแตกสลายของสารเพอร์ออกไซด์ จึงมักนิยมใช้เป็นสารหลักที่ใช้ตรวจสอบการเกิดปฏิกิริยาออกซิเดชัน ซึ่งมาโนนัลดีไฮด์ทำปฏิกิริยากับสารประกอบไทยโบราณบิทูริกจะให้สารสีชมพูที่มีค่าการคุดซับคลื่นแสงที่ 532 นาโนเมตร เมื่อสารประกอบเพอร์ออกไซด์แตกสลายหมวดปริมาณมาโนนัลดีไฮด์จะคงที่ เนื่องจากออกซิเจนหรืออนุมูลอิสระไม่มีโอกาสเคลื่อนที่เข้าไปทำปฏิกิริยากับกรดไขมันที่อยู่ในเฟสกระจายได้ เพราะมีแป้ง SSO ล้อมจับรอบ ๆ อนุภาคเม็ดไขมันที่เป็นเกราะป้องกันไม่ให้ออกซิเจนหรืออนุมูลอิสระเคลื่อนที่ไปยังพื้นผิวของอนุภาคเม็ดไขมันได้ดังนั้นจึงไม่เกิดการสร้างและการแตกสลายสารประกอบเพอร์ออกไซด์เพิ่ม ผลการทดลองนี้สอดคล้องกับ Matsumura (2000, 2003) ที่พบว่าก้มอะราบิก ซึ่งมีคุณสมบัติเป็นสาร Surfactant สามารถป้องกันการเกิดปฏิกิริยาออกซิเดชันของน้ำมันโดยการป้องกันไม่ให้อ่อนไชมีไลปอกซิเจนส์ (Lipoxygenase) และอนุมูลอิสระมาจับที่พื้นผิวอนุภาคเม็ดไขมัน ส่วน Pasaskevopoulou และคณะ (2007) ได้ใช้ก้มอะราบิกและโพร์พิลลินไกลคลออลอัลจิเนต เป็นสารให้ความคงตัวและเป็นอิมัลซิไฟเออร์ในน้ำสัลต์ พบร้าโพลีแซคคาไรด์ดังกล่าวมีความสามารถป้องกันการเกิดปฏิกิริยาออกซิเดชันของน้ำมัน อันเป็นผลมาจากการคุณสมบัติด้านแอมฟิฟิลิก โดยก้มอะราบิกจะมีคุณสมบัติในการเป็นสารป้องกันการเกิดปฏิกิริยาออกซิเดชันของน้ำมันได้มากกว่า ดังนั้นตัวอย่างที่ใช้ SSO เป็นสารทดแทนไขมันซึ่งมีคุณสมบัติเป็นแอมฟิฟิลิก เช่นเดียวกับก้มอะราบิกจึงสามารถยับยั้งการเกิดปฏิกิริยาออกซิเดชันของน้ำมันได้

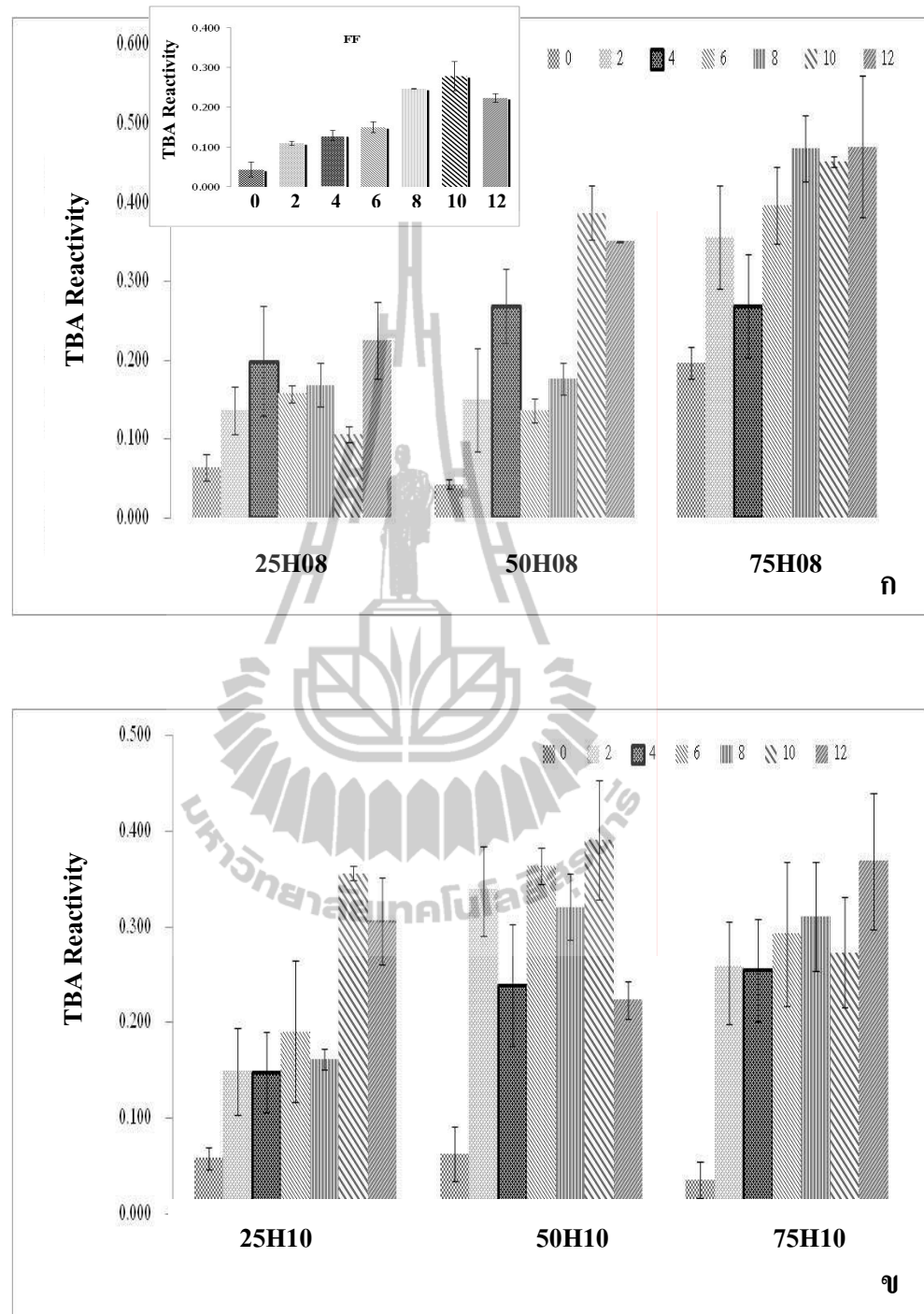
ส่วนตัวอย่างนายองเนสที่มีการใช้แป้ง HPD เป็นสารทดแทนไขมันพบปริมาณ TBA reactivity สูงกว่าในตัวอย่างอื่นซึ่งอาจเป็นผลมาจากการแป้งดังกล่าวไม่ได้ทำหน้าที่ในการป้องกันออกซิเจนหรือสารเร่งปฏิกิริยาในเฟสต่อเนื่องที่จะไปทำปฏิกิริยากับอนุภาคเม็ดไขมัน ซึ่งให้ผลเช่นเดียวกับแป้ง MD โดยการทดลองนี้มีความสอดคล้องกับการทดลองของ Matsumura (2000, 2003) ที่พบว่า MD ไม่ได้มีผลต่อการยับยั้งการใช้ออกซิเจน (Oxygen consumption) และการเกิดปฏิกิริยาออกซิเดชันของน้ำมันในระบบอิมัลชัน ซึ่งอาจเป็นผลมาจากการแป้งดังกล่าวไม่ได้มีคุณสมบัติเป็น Surface active เท่านั้น ได้จากค่า TBA reactivity ของตัวอย่างที่เตรียมจาก HDP และ MD ยังคงมีแนวโน้มเพิ่มขึ้นตามระยะเวลาการเก็บ

ตัวอย่างที่มีปริมาณการแทนที่ไขมันสูงจะมีอัตราการเพิ่มของ TBA reactivity เร็วกว่าตัวอย่างที่มีการแทนที่ไขมันต่ำ ๆ เนื่องจากในตัวอย่างอิมัลชันที่มีปริมาณไขมันมากกว่าจะทำให้

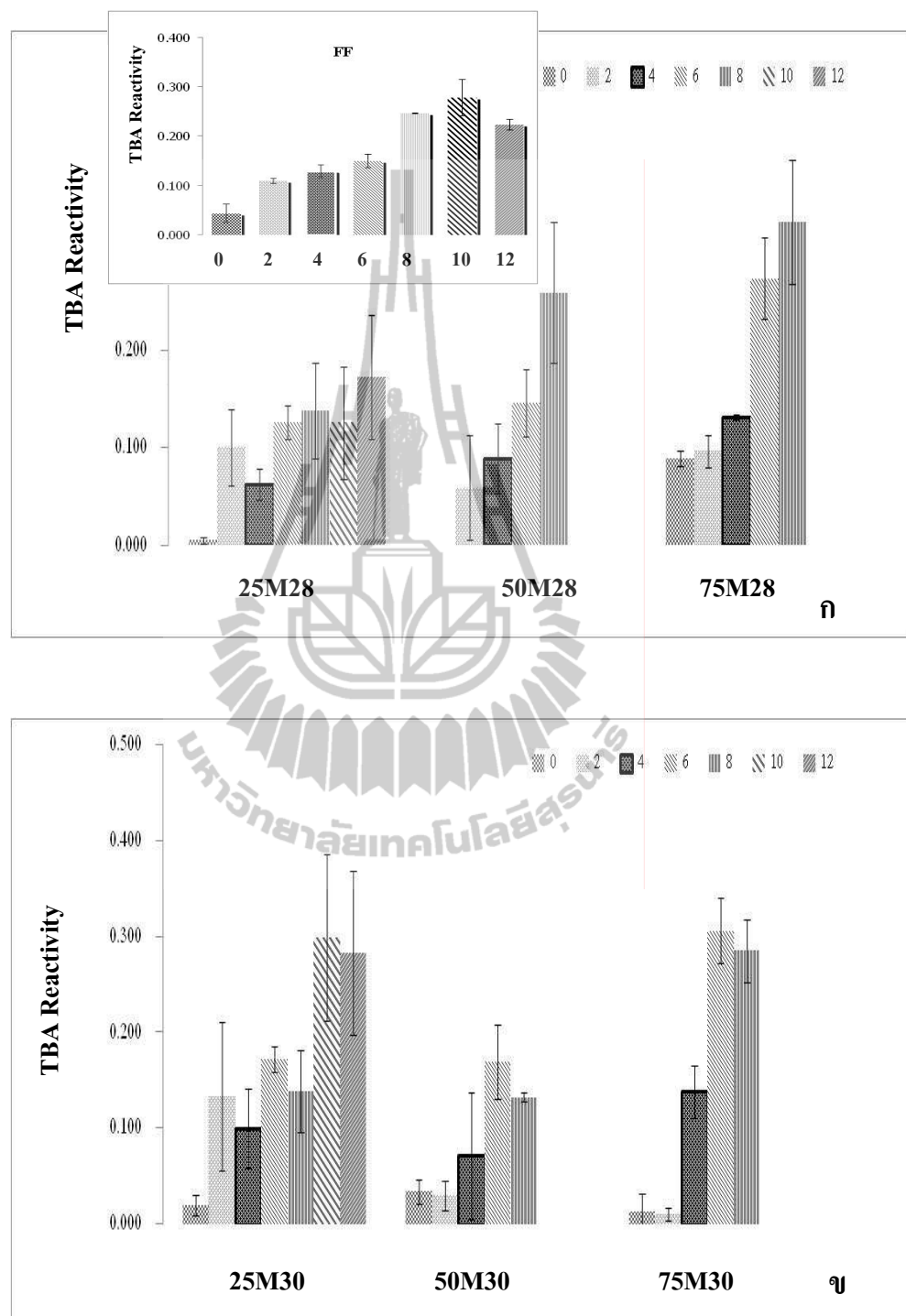
กรดไขมันไม่อิ่มตัวสามารถเคลื่อนที่เข้าไปอยู่ในอนุภาคเม็ดไขมันได้มากกว่า จึงเป็นการลดการเกิดปฏิกิริยาของสารพาก Prooxidant ในเฟสต่อเนื่อง ทำให้ลดการเกิดปฏิกิริยาออกซิเดชันของน้ำมัน โดยตัวอย่างที่ใช้สารทดแทนไขมันที่ร้อยละ 75 มีค่า TBA reactivity เพิ่มสูงกว่าในตัวอย่าง FF และตัวอย่างที่มีการแทนที่ไขมันร้อยละ 25 และ 50 นอกจากนั้นยังสามารถอธิบายได้ว่า ตัวอย่างที่มีสารทดแทนไขมันสูงจะทำให้มีสารประกอบฟอลไฟฟ์ลดจากไข่แดงเหลืออยู่ในเฟสต่อเนื่อง ได้มากกว่า เพราะมีปริมาณเกินพอด้วย ไปคุณซับที่ผิวอนุภาคเม็ดไขมัน เนื่องจากในตัวอย่างmanyong เนสสูตรไขมันต่ำมีปริมาณไขมันน้อยกว่า โดยฟอลไฟฟ์ลดที่เหลืออยู่ในเฟสต่อเนื่องจะถูกออกซิไดซ์ได้เป็นสารประกอบเพอร์ออกไซด์แล้วแตกสลาย ส่งผลให้มีปริมาณมาโนนัลตีไฮต์สูงกว่าตัวอย่างที่มีปริมาณไขมันสูง ซึ่งการทดลองนี้มีความสอดคล้องกับ Osborn และ Akoh (2004) ที่พบว่าตัวอย่างอิมัลชันที่มีปริมาณไขมันต่ำจะเกิดปฏิกิริยาออกซิเดชันของน้ำมันได้สูงกว่าในตัวอย่างที่มีปริมาณไขมันสูง เนื่องมาจากน้ำเป็นตัวพาด้วยการเกิดปฏิกิริยาให้สามารถเคลื่อนที่ให้เกิดอนุมูลอิสระของกรดไขมันไม่อิ่มตัว ในขณะเดียวกันน้ำจะเป็นตัวละลายออกซิเจนไดดีทำให้ส่งเสริมการเกิดเป็นผลิตภัณฑ์เพอร์ออกไซด์ได้มากขึ้น

4.6 ผลการวิเคราะห์เชื้อจุลินทรีย์

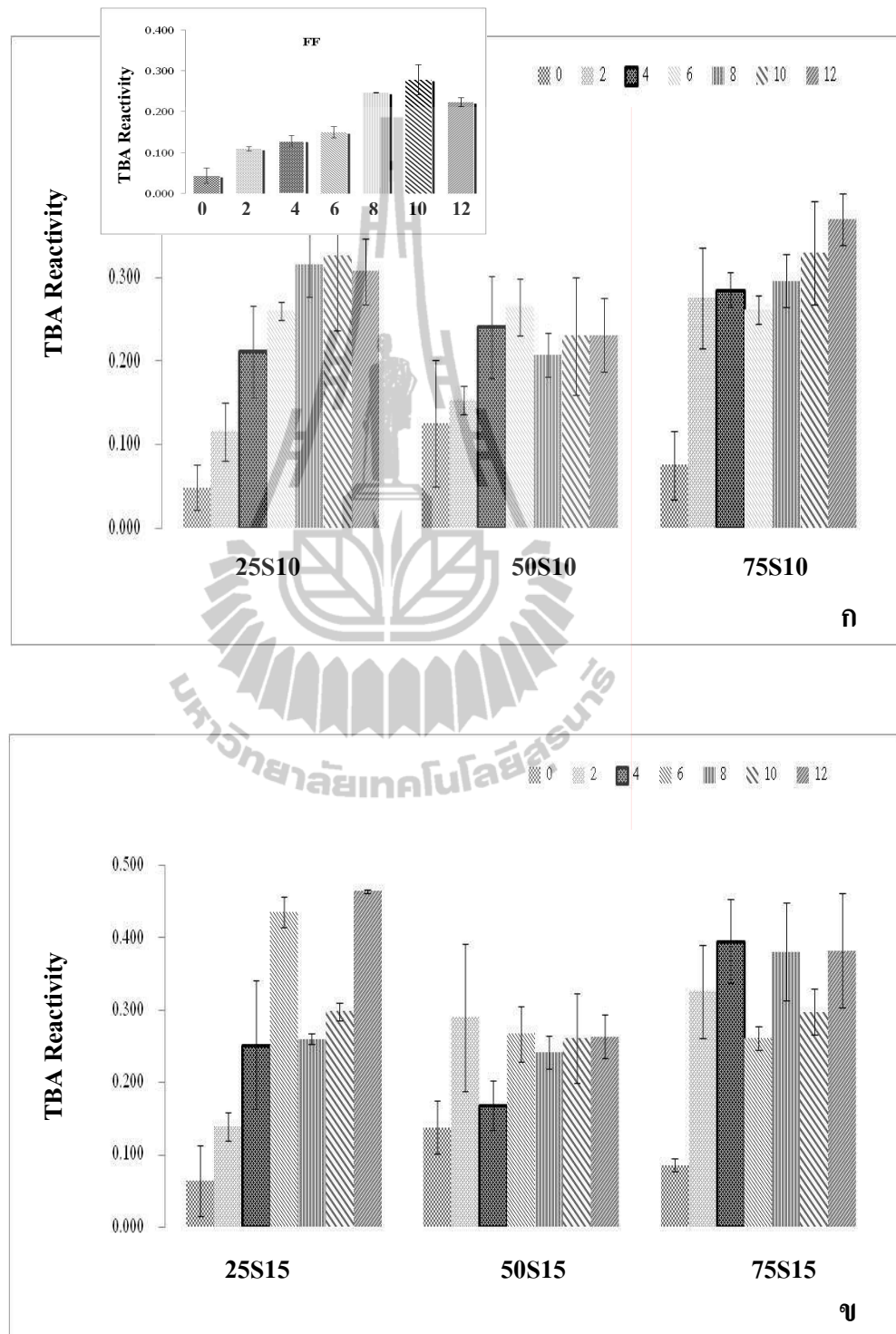
การผลิตมายองเนสในครั้งนี้มีการใส่กรดเบนโซอิกเพื่อยับยั้งและป้องกันการเจริญเติบโตของเชื้อจุลินทรีย์ แต่เพื่อให้มั่นใจว่าการเปลี่ยนแปลงค้านเคมีและกายภาพที่เกิดขึ้นกับตัวอย่าง manyong เนสไม่ได้เป็นผลจากการเจริญเติบโตของเชื้อจุลินทรีย์ จึงได้สูมตัวอย่างmanyong เนสทดสอบการเจริญเติบโตเชื้อจุลินทรีย์ได้แก่ตัวอย่าง FF, 75H10, 75M30 และ 75S15 โดยทั้ง 4 ตัวอย่างไม่พบการเจริญเติบโตของเชื้อแบคทีเรีย (ภาคผนวกกรูปที่ บ.6) จึงเป็นการยืนยันได้ว่าการเปลี่ยนแปลงคุณภาพของตัวอย่างmanyong เนสไม่ได้เป็นผลมาจากการเชื้อแบคทีเรีย ในขณะเดียวกันไม่พบการเจริญเติบโตของยีสต์และราที่ระยะเวลาการจัดเก็บ 3 เดือน ซึ่ง Abu-salem และ Abou-Arab (2008) พบว่าการเจริญเติบโตของยีสต์และราในmanyong เนสที่เตรียมจากไข่แดงทั้งที่พาสเจอไรซ์และไม่พาสพาสเจอไรซ์จะเริ่มตรวจพบการเจริญเติบโตในสัปดาห์ที่ 5 ของการจัดเก็บ และมีแนวโน้มสูงขึ้นเรื่อยๆ ในขณะที่ตลอดการทดลองในครั้งนี้ไม่ตรวจพบการเจริญเติบโตของเชื้อจุลินทรีย์ ยีสต์ และรา ทำให้สรุปได้ว่าการเปลี่ยนแปลงใดๆ ที่เกิดขึ้นกับตัวอย่างmanyong เนสเป็นผลมาจากการเปลี่ยนแปลงค้านเคมีและกายภาพไม่ได้เป็นผลมาจากการเชื้อจุลินทรีย์



รูปที่ 4.20 ค่าการดูดซับแสงที่ 532 นาโนเมตร ของมายองเนสสูตรไขมันดำที่เตรียมจากแป้ง HDP ที่มีความเข้มข้นร้อยละ 8 (ก) และ 10 (ข) ที่ระยะเวลาจัดเก็บต่าง ๆ



รูปที่ 4.21 ค่าการดูดซับแสงที่ 532 นาโนเมตร ของมายองเนสสูตรไขมันต้มที่เตรียมจากแป้ง MD ที่มีความเข้มข้นร้อยละ 28 (ก) และ 30 (ข) ที่ระยะเวลาจัดเก็บต่าง ๆ



รูปที่ 4.22 ค่าการดูดซับแสงที่ 532 นาโนเมตร ของมา蟥ในสูตรไขมันต่างๆที่เตรียมจากแป้ง SSO ที่มีความเข้มข้นร้อยละ 10 (ก) และ 15 (ข) ที่ระยะเวลาจัดเก็บต่าง ๆ

4.7 การทดสอบการยอมรับทางประสาทสัมผัส

จากข้อมูลการศึกษาเปรียบเทียบแบ่งดัดแปรที่แตกต่างกันด้วยการนำมาใช้เป็นสารทดแทน ไขมันพบว่า แบ่ง HDP และ SSO มีโอกาสนำมาใช้เป็นสารทดแทน ไขมันได้ดี เนื่องจากให้ลักษณะทางเคมีภายในที่ใกล้เคียงกับมายองเนนสูตร ไขมันเต็มและมีความเสถียรโดยไม่พบรอยแยกชั้นของไขมันตลอดการศึกษา 3 เดือน แต่มีอัตราผ่านแบ่งดัดแปรเป็นสารทดแทน ไขมันในมายองเนนส์ในระบบอุตสาหกรรม ผู้ผลิตจำเป็นต้องเลือกใช้วัตถุคุณที่มีต้นทุนการผลิตที่ต่ำ ด้วยเหตุนี้ในการเตรียมตัวอย่างเพื่อทดสอบทางประสาทสัมผัสจึงใช้แบ่ง HDP ที่ระดับความเข้มข้นร้อยละ 8 ใน การ เป็นสารทดแทน ไขมันเปรียบเทียบกับ FF โดยมีผู้ประเมินที่เป็นนักศึกษา เจ้าหน้าที่ห้องปฏิบัติการจำนวน 50 คน โดยหัวข้อในการแบบประเมินการทดสอบทางประสาทสัมผัส คือให้ผู้ทดสอบทางประสาทสัมผัส จัดลำดับของแรงที่ใช้บีบตัวอย่างออกจากวด ความสามารถของการตั้งข้อดูของตัวอย่าง ความมั่นยวัว รสชาติมันที่ได้จากไขมัน และจัดลำดับความชอบรวม (ภาคผนวก ก)

ตารางที่ 4.10 Rank sum ของการทดสอบทางประสาทสัมผัสของมายองเนนส์

หัวข้อการทดสอบ	FF	25H08	50H08	75H08
แรงที่ใช้บีบตัวอย่างออกจากวด	96 ^a	103 ^a	156 ^b	145 ^b
ความสามารถของการตั้งข้อด	117 ^{ab}	97 ^a	135 ^{bc}	151 ^c
ความมั่นยวัว	116 ^{ns}	118 ^{ns}	136 ^{ns}	130 ^{ns}
รสมันที่ได้จากไขมัน	118 ^{ab}	103 ^a	138 ^b	141 ^b
ความชอบโดยรวม	120 ^{ns}	122 ^{ns}	130 ^{ns}	128 ^{ns}

หมายเหตุ : ผลรวมการทดสอบซึ่งมาจากผู้ทดสอบ 50 คน ตัวอักษรภาษาอังกฤษที่แตกต่างกันในแนวตั้งความแตกต่างกันอย่างมีนัยสำคัญทางสถิติ ($p \leq 0.05$)

ผลการทดสอบพบว่าการจัดลำดับความมั่นยวัว และความชอบโดยรวมของมายองเนนส์ไม่มีความแตกต่างทางสถิติ ($p > 0.05$) ส่วนการใช้แรงบีบมายองเนนส์ให้เหลือออกจากวด พบร่วมกับตัวอย่าง FF และ 25H08 กับ 50H08 และ 75H08 มีลำดับการใช้แรงบีบตัวอย่างให้เหลือออกจากวดไม่แตกต่างทางสถิติ ($p > 0.05$) โดยที่ตัวอย่าง FF และ 25H08 มีลำดับการใช้แรงบีบตัวอย่างให้เหลือออกจากวดแตกต่างกับตัวอย่าง 50H08 และ 75H08 อย่างมีนัยสำคัญทางสถิติ ($p \leq 0.05$) เมื่อพิจารณาถึง

ความสามารถในการตั้งยอดของตัวอย่างนายองเนส พนว่าตัวอย่าง FF กับ 25H08 และ FF กับ 50H08

มีความสามารถในการตั้งยอดไม่แตกต่างทางสถิติ ($p>0.05$) ในขณะที่การจัดลำดับด้านรศชาติมันที่ได้จากไข้มันของตัวอย่าง FF กับตัวอย่าง 25H08, 50H08 และ 75H08 มีคะแนนการจัดลำดับด้านรศชาติมันไม่แตกต่างทางสถิติ ($p>0.05$) เช่นกัน

จากผลการทดลองสามารถสรุปได้ว่าการใช้แป้งดัดประชนิด HDP เป็นสารทดแทนไข้มันที่มีความสามารถเข้มข้นของเนื้อแป้งร้อยละ 8 สามารถใช้เป็นสารทดแทนไข้มันได้ถึงร้อยละ 75 ของสูตรที่มีไข้มันเต็ม การทดลองที่ผ่านมาได้มีการศึกษาถึงความสัมพันธ์ของการทดสอบทางปราสาทสัมผัสกับการทดสอบโดยเครื่องมือขั้นสูงเช่น Ahmt, Bandsholm และ Thomsen (2004) ศึกษาการใช้แป้งดัดประทานเคลมีแตกต่างกัน คือ อะซิทิลเลเตท หรือไฮดรอกซีโพรพิลเลเตท ทั้งที่มีการเชื่อมข้ามและไม่เชื่อมข้ามจากแป้งต่างชนิดเป็นสารทดแทนไข้มันและแทนที่ไข้มันร้อยละ 50 ของสูตรไข้มันเต็มในนายองเนสเพื่อหาความสัมพันธ์ของคุณสมบัติด้านวิทยากระແส เนื้อสัมผัสและการทดสอบทางปราสาทสัมผัส พนว่าผลการทดสอบทางปราสาทสัมผัสของนายองเนสมีความสัมพันธ์กับผลการทดสอบทางวิทยากระແสโดยมีค่า r อู้ในช่วง 0.95 ถึง 0.97 ส่วน Richardson, Morris, Ross-Murphy, Taylor และ Dea (1989) ได้รายงานว่าความเข้มหนึดที่ได้รับรู้จากการทดสอบทางปราสาทสัมผัสจะมีความสัมพันธ์กับผลการวัดวิทยากระແสใน荷载ของโคนามิกมากกว่าผลทางวิทยากระແสที่ได้จากการวัดด้วย Large deformation หรือการวัดใน荷载การใส่แรงเนื่อง

บทที่ 5

สรุปผล และข้อเสนอแนะ

5.1 สรุปผล

5.1.1 แบ่งไฮครอคซ์โพร์พิล ไคลสตาร์ชฟอสเฟต (HDP) ความเข้มข้นร้อยละ 8 แบ่งไฮเดรย์มอคเทนิลซัคซิเนต (SSO) ความเข้มข้นร้อยละ 10 และ มอลโตเดกซ์ตริน (MD) ความเข้มข้นร้อยละ 28 สามารถใช้เป็นสารทดแทนไขมันสูงสุดได้ร้อยละ 75, 50 และ 25 ของไขมันในมายองเนสสูตร FF ตามลำดับ

5.1.2 การเพิ่มปริมาณการแทนที่ไขมันด้วยแบ่งดัดแปรเม็ดโดยตรงต่อคุณสมบัติด้านกายภาพได้แก่ สี ค่าเนื้อสัมผัส คุณสมบัติพิทยากระถาง ขนาดอนุภาคเม็ดไขมัน และความเสถียรของระบบมายองเนส

5.1.3 การเพิ่มความเข้มข้นของแบ่งดัดแปรแต่ละชนิดจะส่งผลต่อคุณสมบัติด้านเคมีกายภาพของมายองเนส ให้มีความแตกต่างกันตามประเภทของแบ่งดัดแปร แบ่ง HDP เมื่อเพิ่มความเข้มข้นมีผลทำให้มีความหนืด ค่ามอคูลัลส์สะสม ความแน่นเนื้อสูงขึ้น ส่วนตัวอย่างมายองเนสที่ผลิตจากแบ่ง MD และ SSO เมื่อเพิ่มความเข้มข้นของแบ่งมีผลทำให้ขนาดอนุภาคเม็ดไขมันในมายองเนสลดลง ส่งผลให้ค่าความหนืด ค่ามอคูลัลส์สะสม และความแน่นเนื้อสูงขึ้น

5.1.4 มายองเนสที่เตรียมจากแบ่ง HDP และ SSO เป็นสารทดแทนไขมันทุกตัวอย่างมีความเสถียรทางกายภาพเป็นเวลาอย่างน้อย 3 เดือน ส่วนตัวอย่างมายองเนสที่เตรียมจากแบ่ง MD เมื่อเพิ่มระดับการแทนที่มีผลทำให้เกิดกระบวนการคืนสภาพของแบ่งเร็วขึ้น จึงทำให้เกิดการรวมตัวของอนุภาคเม็ดไขมันและเกิดการแยกชั้นของไขมัน ตัวอย่างมายองเนสทุกตัวอย่างยกเว้นตัวอย่างที่ใช้แบ่ง SSO เป็นสารทดแทนไขมัน มีแนวโน้มการเกิดปฏิกิริยาออกซิเดชันของน้ำมันเพิ่มขึ้นอย่างต่อเนื่องตลอดระยะเวลาการเก็บตัวอย่าง

5.1.5 แบ่งดัดแปรที่สามารถใช้แทนที่ไขมันในการผลิตมายองเนสสูตรลดไขมันแล้วให้คุณสมบัติทางกายภาพคล้ายตัวอย่าง FF และมีความเสถียรลดอายุการเก็บคือแบ่ง HDP และ SSO แต่แบ่ง HDP มีราคาต้นทุนต่ำกว่า SSO ประมาณ 2 เท่า ตัวอย่างมายองเนสที่ใช้ในการทดสอบทางประสานสัมผัสจึงเป็นตัวอย่างที่เตรียมได้จากแบ่ง HDP ความเข้มข้นร้อยละ 8 ทั้งนี้การยอมรับผลิตภัณฑ์รวมมีค่าไม่ต่างจากสูตรไขมันเต็ม

5.2 ข้อเสนอแนะ

5.2.1 อาจใช้แบ่งดัดประชนิดอื่นที่ให้ลักษณะทางกายภาพคล้ายกับแบ่ง HDP ได้ เช่น แบ่งอะซิทิเลเตทไคลสตาร์ชฟอสเฟต ที่เป็นแบ่งดัดแปรร่วมระหว่างการเชื่อมข้ามและมีหมู่แทนที่หมุ่ไซครอกซิลในสายโพลีแซคคาไรด์ด้วยหมู่อะซิทิล ที่มีความสามารถในการอุ้มน้ำได้เช่นเดียวกับหมุ่ไซครอกซิโพรพิลของแบ่ง HDP เพื่อเป็นสารทดแทนไขมันในมายองเนสสูตรไขมันต้ม

5.2.2 มีความเป็นไปได้การใช้แบ่งดัดแปรร่วมกันระหว่างแบ่ง SSO เพื่อเป็นอิมลซิไฟเออร์ และแบ่ง HDP หรือแบ่งอะซิทิเลเตทไคลสตาร์ชฟอสเฟตเป็นสารทดแทนไขมันเพื่อเป็นการลดต้นทุนการผลิต

5.2.3 การใช้แบ่งดัดแปรทดแทนไขมันเพื่อการผลิตมายองเนสสูตรไขมันต้มอาจเติมสารป้องกันการเกิดปฏิกิริยาออกซิเดชันของน้ำมัน เช่น กรดแอกโซบิก โทโคฟีโรล (Tocopherol) เป็นต้น เพื่อเป็นการยืดอายุการเก็บผลิตภัณฑ์ไม่ให้เกิดกลิ่นหืนในระหว่างการเก็บตัวอย่าง

5.2.4 สามารถใช้การออกแบบพื้นที่การตอบสนอง (Response surface design) เพื่อหาสูตรส่วนผสม เช่น ปริมาณเกลือ น้ำตาล ไข่แดง น้ำส้มสายชู ปริมาณแป้ง และปริมาณน้ำมัน เป็นต้น ที่เหมาะสมในการผลิตมายองเนสสูตรไขมันต้ม เพื่อให้มีคุณภาพของผลิตภัณฑ์ตรงตามความต้องการของผู้บริโภค และช่วยให้ลดต้นทุนการผลิต

รายการอ้างอิง

- จินตนา นภาพร. (2550).เอกสารประกอบการสอนรายวิชา 1504 310 ความรู้พื้นฐานทางเภสัชภัณฑ์ (Fundamentals to pharmaceutical Dosage Forms) คณะเภสัชศาสตร์ มหาวิทยาลัย อุบลราชธานี. 18 หน้า.
- นิตยา รัตนานปันนท์. (2548). วิทยาศาสตร์การอาหารของไขมันและน้ำมัน. กรุงเทพฯ : โอดีเยนสโตร์ ไอ.เอส.พรีนติ้ง เอ็กซ์. 256 หน้า
- นิตยา อังพานิชเจริญ, อาณดี นิตธารมย์ และ สมเกียรติ โภศต์วัฒน์. (2541). การพัฒนาสูตรน้ำสลัดชนิดข้นไขมันต่ำและปราศจากคอเลสเตอรอลโดยใช้สารทดแทนไขมันจากการ์โนไทร์. วิทยานิพนธ์มหาบัณฑิตสาขาวิชาวิทยาศาสตร์ (อาหารและโภชนาการเพื่อการพัฒนา) บัณฑิตวิทยาลัย มหาลัยมหิดล. 140 หน้า
- นิรนาม (ม.ป.ป) [ออนไลน์]. ได้จาก <http://www.incomen.com/forum/index.php?topic=174.0>
- ประพัตต์ วงศ์ประภาส .(2545). เคมีกายภาพของอาหาร คอลลอยด์ อิมลชัน และเจล. กรุงเทพฯ: สำนักพิมพ์แห่งจุฬาลงกรณ์มหาวิทยาลัย. 121 หน้า.
- แสงโสม สีนะวัฒน์ นิรมล คำมาพงษ์ และนันทจิต บุญมงคล. (2541). สถานการณ์โรคอ้วนในประเทศไทย กลุ่มงานแผนงานและประเมินผล กองโภชนาการ กรมอนามัย กระทรวงสาธารณสุข FACT SHEET - ด้านโภชนาการ : ปีที่ 3 ฉบับที่ 5 กุมภาพันธ์
- วิศาล เยาวพงศ์ศิริ. (2551). พิชิตโรคอ้วนและเบาหวาน. กรุงเทพฯ : อุษการพิมพ์. 188 หน้า
- Abu-Salem , F. M. and Abou-Arab A. A. K. (2008). Chemical, microbiological and sensory evaluation of mayonnaise prepared from ostrich eggs. **Grasasy Aceites**. 59: 352-360.
- Ahmt, T., Bandsholm, O. and Thomsen, J. (2004). Functional properties of food starches in a food model emulsion. **Annual Transactions of the Nordic Rheology Society**. 12: 149-155.
- Aman, R., Schieber, A. and Carle, R. (2005). Effects of heating and illumination on trans-cis isomerization and degradation of β -carotene and lutein in isolated spinach chloroplasts. **Journal of Agricultural and Food Chemistry**. 53: 9512–9518.
- Anton, M., Beaumal, V. and Gandemer, G. (2000). Adsorption at the oil–water interface and emulsifying properties of native granules from egg yolk: effect of aggregated state. **Food Hydrocolloids**. 14 (4): 327–335.
- Akoh, C. C. (1998). Fat replacers. **Food Technology**. 52: 47-53.

- Barnes, H. A. (1995). A Review of the slip (wall depletion) of polymer solution, emulsions and particle suspensions in viscometers: its cause, character, and cure. **Journal of Non-Newtonian Fluid Mechanics.** 56: 221-251.
- Batista, A. P., Raymundo, A., Sousa, I., and Empis, J. (2006). Rheological characterization of colored oil-in-water food emulsions with lutein and phycocyanin added to the oil and aqueous phases. **Food Hydrocolloids.** 20: 44-52.
- Biliaderis, C. G. (1992). Characterization of starch networks by small strain dynamic rheometry. In D.J. Alexander and H.F. Zobel (Eds.). **Developments in Carbohydrate Chemistry** (pp. 87-135) St Paul, Minn.:AACC.
- Borel, P., Grolier, P., Armand, M., Partier, A., Lafont, H. and Lairon, D. (1996). Carotenoids in biological emulsions: Solubility, surface-to-core distribution, and release from lipid droplets. **Journal of Lipid Research.** 37: 250 - 261.
- Chantrapornchai, W., Clydesdale, F. and McClements, D. J. (1999). Influence of droplet characteristics on the optical properties of colored oil-in-water emulsions. **Colloids and Surfaces A: Physicochemical and Engineering Aspects.** 155: 373-382.
- Cheung, I., Gomes, F., Ramsden, R. and Roberts, D. G. (2002). Evaluation of fat replacers Avicel , N Lite S and Simplesse in mayonnaise. **International Journal of Consumer Studies.** 26: 27-33.
- Chirife, J., Vigo, M. S., Go'mez, R. G. and Favetto, G. J. (1989). Water activity and chemical composition of mayonnaises. **Journal of Food Science.** 54: 1658-1659.
- Chronakis I. S. (1998). On the molecular characteristics, compositional properties, and structural-functional mechanisms of maltodextrins: a review, Crit. Rev. **Food Science.** 38: 599-637.
- Coupland, J. N. and McClements, D. J. (1996). Lipid oxidation in food emulsions. **Trends in Food Science and Technology.** 7: 83-91.
- Clark, A. H., and Ross-Murphy, S.B. (1987). Structural and mechanical properties of biopolymer gels. **Advances in Polymer Science.** 83: 57-192.
- Delgado-Vargas, F., Jiménez, A. R. and Paredes-López, O. (2000). Natural pigments: carotenoids, anthocyanins, and betalains-characteristics, biosynthesis, processing, and stability. **Critical Reviews in Food Science and Nutrition.** 40: 173-289.
- Depree, J. A. and Savage, G. P. (2001). physical and flavour stability of mayonnaise. **Trends in Food Science and Technology.** 12: 157-163.

- Dickinson, E. (1995). Emulsion stabilization by polysaccharides and protein-polysaccharide complexes. **Food Polysaccharides and Their Application**. Stephan, A. M., ed., Marcel Dekker, New York, NY. Chap. 15.
- Dickinson, E. and Euston, S. R. (1991). **Stability of food emulsions containing both protein and polysaccharide**. In Food Polymers, Gels, and Colloids, Dickinson E., editor. London: Royal Society of Chemistry. p. 132-146.
- Dockic, P. P., Dockic, L. P., Sovilj, V. J. and Katona, J. M. (2004). Influence of maltodextrin dextrose equivalent value on rheological and dispersion properties of sun flower oil in water emulsions. **APTEFF**. 35: 1-280.
- Dokic-Baucal, L., Dokic, P. and Jakovljevic, J. (2004). Influence of different maltodextrins on properties of O/W emulsions. **Food Hydrocolloids**. 18: 233-239.
- Drakos, A. and Kiosseoglou, V. (2008). Depletion flocculation effects in egg-base model salad dressing emulsions. **Food Hydrocolloids**. 22: 218-224.
- Egelandsdal, B., Langsrud, Ø., Nyvold, T., Sontum, P. K., Sørensen, C., Enersten, G., et al. (2001). Estimating significant causes of variation in emulsions' droplet size distributions obtained by the electrical sensing zone and laser low angle light scattering techniques. **Food Hydrocolloids**, 15: 521-532.
- Eliasson, A. and Kim, H. R. (1992). Changes in rheological properties of hydroxypropyl potato starch pastes during freez-thaw treatments I. a rheological approach for evaluation of freez-thaw stability. **Journal of Texture Studies**. 23: 279-295.
- Fernández, J., Pérez-Álvarez, J. A. and Fernández-López, J. A. (1997). Thiobarbituric acid test for monitoring lipid oxidation in meat. **Food Chemistry**. 59: 345-353.
- Fisher, R. A. and Yates. F. (1942). Statistic Tables. Oliver and Boyd Ltd., Edinburgh and London.
- Floury, J., Desrumaux, A. and Lardieres, J. (2000). **Innovative Food Science and Emerging Technologies**. 1: 127-134.
- Ford , L. D., Borwankar, R. P., Pechak, D. and Schwimmer, B. (2004). **Dressing and sauces, in Food Emulsion**, 4th ed., Friberg, S., Larsson., Sjoblom, J., Eds., Marcel Dekker, New York, NY, Chap.13.
- Godwin, A. and Prabhu , H. R. (2006). Lipid peroxidation of fish oils. **Indian Journal of Clinical Biochemistry**. 21: 202-204.

- Harrison, L. J. and Cunningham, F. E. (1986). Influence of salt on properties of liquid yolk and functionality in mayonnaise. **Poultry Science**. 65:915-921.
- Hathcox, A. K., Beuchat, L. R. and Doyle, M. P. (1995). Death of enterohemorrhagic Escherichia coli O157:H7 in real mayonnaise and reduced-calorie mayonnaise dressing as influenced by initial population and storage temperature. **Applied and Environmental Microbiology**. 61:4172-4177.
- Hoover, R., Hannouz, D. and Sosulski, F. W. (1988). Effects of hydroxypropylation on thermal properties, starch digestibility and freeze-thaw stability of field pea (*Pisum Sativum cv Trapper*) starch. **Starch/Stake**. 40:383-387.
- Hui, Y. H. (1992). **Encyclopediad of food Scince and Technology**, John Wiley and Sons, New York, NY.
- Hutchings, J. B. (1994). **Food colour and appearance**. London: Blackie Academic & Professional
- Hsieh, Y. L. and Regenstein, J. M. (1992). Storage stability of fish oil, soy oil and corn oil mayonnaises as measured by various chemical indices. **Journal of Aquatic Food Product Technology**. 1:97-106.
- Hwang, C. A. and Tamplin, M. L. (2005). The influence of mayonnaise ph and storage temperature on the growth of *Listeria monocytogenes* in seafood salad. **International Journal of Food Microbiology**. 102(3): 277-285.
- Jacobsen, C., Hartvigsen, K., Lund, P., Meyer, A. S., Adler-Nissen, J., Holstborg, J., et al. (1999). Oxidation in fish oil-enriched mayonnaise.1. Assessment of propyl gallate as an antioxidant by discriminantpartial least squares regression analysis. **European Food Research Technology**. 210: 13-30.
- Karas, R., Skvarča, M., and Žlender, B. (2002). Sensory quality of standard and light mayonnaise during storage. **Food Technology and Biotechnology**. 40: 119-127.
- Kiosseoglou, V. D. and Sherman, P. (1983). Influence of egg yolk lipoproteins on the rheology and stability of O/W emulsions and mayonnaise. **Journal of Texture Studies**. 14: 397-417.
- Klinkesorn, U., Sophanodora, P., Chainachoti, P. and McClements, D. J. (2004). Stability and rheology of corn oil-in-water emulsions containing maltodextrin. **Food Research International**. 37: 851-859.
- Kurtzman, C. P., Rogers, R. and Hesseltine C. W. (1971). Microbiological spoilage of mayonnaise and salad dressings. **Applied Microbiology**. 21:870-874.

- Kuntz, L. A. (1997). **Making the Most of Maltodextrins.** [ออนไลน์] . ได้จาก http://www.foodproductdesign.com/articles/463/463_0897DE.html
- Lahtinen, S. T. and Ndabikunze, B. K. (1990). Effect of salt on the autoxidation of oil and lipophilic substances in mayonnaise. **Lebensmittel-Wissenschaft und Technologie.** 23: 99-100.
- Lagunes-Galvez, L., Cuvelier, M. E., Ordonnaud, C. and Berset, C. (2002). Oxidative stability of some mayonnaise formulations during storage and daylight irradiation. **Journal of Food Lipids.** 9: 211-224.
- Langton, M., Jordansson, E., Altskär, A., Sørensen, C. and Hermansson, A. (1999). Microstructure and image analysis of mayonnaises. **Food Hydrocolloids.** 13: 113-125.
- Le Denmat, M., Anton, M. and Beaumal, V. (2000). Characterization of emulsion properties and of interface composition in O/W emulsions prepared with hen egg yolk, plasma and granules. **Food Hydrocolloids.** 14 (6): 539-549.
- Lennsteren, M. and Lingnert, H. (2000). Influence of wavelength and packaging material on lipid oxidation and colour changes in low-fat mayonnaise. **Lebensmittel-Wissenschaft und Technologie.** 33: 253-260.
- Lenchin, J. M., Trubiano, P. C. and Hoffman, S. (1985). Converted starches for use as a fat- or oil-replacement in foodstuffs. United States Patent US, 4, 510, 166.
- Liu, H., Ramsden, L. and Corke, H. (1999). physical properties and enzymatic digestibility of hydroxypropylated **ae, wx**, and normal maize starch. **Carbohydrate Polymers.** 40: 175-182.
- Liu, S. and Masliyah, J. H. (1996). Non-Newtonian flow through porous media. **Advances in Fluid Mechanics.** 9: 103–112.
- Lui, H., Xu, X. M. and Guo S. D. (2007). Rheological, texture and sensory properties of low-fat mayonnaise with different fat mimetics. **Food Science and Technology.** 40: 946-954.
- Luotola, M. T. and Luotola, J. E. I. (1985) Effect of α -tocopherol on the peroxidation of cod-liver oil. **Life Chemistry Reports.** 3: 159-163.
- Ma, L. and Barbosa-Canovas, G. V. (1995). Rheological characterization of mayonnaise. Part II: Flow and viscoelastic properties at different oil and xanthan gum concentrations. **Journal of Food Engineering.** 25: 409-425.
- Ma, Y., Cai, C., Wang, J. and Sun, D. W. (2006). Enzymatic hydrolysis of corn starch for producing fat mimetics. **Journal of Food Engineering.** 73: 297-303.

- Maruyama, K., Sakashita, T., Hagura, Y. and Suzuki, K. (2007). Relationship between rheology, particle size and texture of mayonnaise. **Food Science and Technology Research.** 13(1): 1-6.
- Matsumura, et al. (2003). Inhibitory effects of peptide-bound polysaccharides on lipid oxidation in emulsions. **Food Chemistry.** 83(1): 107-119.
- Matsumura, Y., Satake, C., Egami, M. and Mori, T. (2000). Interaction of gum Arabic, maltodextrin and pullan with lipids in emulsions. **Bioscience Biotechnology and Biochemistry.** 64(9): 1827-1835.
- Mei, L. Y., McClements, D. J. and Decker, E. A. (1998a). Iron-catalyzed lipid oxidation in emulsion as affected by surfactant, pH and NaCl. **Food Chemistry.** 61(3): 307-312.
- Mei, L. Y., McClements, D. J., and Decker, E. A. (1998b). Evidence of iron association with emulsion droplets and its impact on lipid oxidation. **Journal of Agricultural and Food Chemistry.** 46(12): 5072-5077.
- McClements, D. J. and Decker, E. A. (2000). Lipid oxidation in oil-in-water emulsions: impact of molecular environment on chemical reactions in heterogeneous food systems. **Journal of Food Science.** 65(8):1270-1282.
- McClements, D. J. and Demetriades, K. (1998). An integrated approach to the development of reduced-fat food emulsions. **Critical Reviews in Food Science and Nutrition.** 38: 511-536.
- McClements, D. J., Chantrapornchai, W. and Clydesdale, F. (1998). Prediction of food emulsion color using light scattering theory. **Journal of Food Science.** 63: 935-939.
- McClements, D.J. (2005). **Food Emulsion: Principle, Practice and Techniques.** 2nd ed. Boca Rota: CRC Press.
- Mela, J. D., Langley, K. R. and Martin, A. (1994). Sensory assessment of fat content: effect of emulsion and subject characteristics. **Appetite.** 22: 67-81.
- Modig, G., Nilsson, L., Bergenståhl, B. and Wahlund, K. G. (2006). Homogenisation induced degradation of hydrophobically modified starch determined by asymmetrical flow field flow fractionation and multi angle light scattering. **Food Hydrocolloids.** 20: 1087-1095.
- Mohamed, M. O. and Morris, H. A. (1987). Textural and microstructural properties of rennet-induced milk coagulum as affected by the addition of soy protein isolate. **Journal of Texture Studies.** 18: 137-155.

- Mun, S., Kim, Y. L., Kang, C. G, Park, K. H., Shim, J. Y. and Kim, Y. R. (2009). Development of reduced-fat mayonnaise using α GTase-modified rice starch and xanthan gum. **International Journal of Biological Macromolecules.** 44 (5):400-407.
- Murphy, P. (1999). Low fat developments with speciality starches. **Food Technology International.** 22: 24.
- Murphy, P. (2000). In G.O. Phillips, and P.A. Williams (Ed). **Handbook of Hydrocolloids.** Boca Raton: CRC Press. p.41-65.
- Nilsson, L., Leeman, M., Wahlund, K. G. and Bergenstahl, B. (2006). Mechanical degradation and changes in conformation of hydrophobically modified starch. **Biomacromolecules.** 7: 2671-2679.
- Nilsson, L. and Bergenstahl, B. (2007). Adsorption of hydrophobically modified anionic starch at oppositely charged oil/water interfaces. **Journal of Colloid and Interface Science.** 308(2): 508-513.
- Nilsson, L., Osmark, P., Fernandez, C. and Bergenstahl, B. (2007). Competitive adsorption of total egg yolk proteins during emulsification. **Journal of Agricultural and Food Chemistry.** 55(16): 6746-6753.
- Ortega-Benito, J. M. and Langridge, P. (1992). Outbreak of food poisoning due to *Salmonella typhimurium* DT4 in mayonnaise. **Public Health.** 106: 203-8.
- Ortega-Ojeda, F. E., Larsson, H. and Eliasson, A. C. (2005). Gel formation in mixtures of hydrophobically modified potato and high amylopectin potato starch. **Carbohydrate Polymer.** 59: 313-327.
- Osborn, H. T. and Akoh, C. C. (2004). Effect of emulsifier type, droplet size, and oil concentration on lipid oxidation in structured lipid-based oil-in-water emulsions. **Food Chemistry.** 84(3): 451-456.
- Paraskevopoulou, A., Kiosseoglou, V., Aleviopoulos, S. and Kasapis, S. (1999). Influence of reduced-cholesterol yolk on the viscoelastic behaviour of concentrated o/w emulsions. **Colloids and Surfaces B: Biointerfaces.** 12: 107-111.
- Paraskevopoulou, A., Boskou, D. and Kiosseoglou, V. (2005a). Oxidative stabilization of olive oil-lemon juice salad dressings stabilized with polysaccharides. **Food Chemistry.** 101:1197-1204.

- Paraskevopoulou, A., Boskou, D. and Kiosseoglou, V. (2005b). Stabilization of olive oil-lemon juice emulsion with polysaccharides. **Food Chemistry.** 90(4): 627-634.
- Paraskevopoulou, D., Boskou, D. and Paraskevopoulou, A. (2007). Oxidative stability of olive oil-lemon juice salad dressings stabilized with polysaccharides. **Food Chemistry.** 101: 1197-1204.
- Prochaska, K., Kędziora, P., Le Thanh, J. and Lewandowicz, G. (2007). Surface activity of commercial food grade modified starches. **Colloids and Surfaces B: Biointerfaces.** 60(2): 187-194.
- Pedersen, A. and Christian, H. (1997). No and low fat mayonnaise compositions. United States of American Patent No. 5641533.
- Peressini, D., Sensidoni, A. and Cindio, B. D. (1998). Rheological characterization of traditional and light mayonnaises. **Journal of Food Engineering.** 35:409-417.
- Radford, S. A. and Board, R. G. (1993). Review Fate of pathogens in home-made mayonnaise and related products. **Food Microbiology.** 10: 269 - 278.
- Richardson, R. K., Morris, E. R., Ross-Murphy, S. B., Taylor, L. J. and Dea, I. C. M. (1989). Characterization of the perceived texture of thickened systems by dynamic viscosity measurements. **Food Hydrocolloids.** 3:175-191.
- Rojas, C. C., Wahlund, K.-G., Bergenstahl, B. and Nilsson, L. (2008). Macromolecular geometries determined with field-flow fractionation and their influence on the overlap concentration. **Biomacromolecules.** 9:1628-1690.
- Santipanichwong, R. and Suphantarika, M. (2007). Carotenoids as colorants in reduced-fat mayonnaise containing spent brewer's yeast β -glucan as a fat replacer. **Food Hydrocolloids.** 21: 565-574.
- Singh, J., Kaur, L. and McCarthy, O. J. (2007). Factors influencing the physic-chemical, morphological, thermal and rheological properties of some chemically modified starches for food applications-a review. **Food Hydrocolloids.** 21: 1-22.
- Sajilata, M. G. and R. S. Singhal. (2005). Specialty starches for snack foods. **Carbohydrate Polymers.** 59: 131-151.
- Smittle, R. B. (1977). Microbiology of mayonnaise and salad dressing: a review. **Journal of Food Protection.** 40: 415-422.

- Smitte, R. B. (2000). Microbiological safety of mayonnaise, salad dressing and sauces produced in the United States: A review. **Journal of Food Protection.** 63: 1144.
- SPSS for Windows. (2003). User's manual, version 12.0. Chicago, IL: SPSSInc.
- Steffe, J. F. (1996). **Rheological Methods in Food Processing.** Freeman Press, Michigan.
- Stern, P., Valentova, H. and Pokorny, J. (2001). Rheological properties and sensory texture of mayonnaise. **European Journal of Lipid Science and Technology.** 103: 23-28.
- Tesch, S., Gerhards, C. and Schubert, H. (2002). Stabilization of emulsions by OSA starches. **Journal of Food Engineering.** 54: 167-174.
- Toledo, R. T. (1991). **Fundamentals of Food Processing and Engineering.** 2nd Edition. Nostrand Reinhold, New York. P. 602
- Tung, M. A. and Jones, L. J. (1981). Microstructure of mayonnaise and salad dressing. **Scanning Electron Microscopy.** 3 :523-530.
- Trubiano, P. C. (1986). Succinate and substituted succinate derivatives of starch. In O. B. Wurzburg (Ed.), **Modified Starch: Properties and Uses.** Boca Raton, FL: Press.
- Ungerer, R. (2007). Texturizing extra low fat mayonnaise. **Food Marketing and Technology.** October: 4-8.
- Van Hung, P. and Morita, N. (2005). physicochemical properties of hydroxypropylated and cross linked starches from A- type and B- type wheat starch granules. **Carbohydrate Polymers.** 59: 239-246.
- Weiss, J. (2002). **Emulsion Stability Determination: Physical Properties of Lipids.** John Wiley and Sons, Inc. D3.4.1-D3.4.17
- Wendin, K., Aaby, K., Edris, A., Ellekjaer, M., Albin, R., Bergenstahl, B., Johansson, L., Pilman, W. E. and Solheim, R. (1997a). Influences of fat content, aroma compounds and thickeners. **Food Hydrocolloids.** 11: 87-99.
- Wendin, K., Ellekjaer, M. and Solheim, R. (1999). Fat content and homogenization effects on flavour and texture of mayonnaise with added aroma. **Lebensmittel-Wissenschaft-und Technologie.** 32: 377-383.
- Wendin, K. and Hall, G. (2001). Influences of fat, thickener and emulsifier contents on salad dressing:static and dynamic sensory and rheological analyses. **Lebensmittel-Wissenschaft-und Technologie.** 34: 222-233.

- Wendin, K., Solheim, R., Allmere, T. and Johansson, L. (1997b). Flavour and texture in sour milk affected by thickeners and fat content. **Food Quality and Preference.** 8: 281-291.
- Whistler,, R. L., Bemiller, J. N. and Paschall, E. F.(1984) **Starch: Chemistry and Technology,** 2nd ed, Academic Press, New York.
- Worrasinchai, S., Suphantharika, M., Pinjai, S. and Jamnong, P. (2006). β -glucan prepared from spent brewers yeast as a fat replacer in mayonnaise. **Food Hydrocolloids.** 20: 68-78.
- Wurzburg, O. B. (1995). **Modified starches. In Food Polysaccharides and Their Applications.** Stephen, A.M. (Ed.). Marcel Dekker, Inc., NY,NY.
- Xiong, R., Xie, G. and Edmondson, A. S. (2000). Modelling the pH of mayonnaise by the ratio of egg to vinegar. **Food Control.** 11: 49–56.
- Yang, Y. and Xu, S. (2007). Roles of components of rice-based fat substitute in gelation. **Food Research International.** 40(9): 1155-1160.
- Yeh, A. and Yeh, S. (1993). Some characteristics of hydroxypropylated and cross-linked rice starch. **Cereal Chemistry.** 70: 596-601.



1. วิธีเตรียมสารละลายสำหรับวิเคราะห์การเกิดปฏิกิริยาออกซิเดชันของน้ำมันด้วยวิธี Thiobarbituric Acid

1.1 สารละลายกรดไทโอบาร์บิทูริกเข้มข้นร้อยละ 0.67

ชั้ngrดไทโอบาร์บิทูริกที่ทราบน้ำหนักที่แน่นอนประมาณ 0.67 กรัมในบีกเกอร์ แล้วละลายด้วย Dimethyl sulphoxide 100 มิลลิลิตร คนสารละลายด้วยแท่งแก้วจนกระทั่งกรดไทโอบาร์บิทูริกละลายหมด แล้วปรับปริมาตรให้ครบ 1000 มิลลิลิตร ในขวดปรับปริมาตร ด้วยน้ำปราศจากไออกซอน เก็บสารละลายในขวดสีขาวเพื่อป้องกันแสง และใช้ให้หมดภายใน 1 สัปดาห์

1.2 สารละลายกรดไตรคลอโรอะซิติกเข้มข้นร้อยละ 10

ชั้ngrดไตรคลอโรอะซิติก 100 กรัมแล้วละลายในน้ำปราศจากไออกซอน หลังจากนั้นปรับปริมาตรให้ได้ 1 ลิตรในขวดปรับปริมาตร เก็บสารละลายในตู้เย็นและใช้ให้หมดภายใน 1 สัปดาห์

1.3 วิธีวิเคราะห์ปฏิกิริยาออกซิเดชันของน้ำมัน

นำตัวอย่างน้ำมัน 200 ไมโครลิตรใส่ลงไปในหลอดทดลองขนาด 15 มิลลิลิตร ที่มีสารละลายกรดไทโอบาร์บิทูริกเข้มข้นร้อยละ 0.67 อญ্যแล้ว 2 มิลลิลิตร หลังจากนั้นเติมสารละลายกรดไตรคลอโรอะซิติกเข้มข้นร้อยละ 10 ปริมาตร 2 มิลลิลิตร ปิดฝาหลอดให้สนิทแล้วผสมให้เข้ากันด้วย vortex mixer นำตัวอย่างไปต้มในอ่างควบคุมอุณหภูมิ 100 องศาเซลเซียส เป็นเวลา 15 นาที แล้วนำหลอดบนรุดตัวอย่างออกมาเช่นในน้ำประปาให้เย็นที่อุณหภูมิห้องเป็นเวลา 30 นาที หลังจากนั้นนำตัวอย่างไปปั่นเหวี่ยงที่ 2000 กรัม เป็นเวลา 10 นาที นำส่วนใส่ไปวัดค่าการดูดซับแสงที่ 532 นาโนเมตรด้วยเครื่อง UV Spectrophotometer โดยใช้ออกซานอลเป็น blank

2. การทดสอบทางประสาทสัมผัส

ตัวอย่างน้ำยองเนสทั้ง 4 ตัวอย่างถูกบรรจุใส่ในขวดซอสที่มีขนาดเท่ากัน โดยผู้ทดสอบทางประสาทสัมผัสจะได้รับแผ่นบนมปั่งรสดีด 4 คู่ พร้อมกับชาร้อน โดยกำหนดให้ผู้ทดสอบทางประสาทสัมผัสบีบน้ำยองเนสลงบนบนมปั่งรสดีด ให้ครบทั้ง 4 แผ่น แผ่นละตัวอย่างแล้วสังเกตและจัดลำดับความต่างของลักษณะทางกายภาพดังนี้ แรงที่ใช้บีบน้ำยองเนสให้ไหลออกจากขวดความสามารถในการตั้งยอดของน้ำยองเนส ลักษณะปรากฏของความมันวาวที่เป็นลักษณะของไขมัน หลังจากนั้นให้ผู้ทดสอบทางประสาทสัมผัสประกอบแผ่นบนมปั่งที่เหลือแล้วซิมโดยให้กลัวคอด้วยชาร้อนเมื่อเปลี่ยนตัวอย่างซิม แล้วให้ผู้ทดสอบทางประสาทสัมผัสเรียงลำดับรสมันที่เป็นรสชาติความมันเหมือนไขมัน และการจัดลำดับการยอมรับรวมของผลิตภัณฑ์ โดยเลข 1 แสดงลำดับที่มีค่าสูงสุด หรือชอบมากที่สุด และเลข 4 แสดงลำดับที่ให้ค่าต่ำสุดหรือชอบน้อยที่สุด โดยผู้ทดสอบทางประสาทสัมผัสแต่ละคน จะมีลำดับการเสริฟที่แตกต่างกัน

ใบรายงานผลการทดสอบทางประสาทสัมผัสแบบการจัดลำดับ (Ranking Test)

ผลิตภัณฑ์ : หมายองเนส

ชื่อผู้ประเมิน..... วันที่.....

คำอธิบาย ผลิตภัณฑ์ที่ท่านได้รับนี้เป็นหมายองเนสที่มีการใช้สารทดแทนไขมัน

คำแนะนำ กรุณารับหมายองเนสที่บรรจุในขวดลงบนขนมปังที่จัดเตรียมไว้ให้ โปรดสังเกตลักษณะปรากฏของหมายองเนส เพื่อประเมินผลิตภัณฑ์ในข้อ 1 - 3 หลังจากนั้นกรุณาซิมตัวอย่าง จนครบทั้ง 4 ตัวอย่างและจัดลำดับตัวอย่างทั้ง 4 โดยการเรียงรหัสเลขสามหลักที่ระบุอยู่ที่ตัวอย่างในช่องว่างที่ท่านเห็นตรงตามการประเมินมากที่สุด

1. ลักษณะความยากง่ายในการไหลดของหมายองเนส (แรงบีบ)

เลขลำดับที่ 1 = แรงที่ใช้บีบหมายองเนสออกจากขวดมาก 4 = แรงที่ใช้บีบหมายองเนสออกจากขวดน้อย

รหัส	_____	_____	_____	
ลำดับ	1	2	3	4

2. ความคงตัวของหมายองเนส (การตึงยอด)

เลขลำดับที่ 1 = ความสามารถในการตึงยอดมากที่สุด 4 = ความสามารถในการตึงยอดน้อยที่สุด

รหัส	_____	_____	_____	_____
ลำดับ	1	2	3	4

3. ลักษณะปรากฏเรื่องความมันวาวของหมายองเนส

เลขลำดับที่ 1 = ความมันวาวมากที่สุด 4 = ความมันวาวน้อยที่สุด

รหัส	_____	_____	_____	_____
ลำดับ	1	2	3	4

4. รสชาติของหมายองเนส (ความมันเหมือนไขมัน)

เลขลำดับที่ 1 = رسمันมากที่สุด 4 = رسمันน้อยที่สุด

รหัส	_____	_____	_____	_____
ลำดับ	1	2	3	4

5. ความชอบโดยรวมของหมายองเนส (ภาพรวมทั้งหมด)

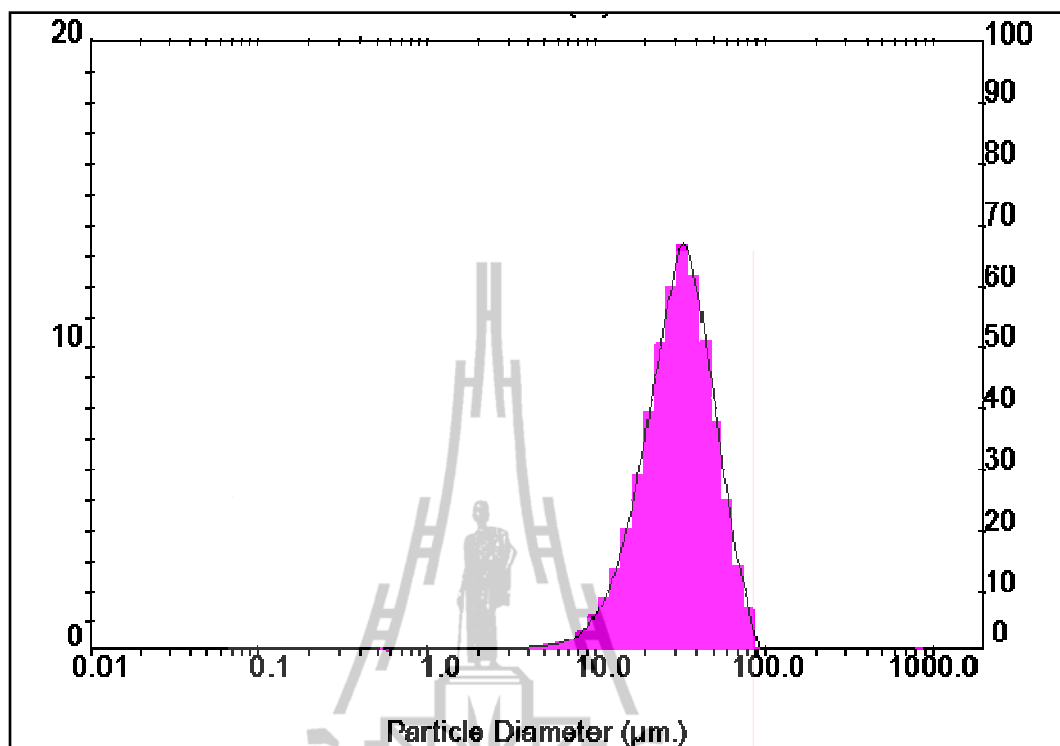
เลขลำดับที่ 1 = ความชอบโดยรวมมากที่สุด 4 = ความชอบโดยรวมน้อยที่สุด

รหัส	_____	_____	_____	_____
ลำดับ	1	2	3	4

ข้อเสนอแนะ

.....
.....

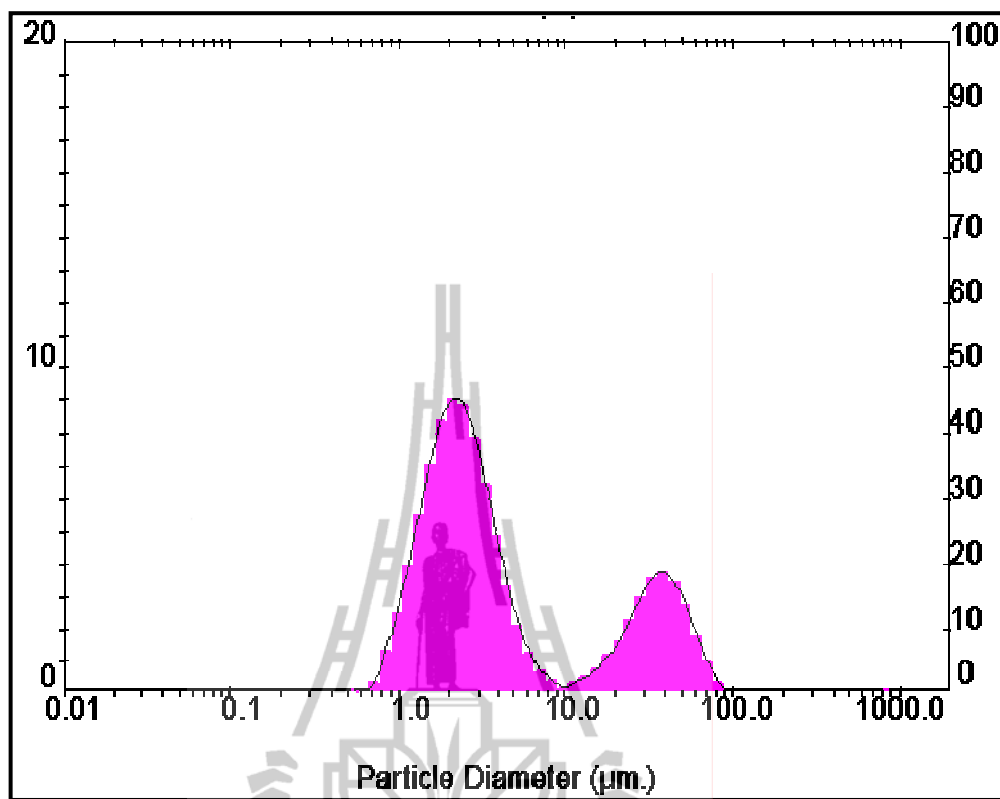




รูปที่ ข.1 กราฟแสดงการกระจายตัวของเม็ดแป้ง HDP

ตารางที่ ข.1 การกระจายตัวของอนุภาคเม็ดแป้งดัดแปลง HDP ที่วิเคราะห์ด้วยโปรแกรมจากเครื่อง Laser particle size Analyzer

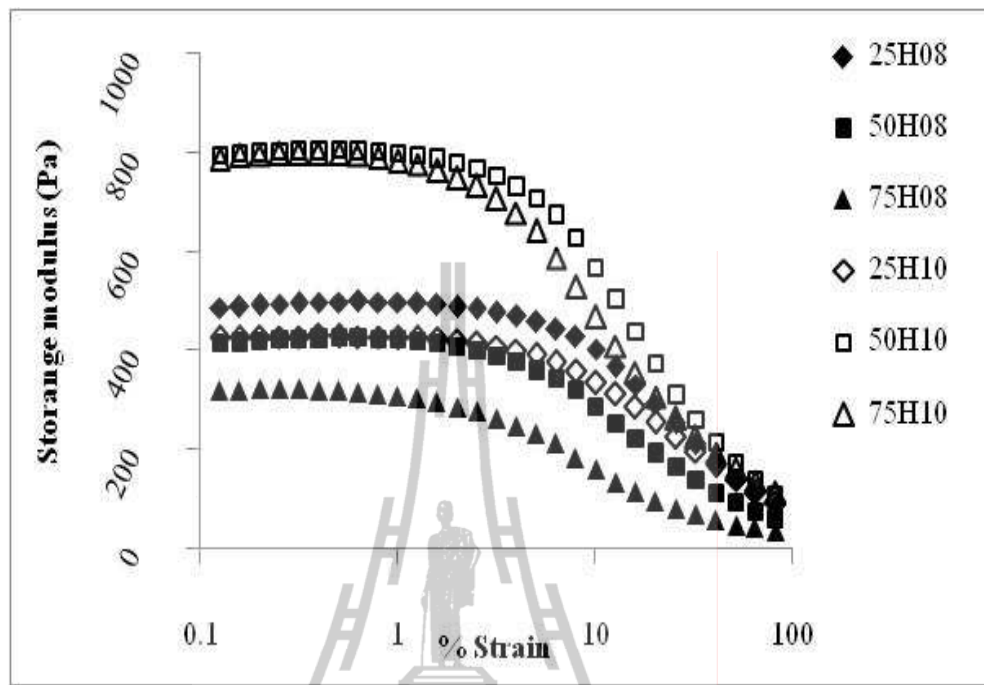
ID: HDP	Run No: 12	Measured: 31/7/109 13:46 PM					
File: Kallaya	Rec. No: 12	Analysed: 31/7/109 13:46 PM					
Path: C:\PIYARAT\25-12-08\		Source: Analysed					
Range: 300 mm Beam: 14.30 mm Sampler: MS1							
Presentation: 30HD Analysis: Polydisperse							
Modifications: None							
Conc. = 0.0114 %Vol Density = 1.000 g/cm³ S.S.A= 0.2300 m²/g Distribution: Volume D[4, 3] = 33.74 µm D[3, 2] = 26.09 µm D(v, 0.1) = 15.73 µm D(v, 0.5) = 31.46 µm D(v, 0.9) = 55.20 µm Span = 1.254E+00 Uniformity = 3.873 E-0							
Size (µm)	Volume In %	Size (µm)	Volume In %	Size (µm)	Volume In %	Size (µm)	Volume In %
0.404	0.00	3.21	0.03	20.84	4.14	135.3	0.00
0.532	0.00	3.46	0.04	22.45	4.69	146.8	0.00
0.574	0.00	3.73	0.05	24.20	5.19	157.2	0.00
0.616	0.00	4.02	0.06	26.03	5.64	169.4	0.00
0.667	0.00	4.33	0.07	28.11	6.08	182.5	0.00
0.718	0.00	4.66	0.08	30.29	6.49	196.7	0.00
0.774	0.00	5.03	0.09	32.65	6.59	212.0	0.00
0.834	0.00	5.42	0.10	35.13	6.33	228.5	0.00
0.899	0.00	5.84	0.12	37.92	5.90	246.2	0.00
0.969	0.00	6.29	0.15	40.85	5.39	265.4	0.00
1.04	0.00	6.78	0.19	44.04	4.80	286.0	0.00
1.13	0.00	7.31	0.24	47.45	4.17	308.2	0.00
1.21	0.00	7.88	0.31	51.15	3.53	332.1	0.00
1.31	0.00	8.49	0.40	55.12	2.91	358.0	0.00
1.41	0.00	9.15	0.52	59.41	2.31	385.8	0.00
1.52	0.00	9.86	0.65	64.02	1.76	415.7	0.00
1.64	0.00	10.62	0.80	69.00	1.33	448.1	0.00
1.76	0.00	11.45	1.00	74.35	1.04	482.9	0.00
1.90	0.00	12.34	1.23	80.14	0.83	520.4	0.00
2.05	0.00	13.30	1.51	86.35	0.68	560.8	0.00
2.21	0.00	14.33	1.83	93.07	0.58	604.4	0.00
2.38	0.00	15.46	2.20	100.3	0.00	651.4	0.00
2.56	0.01	16.65	2.62	108.1	0.00	702.0	0.00
2.76	0.01	17.94	3.09	116.5	0.00	756.5	0.00
2.98	0.02	19.33	3.60	126.6	0.00	815.3	0.00
3.21	0.02	20.84	3.60	135.3	0.00	878.7	0.00



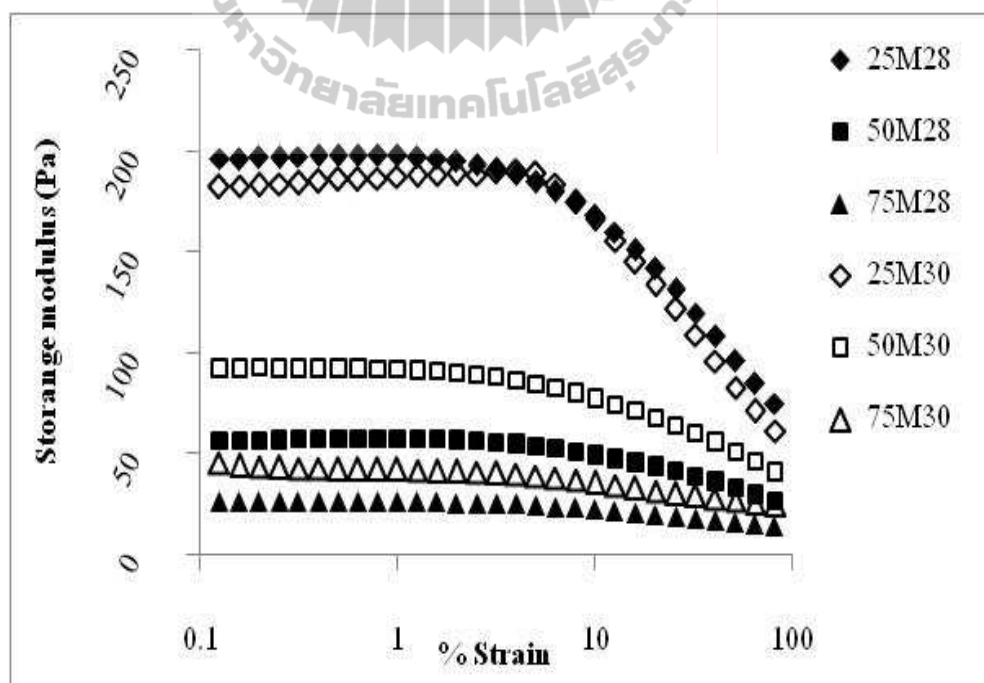
รูปที่ ๖.๒ グラฟการกระจายตัวของอนุภาคในตัวอย่าง 25H08 ที่วัดด้วยเครื่อง Laser particle size analyser

ตารางที่ ข.2 การกระจายตัวของอนุภาคเม็ดไขมันที่วิเคราะห์ด้วยโปรแกรมจากเครื่อง Laser particle size analyzer ของตัวอย่าง 25H08

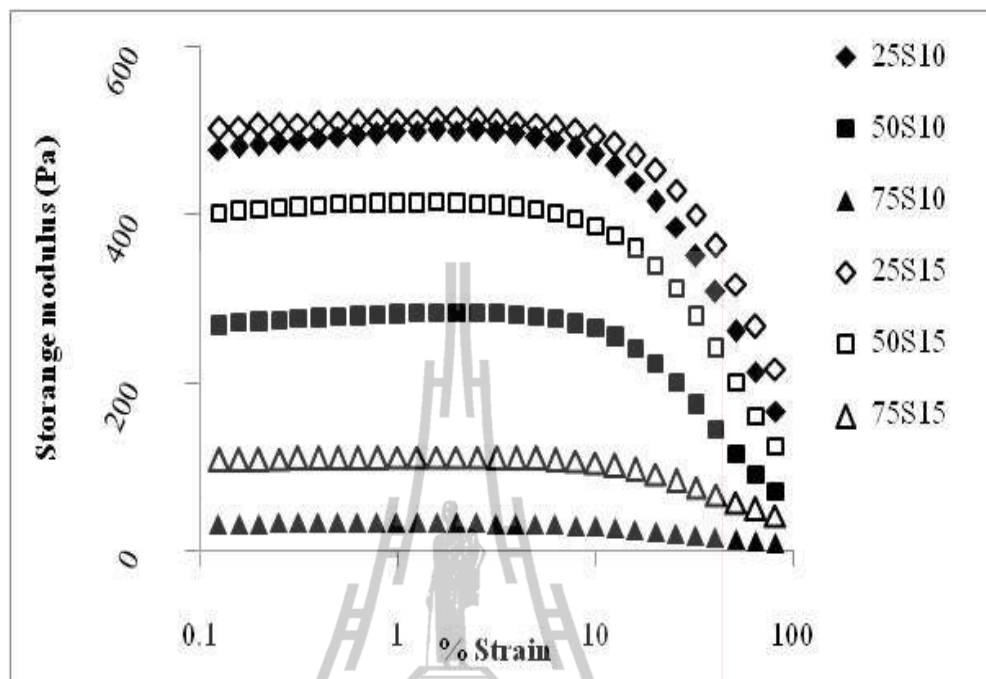
ID: 25H08_20	Run No: 18	Measured: 31/8/109 16:08PM					
File: Kallaya	Rec. No: 1613	Analysed: 31/8/109 16:08PM					
Path: C:\PIYARAT\25-12-08\		Source: Analysed					
Range: 300 mm	Beam: 14.30 mm	Sampler: MS1					
Presentation: 30HD	Analysis: Polydisperse	Obs': 20.8 %					
Modifications: None		Residual: 0.639 %					
Cone. = 0.0013 %Vol	Density = 1.000 g/cm³	S.S.A= 2.2441 m²/g					
Distribution: Volume	D[4, 2] = 11.66 µm	D[3, 2] = 2.67 µm					
D(v, 0.1) = 1.31 µm	D(v, 0.5) = 2.82 µm	D(v, 0.9) = 40.21 µm					
Span = 1.382E+01	Uniformity = 3.494E+00						
Size (µm)	Volume Under %	Size (µm)	Volume Under %	Size (µm)	Volume Under %	Size (µm)	Volume Under %
0.532	0.00	3.46	59.55	22.46	78.16	145.8	100.00
0.574	0.00	3.73	62.34	24.20	79.18	157.2	100.00
0.618	0.01	4.02	64.73	26.08	80.38	169.4	100.00
0.667	0.04	4.33	66.76	28.11	81.75	182.5	100.00
0.718	0.11	4.66	68.43	30.29	83.28	196.7	100.00
0.774	0.32	5.03	69.78	32.65	84.96	212.0	100.00
0.834	0.77	5.42	70.84	36.18	86.73	228.5	100.00
0.899	1.49	5.84	71.67	37.92	88.56	246.2	100.00
0.969	2.50	6.29	72.30	40.86	90.39	265.4	100.00
1.04	3.82	6.78	72.77	44.04	92.16	286.0	100.00
1.13	5.48	7.31	73.12	47.46	93.81	308.2	100.00
1.21	7.51	7.88	73.40	51.15	95.29	332.1	100.00
1.31	9.92	8.49	73.62	55.12	96.57	358.0	100.00
1.41	12.71	9.15	73.75	59.41	97.63	385.8	100.00
1.52	15.89	9.86	73.82	64.02	98.46	415.7	100.00
1.64	19.43	10.62	73.89	69.00	99.08	448.1	100.00
1.76	23.29	11.45	74.03	74.36	99.53	482.9	100.00
1.90	27.42	12.34	74.22	80.14	99.83	520.4	100.00
2.05	31.73	13.30	74.44	86.36	99.98	560.8	100.00
2.21	36.14	14.33	74.71	93.07	100.00	604.4	100.00
2.38	40.56	15.45	75.04	100.3	100.00	651.4	100.00
2.56	44.88	16.65	75.46	108.1	100.00	702.0	100.00
2.76	49.00	17.94	75.98	116.5	100.00	756.5	100.00
2.98	52.86	19.33	76.59	125.6	100.00	815.3	100.00
3.21	56.39	20.84	77.30	135.3	100.00	878.7	100.00



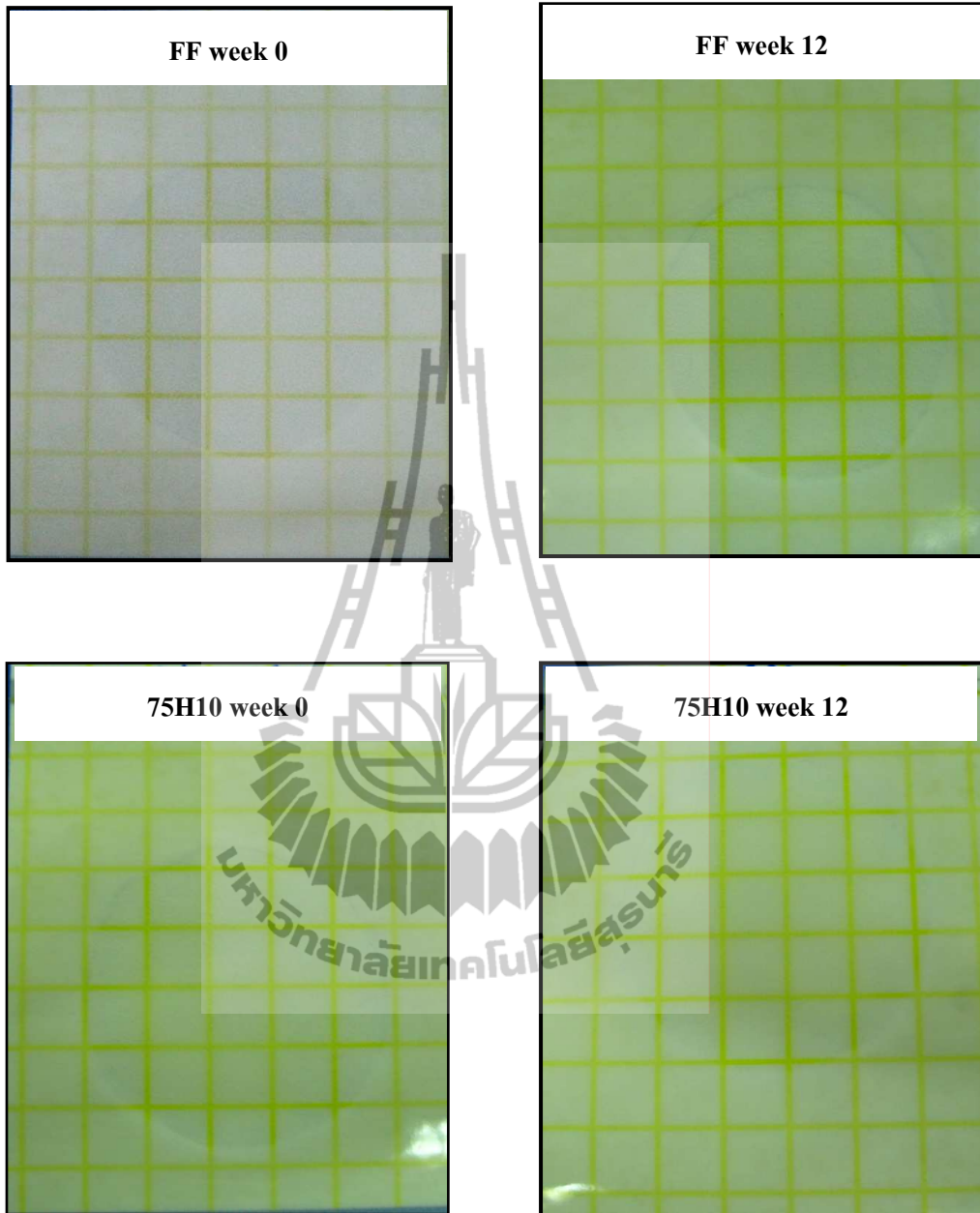
รูปที่ ๔.๓ Linear viscoelastic regoin ของตัวอย่างมายองเนสที่เตรียมจากแป้ง HDPE



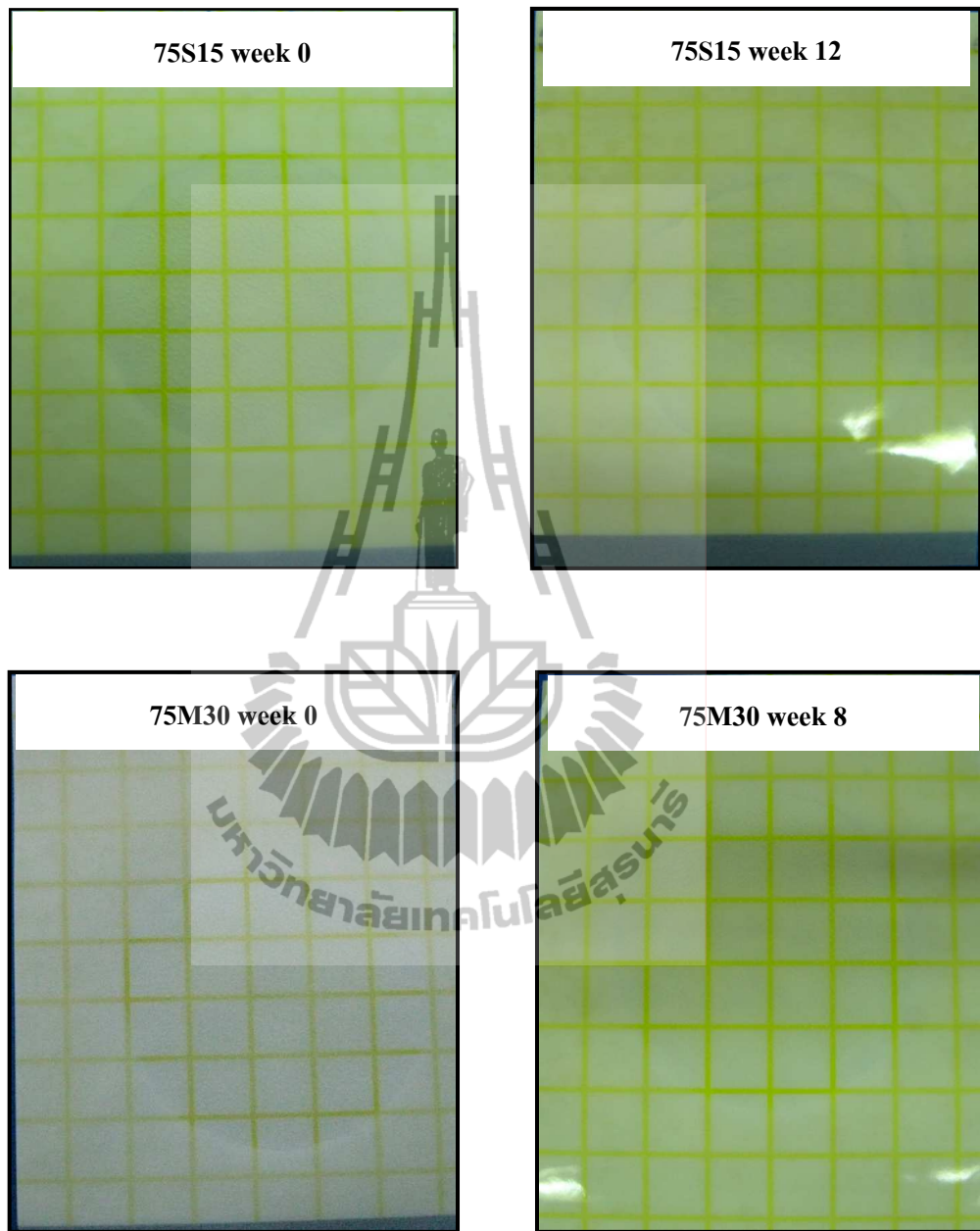
รูปที่ ๔.๔ Linear viscoelastic regoin ของตัวอย่างมายองเนสที่เตรียมจากแป้ง MDP



รูปที่ ๔.๕ Linear viscoelastic regoin ของตัวอย่างมายองเนสที่เตรียมจากแป้ง SSO



รูปที่ บ.๖ แผ่นอาหารเดี่ยงสำเร็จรูป 3M petrifilm ที่ไม่พับการเจริญของเชื้อแบคทีเรีย



รูปที่ ข.6 (ต่อ) แผ่นอาหารเลี้ยงสำเร็จรูป 3M petrifilm ที่ไม่พับการเจริญของเชื้อแบคทีเรีย

ประวัติผู้เขียน

นางสาวกัลยา ขันธรัตน์ เกิดเมื่อวันที่ 17 สิงหาคม 2522 ที่อำเภอบัวชล จังหวัดสุรินทร์ จบการศึกษามัธยมตอนปลายที่ โรงเรียนสวนกุหลาบวิทยาลัยนนทบุรี และสำเร็จการศึกษาระดับปริญญาตรีวิทยาศาสตรบัณฑิต สาขาวิชาเทคโนโลยีชีวภาพ มหาวิทยาลัยมหิดล ในปีการศึกษา 2544 หลังจากนั้นจึงได้สมัครเข้าทำงานที่บริษัท yenner และรัลสตาร์ช จำกัด จ.นครราชสีมา เป็นระยะเวลา 5 ปี แล้วเข้าศึกษาต่อระดับปริญญาโท ในสาขาวิชาเทคโนโลยีอาหาร มหาวิทยาลัยเทคโนโลยีสุรนารี ในภาคการศึกษาที่ 2 ปีการศึกษา 2550

ประสบการณ์การทำงาน

- ฝึกงานในตำแหน่งนักศึกษาฝึกงานที่บริษัท โคงอบฟูดส์ จ.สมุทรปราการ (เมษายน – พฤษภาคม พ.ศ 2543)
- ปฏิบัติงานในโรงงานผลิตเบเยิร์มน้ำสำหรับลังคัดแปร บริษัท yenner และรัลสตาร์ช จำกัด (พ.ศ 2545-2550)

ประสบการณ์ด้านวิชาการ

- Rheological Properties of Reduced Fat Mayonnaise by Using Modified Starch, E1442 as Fat Substitute. Kallaya Khantarat and Siwatt Thaiudom. Oral presentation. IWEAR5. 21-23 Jan. 2010, Pusan National University, KOREA
- The Stability and Rheological Properties of Fat-Reduced Mayonnaises by Using Modified Starches as Fat Replacer. Kallaya Khantarat and Siwatt Thaiudom. poster presentation. ICAAI2010 19-20 Nov. 2010 มหาวิทยาลัยแม่ฟ้าหลวง จ.เชียงราย
- Physical Properties and Sensory Evaluation of Fat-Reduced Mayonnaises Substituted by Hydroxypropyl Distarch Phosphate. Kallaya Khantarat and Siwatt Thaiudom. Poster presentation. SUTGRAD#3 21-23 Nov. 2010 มหาวิทยาลัยเทคโนโลยีสุรนารี จ.นครราชสีมา